

INVESTIGACIONES ARQUEOLÓGICAS Y CONSERVACIÓN DE ARQUITECTURA MONUMENTAL EN LA REGIÓN DE HOLMUL

TEMPORADA 2018

Francisco Estrada-Belli, Director

Informe presentado al Departamento de Monumentos Prehispánicos y Coloniales de la
Dirección General del Patrimonio Cultural y Natural
Ministerio de Cultura y Deportes de Guatemala.



Proyecto Arqueológico Holmul
Tulane University
Anthropology Department
Middle American Research Institute
6823 Saint Charles Ave
New Orleans, LA 70118
Email: franciscoeb@gmail.com

GUATEMALA, FEBRERO DEL 2019

CONTENIDO

CAPÍTULO 1	1
INVESTIGACIONES ARQUEOLÓGICAS Y CONSERVACIÓN DE ARQUITECTURA MONUMENTAL EN LA REGIÓN DE HOLMUL. <i>Francisco Estrada-Belli</i>	
CAPÍTULO 2	34
EXCAVACIONES DEL BASAMENTO I, EDIFICIO B Y EDIFICIO D GRUPO I DE HOLMUL. <i>Berenice García Vázquez</i>	
CAPÍTULO 3	78
CONSERVACIÓN DEL FRISO DEL EDIFICIO A, GRUPO II, HOLMUL HOL.T.78.32. <i>Mariana Colín Gámez y Ma. Fernanda Escalante Hernández</i>	
CAPÍTULO 4	89
EXCAVACIONES Y RESCATE EN EL ÁREA DE LA SUFRICAYA, HOLMUL, PETÉN, GUATEMALA. <i>Alexandre Tokovinine, Julián Adolfo Canan, César Enríquez</i>	
CAPÍTULO 5	110
LA ATALAYA, WITZNA ESTE. <i>Kaitlin Ahern</i>	
CAPÍTULO 6	135
WITZNA ESTE, ESTRUCTURA 9. <i>Bhanny Girón</i>	
CAPÍTULO 7	160
EXCAVACIÓN WIT.T.17, ESTRUCTURA 2, WITZNA. <i>Armando García</i>	
CAPÍTULO 8	171
EXCAVACIONES EN LA ESTRUCTURA 2, WITZNA ESTE. <i>Edgar Quinac</i>	
CAPÍTULO 9	187
ANÁLISIS DE CERÁMICA Y LÍTICA, TEMPORADAS 2016-2018 PROYECTO ARQUEOLÓGICO HOLMUL. <i>Ana Lucía Arroyave, César Enríquez, Adolfo Canan y Bhanny Girón</i>	
ANEXOS	
-Datos de lítica analizada	212
-Catálogo de piezas	213

ÍNDICE DE FIGURAS

CAPÍTULO 1

Figura 1.1. Mapa en relieve de la región de Holmul y sus sitios menores.	3
Figura 1.2. Perfil este del Edificio D (izquierda), Edificio A-B (centro) y basamento del Grupo I.	4
Figura 1.3. a) Corte de entierro femenino en el piso del Edificio D tercer-último, y b) después de excavar.	5
Figura 1.4. Entierro HOL.T.93.	6
Figura 1.5. Gráfica de la fecha de carbono de un fragmento óseo del entierro HOL.T.93.67.	6
Figura 1.6. Gráfica de la fecha de radiocarbono de un fragmento de carbón dentro del relleno.	7
Figura 1.7. Segundo entierro asociado a la tercera última fase del Edificio D, antes de excavar.	8
Figura 1.8. Cista con restos óseos de un individuo.	9
Figura 1.9. Estilo pictórico de la vasija del taller de Naranjo del gobernante <i>Ajnuumsaj Chan K'inich</i> .	10
Figura 1.10. Texto jeroglífico sigue el patrón esquemático de las dedicatorias de PSS.	11
Figura 1.11. Gráfica de las fechas de radiocarbono absolutas y calibradas de un fragmento de carbón.	12
Figura 1.12. Vasijas de ofrenda en la fase cuarta-última del Edificio D, Grupo I.	13
Figura 1.13. Dos vistas de la vasija principal de la ofrenda de la fase cuarta-última del Edificio D.	13
Figura 1.14. El contenido de la vasija con rostro de <i>K'inich</i> .	14
Figura 1.15. Vasijas cerradas y vacías.	14
Figura 1.16. Perfil sur del Edificio A-B del Grupo I de Holmul.	15
Figura 1.17. a) Fases constructivas anteriores, b) Restos de un piso y muro con talud preclásico.	16
Figura 1.18. Vista de la subestructura con pigmento rojo en el basamento del Grupo I.	17
Figura 1.19. Vista hacia el sur desde la estructura de La Atalaya.	18
Figura 1.20. Vista general de la estructura adosada a la escalinata de la pirámide de La Atalaya.	18
Figura 1.21. Vista de la subestructura de la Atalaya antes y b) después de su excavación parcial.	19
Figura 1.22. Vista de la estructura adosada a la pirámide de la Atalaya durante la excavación.	20
Figura 1.23. Vistas de la excavación en la estructura superior.	21
Figura 1.24. Vista de la distribución de fragmentos de estela en el área frente a pirámide de la Atalaya.	21
Figura 1.25. Dos de los fragmentos de la Estela 5 encontrados enfrente a la pirámide.	22
Figura 1.26. Escaneo de un fragmento de La Estela 5 de Witzna.	23
Figura 1.27. Vista de una de las terrazas/muralla.	23
Figura 1.28. Visualización de relieve de la topografía lidar (<i>opennes</i>) de la zona de Witzna Este.	24
Figura 1.29. Fragmento inferior de la Estela 3 frente a la Estructura 9 de Witzna.	25
Figura 1.30. Vista desde el sur fragmentos de la Estela 4 de Witzna <i>in situ</i> frente a la Estructura 9.	26
Figura 1.31. Imágenes del escaneo de la Estela 4 de Witzna por Alexandre Tokovinine.	27
Figura 1.32. Vista hacia el oeste de la trinchera superior de la Estructura Este.	28
Figura 1.33. Vista hacia el sur de la cista después de haberse removido el material de relleno.	29
Figura 1.34. Vista desde el sureste de la cámara este de la Estructura 3 de Witzna Este.	30
Figura 1.35. Vista vertical del esgrafiado hecho sobre la banqueta formando un <i>patolli</i> .	31
Figura 1.36. Estructura 3 y un corte frente a la puerta central.	31

CAPÍTULO 2

Figura 2.1. a) Gradadas localizadas en el año 2016, b) Misma sección liberada en el año 2018.	35
Figura 2.2. Peldaños de la sección de gradas estucadas con número de contexto HOL.T.94.06.	35
Figura 2.3. Talud (HOL.T.94.08) encontrado a 5 m hacia el norte de las primeras gradas.	36
Figura 2.4. Esquema de las diferentes fases y etapas constructivas de la unidad HOL.T.94.	37
Figura 2.5. Esquema de la matriz de Harris de la unidad HOL.T.94.	37
Figura 2.6. Imagen superior dibujo en corte norte-sur de la unidad HOL.T.	38
Figura 2.7. Piso (HOL.T.102.17) al extremo sur de las gradas de la unidad HOL.T.102.	39
Figura 2.8. Esquema del piso (HOL.T.102.17) al extremo sur de las gradas de la unidad HOL.T.102.	39
Figura 2.9. a) Talud HOL.T.102.10; b) Gradas del cuerpo HOL.T.102.II postradas sobre el talud.	40
Figura 2.10. a) Cuerpo inclinado (HOL.T.102.25 y 26); b) Huella o remate del talud.	41
Figura 2.11. Matriz de Harris de la unidad de excavación HOL.T.102.	41
Figura 2.12. Esquema de la unidad de excavación HOL.T.102.	43
Figura 2.13. Esquema del corte transversal de la unidad HOL.T.102.	44
Figura 2.14. Esquema 3D del basamento de la unidad HOL.T.102.	45
	46

Figura 2.15. De sur a norte, paramento conformado por piedras irregulares.	47
Figura 2.16. Vista sur del paramento HOL.T.104.03, conformado por piedras irregulares.	48
Figura 2.17. a) Vista sur de las gradas HOL.T.104.04; b) Comienzo del cajón constructivo.	49
Figura 2.18. Segmento liberado compuesto por 3 gradas estucadas con enlucido rojo.	50
Figura 2.19. Representación de la Matriz de Harris de la unidad HOL.T.104.	51
Figura 2.20. Esquema del perfil oeste (corte transversal este a oeste A-A') de la unidad HOL.T.104.	52
Figura 2.21. Esquema del perfil oeste (corte transversal oeste a este A-A) de la unidad HOL.T.104.	53
Figura 2.22. Excavación HOL.T.105; b) Piso HOL.T.105.04 asociado al muro de la fachada exterior.	54
Figura 2.23. a) Túnel de exploración de la unidad HOL.T.105; b) Zócalo expuesto.	55
Figura 2.24. Izquierda. Vano de Acceso con Jamba; Derecha. Piso y talud (HOL.T.105.13) explorados.	56
Figura 2.25. (HOL.T.105.13)	56
Figura 2.26. HOL.T.105.08.	57
Figura 2.27. Matriz de Harris de la unidad HOL.T.105.	58
Figura 2.28. Dibujo en planta y corte B-B' de la unidad HOL.T.105 desde una perspectiva oeste.	59
Figura 2.29. Esquema de la unidad HOL.T.105 desde una perspectiva norte.	60
Figura 2.30. Esquema de la unidad HOL.T.105 perfil oeste.	61
Figura 2.31. Entierro HOL.T.93.67 <i>in situ</i> , Izquierda.	62
Figura 2.32. HOL.T.93.67.02.01 y HOL.T.93.67.02.02); (HOL.T.93.67) navajilla prismática de obsidiana.	63
Figura 2.33. Esquema del contexto HOL.T.93.67 del Edificio D.	64
Figura 2.34. Esquema del contexto HOL.T.93.67 primera fase.	65
Figura 2.35. Esquema del contexto HOL.T.93.67 segunda fase exponiendo el entierro HOL.T.93.67.09.01.	66
Figura 2.36. Depósito ritual HOL.T.93.68 de la Unidad 93.	67
Figura 2.37. a) Banqueta HOL.T.93.79; b) Horadación del contexto HOL.T.93.81.	68
Figura 2.38. Esquema en planta de los contextos HOL.T.93.67 y HOL.T.93.68.	69
Figura 2.39. Esquema del contexto HOL.T.93.67 y Banqueta HOL.T.93.79.	70
Figura 2.40. Entierro HOL.T.93.76 con degradación avanzada.	71
Figura 2.41. Plato curvo convergente negro HOL.T.93.76.02.03; b) Vaso policromo HOL.T.93.76.02.01.	72
Figura 2.42. Matriz de Harris del contexto HOL.T.93 con elementos representados.	72
Figura 2.43. a) Vaso efigie y b) Vasos con tapadera del contexto HOL.T.93.77; c) Conjunto de artefactos.	73
Figura 2.44. Representación del entierro HOL.T.93.67 y lajas del contexto HOL.T.93.81.	74
Figura 2.45. Representación del entierro HOL.T.93.76 con sus vasijas ofrendadas.	75
Figura 2.46. Representación esquemática de la ubicación de los entierros.	76
Figura 2.47. Esquema en planta de los entierros HOL.T.93.67.09.01 y HOL.T.93.76.09.01.	77
Figura 2.48. Esquema del corte transversal del Basamento I y Edificio D del Grupo I.	

CAPÍTULO 3

Figura 3.1. Detalle de primer panel, muro Oeste.	79
Figura 3.2. Superficie exterior del Edificio A.	79
Figura 3.3. Esquina Noroeste con galerías de termitas sobre el estuco.	79
Figura 3.4. Parte superior primer panel, muro Noroeste con galerías de termitas sobre el estuco.	80
Figura 3.5. Banda de glifos de muro Oeste con galerías de termitas en la piedra.	80
Figura 3.6. Túnel de acceso hacia la subestructura, vista desde la entrada al friso.	80
Figura 3.7. Muro Norte, sondeo de arquitrabe donde se observa la pérdida de aplanado.	81
Figura 3.8. Muro Norte, vista desde esquina Oeste hacia Este.	81
Figura 3.9. Rodilla derecha de personaje en esquina Noroeste.	81
Figura 3.10. Esquina Noroeste, debajo de rodilla derecha del personaje.	81
Figura 3.11. Personaje en esquina Noroeste.	82
Figura 3.12. Detalle de relieve policromo en muro Norte con crecimiento de raíces y raicillas.	82
Figura 3.13. Primer panel de muro Oeste (misma zona que la figura 4) después de tratamientos.	82
Figura 3.14. Detalle de la zona donde se desprendieron los glifos, imagen tomada en 2013.	83
Figura 3.15. Detalle de la misma sección después de estabilización en 2014.	83
Figura 3.16. Fragmentos recuperados, colocados en cama de arena para determinar su posición correcta.	83
Figura 3.17. Digitalización y reconstrucción de bloques pH y pI.	83
Figura 3.18. Durante pegado de bloques.	84
Figura 3.19. Fragmentos de glifos adheridos a la banda de inscripciones.	84
Figura 3.20. Glifos pegados y con reposición de volumen.	84

Figura 3.21. Bloques después de reintegración de color, proceso final.	84
Figura 3.22. Detalle de panel central resanado.	84
Figura 3.23. Detalle de panel central después de reintegración de color.	84
Figura 3.24. Rodilla derecha de personaje central con resanes.	85
Figura 3.25. Rodilla después de reintegración de color.	85
Figura 3.26. Nariz en panel central con resanes.	85
Figura 3.27. Nariz después de reintegración de color.	85
Figura 3.28. Estratigrafía en muro Sur.	86
Figura 3.29. Resane de aplanado en muro Sur.	86
Figura 3.30. Borde de muro Sur con material de relleno cubriendo la superficie.	86
Figura 3.31. Borde de muro Sur después de quitar la argamasa gris.	86
Figura 3.32. Colocación de fragmentos desprendidos en muro Sur.	86
Figura 3.33. Aplicación de lechada con arena fina como acabado final en zonas con pérdida de aplanado.	86
Figura 3.34. Límite Este del muro Sur solo con ribetes para estabilizar.	87
Figura 3.35. Límite Este del muro Sur después de tratamientos.	87

CAPÍTULO 4

Figura 4.1. Mapa de La Sufricaya indicando las investigaciones en 2017 y 2018.	90
Figura 4.2. Fragmentos de los incensarios de SUF.pL.13: a) Paxbán sin engobe, SUF.pL.13.01.	91
Figura 4.3. Perfil sur del saqueo SUF.pL.15/SUF.L.27.	93
Figura 4.4. Perfil norte de la trinchera de saque SUF.pL.17.	94
Figura 4.5. Tiestos del mismo estilo en Holmul y La Sufricaya: a) SUF.pL.17.06; b) HOL.STP.01.03.	95
Figura 4.6. Perfil norte de SUF.pL.20/SUF.L.29	96
Figura 4.7. Tiestos con glifos e iconografía de la trinchera SUF.pL.20/SUF.L.29: a-j) SUF.pL.20.01.	97
Figura 4.8. Perfil sur del saqueo SUF.pL.22/SUF.L.30	98
Figura 4.9. a-k. Tiestos cerámicos policromos con pseudoglifos e iconografía recuperados.	99
Figura 4.10. Perfil norte del saqueo SUF.pL.23/SUF.L.31.	100
Figura 4.11. Perfil norte del saqueo SUF.pL.24/SUF.L.32.	101
Figura 4.12. Cerámica del lote SUF.pL.24.01: a) SUF.pL.24.01.02.01; b-e) tiestos policromos.	102
Figura 4.13. Perfil oeste (a) y norte (b) del sondeo SUF.T81.	103
Figura 4.14. Perfil oeste (a) y norte (b) del sondeo SUF.T82.	104
Figura 4.15. Perfil norte (a) y este (b) del sondeo SUF.T83.	105
Figura 4.16. Perfil oeste (a) y norte (b) del sondeo SUF.T84.	106
Figura 4.17. Perfil sur (a) y oeste (b) del sondeo SUF.T.86.	108

CAPÍTULO 5

Figura 5.1. Vista del contexto WIT.T.13.06.	111
Figura 5.2. Vista de perfil oeste del corte B-B en la excavación WIT.T.13	111
Figura 5.3. Vista del pozo de la excavación WIT.T.13.	112
Figura 5.4. Vista del fragmento del cráneo que se encuentra en el pozo (WIT.T.13.10)	113
Figura 5.5. Vista de la entrada del túnel y de la pared WIT.T.13.15.	114
Figura 5.6. Dibujo de la entrada del túnel y de la pared WIT.T.13.15.	114
Figura 5.7. Dibujo en planta de la excavación WIT.T.13 y ubicación de los cortes A-A y B-B.	115
Figura 5.8. Vista de perfil este del corte A-A en la excavación WIT.T.13.	116
Figura 5.9. Matriz de Harris de la excavación WIT.T.13	117
Figura 5.10. Dibujo en planta de la excavación WIT.T.14.	119
Figura 5.11. Vista de la escalinata (WIT.T.14.09) y la entrada del túnel.	120
Figura 5.12. Vista del túnel construido bajo la escalinata (WIT.T.14.09).	120
Figura 5.13. Vista de perfil este de la excavación WIT.T.14.	122
Figura 5.14. Matriz de Harris de la excavación WIT.T.14.	123
Figura 5.15. Perfil este de la Atalaya, incluyendo las excavaciones WIT.T.13 y WIT.T.14.	124
Figura 5.16. Vista de perfil este de la excavación WIT.T.15.	126
Figura 5.17. Dibujo de planta de la excavación WIT.T.15.	126
Figura 5.18. Matriz de Harris de la excavación WIT.T.15.	127
Figura 5.19. Dibujo de planta de la excavación WIT.T.19.	129
Figura 5.20. Vista de perfil este de la excavación WIT.T.19.	129

Figura 5.21. Matriz de Harris de la excavación WIT.T.19.	130
Figura 5.22. Dibujo de planta de las excavaciones WIT.T.13, WIT.T.15, y WIT.T.19.	131
Figura 5.23. Fragmento del altar.	131
Figura 5.24. Fragmento del altar.	132
Figura 5.25. Fragmento del altar.	132
Figura 5.26. Punta de lanza descubierta en el contexto WIT.T.22.02.	133
Figura 5.27. Dibujo de planta de la excavación WIT.T.22.	134
Figura 5.28. Matriz de Harris de la excavación WIT.T.22.	134

CAPÍTULO 6

Figura 6.1. WIT.T.18.02, Estela 3 en su lado posterior.	135
Figura 6.2. WIT.T.18.03, se observa la estela recostada sobre una gran piedra blanca.	136
Figura 6.3. WIT.T.18.06, cinco excéntricos encontrados debajo del asiento de la Estela 4	137
Figura 6.4. Fragmentos de la Estela 4.	138
Figura 6.5. Fragmento de la parte superior de la Estela 4.	138
Figura 6.6. Cinco piezas de excéntricos.	139
Figura 6.7. Matriz de Harris de la Excavación WIT.T.18.	140
Figura 6.8. Contexto WIT.L.20.01, limpieza de humus y saqueo.	141
Figura 6.9. Muro de contención (WIT.L.20.07) marcado con color, se observa el relleno junto al muro.	143
Figura 6.10. Piso estucado (WIT.L.20.09) con restos de quemado.	143
Figura 6.11. Pared semi-circular (WIT.L.20.10), corriendo de sur a norte.	144
Figura 6.12. Pared estucada y mutilada (WIT.L.20.12) con vista hacia el oeste.	145
Figura 6.13. Ofrendas, contextos WIT.L.20.14 y WIT.L.20.15.	146
Figura 6.14. Ofrendas, WIT.L.20.16 y WIT.L.20.17.	146
Figura 6.15. Vista de planta de la tumba (WIT.L.20.20) con el material que se construyó.	147
Figura 6.16. Vista de planta del entierro.	148
Figura 6.17. Vista de Planta de la Estela 3 con las ofrendas y entierro, WIT.L.20, Estructura 9.	149
Figura 6.18. Vista de Planta de la Excavación WIT.L.20, Estructura 9.	150
Figura 6.19. Perfil Sur de la Excavación WIT.L.20, Estructura 9.	151
Figura 6.20. Perfil Norte de la Excavación WIT.L.20, Estructura 9.	152
Figura 6.21. Matriz de Harris de la Excavación WIT.L.20.	153
Figura 6.22. Contexto WIT.L.21.01, tiestos cerámicos tipo ofrenda ritual.	155
Figura 6.23. Contexto WIT.L.21.04.	155
Figura 6.24. Contextos WIT.L.21.07 y WIT.L.20.08, se observa la pared pulida y mutilada.	156
Figura 6.25. Vista de Planta con los contextos de WIT.L.21, perfiles sur, oeste y norte.	157
Figura 6.26. Perfil Sur de la Excavación WIT.L.21, Estructura 9.	158
Figura 6.27. Perfil este de la Excavación WIT.L.21, Estructura 9.	158
Figura 6.28. Vista de Planta de la Excavación WIT.L.21.	159
Figura 6.29. Matriz de Harris de la Excavación WIT.L.21.	159

CAPÍTULO 7

Figura 7.1. Contexto WIT.T.17.01, humus.	160
Figura 7.2. Contexto WIT.T.17.02.	160
Figura 7.3. Contexto WIT.T.17.03, muro.	161
Figura 7.4. Contexto WIT.T.17.04, piso con estuco de color rojo.	161
Figura 7.5. Contexto WIT.T.17.05, piso.	162
Figura 7.6. Contexto WIT.T.17.06, piso estucado.	162
Figura 7.7. Piso estucado mal preservado.	163
Figura 7.8. Contexto WIT.T.17.08, relleno	163
Figura 7.9. Contexto WIT.T.17.09, muro Oeste	164
Figura 7.10. Perfil Este de la excavación WIT.T.17, con los contextos WIT.T.17.01.02.03.05.06.09.10.	164
Figura 7.11. Contexto WIT.T.17.11, piso.	165
Figura 7.12. Contexto WIT.T.17.12, piso estucado.	165
Figura 7.13. Contexto WIT.T.17.13, muro Norte.	165
Figura 7.14. Contexto WIT.T.17.14, bloques de piedra caliza.	166
Figura 7.15. Perfil Oeste de la excavación WIT.T.17, con los contextos.	166

Figura 7.16. Contexto WIT.T.17.15, banqueta.	167
Figura 7.17. Contexto WIT.T.17.16, gradas detrás del muro Norte.	167
Figura 7.18. Planta de la excavación WIT.T.17, con los contextos WIT.T.17.02.03.04.06.09.11.12.	168
Figura 7.19. Perfil Norte de la excavación WIT.T.17, con los contextos WIT.T.17.01.02.05.06.09.13.15.	168
Figura 7.20. Matriz de Harris de la excavación WIT.T.17.	169

CAPÍTULO 8

Figura 8.1. Piso estucado rojo con evidente corte superficial	172
Figura 8.2. Jamba colapsa por efecto natural de las raíces y muro oeste.	173
Figura 8.3. Bloque de piedra caliza cubierto de estuco gris con incisiones que evidencian un <i>patolli</i>	174
Figura 8.4. Dibujo del <i>patolli</i> inciso sobre bloque de piedra caliza cubierto por estuco gris.	174
Figura 8.5. Muros expuestos del cuarto identificado durante la excavación.	175
Figura 8.6. Perfil oeste del cuarto y acceso excavado en las unidades WIT.T.11 y WIT.T.21.	176
Figura 8.7. Tapón construido con bloques rectangulares de piedra caliza dentro del acceso.	177
Figura 8.8. Acceso que conduce del cuarto al exterior de la estructura.	177
Figura 8.9. Dibujo del perfil este del cuarto y acceso.	178
Figura 8.10. Planta de las unidades de excavación WIT.T.11 y WIT.T.21.	179
Figura 8.11. Gradas de escalinata que conduce hacia la parte superior del edificio.	180
Figura 8.12. Planta de la unidad de excavación WIT.T.11	180
Figura 8.13. Perfil oeste de la unidad WIT.T.12.	181
Figura 8.14. Perfil este de la unidad WIT.T.12 con la estructura escalonada.	181
Figura 8.15. Bloques de la escalinata.	182
Figura 8.16. Dibujo de la extensión final de los trabajos de excavación dentro del túnel.	183
Figura 8.17. Perfil este que muestra la extensión final del túnel y la excavación del pozo.	183
Figura 8.18. Perfil oeste de la unidad de excavación WIT.T.16.	184
Figura 8.19. Matriz Harris para la excavación WIT.T.11.	185
Figura 8.20. Matriz Harris para la unidad de excavación WIT.T.12.	185
Figura 8.21. Matriz Harris para la unidad de excavación WIT.T.16.	186
Figura 8.22. Matriz Harris para la excavación WIT.T.21.	186

CAPÍTULO 9

Figura 9.1. Cronología para Holmul y sitios del área Maya.	189
Figura 9.2. Cobertura LiDAR mostrando la ubicación de Holmul, Witzna', Xmakabatun.	190
Figura 9.3. Gráfica que muestra la cantidad de material analizado.	192
Figura 9.4. Gráfica que muestra el porcentaje total de la muestra respecto a las partes recuperadas.	193
Figura 9.5. Gráfica que muestra el porcentaje total de toda la muestra respecto a las formas genéricas.	194
Figura 9.6. Gráfica con los tipos y variedades más frecuentes.	197
Figura 9.7. Ejemplares de Achiotes sin Engobe y Altamira Acanalado.	199
Figura 9.8. Ejemplares de Quintal sin Engobe y Actuncan/Dos Arroyos Naranja Policromo.	199
Figura 9.9. Ejemplares de Águila Naranja y Quintal sin Engobe.	200
Figura 9.10. Ejemplares de monocromos Máquina Café y Azote Naranja.	200
Figura 9.11. Ejemplares de Zacatal Crema Policromo y Cambio sin Engobe tipo diagnóstico de Chak 1-3.	201
Figura 9.12. Ejemplares Cabrito Crema Policromo diagnóstico para el Clásico Tardío, Complejo Chak 2.	201
Figura 9.13. Ejemplares de Achiotes sin Engobe y Baclam Naranja del periodo Preclásico Medio.	202
Figura 9.14. Ejemplares de platos Águila Naranja como parte de una ofrenda en el sitio Witzna.	202
Figura 9.15. Ejemplares de Cabrito Crema Policromo, Complejo Chak 2 Clásico Tardío.	203
Figura 9.16. Ejemplares de Zacatal Crema Policromo y un fragmento de Saxche Naranja Policromo.	203
Figura 9.17. Ejemplares del Tipo Subin Rojo y Manteca Impreso sin engobe.	204
Figura 9.18. Ejemplares de Altar Naranja, Tipo Pabellón Moldeado-Tallado.	204
Figura 9.19. Navajas prismáticas de obsidiana fechadas para el Preclásico Terminal.	208
Figura 9.20. Piedras de caliza horadadas, el último ejemplar a la derecha es una esfera de caliza.	209
Figura 9.21. Ofrenda de Excéntricos de pedernal encontrada en Witzna.	209
Figura 9.22. Puntas de flecha y preformas.	210
Figura 9.23. Ejemplares de lascas de pedernal y un pulidor/alisador de caliza.	210

CAPÍTULO I

RESUMEN DE INVESTIGACIONES ARQUEOLÓGICAS Y CONSERVACIÓN DE ARQUITECTURA MONUMENTAL EN LA REGIÓN DE HOLMUL TEMPORADA 2018

Francisco Estrada-Belli
Director del Proyecto Arqueológico Holmul (Tulane University)

RESUMEN 2018

Las actividades del Proyecto Holmul durante la temporada de 2018 fueron enfocadas en dos áreas. Las estructuras principales del Grupo I de Holmul, y algunas estructuras ceremoniales en Witzna, al margen este de su zona urbana, denominada Witzna Este. Dos grupos de estructuras investigadas se ubican a lo largo de una calzada mientras un tercer conjunto piramidal se encuentra en la cumbre de un cerro (denominado *Atalaya/ Watchtower*). Las excavaciones fueron enfocadas a rescatar restos de ofrendas, entierros u otros contextos sellados que puedan clarificar la fecha y función de las estructuras. También se realizaron trabajos de conservación de los estucos del Friso de Holmul y la consolidación de una parte del túnel de acceso al mismo.

En Holmul se excavó en tres puntos del Grupo, en el Edificio D (basamento piramidal del mismo), en el basamento del Grupo I a nivel de plaza y a nivel de la plataforma, y en el lado norte del Edificio A (Figura 1.1).

Entre los principales hallazgos se incluyen:

- Dos entierros que podrían pertenecer a un gobernante de Holmul del 555 d. C. y a su consorte.
- Una fase Preclásica Tardía del Grupo I muy bien conservada.
- Una fase intermedia del Grupo I, posiblemente de la época Clásica Temprana.

En Witzna Este se investigaron tres grupos de estructuras para establecer función y fecha. Se encontraron:

- Tres fases constructivas de la Atalaya o *Watchtower*, una de ellas asociadas a un pozo con un entierro de un niño del Clásico Temprano, y una estela fragmentada del Preclásico Tardío.
- Un edificio adosado a la pirámide de la Atalaya y un recinto alrededor de todo el conjunto.
- Evidencia de quema en la última fase de ocupación (Clásico Temprano).
- Una cista de un entierro vacía, fragmentos de dos estelas y una serie de ofrendas asociados a la Estructura 9 del Clásico Temprano y Tardío.
- Dos de los edificios del conjunto sobre la calzada fueron de tipo ritual. Una fase de los mismos fue quemada en el Clásico Tardío.

En resumen, referente a Holmul, resalta la existencia, de una vasija inscrita con el nombre del gobernante de Naranjo y vasallo de los reyes *Kaanul Ajnuumsaj Chan K'inich* en un entierro de un gobernante local. En Witzna Este, resalta la abundante evidencia de quemaduras y de muros defensivos en el Clásico Tardío la cual podría relacionarse también con un ataque perpetrado por la Señora Seis Cielo y su hijo *K'ahk' Tilew* gobernante de Naranjo en el año 697, como descrito en la Estela 22 de Naranjo (Martin y Grube 2008).

INTRODUCCIÓN

La temporada de campo de 2018 se desarrolló durante los meses de junio y julio. La misma fue precedida y seguida por el trabajo de laboratorio desde de enero a mayo y de julio a diciembre del mismo año. Como es usual, algunos trabajos de laboratorio siguen en proceso. Las investigaciones de 2018 fueron realizadas en el marco de un convenio trianual con vigencia a partir del 2016 a todo el año 2018 (DGPCYN 18-2016). Participaron en las investigaciones de campo 10 profesionales y técnicos y un promedio de 55 laborantes, choferes y ayudantes de cocina.

Durante la temporada de 2018 el Proyecto Arqueológico Holmul procedió a:

- Conservar la arquitectura y escultura del Edificio A (friso) del Grupo II de Holmul.
- Investigar por medio de excavaciones las subestructuras del Grupo I de Holmul.
- Investigar por medio de excavaciones los grupos habitacionales de La Sufricaya.
- Investigar algunas áreas específicas de Witzna Este: la pirámide sobre el Gran Cerro denominada *La Atalaya* (*Watchtower* en inglés) y dos grupos monumentales cercanos a esta conectados al grupo central de Witzna por medio de una calzada (Estructuras 3-4 y 9).

UBICACIÓN GEOGRÁFICA DE AREAS DE INVESTIGACIÓN

El sitio arqueológico Holmul se localiza a 35 km al este de Tikal y a 50 km al noreste del municipio de Melchor de Mencos. Dentro de la cuenca del río Holmul y en áreas relacionadas a la misma existen varios centros ceremoniales mayores y menores cuya historia fue ligada a la de Holmul como centro primario de la región. Entre ellos se cuenta con sitios menores como Dos Aguadas, Tot, Chanchich, Riverona, K'o, Hamontun, Hahakab y otros aun inexplorados, así como los sitios mayores Cival, Witzna' y Xmakabatun con auge de ocupación en épocas prehispánica distintas (Figura 1.1). El sitio Witzna' se sitúa sobre un área de colinas que forman parte de una escarpa cárstica a unos 15 km en línea directa al norte de Holmul, desde donde pueden verse ambos sitios uno del otro.

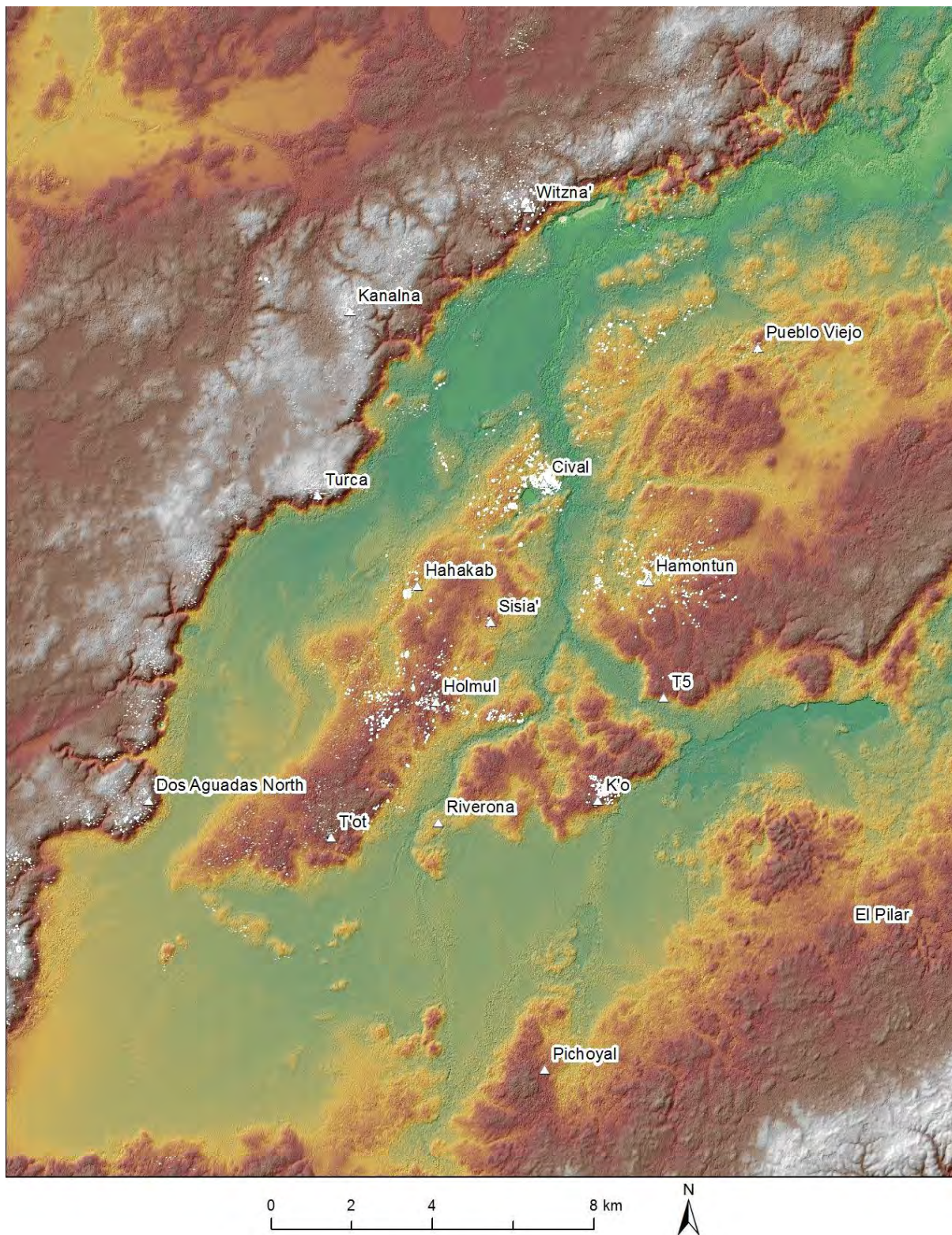


Figura 1.1. Mapa en relieve de la región de Holmul y sus sitios menores. Topografía derivada de datos NASA Star3I misión AIRSAR de 1999. Los colores simbolizan la elevación de baja (verde) a alta (café a blanco) (imagen Estrada-Belli).

HOLMUL

En el Grupo I de Holmul se continuó una excavación en la subestructura de Edificio D anterior a la excavada en 2017 (véase Estrada-Belli 2017).

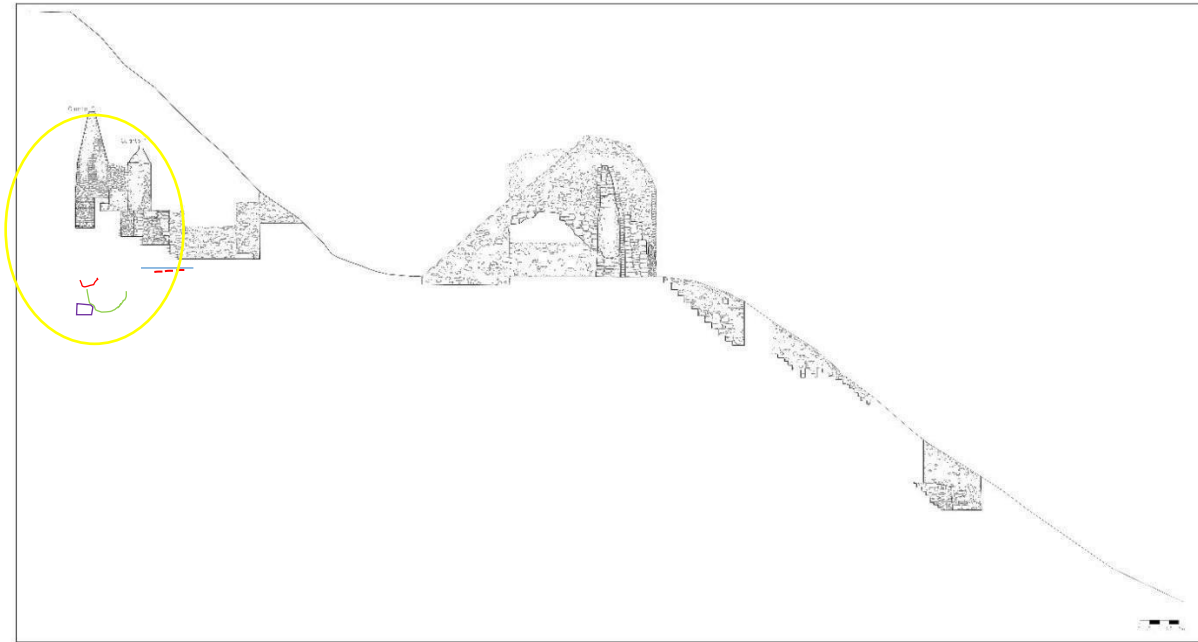


Figura 1.2. Perfil este del Edificio D (izquierda), Edificio A-B (centro) y basamento del Grupo I evidenciando las subestructuras del Edificio D y la ubicación de los entierros encontrados en la presente temporada (dibujo B. García).

Debajo del piso de las cámaras de la subestructura tercer-ultima del Edificio D, se encontraron dos entierros: el primero (marcado en rojo) estaba debajo del piso del cuarto posterior, este posiblemente sea un individuo de sexo femenino. El segundo entierro se encuentra a mayor profundidad, debajo del mismo piso y de otro piso aún más abajo perteneciente a una subestructura aun anterior, la cuarta-última. En el lado norte del entierro, y separado del mismo se halló una ofrenda de cuatro incensarios perteneciente a la misma fase cuarta-última del edificio.



Figura 1.3. a) Corte del entierro femenino en el piso del Edificio D tercer-último, Grupo I antes y b) después de excavar el relleno de piedras, fragmentos cerámicos y carbón (foto Estrada-Belli).



Figura 1.4. Entierro HOL.T.93. posiblemente femenino del Edificio D, Grupo I en fase de excavación. La posición del cuerpo es relativamente inusual en Holmul por ser boca abajo y cabeza hacia el sur (foto Estrada-Belli).

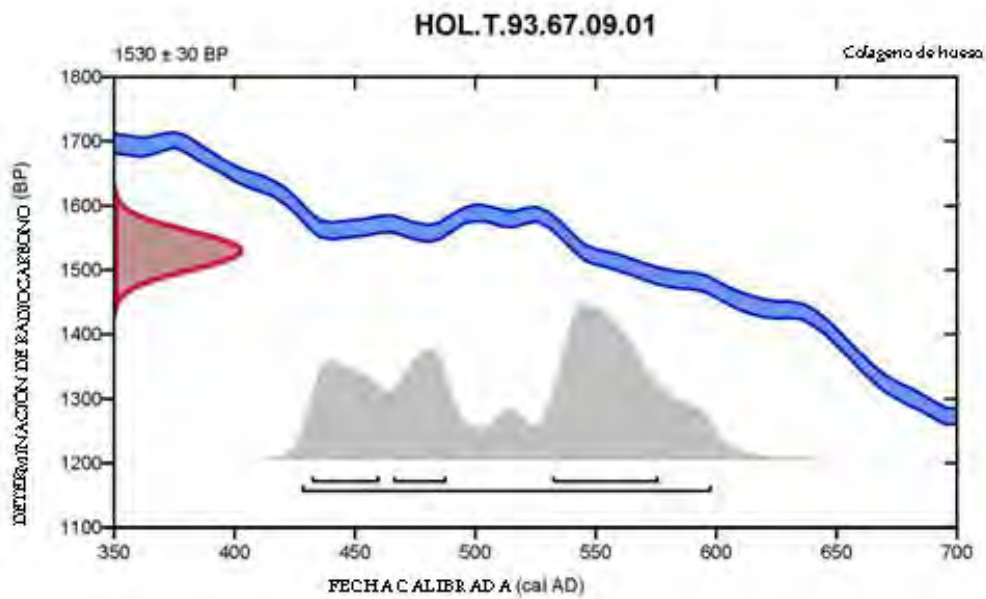


Figura 1.5. Gráfica de la fecha de carbono de un fragmento óseo del entierro HOL.T.93.67 de la fase tercer ultima del Edificio D, Grupo I de Holmul con fechas absolutas y calibradas.

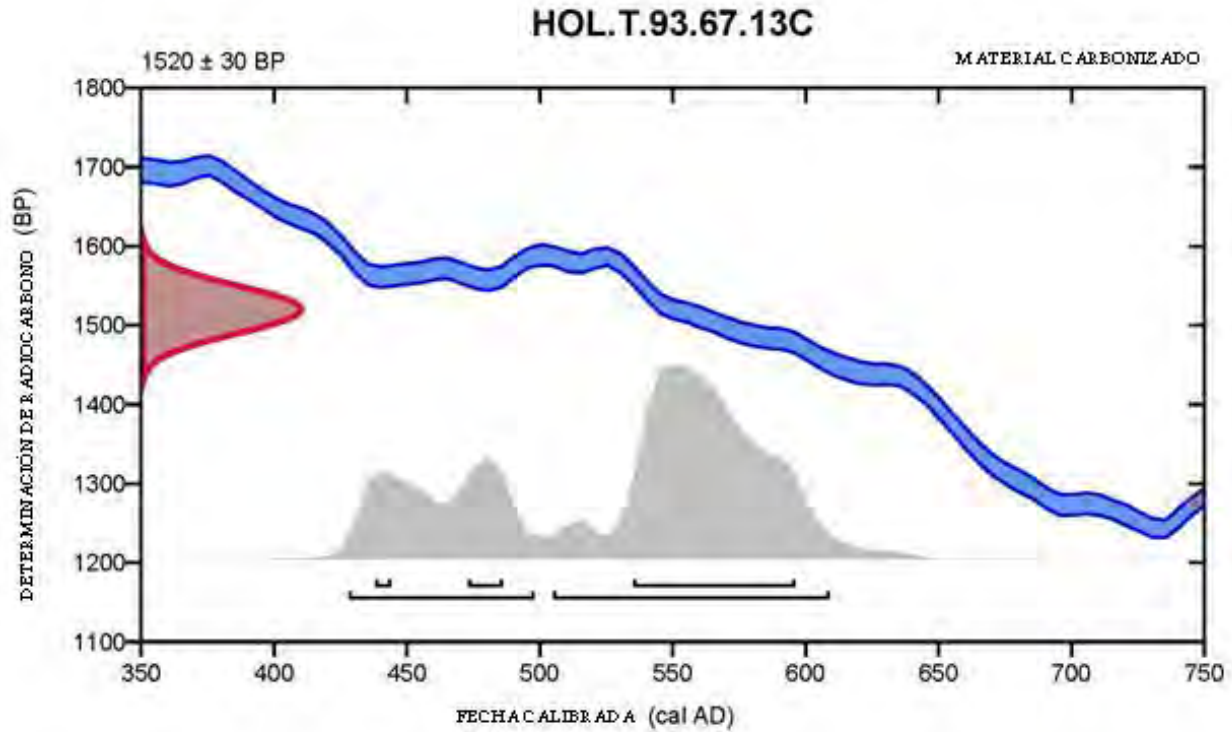


Figura 1.6. Gráfica de la fecha de radiocarbono de un fragmento de carbón dentro del relleno del entierro (femenino) HOL.T.93.67 de la fase tercer ultima del Edificio D, Grupo I de Holmul con fechas absolutas y calibradas.

Los análisis del fragmento del esqueleto enviado para exportación, proporcionó una fecha con una serie de rangos con diferentes porcentajes de probabilidad de coincidir con la fecha real de la muerte del individuo. Estos abarcan los años desde el 420 al 598 d.C. (2-sigma) y otros de mayor probabilidad de 532 a 576 (1-sigma, 37.3%) de 432 a 460 (1-sigma 16.4%) y de 466 a 488 d.C. La fecha de radiocarbono de un fragmento de carbón recuperado del relleno que tapaba el entierro dentro del corte en el piso del Edificio D, tercer última fase, es decir de un relleno contemporáneo con la colocación del entierro, proporcionó una serie de rangos muy similar si bien con un rango 2-sigma más amplio, de 428 a 609 d.C. El rango de más alta probabilidad es de 535 a 596 d.C. (1-sigma, 57.1%), lo cual coincide bien con el rango de más alta probabilidad del esqueleto (Figuras 1.4 y 1.5).



Figura 1.7. Segundo entierro asociado a la tercera última fase del Edificio D, antes de excavar. Se evidencian, el piso cortado de una fase anterior (cuarta-ultima) y las lajas horizontales y verticales que forman la cista del entierro (foto Estrada-Belli).



Figura 1.8. Dentro de la cista se encontraron restos óseos de un individuo (posiblemente joven y de sexo masculino).

Una vasija policroma con dedicatoria jeroglífica, un plato policromo (fragmentado) y un cuenco monocromo negro. El esqueleto se encontró en avanzado estado de deterioro. Se pudieron recuperar fragmentos de piernas y de cráneo. Las características dentales sugieren se trate de un individuo de edad pre-adulta (10-14 años). Sin embargo, solo un análisis osteológico detallado podrá confirmar edad y sexo (foto Estrada-Belli).



Figura 1.9. El estilo pictórico de la vasija es típico del taller de Naranjo del gobernante *Ajnuumsaj Chan K'inich*, quien gobernó del 546 a 615 d.C. aproximadamente.

La inscripción lo identifica como dueño de la vasija (véase texto completo abajo). La iconografía representa la temática del dios colibrí, también común en el repertorio del taller cerámico y de decoraciones arquitectónicas de la época de *Ajnuumsaj* en la acrópolis central de Naranjo (foto Estrada-Belli).



Figura 1.10. El texto jeroglífico sigue el patrón esquemático de las dedicatorias de PSS (*Primary Standard Sequence*) (foto Estrada-Belli modificada por A. Tokovinine).

Lo siguiente es la transliteración y traducción realizada por Alexandre Tokovinine:

- A. AL(ay) (aquí)
- B. t'abay (se presenta)
- C. yuk'ib (su vaso)
- D. Sa'al (de atol)
- E. Ka(kaw) (chocolate)
- F. Ma-i/ta (fragrante?)
- G. KELEM (joven)
- H. AJ-NUM-sa-ji (de Ajnuumsaj)
- I. AJ-KAN (el de la tierra)
- J. 2-yu-HAAB? (el de dos katunes)
- K. - L K'UH? (dios - título de los reyes de Naranjo)
- L. ¿?
- M. SAK-CHUWEN (título de los reyes de Naranjo).

En resumen, el texto indica que es una vasija para chocolate de atol, de *Ajnuumsaj*, el señor de dos katunes, el de la tierra (título) y rey de Naranjo.

De este breve texto se pueden deducir algunos datos históricos importantes.

1. El entierro no puede ser el de Ajnuumsaj (sobre todo debido a la edad joven del enterrado), sin embargo, solo un rey de Holmul podría haber recibido una vasija perteneciente a ese importante gobernante. Por lo tanto, este entierro es probablemente de un rey de Holmul.
2. La fecha del entierro es de alrededor del año 554 o posterior a ella debido a que de acuerdo a la dedicatoria de la vasija Ajnuumsaj estaba en su segundo katún cuando se creó la misma y por ello era de entre los 0 y 39 años de edad. La vasija pudo haberse creado en ocasión de las celebraciones del cumplimiento del katún seis el 18 de marzo de 554 d.C. y por lo tanto, el entierro no puede ser anterior a esa fecha.

El punto 2 hace muy probable que el rey de Holmul enterrado aquí sea el gobernante antecesor de *Chan Yopaat* quien está retratado en el Friso en el año 593-600 d.C., sobre su propia tumba. De acuerdo a la inscripción del friso su nombre sería *Juun Ch'amab K'uh Kosol* (no traducible). Se desconoce la relación familiar de este con su sucesor, sin embargo, no se puede excluir que trate de padre-hijo.

Se procesaron dos muestras para fechar este entierro. La primera es un fragmento óseo del esqueleto la cual no dio resultados. La segunda es un fragmento de carbón del relleno. La expectativa inicial era que el carbón podría ser relativamente más temprano que el entierro femenino el cual si bien está asociado a la misma fase del edificio fue colocado en posición relativamente más alta respecto a este dentro del mismo edificio.

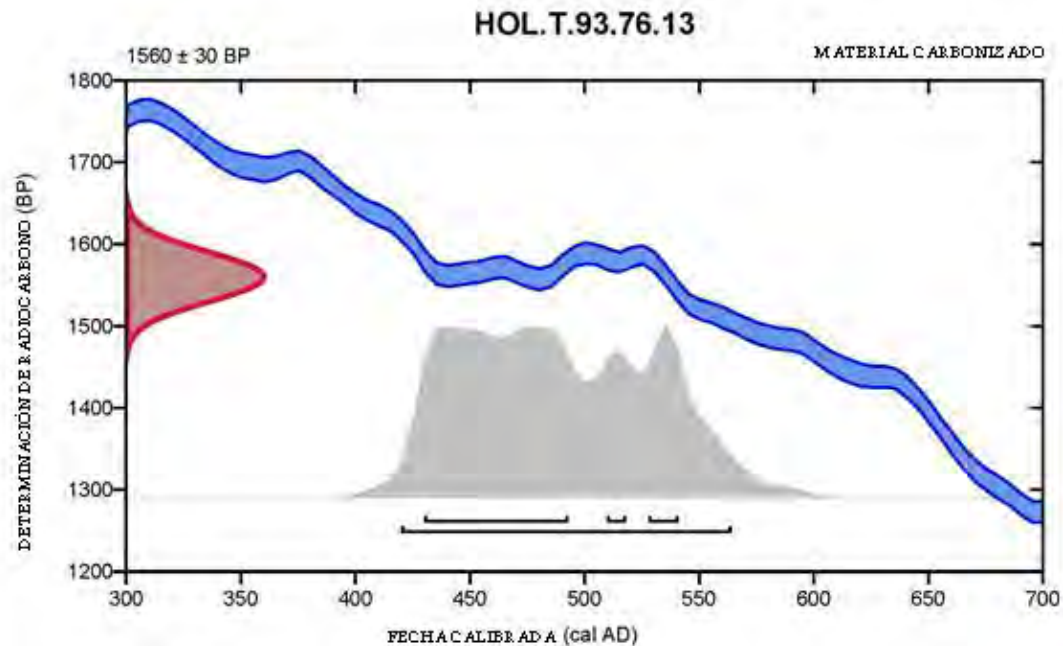


Figura 1.11. Gráfica de las fechas de radiocarbono absolutas y calibradas de un fragmento de carbón dentro del relleno sobre la tumba HOL.T.93.76 de la fase tercer última del Edificio D del Grupo I de Holmul asociada al vaso de Naranja.

La fecha obtenida proporciona varios rangos de probabilidad de coincidir con la fecha real del entierro. El rango más amplio abarca los años del 420 al 564 y por ello es por varias décadas más temprano del carbón encontrado en otro entierro en esta fase de la estructura. El rango 1-sigma de más alta probabilidad (52.6%) va del 430 al 493 d.C. Otro rango va del 528 al 541 (10%) y del 510 al 518 d.C. (5.4%) (Figura 1.10). Es posible que este entierro sea mucho más antiguo al entierro HOL.T.96.67 aunque debido a la estratigrafía, es decir al hecho de que sus cortes penetren el mismo piso sin tener una relación directa uno con otro impide establecer con certeza cuál fue más temprano y cual más tardío.

Sin embargo, hay otras razones de acuerdo a las cuales este entierro no puede fechar antes del 554 d.C. A la luz de la fecha proporcionada por la interpretación de la inscripción del vaso de Naranja, es decir que fue creado para celebrar el katún de 554 y el hecho de que el individuo del entierro de Holmul murió en edad joven, es decir no mucho después del 554 y debido también a que se tiene una fecha inscrita en el palacio del siguiente gobernante de Holmul, *Tz'ahb Chan Yopaat*, que se supone ser de su ascenso al poder en 558, la fecha más probable para la muerte del gobernante en el presente entierro, *Juun Ch'amab Kuh* debería ser entre 554 y 558 d.C.

La fecha del entierro su supuesta consorte, podría ser de algunos años o décadas posterior pero probablemente no posterior al 598 d.C. A la par de la tumba y debajo de un piso inferior, es decir perteneciente a una subestructura anterior a la asociada a los entierros, la cuarta-última, se halló una ofrenda de cuatro vasijas cilíndricas con tapadera. Una de ellas estaba decorada con el rostro del dios Sol, *K'inich* (Figuras 1.12-1.15).



Figura 1.12. Vasijas de ofrenda en la fase cuarta-última del Edificio D, Grupo I (foto Estrada-Belli).



Figura 1.13. Dos vistas de la vasija principal de la ofrenda de la fase cuarta-última del Edificio D (foto Estrada-Belli).

La ofrenda fue colocada debajo del piso de la fase cuarta-ultima del Edificio D, por lo tanto antes de su construcción, se deduce que es una ofrenda dedicatoria de la construcción del edificio mismo. En espera de fechas de radiocarbono, la probable fecha de construcción de este edificio es un poco anterior al 554 d.C.



Figura 1.14. El contenido de la vasija con rostro de *K'inich* incluye espinas de manta raya, conchas bivalvas, fragmentos de coral, hueso animal y carbón (foto Estrada-Belli).



Figura 1.15. Las demás vasijas se encontraron cerradas y vacías. Estas dos se encontraron enterradas en el relleno a un nivel inferior de las anteriores (foto Estrada-Belli).

EDIFICIO A, GRUPO I

Se excavó también en el cuarto con bóveda cruciforme del Edificio A del Grupo I de Holmul siguiendo la pared estucada de una fase anterior del edificio.

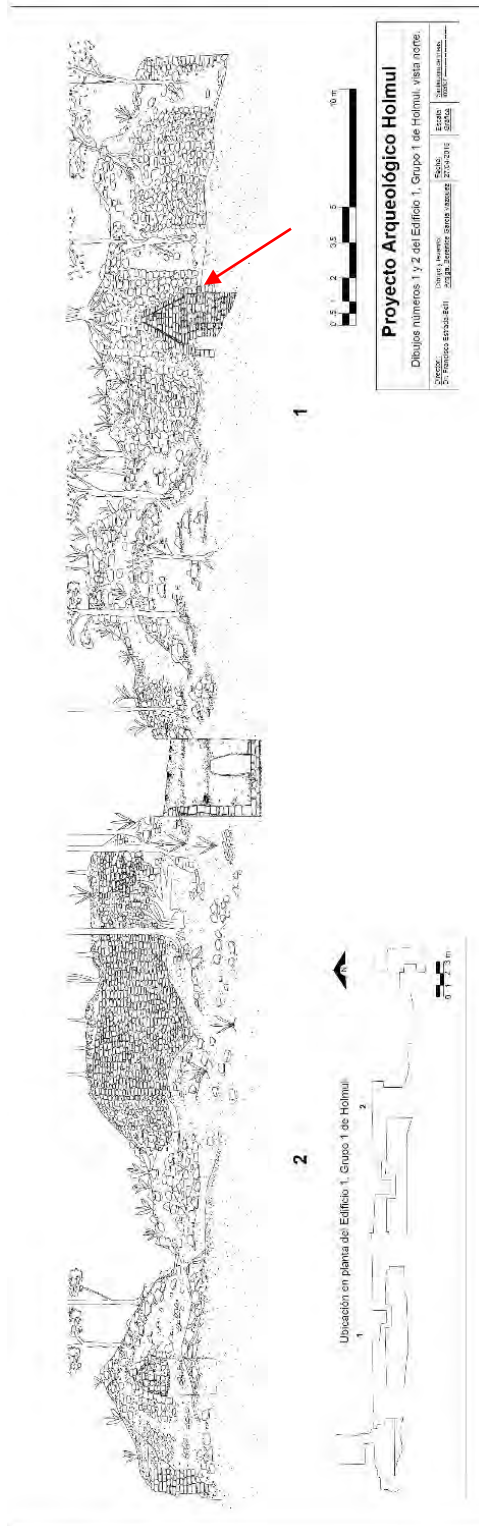


Figura 1.16. Perfil sur del Edificio A-B del Grupo I de Holmul evidenciando la ubicación de la excavación de 2018 (dibujo B. García).



Figura 1.17. a) Debajo de esta pared se encontraron dos fases constructivas anteriores, la más antigua de las cuales fecha en el Preclásico Tardío. b) Restos de un piso y muro con talud de fases Preclásicas del Grupo I (foto Estrada-Belli).

EXCAVACIONES EN EL BASAMENTO DEL GRUPO I

Adicionalmente, se excavó un túnel en la fachada del Grupo I en busca de la cumbre de la fase más antigua del edificio del Preclásico Tardío. De esta se pudieron revelar parte de un talud y el descanso de la escalinata. Ambos rasgos arquitectónicos presentaban estuco pigmentado con hematita roja.



Figura 1.18. Vista de la subestructura con pigmento rojo en el basamento del Grupo I (foto Estrada-Belli).

Otro túnel exploró la parte inferior de esta misma fase de la plataforma del Grupo I confirmando el estilo arquitectónico de taludes con molde remetido y escalinata remetida típicos de la fase Preclásica Tardía.

WITZNA

Se colocaron tres excavaciones en la pirámide del Gran Cerro de Witzna Este (la llamada Atalaya/*Watch Tower*). Desde la estructura se puede tener vista directa sobre todos los sitios de la región de Holmul hacia el sur, y hacia Xmakabatun hacia al norte. La siguiente imagen es una vista hacia el sur. Holmul se encuentra aproximadamente en el centro del horizonte. A mano derecha se encuentra la escarpa oeste de la región, en la cual se sitúa el sitio clásico de Turcaj (no visible en la Figura 1.19).



Figura 1.19. Vista hacia el sur desde la estructura de La Atalaya (foto Estrada-Belli).

Uno de los objetivos de las excavaciones fue aclarar si esta estructura tuvo funciones puramente rituales u de otra naturaleza, como por ejemplo relacionadas a la defensa del territorio debido a su posición dominante. La excavación en la base de la pirámide reveló una estructura rectangular construida con bloques grandes bien tallados sobre la parte central de la escalinata de acceso, bloqueando parcialmente el acceso a la parte superior de la pirámide.



Figura 1.20. Vista general de la estructura adosada a la escalinata de la pirámide de La Atalaya (foto Estrada-Belli).



Figura 1.21. Vista de la subestructura de la Atalaya antes y b) después de su excavación parcial (foto Estrada-Belli).

Debajo de la pared sur de esa estructura y de la escalinata del edificio se encontró la pared de un edificio anterior. La misma fue edificada sobre la roca natural (Figura 1.21). Se excavó dentro de esta estructura sin poder llegar a ningún rasgo más que relleno de tierra y piedras.

Frente a esta estructura se encontró un pozo de planta circular excavado en la roca madre y con orilla compuesta por bloques de caliza tallados. El pozo había sido relleno con tierra suavemente compactada. Dentro de este relleno se encontraron restos óseos de un individuo pre-adolescente (con dientes de leche), dos cuencos monocromos y restos de fauna (Figura 1.22).



Figura 1.22. Vista de la estructura adosada a la pirámide de la Atalaya durante la excavación de un pozo en su interior.

En la parte superior de la pirámide se encontró la jamba este de la puerta de un edificio de mampostería. Solo se pudo identificar una parte interior del piso. No se puede descartar la posibilidad de que existiera un cuarto posterior (lado sur) el cual pudo haber colapsado hacia la base de la pirámide.

Un piso de una fase anterior del edificio se encontró debajo de las gradas de la escalinata de la pirámide. El relleno debajo de este piso había sido perforado por un túnel de saqueo en la parte posterior de la estructura, por lo cual se decidió finalizar la excavación.



Figura 1.23. Vistas de la excavación en la estructura superior. a) El umbral y jamba oeste de la estructura. b) Gradas de la escalinata de acceso y piso de la fase anterior del edificio debajo de las mismas.



Figura 1.24. Vista de la distribución de fragmentos de estela en el área frente a pirámide de la Atalaya.

Frente a la pirámide (lado norte) se observó una concentración de fragmentos de piedra tallada, algunos con restos de iconografía (Figuras 1.24 y 1.25). Los fragmentos presentan la misma calidad de material y de estilo de tallado por lo cual se planteó la hipótesis que eran parte de un solo monumento esculpido (Estela 5 de Witzna). Algunos fragmentos presentaron señas de quema, lo cual indicaría que su destrucción fue un acto intencional con uso de fuego.



Figura 1.25. Dos de los fragmentos de la Estela 5 encontrados enfrente a la pirámide en el Gran Cerro de Witzna Este. a) se observa marcas de quema en la parte inferior del fragmento, b) se observa un motivo de andamio con signos *k'an* tallado en el margen derecho y señas de quema en la parte inferior de este fragmento.

Este motivo implica una semejanza con el andamio de la escena de coronación del mural de San Bartolo (muro oeste), por lo tanto la estela fue tallada en el Preclásico Tardío (Figura 1.26).



Figura 1.26. Escaneo de un fragmento de La Estela 5 de Witzna por Alexandre Tokovinine. Se observa el signo *K'ab* sobre las uniones de las varas de un andamio.

La limpieza de vegetación superficial alrededor de la pirámide reveló que la misma es parte de un recinto definido por dos murallas en la orilla de terrazas en el lado oeste del cerro. Estos rasgos no se habían observado en la imagen lidar debido a la densidad de la vegetación.



Figura 1.27. Vista de una de las terrazas/muralla alrededor de la cumbre del cerro de la Atalaya/Watchtower (foto Estrada-Belli).

Por lo tanto, la evidencia obtenida de las excavaciones en la pirámide de La Atalaya sugiere lo siguiente:

1. Se construyó una estructura no piramidal sobre la roca natural probablemente en el Preclásico Tardío.
2. Esta fue cubierta por una estructura piramidal en dos fases constructivas sucesivas (tres fases en total) iniciando en el Clásico Temprano.
3. En una cuarta fase, se construyó una estructura rectangular sobre las primeras gradas de la escalinata principal de la estructura.
4. La estructura llegó a ser parte de un complejo definido por un doble recinto definido por terrazas y muros de piedra caliza.

5. La estela y el recinto fueron objeto de destrucción durante el Clásico Temprano, época de última ocupación de La Atalaya.

LOS CONJUNTOS CEREMONIALES EN LA CALZADA ESTE DE WIZNA

Se investigó una pirámide que forma parte de un conjunto ceremonial en el *terminus* de la calzada este de Witzna (punto 2 en la siguiente imagen).

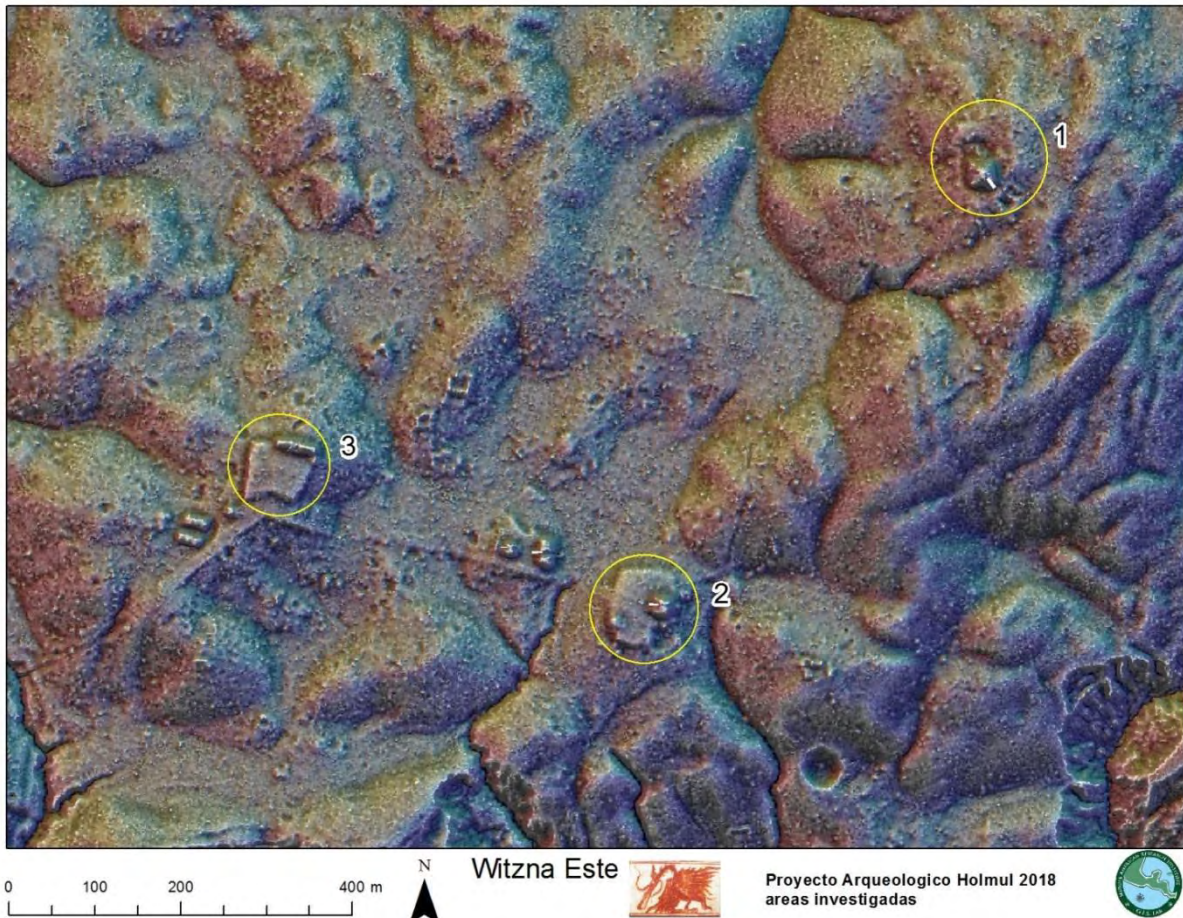


Figura 1.28. Visualización de relieve de la topografía lidar (*opennes*) de la zona de Witzna Este interesada por las actividades del Proyecto Holmul en la temporada 2018. 1) Pirámide en el gran cerro (Watch Tower). 2) Pirámide en conjunto terminal de la calzada Este de Witzna (Estructura 9 de Witzna Este). 3) conjunto ceremonial intermedio de la calzada este de Witzna (Lidar data: PACUNAM, mapa: Estrada-Belli).

ESTRUCTURA 9 DE WITZNA ESTE

Esta estructura piramidal de unos 8 metros de alto presenta un túnel de saqueo en la base del lado oeste es decir, el frente de la estructura y una trinchera en la parte superior del lado este. En el perfil sur del saqueo en frente a la estructura se observaron varios fragmentos de estela. Se observaron dos fragmentos *in situ*, parte de una espiga y un fragmento recostado frente a ella. Estos dos fragmentos se identificaron como parte de la Estela 4 de Witzna. Más al norte de esta, fuera de contexto se identificó otro fragmento de una nueva estela, denominada Estela 3 de Witzna.



Figura 1.29. Fragmento inferior de la Estela 3 frente a la Estructura 9 de Witzna. Se observan varios ornamentos colgantes de la cintura de un individuo en posición frontal a la altura de las piernas. La parte superior habría conectado con el lado derecho de la estela en la foto.

Frente a la espiga la excavación de Bhanny Girón reveló restos muy deteriorados de un altar de piedra caliza. Debajo de la espiga se encontró una ofrenda de excéntricos de pedernal. El análisis de los fragmentos de la Estela 4 por Alexandre Tokovinine revelaron que estos representan la parte inferior de la estela, misma que se encontró recostada sobre el altar y apoyada a la espiga aun *in situ*. En los fragmentos se pueden observar los pies divergentes con sandalias decoradas con efigie de pájaro Quetzal de un gobernante parado en posición frontal sobre un topónimo (Figura 1.31). El mismo es un patrón visto en las Estelas 4 y 5 de Xultun y en la Estela 37 de *K'ahk Tiliw* de Naranjo. Por lo cual, se sugiere una probable fecha para esta estela alrededor del año 650 d.C.

Las evidentes quemaduras sobre la Estela 4 y su destrucción podrían remontar al evento bélico contra *Bahlam Jol* (Witzna) registrado en la Estela 22 de Naranjo por *Kah'k Tiliw* (Estrada-Belli, 2017, Martín y Grube 2000, 2008). Las semejanzas de la Estela 4 de Witzna con las Estelas 4 y 5 sugieren que alrededor de 650 d.C. Witzna (*Bahlam Jol*) habría entrado en la esfera política de Xultun posiblemente como aliado o como vasallo y que esto causaría el ataque a Witzna por Naranjo en 697 d.C.



Figura 1.30. Vista desde el sur de fragmentos de la Estela 4 de Witzna *in situ* frente a la Estructura 9 de Witzna Este. Se observa la espiga, restos de un altar frente a ella y un fragmento de la espiga misma recostada sobre el altar. En el espacio entre la espiga y el altar se encontró una ofrenda de excéntricos (foto Estrada-Belli).

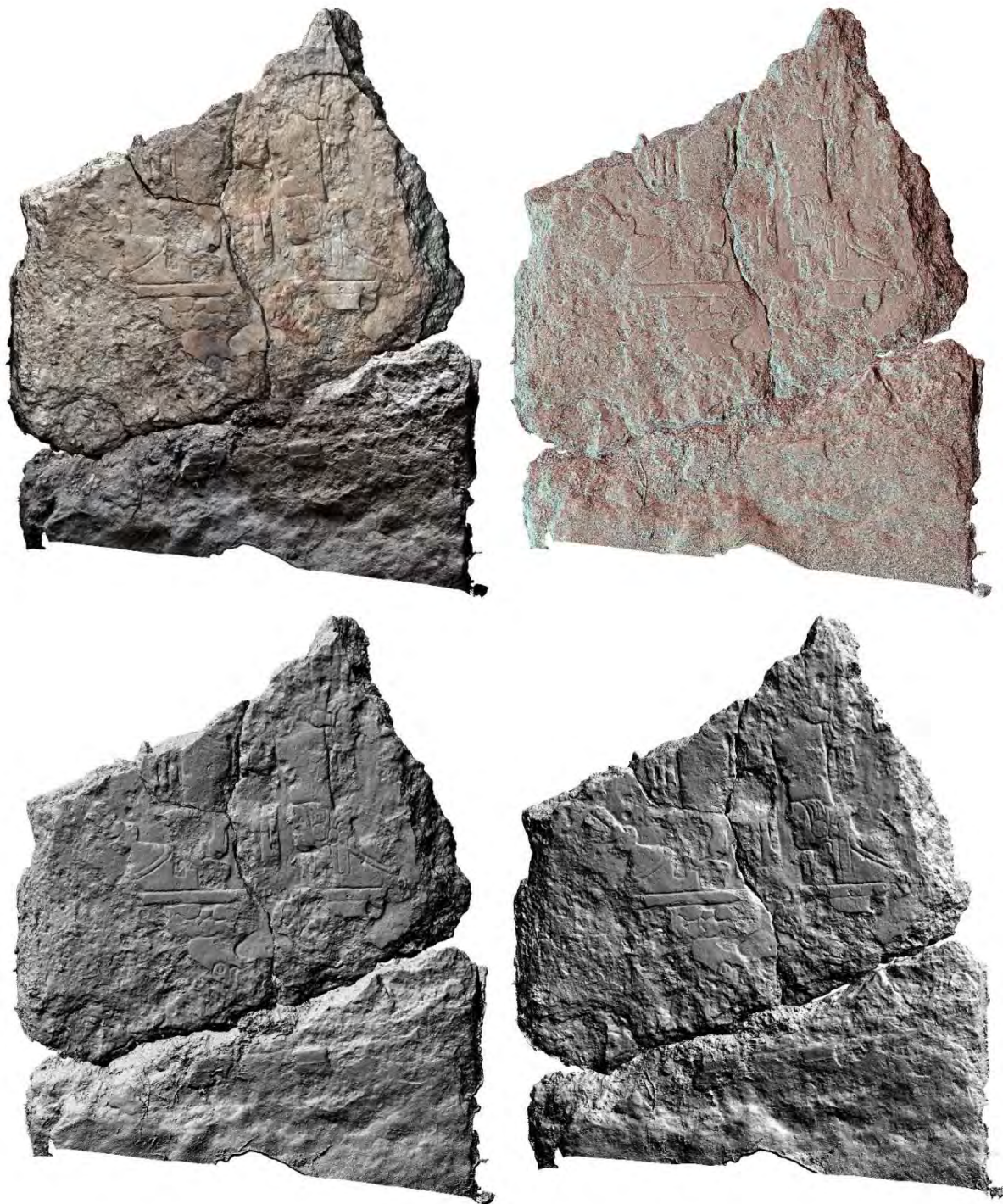


Figura 1.31. Imágenes del escaneo de la Estela 4 de Witzna por Alexandre Tokovinine.

En el margen norte de la estela, la excavación de Bhanny Girón detectó una serie de ofrendas de platos y cuencos de varias dimensiones, aparentemente colocadas en el último piso frente a la estructura, es decir relacionadas a las estelas. Debido a la acción erosiva del manto de humus, todas las piezas cerámicas se encontraron fragmentadas aun *in situ*.

Debido a la posición de las ofrendas no en alineación con la estela 4, se presume que pudo haber existido otra estela frente a la estructura y que la misma fue removida o destruida por los saqueadores. Al pie de la estructura, en correspondencia con la primera grada de la escalinata de la misma, se encontró un entierro en cista parcialmente dañado por el saqueo que penetraba el edificio en su eje central. En el mismo se pudieron recuperar solamente los restos óseos parciales de un individuo. Las ofrendas y el entierro parecen estar relacionados con el piso de la última fase del edificio. En base a la tipología de la cerámica de las ofrendas, estos depósitos y la última fase del edificio podrían fecharse para el Clásico Temprano.

En la parte superior de la pirámide (Estructura 9 de Witzna Este) y dentro de una trinchera de saqueo que se extiende desde la cumbre por toda la mitad superior de la estructura hacia el este, se observó una concentración de cerámica en el centro de la misma. Este contexto está formado por una multitud de fragmentos de cerámica quemados sobre un piso el cual a la vez aparece de color negro debido a la acción de fuego sobre el mismo (Figura 1.32).



Figura 1.32. Vista hacia el oeste de la trinchera superior de la Estructura Este con una concentración de cerámica procedente del perfil. La flecha indica el piso quemado sobre el cual fueron depositados los fragmentos (foto Estrada-Belli).

Debajo de este contexto de piso quemado y ofrenda se encontró una cista orientada norte-sur rellena con tierra y piedras (Figura 1.33).



Figura 1.33. Vista hacia el sur de la cista después de haberse removido el material de relleno en su interior.

Los contextos observados se pueden interpretar de la siguiente manera: en la última fase de ocupación de la Estructura 9, se colocó una tumba en una cista debajo del piso de la cámara del edificio. Posteriormente se ingresó nuevamente el entierro, se removió su contenido y se relleno la cista. Arriba de la misma se hizo un ritual de fuego con ofrenda de miles de fragmentos de cerámica. Las Estelas 3 y 4, colocadas frente a la estructura en el Clásico Tardío, podrían estar relacionadas con este entierro.

Los rituales de re-ingreso de tumbas son comunes en las tierras bajas mayas. Sin embargo, este evento podría relacionarse con otros rasgos observados en la fase final de la estructura. Estos incluyen la destrucción de las estelas, la quema de las mismas, y a quema de la escalinata de la estructura. Ya que otros contextos similares se han observado en excavaciones en el Este y zona central de Witzna, todos estos rasgos podrían ser relacionados con un evento bélico que pudo haber incluido la desacralización de la tumba. Sucesivamente, se pudo haber realizado un ritual de re-sacralización con quema de cerámica arriba de la misma.

ESTRUCTURA 3 DE WITZNA ESTE

Edgar Quinac y Armando Borrayo excavaron en un conjunto de pirámides alineadas en el margen norte de una plataforma más al este. Las excavaciones investigaron la base de la escalinata y la estructura central del conjunto. Un túnel en la base de la escalinata penetró hasta el centro de la estructura sin encontrar otro rasgo más que relleno. En la parte superior se liberaron de escombros los muros y pisos de dos cámaras, que originalmente habrían sido abovedadas. En la cámara este se observaron dos pisos sucesivos, el primero con pigmento rojo y el segundo muy deteriorado y oscurecido por efecto de fuego. Arriba de este último y ocupando la esquina noroeste de la cámara se encontró una banqueta. Sobre la misma se observó un rasgo esgrafiado en forma cuadrangular de *patolli* (Figuras 1.34 y 1.35).



Figura 1.34. Vista desde el sureste de la cámara este de la Estructura 3 de Witzna Este. Se observa un piso con pigmento rojo, un piso quemado sobre el mismo, y una banqueta en la esquina noroeste con relleno del cuarto a) aún en fase de remoción y b) después de removido el relleno y el piso quemado revelando el piso inferior con pigmentación roja (foto Estrada-Belli).



Figura 1.35. Vista vertical del esgrafiado hecho sobre la banqueta formando un patrón de cruz dentro de un cuadro conocido como *patolli* (foto Estrada-Belli).

Este tipo de rasgo es relativamente común en pisos, banquetas así como en paredes verticales de la época Clásica. Su función es probablemente ritual. Se ha sugerido que fueran utilizados para rituales divinatórios o para juegos. Frente a la estructura, en conexión de la puerta de acceso al edificio, se encontró un corte ovalado. Se excavó el mismo hasta una profundidad de dos metros. Debido a la naturaleza del relleno, hecho de bloques grandes bien puestos, se consideró oportuno interrumpir la excavación.

ESTRUCTURA 4 DE WITZNA ESTE

Se excavó una estructura adyacente al oeste de la misma. Esta se ubica en la cumbre de la escalinata central de acceso y por ello corresponde al eje central de todo el conjunto de estructuras en el norte de la misma plataforma. Se compone de un acceso a un cuarto posterior el cual evidentemente se encuentra colapsado, así como es el caso de la Estructura 3. Se encontró un acceso en la pared este, en comunicación con la Estructura 3, el cual se encontró relleno al igual que todo el cuarto.



Figura 1.36. Dentro de la estructura se encontraron la misma secuencia de pisos que la Estructura 3 y un corte enfrente a la puerta central y de igual forma se encontró sin ningún rasgo (foto Estrada-Belli).

CONCLUSIONES

En conclusión, las excavaciones en los tres conjuntos ceremoniales de Witzna Este revelaron arquitectura con funciones principalmente ceremoniales. Aunque el examen de la cerámica aún no se ha terminado, se puede afirmar de forma preliminar que los rasgos encontrados pertenecen a los períodos Preclásico Tardío, Clásico Temprano y Tardío.

En la pirámide sobre el Gran Cerro, La Atalaya/*Watchtower*, se constató que el edificio era parte de un conjunto ceremonial rodeado de dos muros y terrazas, el cual podría estar relacionado a funciones defensivas/bélicas. El último piso del edificio superior de la pirámide se encontró totalmente quemado y en base a la cerámica de relleno recuperada se infiere que el evento haya ocurrido en el Clásico Temprano.

La pirámide Estructura 9 de Witzna Este, fue evidentemente utilizada para conmemorar el entierro de un gobernante de Witzna. La fecha exacta de construcción de la primera fase se desconoce aún, sin embargo, podría ser del Clásico Temprano. Secundariamente, se colocó otro entierro en la cumbre del edificio en el Clásico Tardío. En conexión con ese entierro se erigieron dos estelas (Estelas 3, y 4) al frente oeste de la estructura, posiblemente en el siglo séptimo después de Cristo. Posteriormente, siempre en el Clásico Tardío, el entierro fue vaciado y la estructura quemada. Asimismo la estela o estelas enfrente a la estructura fueron quemadas y fragmentadas en un evidente acto de desacralización.

Las excavaciones en el conjunto de templos alineados a lo largo de la calzada de Witzna Este, las excavaciones pudieron establecer que las dos estructuras excavadas fueron de uso probablemente ritual y que en un momento anterior a su último piso fueron quemadas. Todo lo anterior establece la función de cada una de las estructuras investigadas como ritual, al menos en su fase inicial. La Atalaya tiene su construcción inicial en el Preclásico Tardío y su uso final en el Clásico Temprano.

La Estructura 9 fue construida en el Clásico Temprano y finalmente quemada en el Clásico Tardío. Las Estructuras 3 y 4 fueron construidas y usadas hasta su quema en el Clásico Tardío. La evidencia de rasgos defensivos y de desacralización es común en todas las estructuras investigadas y podría relacionarse al menos a dos eventos bélicos distintos, el primero en el Clásico Temprano, en la Atalaya, y el segundo afectando las Pirámides 3, 4 y 9 en el Clásico Tardío. Este último podría identificarse con el evento bélico documentado en Naranjo para el año 697 d.C. (Martin y Grube 2008).

Las excavaciones de Holmul revelaron detalles de la plataforma preclásica dentro del basamento del Grupo I, así como una posible estructura adicional al Edificio D, la cual podría ser parte de un conjunto Triádico. La excavación en el Edificio D reveló la tumba de un gobernante que se puede identificar con el No.3 en la lista del Friso de Holmul, *Juun Ch'amab Kuh*, y de su posible consorte. Su entierro pudo haber ocurrido en el corto plazo entre los años 554 y 558 d.C. El hallazgo de una vasija cuyo propietario es *Ajnuumsaj*, el gran rey de Naranjo entre 546 y 615 d.C. es importante ya que confirma el fuerte vínculo político entre las cortes de Holmul y Naranjo desde el inicio del reino de *Ajnuumsaj* y por toda su vida.

Con estos entierros se cuenta con tres parejas reales de Holmul, incluyéndose *Tzhab Chan Yopaat*, el No. 4 en la lista de reyes de Holmul muerto probablemente entre 593 y 600 d.C. y *K'inich Tajal Tuun* cuyo entierro ocurrió probablemente entre 620 a 630 d.C. debido a una joya del rey de *Kaanul Yuknoom U Ti Chaan* del 619. De estos reyes de Holmul sabemos que *Tzhab Chaan Yopaat* fue el padre de *K'inich Tajal Tuun* cuya madre fue la hija del rey de Naranjo *Ajnuumsaj*. Es interesante que *K'inich* construyera su sala de trono y se enterrara sobre el palacio y entierro de *Juun Ch'amab Kuh*. Esto podría indicar, que ese era su abuelo paterno, aunque no se podrá comprobar con certeza sin tener un análisis de ADN de sus restos.

Su padre y su madre estarían enterrados debajo del Edificio A del Grupo II, el edificio del Friso. Cuando murió *K'inich Tajal Tuun*, el edificio del friso no tenía más de 20 a 30 años de haberse construido. Quizás por esa razón *K'inich* decidió no derrumbarlo para construir su tumba sobre el mismo. Por otro lado, años después, entre 650 y 700 d.C. se construyeron dos tumbas sobre el edificio del friso. Una fue ocupada por el individuo acompañado por ofrendas de escriba (HOL.T.98.04) y otra más suntuosa fue dejada sin terminar junto a la construcción de un templo funerario arriba de la misma (Estrada-Belli 2016). El mismo podría identificarse con el gobernante No. 7 y posiblemente la tumba incompleta habría sido reservada para un gobernante No. 8 aún sin nombre de la dinastía de Holmul.

Otra posible tumba real se encontró en 2016 dentro de la Ruina X (HOL.T.100.04). La misma puede ser inmediatamente sucesiva al gobernante No.5, *K'inich Tajal Tuun*. Por lo tanto de forma preliminar se puede afirmar que en Holmul se han encontrado las tumbas de los reyes del No. 3 al 7. Se localizó una tumba vacía que podría ser del gobernante No. 8. Finalmente en 1909, Raymond Merwin encontró una tumba real del 800 d.C. en el Grupo I, en la Estructura F, un montículo al este del Edificio D cuyo ocupante fue también un familiar de los reyes de Naranjo.

Por lo tanto, en Holmul ya se tiene un buen número de tumbas reales cuyos ocupantes fueron ligados por vínculo familiar y políticamente a la dinastía de Naranjo y a la dinastía Kaanul de Dzibanche, México. Aún se desconoce la ubicación de las tumbas de reyes anteriores al No.3 pero podrían localizarse en el conjunto de La Sufricaya, sede inicial de la dinastía de Holmul con conexiones a Teotihuacan, así como en Holmul.

REFERENCIAS

Estrada-Belli, F.

2016 *Investigaciones arqueológicas y conservación de arquitectura monumental en la región de Holmul, Peten. Temporada 2016.* Holmul Archaeological Project. Electronic document, http://www.bu.edu/holmul/reports/informe_2016_layout.pdf, accessed Oct. 15, 2018

2017 *Investigaciones arqueológicas y conservación de arquitectura monumental en la región de Holmul* In *Investigaciones arqueológicas y conservación de arquitectura monumental en la región de Holmul* edited by F. Estrada-Belli, pp. 1-29, B. University, general editor. Boston University, Boston. Electronic document, http://www.bu.edu/holmul/reports/informe_2017.pdf, accessed 10 October 2018

Martin, S. y N. Grube

2008 *Chronicle of the Maya Kings and Queens: Deciphering the Dynasties of the Ancient Maya.* 2nd ed. Thames & Hudson, London.

CAPÍTULO 2

EXCAVACIONES DEL BASAMENTO I, EDIFICIO B Y EDIFICIO D DEL GRUPO I DE HOLMUL

Berenice García Vázquez,
Escuela Nacional de Antropología e Historia - México

INTRODUCCIÓN

Durante el transcurso de las excavaciones del presente año en el Sitio Arqueológico Holmul, las exploraciones fueron encausadas a la obtención de restos materiales arqueológicos (cerámica, lítica y restos óseos) y a la exposición de los rasgos arquitectónicos, que en conjunto contribuirán a la formulación de inferencias acerca del desarrollo y transformación de la sociedad antigua de Holmul, en sus diferentes fases de ocupación.

En el último trienio se logró una parte de la conformación del sector dominante de la sociedad pretérita de Holmul, gracias al descubrimiento en el Edificio D del Grupo I con referencia a algunos entierros y sus respectivas ofrendas, de algunos miembros de los Reyes Serpiente, miembros de la Dinastía *Kaanul*, estos hallazgos conjunto aportan datos acerca del sistema gobernante durante el siglo VII d.C. En este tenor, se ha priorizado la continuidad de esta investigación por medio de la excavación intensiva de esta sección. Aunado a ello también se persevera con la exploración del Basamento I del Grupo I, que es la sección basal que contiene en su nivel superior al Edificio D y al Edificio B que también fue explorado en su interior, con ello se busca discernir la relación arquitectónica y ocupacional entre ambos.

EXCAVACIÓN HOL.T.94

En el año 2016 se excavó por primera vez la sección intermedia del Basamento I del Grupo I al extremo sur, aquí se encontraron los restos de unas gradas cuyas medidas en promedio presentan en los peraltes de un rango de 0.17 m y 0.22 m de altura; la huella se mantiene alrededor de los 0.30 m, mediante un pozo de 1.50 m de largo y de 1.50 de ancho orientadas de norte a sur con el propósito de explorar el interior de las escalinatas con dirección al norte para conocer el sistema constructivo que la conforma (Figura 2.1).

Dentro de la composición de los estratos, es visible que la primera capa se trata de un relleno artificial dispuesto para cubrir las gradas que aquí se encontraron. Enseguida se encontraron nuevamente las gradas que se descubrieron en el año 2017, cuyo número de contexto asignado fue el HOL.T.94.03; el siguiente estrato es el relleno interior de estas gradas (HOL.T.94.04), el siguiente estrato (HOL.T.94.05), se trata de un derrumbe que cubría parcialmente otras gradas descubiertas durante esta exploración, a las cuales les fue asignada el número HOL.T.94.06 (Figura 2.2).



Figura 2.1. a) Gradas localizadas en el año 2016, b) Misma sección liberada en el año 2018 (Foto: Berenice García Vázquez).



Figura 2.2. Peldaños correspondientes a la sección de gradas estucadas con número de contexto HOL.T.94.06 (Foto: Berenice García Vázquez).

Dentro de las características estructurales de este conjunto de gradas se visualiza que los peldaños están en mal estado de conservación. Sin embargo, presentan restos de un buen acabado y un considerable grosor de estuco, por esta razón se deduce que en algún periodo de ocupación, además de una eficiente funcionalidad tuvieron excelente presentación, cabe mencionar que la huella de los peldaños es de menor proporción que la altura.

Las gradas (HOL.T.94.06) están conformadas por un relleno compuesto básicamente de piedras de formato media y piedrines, ubicadas entre un sedimento de color oscuro de compactación alta, granulometría mediana – gruesa y poca adhesión entre partículas. Al interior de la unidad de excavación, con dirección al norte a 5 m de distancia del comienzo del pozo de sondeo, se encontró un talud de una inclinación aproximada de 37° una altura vertical del talud 1.10 m y 1.30 de inclinación, este elemento le fue asignado el número de contexto HOL.T.94.08, con el hallazgo de este elemento se concluyó la excavación (Figura 2.3).



Figura 2.3. Talud (HOL.T.94.08) encontrado a 5 m hacia el norte de las primeras gradas (Foto: Berenice García Vázquez).

La cronología relativa propuesta con el análisis cerámico del contexto HOL.T.94, identificó el siguiente material dentro de los varios contextos excavados clasificado en fases cerámicas de Holmul (y Uaxactún) como *terminus post quem* para la secuencia cronológica:

El material del derrumbe de las segundas gradas más antiguas HOL.T.94.05, ubica esta ocupación dentro del periodo Clásico Tardío, fase Chak 1-2 (Tepeu 1-2); el contexto HOL.T.94.07, que se trata del relleno que cubre el talud HOL.T.94.08 se encuentra en el periodo Preclásico Terminal al Clásico Temprano, fase Wayab-K'ak 1 (Matzanel) (Figuras 2.4, 2.5 y 2.6).

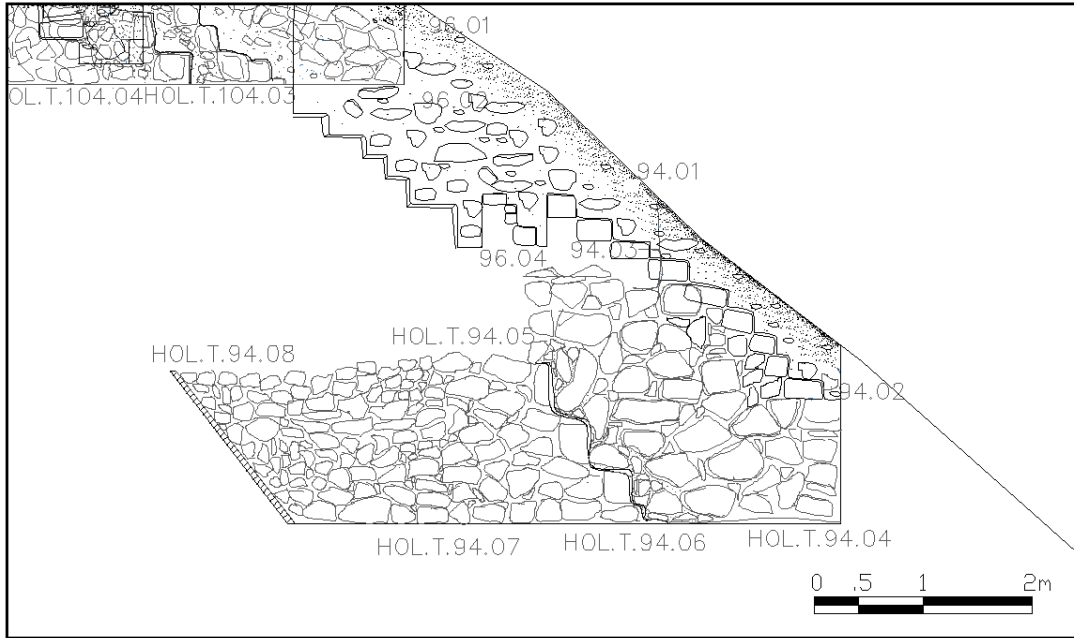


Figura 2.4. Esquema de las diferentes fases y etapas constructivas de la unidad HOL.T.94 en relación con los resultados de la cronología relativa, perfil este (Dibujo: Berenice García Vázquez).

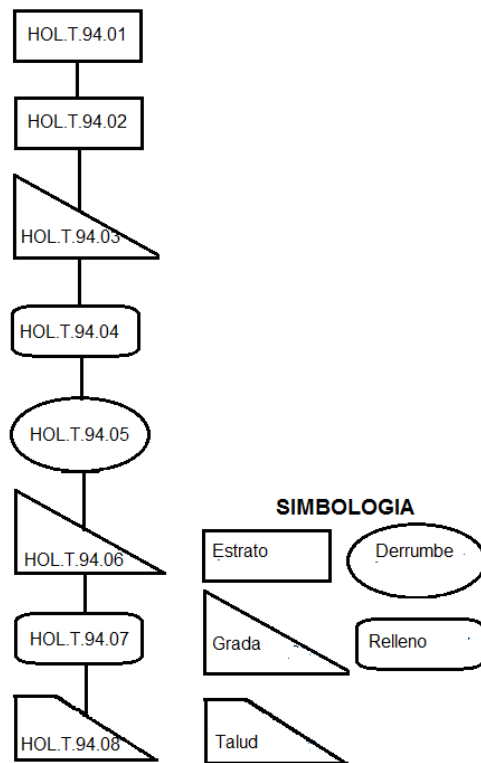


Figura 2.5. Esquema de la matriz de Harris de la unidad HOL.T.94.

CONCLUSIONES

A manera de comentarios finales se concluyó que la excavación HOL.T.94 aportó datos relevantes acerca del sistema constructivo de las gradas en diferentes etapas con sus respectivas fases constructivas, de las cuales se conoce que las últimas gradas (HOL.T.94.03) al parecer quedaron inconclusas, pues no presentan un revestimiento estucado, además de los peldaños no están unidos por algún tipo de argamasa. Al contrario de las posteriores gradas más tempranas (HOL.T.94.06) que si presentan rasgos de un acabado eficiente, incluso presenta huellas de desgaste por factores antrópicos, razón por lo cual se piensa que tuvieron una larga fase de ocupación.

La cronología relativa propone el periodo Clásico Tardío para la construcción de las primeras gradas y el talud se construyó durante el periodo que abarca del Preclásico Terminal al Clásico Temprano. El talud (HOL.T.94.08) encontrado al finalizar la excavación, es un indicador tangible que propone que el centro del basamento para este momento ocupacional más temprano es posible que se encuentra a unos cuantos metros hacia el oeste (Figura 2.6).



Figura 2.6. Imagen superior dibujo en corte norte-sur de la unidad HOL.T.94 y vista frontal sur del paramento HOL.T.94.08 (Foto: Berenice García Vázquez).

EXCAVACIÓN HOL.T.102

Ubicada en la parte Basal del Basamento I, esta excavación se comenzó con el propósito de explorar el cuerpo arquitectónico más temprano que fue descubierto durante el año 2016, del cual se encontraron las primeras gradas, para lograrlo, se implementó un túnel con dirección al este, una vez que se excavó 7 metros, fue posible apreciar que las gradas continuaban hasta esta dirección y están cubiertas por un tipo de relleno homogéneo.

El relleno (HOL.T.102.15) que se encuentra sobre las gradas, está conformado por piedras burdas de gran formato, afianzadas por una argamasa con una adhesión de partículas media, en algunas secciones el relleno se encuentra acomodado de una forma estructurada, también se encuentra el relleno HOL.T.102.16 localizado sobre el cajón constructivo a 6.60 m al extremo sur, con las mismas características del relleno anterior. En esta sección comienza un nuevo registro en donde se liberó un piso (HOL.T.102.17) por debajo de unas gradas que pertenecen a una etapa constructiva posterior (HOL.T.102.20 y HOL.T.102.21), se tomaron muestras de carbón de la primera grada, estas se registraron con el número HOL.T.102.18 y HOL.T.102.19 (Figura 2.7 y 2.8).



Figura 2.7. Piso (HOL.T.102.17) al extremo sur de las gradas de la unidad HOL.T.102 (Foto: Berenice García Vázquez).

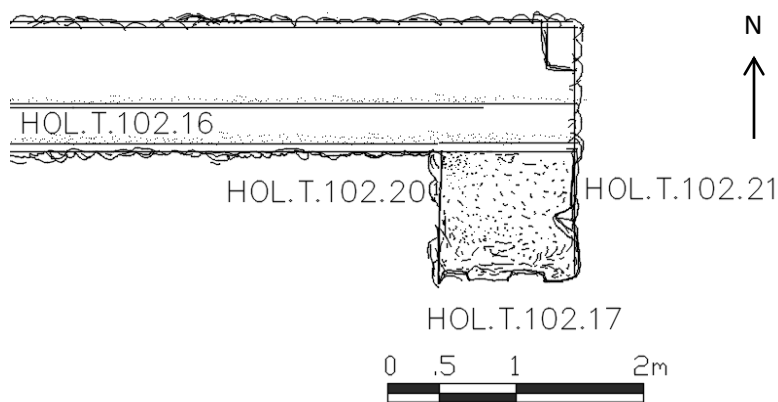


Figura 2.8. Esquema del piso (HOL.T.102.17) al extremo sur de las gradas de la unidad HOL.T.102 (Dibujó Berenice García).

Posteriormente se comenzó un nuevo sondeo entre el talud HOL.T.102.10 y las gradas número 4, 5 y 6 del cuerpo HOL.T.102.11, en donde se localizó un cuerpo a manera de entrecalle (HOL.T.102.23) cuyo remate se converge en saledizo (HOL.T.102.24) desplanta lo que parece una sección de una moldura en delantal (HOL.T.102.25), cuyo remate presenta un apisonado a manera de huella (HOL.T.102.26) seguido por un zoclo (HOL.T.102.27) que precede a un cuerpo pronunciado en una inclinación a manera de talud (HOL.T.102.28), repitiendo el patrón del ángulo saliente en el remate (HOL.T.102.29), en donde pudiera desplantarse una talud en delantal, cabe mencionar que todos los elementos arquitectónicos anteriormente descritos contienen restos de estuco en un aproximado 60 a 80 %. Hasta aquí concluyó la excavación (Figuras 2.9, 2.10 y 2.11).



Figura 2.9. a) Talud HOL.T.102.10; b) Gradas del cuerpo HOL.T.102.11 postradas sobre el talud (Foto: Berenice García Vázquez).



Figura 2.10. a) Cuerpo inclinado (HOL.T.102.25 y 26); b) Huella o remate del talud en delantal (HOL.T.102.27) y el zoclo (HOL.T.102.28) (Foto: Berenice García Vázquez).

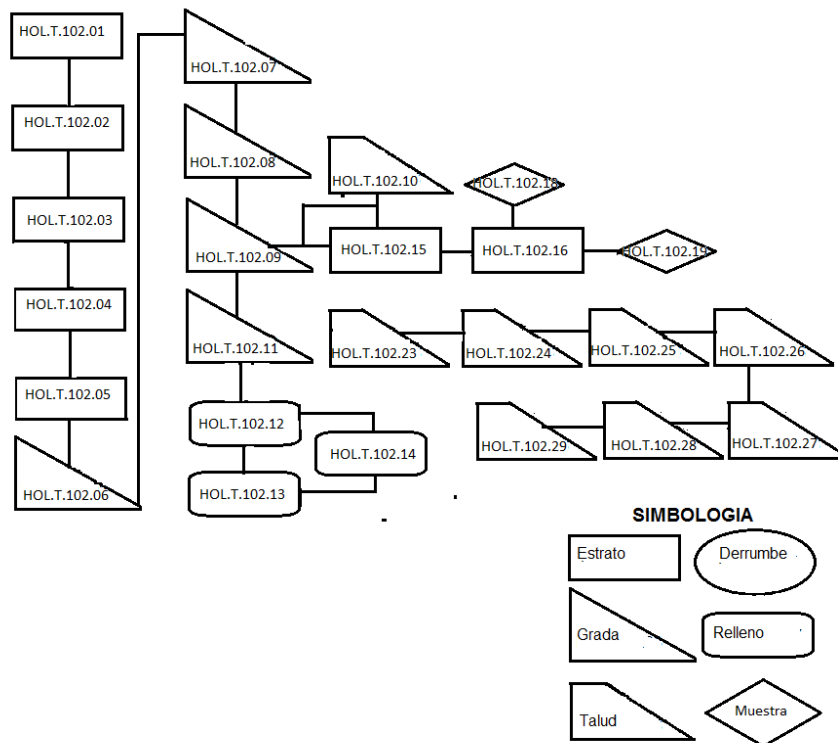


Figura 2.11. Matriz de Harris de la unidad de excavación HOL.T.102.

CONCLUSIONES

La excavación de la unidad HOL.T.102, aportó nuevos datos complementarios, dentro de estos se tiene el descubrimiento del piso (HOL.T.102.17), que está asociado al basamento más temprano hasta ahora descubierto del Basamento I (HOL.T.102.10 y 11), dato que podría indicar que se trata de los límites de la plaza para este momento contexto.

La exploración del contexto HOL.T.102.24, expone los rasgos estilísticos de la arquitectura del basamento más temprano que indica un periodo de auge durante este momento, mediante una sección de moldura en delantal y paño inclinado con un óptimo estucado en el revestimiento. De acuerdo al resultado del análisis cerámico del contexto HOL.T.102, se identificó el siguiente material dentro de los varios contextos excavados clasificado en fases cerámicas de Holmul (y Uaxactún) como *terminus post quem* para la secuencia cronológica:

Los primeros elementos se tratan de restos de cuerpos escalonados truncos y en mal estado, HOL.T.102.03; Clásico Tardío al Clásico Terminal, fase Chak 2-3 (Tepeu 2-3), de la misma forma HOL.T.102.04; Preclásico Medio al Clásico Terminal, fase Yax Te-Chak 3 (Mamom-Tepeu 3) y HOL.T.102.05, Preclásico Medio al Clásico Terminal, fase Yax Te-Chak 3 (Mamom-Tepeu 3).

El elemento adosado a las gradas al extremo este HOL.T.102.14; Clásico Tardío fase Chak 2-3 (Tepeu 2-3). El cajón constructivo del primer túnel al este con número HOL.T.102.15, Preclásico Medio al Tardío y Terminal, Itzamkanak (Mamom-Chicanel). El segundo cajón constructivo de esta misma área que cubre una sección de gradas estucadas HOL.T.102.16, Preclásico Terminal al Clásico Temprano fase Wayab-K'ak 1 (Matzanel); el piso que se edificó adosado a la sección de las gradas anteriores HOL.T.102.17, Preclásico Terminal al Clásico Temprano, fase Wayab-K'ak 1 (Matzanel).

Un segmento que se creía una grada adosada y finalmente fue relleno bien acomodado con número de contexto HOL.T.102.22, Preclásico Terminal al Clásico Temprano, fase Wayab-K'ak 1 (Matzanel). El conjunto de taludes compuestos con dirección al oeste cuya exploración registrado con el número HOL.T.102.23, Preclásico Medio al Tardío y Terminal, fase Itzamkanak (Mamom-Chicanel) (Figuras 2.12, 2.13 y 2.14).

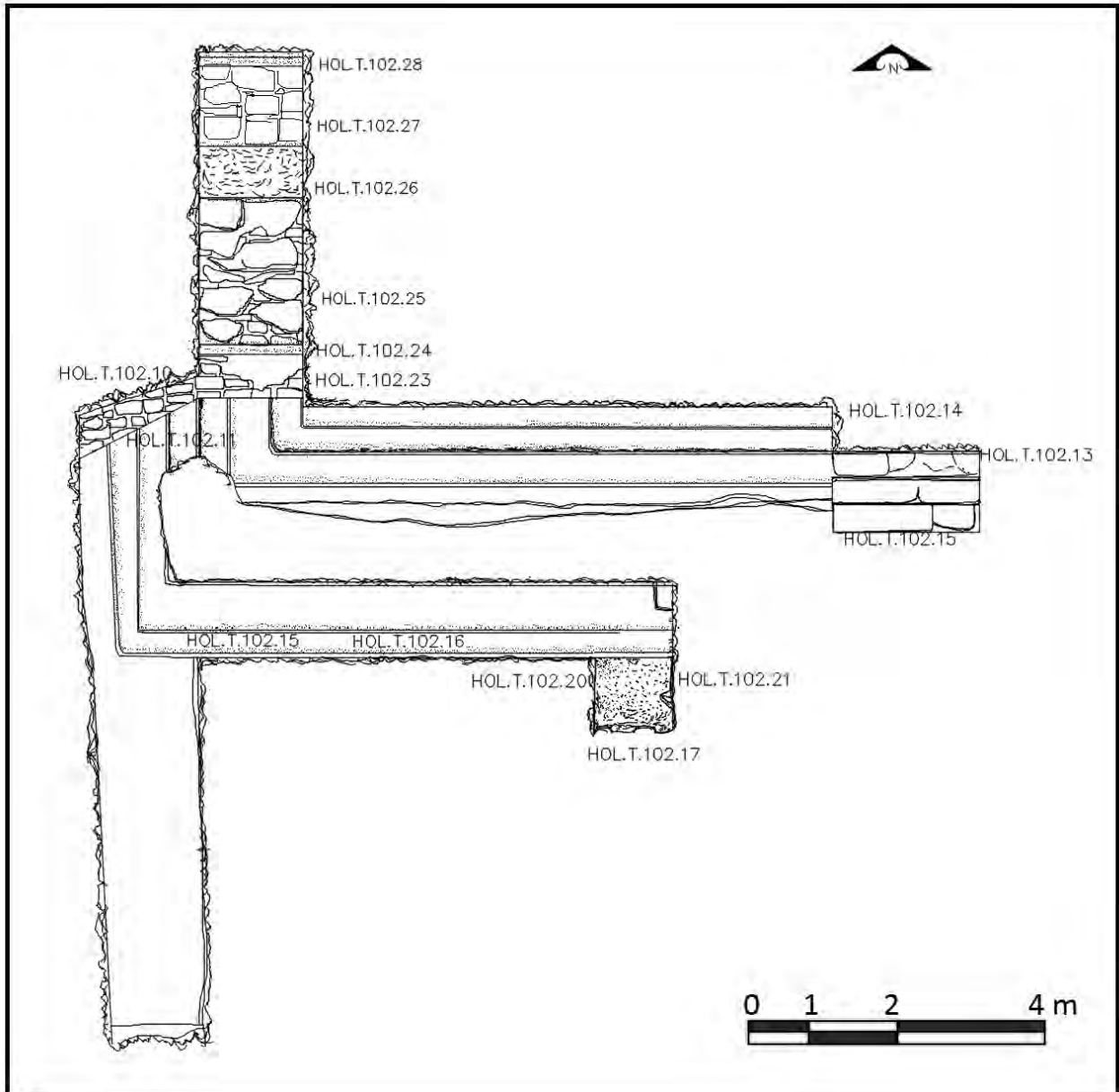


Figura 2.12. Esquema de la unidad de excavación HOL.T.102 (Dibujo: Berenice García Vázquez).

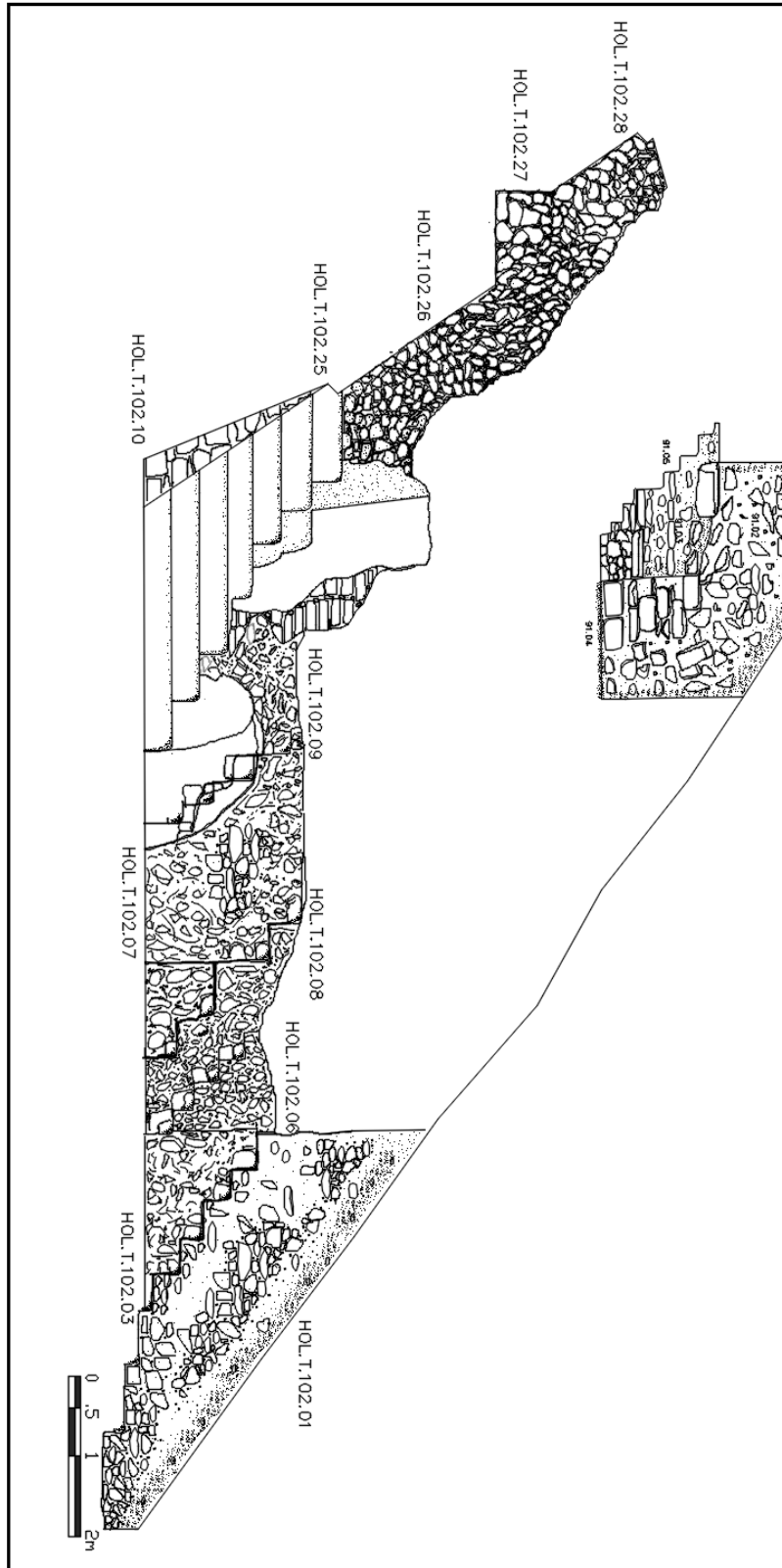


Figura 2.13. Esquema del corte transversal de la unidad HOL.T.102, perfil este (Dibujo: Berenice García Vázquez).

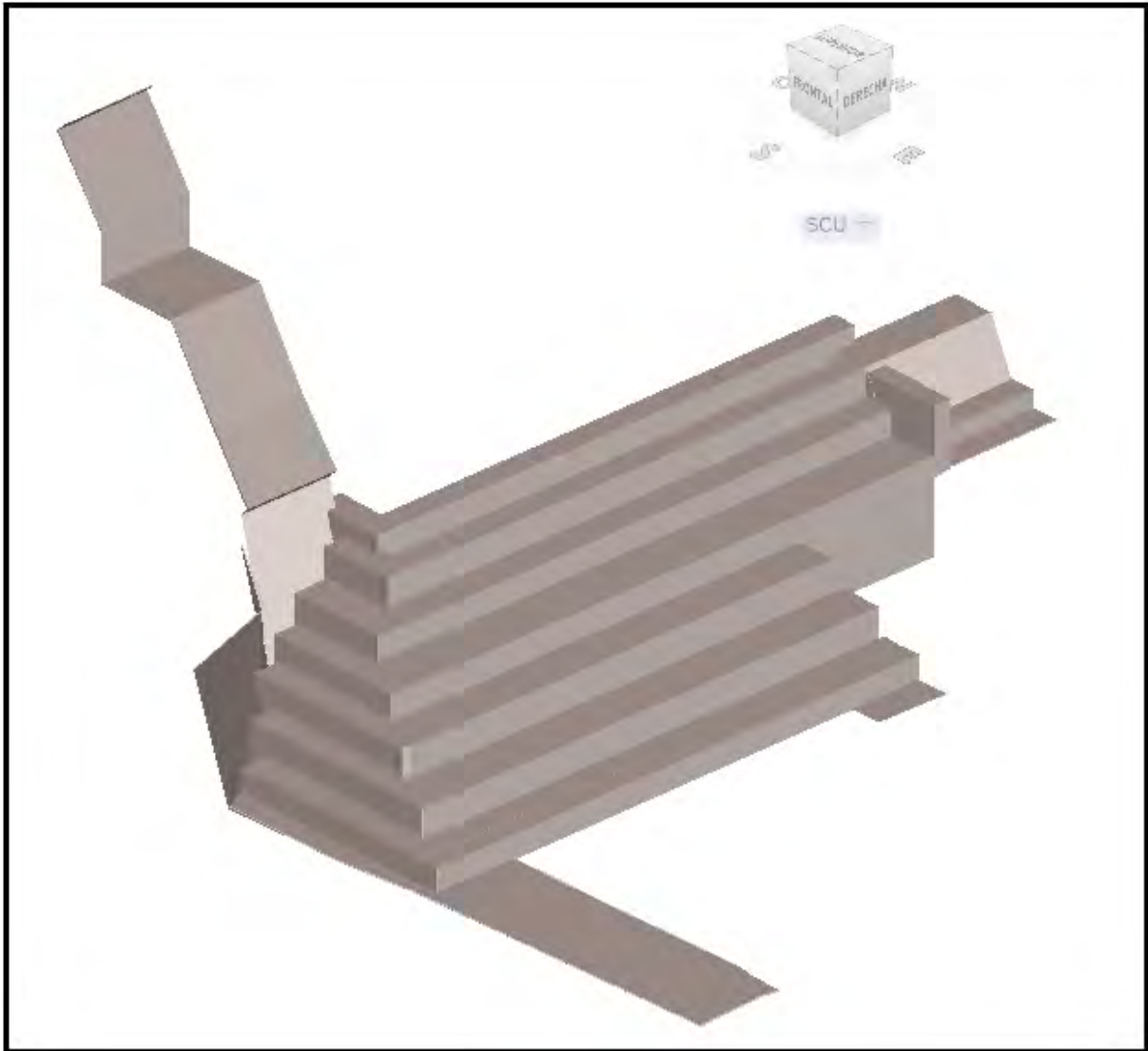


Figura 2.14. Esquema 3D del basamento de la unidad HOL.T.102 (Dibujo: Berenice García Vázquez).

EXCAVACIÓN HOL.T.104

Se implementó la unidad de exploración número 104 en el remate del Basamento I, con la finalidad de encontrar un elemento asociado al talud encontrado en la unidad 94 (HOL.T.94.08). Para delimitar el pozo de sondeo, se trazó un cuadrante de medidas 1.50 m de este a oeste y de 2 m de norte a sur a 6.60 m de distancia hacia el este del talud ya citado.

El primer estrato excavado (HOL.T.104.01), se trata de la capa humítica, tiene un grosor de 6 a 15 cm en promedio, está compuesta de forma general por sedimento de color café oscuro, y la adhesión de sus partículas tiene baja compactación.

La siguiente capa se refiere al segundo contexto con número HOL.T.104.02 tiene un grosor de 0.30 m, cuyo sedimento es limo - arenoso, contiene tierra caliza mezclada con otros materiales constructivos provenientes del derrumbe de los elementos expuesto en el remate del Basamento I.

El tercer contexto HOL.T.102.03 se trata de un cúmulo de piedras irregulares dispuestas en forma escalonada (Figura 2.15), las facetas de las piedras son bastante burdas a pesar de que es visible que se buscó otorgarles una forma rectangular al momento de su manufactura.



Figura 2.15. De sur a norte, paramento conformado por piedras irregulares dispuesta en forma escalonada (Foto: Berenice García Vázquez).

Este último cuerpo tiene una altura de 1.30 m, una longitud de 1.80 m y una inclinación de 44° , las rocas que lo conforman parecen tener un cierto orden escalonado, están unidas por una argamasa y algunas de ellas presentan careado orientado hacia el sur, de tal manera que indican la preparación que antecederían a unas gradas, posiblemente con la idea de revestirlas de estuco posteriormente para darles volumen, pero el proceso quedó inconcluso (Figura 2.16).



Figura 2.16. Vista sur del paramento HOL.T.104.03, conformado por piedras irregulares (Foto: Berenice García Vázquez).

Para lograr identificar el sistema constructivo de esta unidad, se determinó continuar la exploración traspasando el cúmulo de rocas aglomeradas; el estrado presentaba las mismas características físicas, ya avanzado unos 0.50 m con dirección al norte, la configuración ya comienza a cambiar de ser conglomerado con cierto acomodo se manifiesta como un relleno irregular de piedras amórficas.

A un metro de distancia del límite sur de la unidad HOL.T.104, se localizó un segmento de unas 5 gradas (HOL.T.104.04) de un promedio de 0.36 m de huella y 0.38 m de peralte aproximadamente; los peldaños se encuentran estucados y es posible apreciar que el volumen fue provisto de forma considerable por una argamasa de estuco, mismo que en algunas partes ya se muestra deteriorado. En algunos peldaños superiores hay restos de pigmento de color rojo. El estuco presenta una adherencia entre partículas fuertes y la compactación media con tendencia a compactación severa; el grado de conservación es óptimo en un aproximado de 70% a 80 % en toda la conformación del segmento, con fracturas significativas en los remates de los peraltes.

Los siguientes elementos arquitectónicos expuestos a partir del número HOL.T.104.05 hasta el contexto HOL.T.104.12, conforman un conjunto de cajones constructivos separados por muros de soporte que se encuentran distribuidos a lo largo de 8.83 m a partir de 1.20 m hacia el norte a partir de la sección de la penúltima grada encontrada (Figura 2.17).



Figura 2.17. a) Vista sur de las gradas HOL.T.104.04 con reminiscencias de estuco; b) Comienzo del cajón constructivo de la unidad 104 (Foto: Berenice García Vázquez).

Estos cajones de relleno tienen un rango de grosor de 1 m hasta 1.30 m, en las partes más altas del relleno alcanza hasta 3.60 m, sin contener algún piso o apisonado de tierra y cal, pero si algunas nivelaciones de relleno de estructuración burda. El cajón con número HOL.T.104.05 tiene la característica de mostrar una configuración muy clara de cajón de reforzamiento, cuya disposición es diferente a los cajones posteriores, este parece tener un reforzamiento de varios muros de soporte hasta lograr un grosor de más de 1 m, esta característica permanece hasta el cajón de soporte HOL.T.104.06.

El resto de los cajones presenta una estructuración habitual, formados por muros burdos de delimitación y un relleno regular en su interior. Después de 5 metros, se profundizó 1.75 m hasta llegar a un piso (HOL.T.104.14), posteriormente a unos 6 m de longitud se encontró el remate de una grada con acabado enlucido de estuco de color rojo, el tamaño que se logró liberar corresponde a 0.87 m con un peralte de 0.32 m, para definir el elemento ya ubicado, se excavó con dirección sur, del cual solo faltaba un metro para descubrir el otro remate con fachada hacia el sur (Figura 2.18).



Figura 2.18. Segmento liberado compuesto por 3 gradas estucadas con enlucido rojo (Foto: Berenice García Vázquez).

El segmento que fue removido para explorar con dirección al sur, presenta la misma configuración de material de relleno con piedras irregulares de 0.15 m hasta 0.20 m de grosor, largo y ancho, unidos por una mezcla de cal, tierra y piedrines. El elemento que se encontró se trata de un grupo de 3 gradas enlucidas con estuco rojo, de un rango aproximado de 0.32 m de peralte, la huella oscila entre los 0.50 m a los 0.55 m extensión que fue liberada de extremo este a oeste tiene una longitud 0.62 m. El extremo oeste está delimitado por una alfarda vertical, liberada 0.20 m de este a oeste, con una longitud de 1.25 m, 0.66 m de altura, una inclinación de 17° desde el desplante hasta el remate de la alfarda, todo está enlucido de estuco rojo de favorables condiciones.

Por esta razón se infiere que se buscó la preservación del elemento fue de forma intencional durante la construcción de las etapas posteriores, se procuró mantener intacto el piso de la extensión de este elemento mediante un apisonado de mezcla de textura fina de color grisáceo y de una compactación media a alta, el rojo del enlucido aun es intenso a pesar del tiempo, aunque en algunas partes sobre todo en los remate se ha derrumbado fragmento de estuco, este sigue intacto en un 90% del área (Figura 2.19).

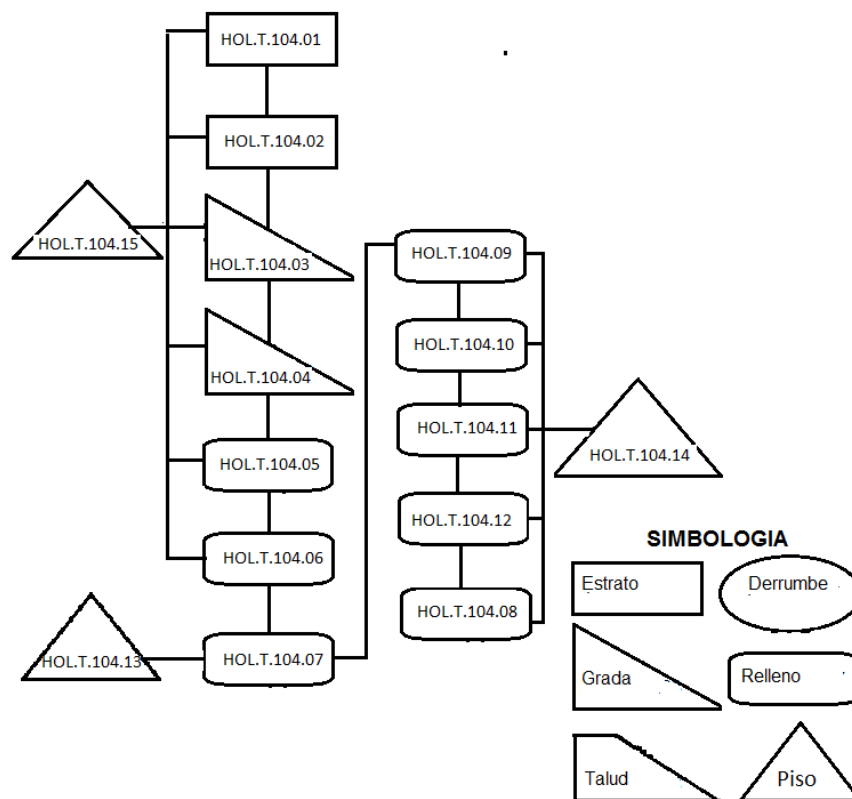


Figura 2.19. Representación de la Matriz de Harris de la unidad HOL.T.104.

El análisis cerámico en laboratorio de la unidad HOL.T.104, identificó el siguiente material dentro de los varios contextos excavados clasificado en fases cerámicas de Holmul (y Uaxactún) como *terminus post quem* para la secuencia cronológica:

HOL.T.104.02, Clásico Tardío, fase Chak 2-3 (Tepeu 2-3); HOL.T.104.03, Preclásico Terminal al Clásico Temprano, fase Wayab-K'ak 1 (Matzanel); HOL.T.104.04, Preclásico Medio, Tardío y Terminal, fase Itzamkanak (Mamom-Chicanel); HOL.T.104.05, Clásico Temprano, fase K'ak 1-3 (Tzakol 1-3); HOL.T.104.06, Preclásico Tardío al Clásico Temprano, fase Wayab-K'ak 1 (Mamom-Chicanel); HOL.T.104.07, Preclásico Medio, Tardío y Terminal, fase Mamom - Chicanel; HOL.T.104.08, Preclásico Medio, Tardío y Terminal, fase Yax Te-K'ak 1 (Mamom-Tzakol) y HOL.T.104.13, Preclásico Terminal, fase Itzamkanak-Wayab (Chicanel-Matzanel).

CONCLUSIONES

La unidad HOL.T.104 es un área que contiene el remate central de un basamento más temprano, el basamento es monumental y firme con una reestructuración detallada, de esquinas redondeadas y un enlucido rojo con lustre considerable, la orientación se encuentra con dirección de norte a sur que al parecer fungía como acceso principal a la parte superior del Basamento I. Debido a la excelente configuración estructural cuya construcción implica una magnánima fuerza de trabajo; se infiere que se trata de un momento ocupacional en donde la sociedad pudo haber mantenido cierto auge socioeconómico. Además es posible que la función de este basamento estuviera involucrada con una fuerte carga ideológica, esto se deduce porque al momento de construir las posteriores etapas con sus respectivas fases constructivas, se buscó la permanencia íntegra del basamento cuando menos en la extensión liberada hasta este momento.

Se piensa que esta sección superior corresponde a la misma etapa constructiva del basamento de la unidad HOL.T.102 y que se encuentra relacionado con el talud encontrado de la unidad HOL.T.94. Este es un supuesto que se tiene que corroborar en excavaciones posteriores para relacionarlos con los atributos ya identificados estos son los cuerpos escalonados con esquinas redondeadas, la preservación aun lustrosa del estuco, el mismo estuco conservado en excelentes condiciones y los cuerpos inclinados a manera de taludes (Figuras 2.20 y 2.21).

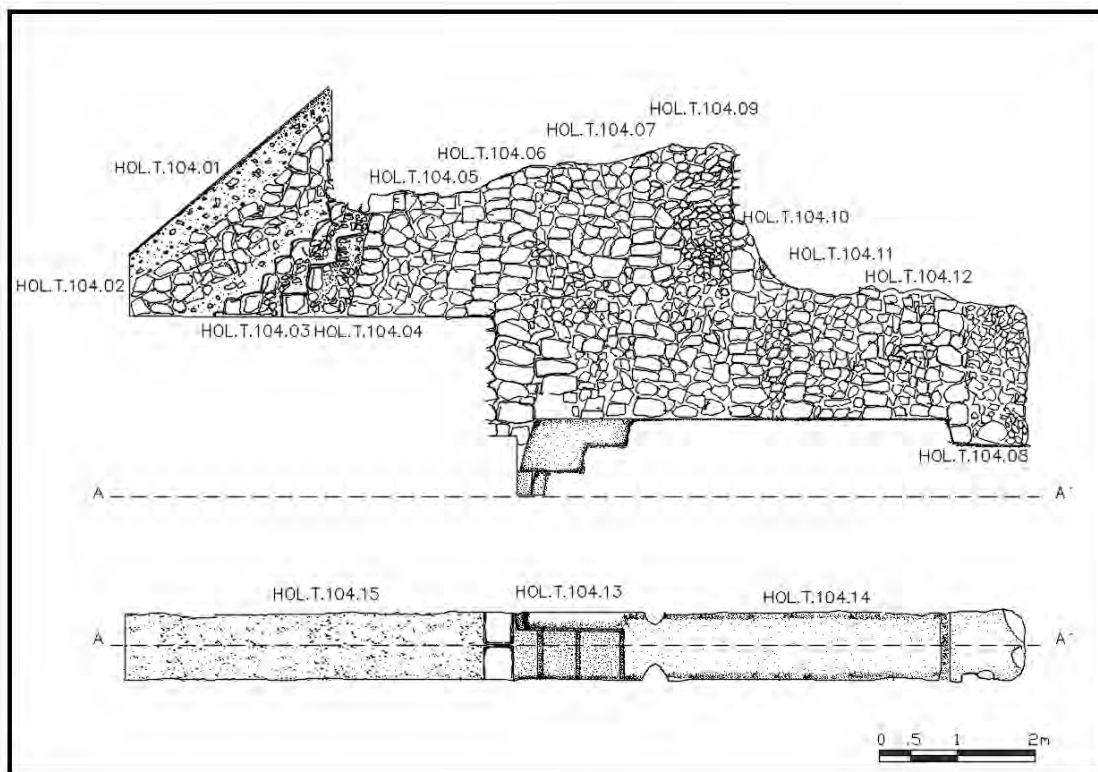


Figura 2.20. Esquema del perfil oeste (corte transversal este a oeste A-A') de la unidad HOL.T.104 (Dibujo: Berenice García Vázquez).

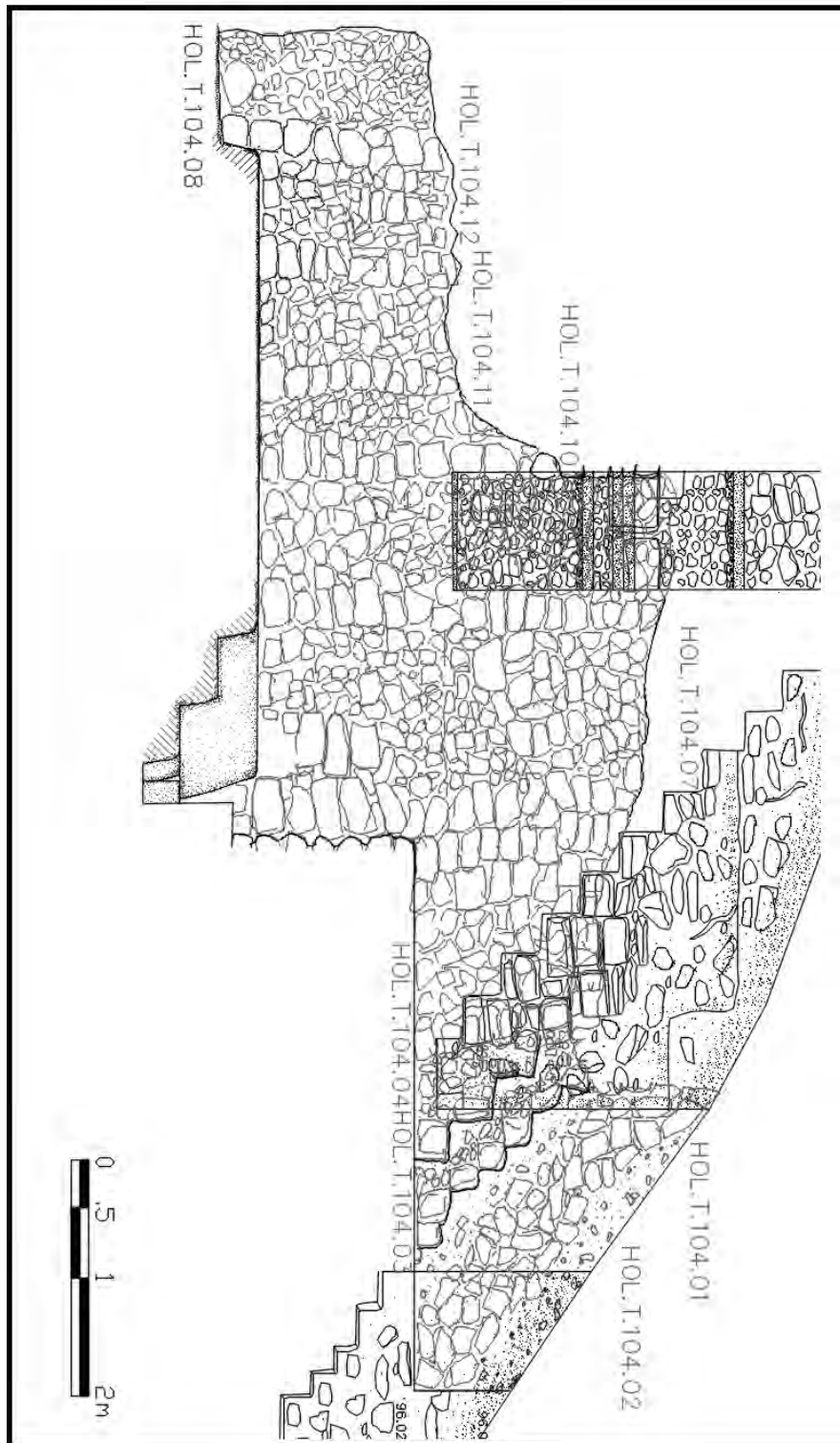


Figura 2.21. Esquema del perfil oeste (corte transversal oeste a este A-A) de la unidad HOL.T.104, con una cronología relativa propuesta en sus fases constructivas (Dibujo: Berenice García Vázquez).

EXCAVACIÓN HOL.T.105

Hasta ahora las excavaciones ejecutadas en la ladera sur del Basamento I, han aportado resultados relevantes relacionados con la composición arquitectónica de esta área conectada a la plaza. Tanto los rasgos estilísticos como la temporalización de diferentes ocupaciones permiten estructurar un conjunto de inferencias relacionadas con las actividades de diferente índole, manifestadas por los antiguos pobladores de Holmul. En este sentido, con el propósito buscar alguna relación entre elementos ya descubiertos en las unidades de excavación HOL.T.102, HOL.T.104 y HOL.T.94, y con algunos elementos ya descubiertos en los Edificio A y B, se efectuó una excavación en el área de una moldura que quedó al descubierto posterior de un derrumbe del perfil de un muro, al extremo oeste del Edificio B, ubicado sobre la cima sur del Basamento I

De manera puntual, se comenzó con la excavación de este pozo con la finalidad de encontrar algún elemento asociado la moldura del cuerpo del periodo clásico expuesto en el cuarto oeste del Edificio B, en donde se trazó un cuadrante de medidas 1.50 m de este a oeste y de 1 m de norte (Figura 2.22).



Figura 2.22. A) Comienzo de la excavación HOL.T.105 Moldura expuesta en el interior del muro derrumbado; b) Piso HOL.T.105.04 asociado al muro de la fachada exterior (Foto: Berenice García Vázquez).

Cabe mencionar que esta área es una horadación irregular posiblemente resultado de una actividad antrópica en este caso un saqueo, debido a esto, la formulación de los contextos comienza con el material removido en donde el primer estrato excavado (HOL.T.105.01), se trata de material de relleno con algunas alteraciones, tiene un grosor de 15 a 30 cm en promedio, contiene piedras y tierra caliza mezclada con otros materiales constructivos provenientes del derrumbe de los elementos expuesto como resultado de la remoción.

La siguiente capa se refiere al segundo contexto con número HOL.T.104.02, está compuesta por el relleno constructivo que tapia la penúltima etapa constructiva, en específico un muro revestido por estuco HOL.T.104.02, que presenta un zócalo en la parte inferior con una saliente de 0.10 m, una moldura en el remate y un vano de acceso al extremo este. Se profundizó 1.96 m hasta llegar a un piso de estuco (HOL.T.105.03), que presenta unas óptimas condiciones y completo en su superficie, el piso se extiende hacia el este con dirección al vano de acceso (Figura 2.23). La jamba (HOL.T.105.11) que se encuentra con dirección al este a unos 2.20 m, se desplanta sobre un piso de estuco (HOL.T.105.06), cuya área de relleno del vano de acceso fue removida de forma irregular. Al extremo sur la jamba tiene un grosor de 0.63 m y se presenta un área de unos 0.30 m que es posible que se trate de otro vano de acceso.

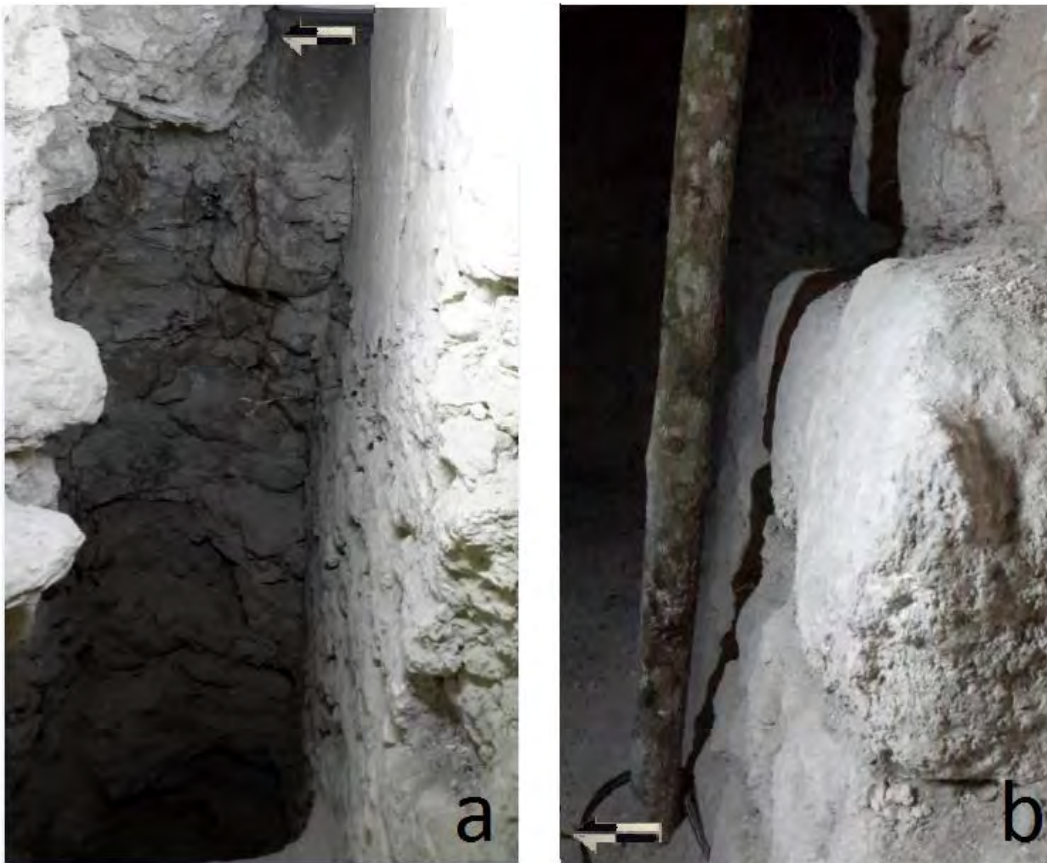


Figura 2.23. a) Túnel de exploración de la unidad HOL.T.105, con la exposición del muro HOL.T.105.10; b) Zócalo expuesto en el desplante del muro HOL.T.105.10 (Foto: Berenice García Vázquez).

Por debajo del piso (HOL.T.105.06) se presenta un relleno compuesto por piedrines unidos por argamasa, por debajo de este, hay piedras de mediano formato irregulares unidas entre ellas que funcionan como sostén de este conjunto de jambas. Por debajo del piso de estuco (HOL.T.105.06) a unos 0.75 m de profundidad se encuentra el piso HOL.T.105.03 que es el mismo que está al exterior del área del cuarto. Por debajo de este piso después de 0.80 m de material de relleno se localizó el piso (HOL.T.105.07). Así mismo, al interior se localizó un cuerpo escalonado a manera de talud (HOL.T.105.13) que fue explorado para conocer su interior del cual solo se encontró material de relleno (Figura 2.24).

Hacia el este, también se localizó un piso (HOL.T.105.09) que se prolonga un metro en esta misma dirección, sobre este solo está colocado material de relleno y en su interior adosado al talud no contenía elemento arquitectónico en su interior.

Con dirección oeste del talud (HOL.T.105.13), se encontró un conjunto de bloques de gran formato rectangulares, dispuestos uno por encima de otro, las dimensiones que presentan tienen 0.40 m de largo por unos 0.60 de ancho en promedio (Figura 2.25).

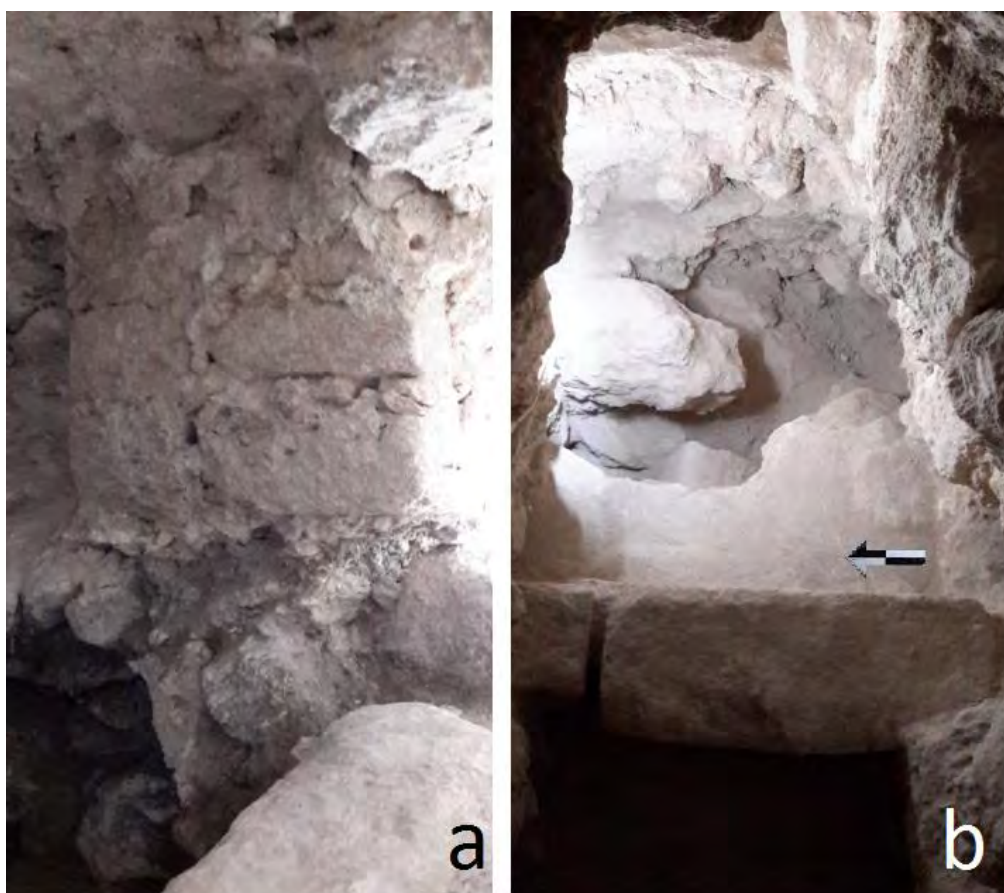


Figura 2.24. Izquierda. Vano de Acceso con Jamba (HOL.T.105.10); Derecha. Piso (HOL.T.105.09) y talud (HOL.T.105.13) explorados (Foto: Berenice García Vázquez).

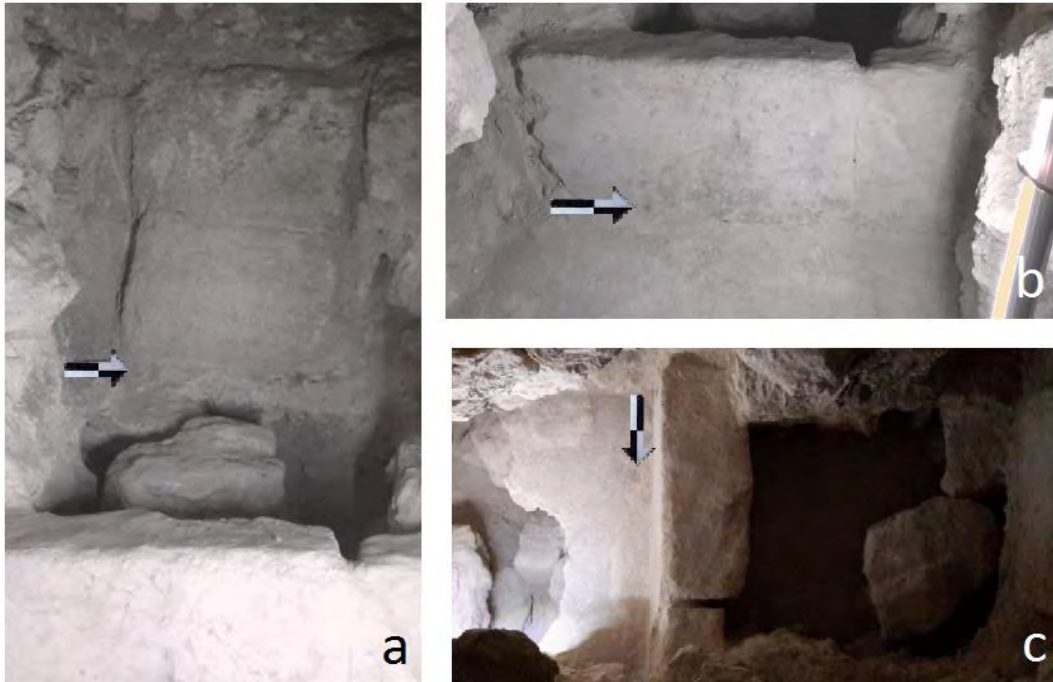


Figura 2.25. a) Bloques de piedra de gran formato; b) Talud (HOL.T.105.13) visto desde el extremo este; c) Talud explorado (Foto: Berenice García Vázquez).

Finalmente, se excavó una intrusión que se registró con el número (HOL.T.105.08), de un largo de 1.20 m y de 0.40 de ancho, en su interior solo alojaba material de relleno y algunos tiestos, a 0.80 m de profundidad se encontró el piso (HOL.T.105.08) en donde finalizó la excavación (Figura 2.26).



Figura 2.26. a) Ubicación de la intrusión HOL.T.105.08; b) Fin de la excavación del contexto HOL.T.105.08 (Foto: Berenice García Vázquez).

El análisis cerámico en laboratorio de la unidad HOL.T.105, identificó el siguiente material dentro de los varios contextos excavados clasificado en fases cerámicas de Holmul (y Uaxactún) como *terminus post quem* para la secuencia cronológica:

HOL.T.105.02, Clásico Temprano, fase K'ak 1-3 (Tzakol 1-3); HOL.T.105.06, Preclásico Terminal - Clásico Temprano, fase Wayab-K'ak 1 (Matzanel - Tzakol 1); HOL.T.105.07, Preclásico Terminal - Clásico Temprano, fase Wayab-K'ak 1 (Mamom-Chicanel); HOL.T.105.08, Clásico Temprano, fase Wayab-K'ak 1 (Mamom-Chicanel). De tal manera que se puede inferir que este elemento arquitectónico pertenece al periodo Clásico Temprano y conforme se va profundizando la secuencia de los pisos a partir del piso HOL.T.105.07, se manifiesta la cronología más temprana durante el periodo Preclásico Terminal (Figura 2.27).

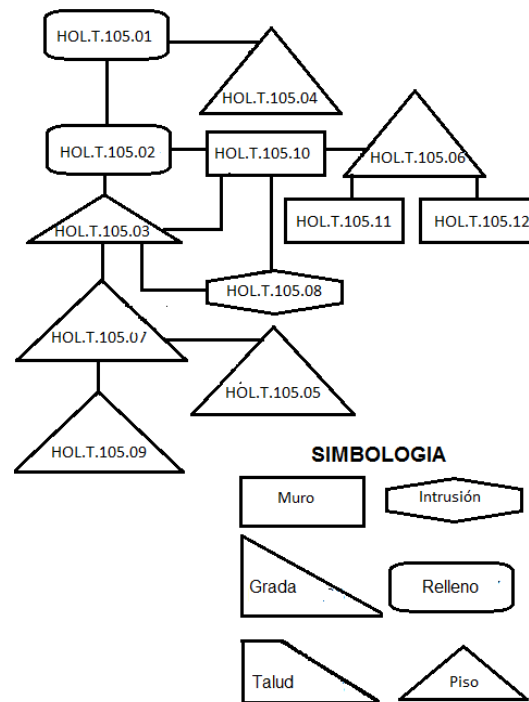


Figura 2.27. Matriz de Harris de la unidad HOL.T.105.

CONCLUSIONES

La unidad HOL.T.105, es un conjunto de elementos que conforman un cuarto, del cual se estima que puede estar en un 80% a un 90% de su completitud; la cronología propuesta que la inserta para el periodo Clásico Temprano, podría arrojar datos sobre el estilo arquitectónico aquí identificado, reivindicando el uso de las molduras en los remates para este periodo y los zócalos o rodapié en nivel más bajo del muro unido al piso.

Debido a que es el primer contacto con este elemento, es difícil formular algunas hipótesis sobre la funcionalidad de este edificio. Sin embargo, la característica evidente que fue definida, es que antes de haber sido rellenado este cuarto en su totalidad, para afianzar otra etapa constructiva, de cierta forma fue explorada en época prehispánica, tal aseveración se formula de acuerdo a la horadación del piso HOL.T.105.06, presente en el área del vano de acceso, en donde es visible que el piso fue fragmentado de manera intencional.

Así mismo la intrusión con número de contexto HOL.T.105.08 muestra evidencia, de que se implementó posiblemente para advertir que contenía el piso HOL.T.105.03 en su interior, o bien, tal vez si existió algún elemento enterrado que pudo haberse removido durante el periodo Clásico Temprano (Figuras 2.28, 2.29 y 2.30).

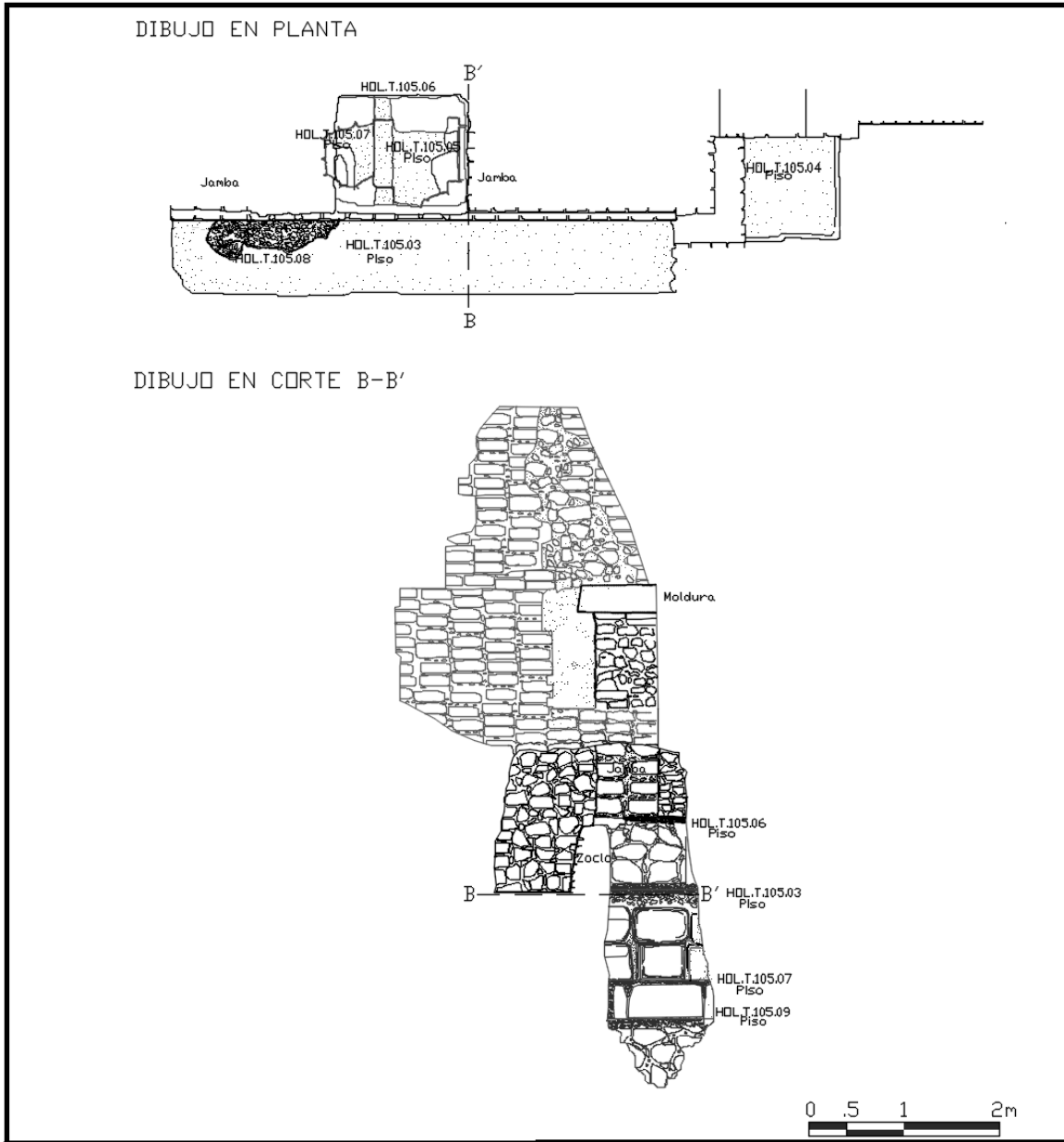


Figura 2.28. Dibujo en planta y corte B-B' de la unidad HOL.T.105 desde una perspectiva oeste (Dibujo: Berenice García Vázquez).

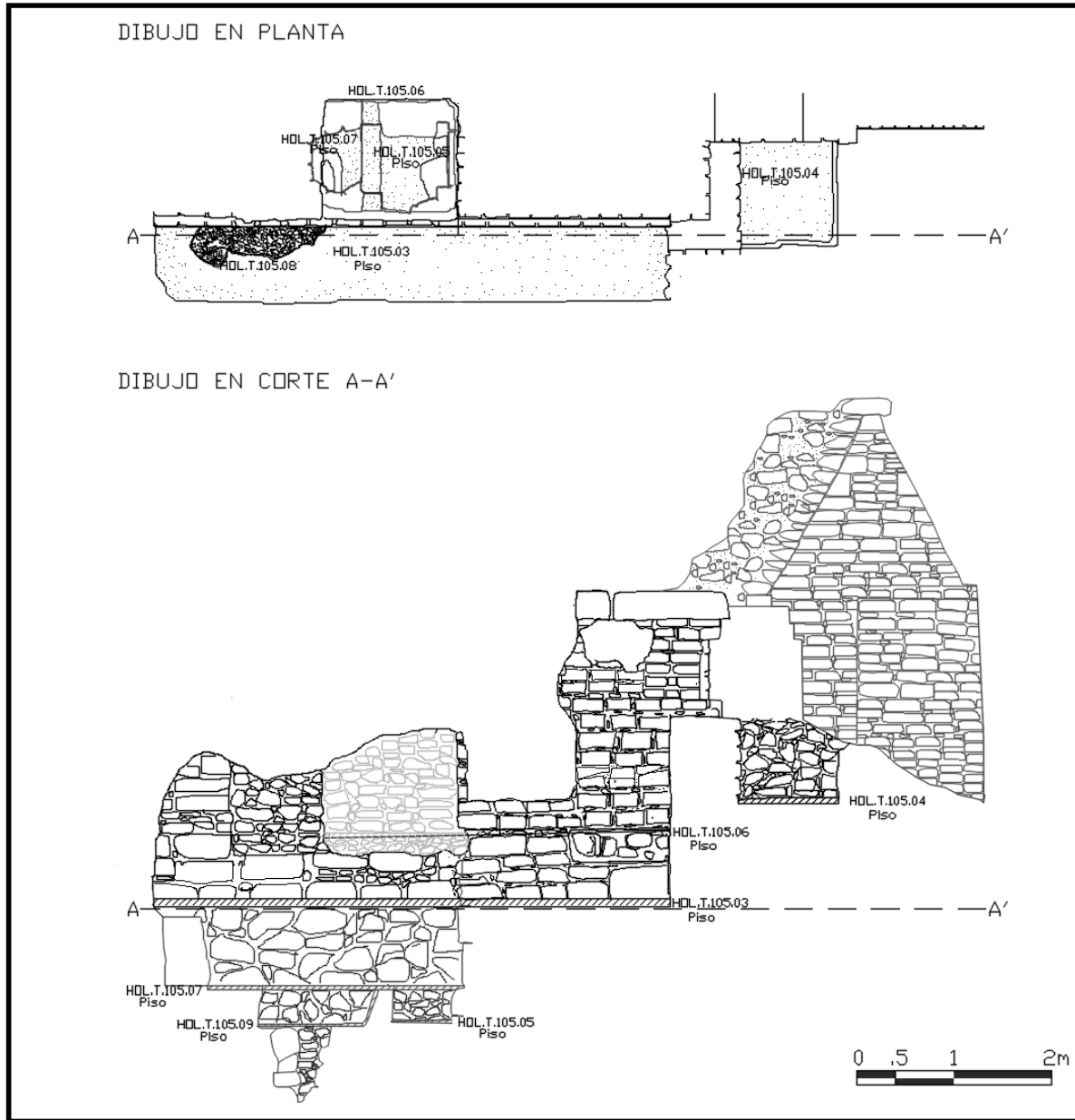


Figura 2.29. Esquema de la unidad HOL.T.105 desde una perspectiva norte (Dibujo: Berenice García Vázquez).



Figura 2.30. Esquema de la unidad HOL.T.105 perfil oeste, ubicado dentro del conjunto de elementos arquitectónicos del Edificio B, remate del Basamento I (Dibujo: Berenice García Vázquez).

EXCAVACIÓN HOL.T.93

Durante las últimas dos temporadas de excavación hasta el presente, en la unidad HOL.T.93 de excavación del Edificio D, se han encontrado un conjunto de entierros en 3 cuartos que conforman el edificio, en este año se dio seguimiento a este proceso de investigación y como resultado de ello se encontraron 2 entierros (HOL.T.93.67) (Figura 2.31) y (HOL.T.93.76); una ofrenda de tiestos con unas falanges humanas (HOL.T.93.68) una ofrenda compuesta por vasos cerámicos (HOL.T.93.77)

La excavación de la unidad HOL.T.93 comienza con la búsqueda pisos y cortes en la sección intermedia del cuarto de una etapa constructiva anterior a los cuartos 1 y 2 de esta sección del edificio D, el primero contexto es una capa de ceniza (HOL.T.93.66), al extremo este se encuentra un corte en el piso cuyo número de contexto es HOL.T.93.67 y al oeste HOL.T.93.68, una sección con indicios de actividad con fuego tienen el número HOL.T.93.70, el número HOL.T.93.69 corresponde el piso de caliza y el número HOL.T.93.71 corresponde a la delgada capa de piso de estuco blanco. En la sección sur comenzó la liberación del piso HOL.T.93.72 en donde se delató la impronta de un corte al centro norte de esta sección con el número HOL.T.93.74 y al centro sur otro corte el cual le corresponde el número HOL.T.93.73.



Figura 2.31. Entierro HOL.T.93.67 *in situ*, Izquierda. Primera fase de excavación; Derecha. Segunda fase de excavación (Foto: Berenice García Vázquez).

El entierro HOL.T.93.67 de acuerdo a la cronología relativa aportada por el análisis cerámico se efectuó durante el periodo Clásico Temprano, el individuo fue enterrado de manera indirecta y es de carácter primario, con orientación sur a norte, en posición decúbito lateral izquierdo flexionado, entre carbón, cenizas y dos pendientes con horadación al centro cada uno, de los cuales se piensa, que es posible que el material de manufactura se trate de alabastro.

Al sur tenía dos platos cóncavos divergentes sin engobe o decoración alguna. También presentó una navajilla prismática fragmentos de jade, un caracol y fragmentos de coral; en los rellenos relacionados con este contexto se encontró algunos fragmentos de pendientes redondeados de piedra negra que es posible que se trate de jade u obsidiana (Figuras 2.32, 2.33, 2.34 y 2.35).



Figura 2.32. a) Platos cóncavo divergentes ofrendados al entierro (HOL.T.93.67.02.01 y HOL.T.93.67.02.02); b) Material arqueológico proveniente del entierro (HOL.T.93.67) navajillas prismática de obsidiana, caracol, cuentas de alabastro, fragmentos de jade y concha (Foto: Berenice García Vázquez).

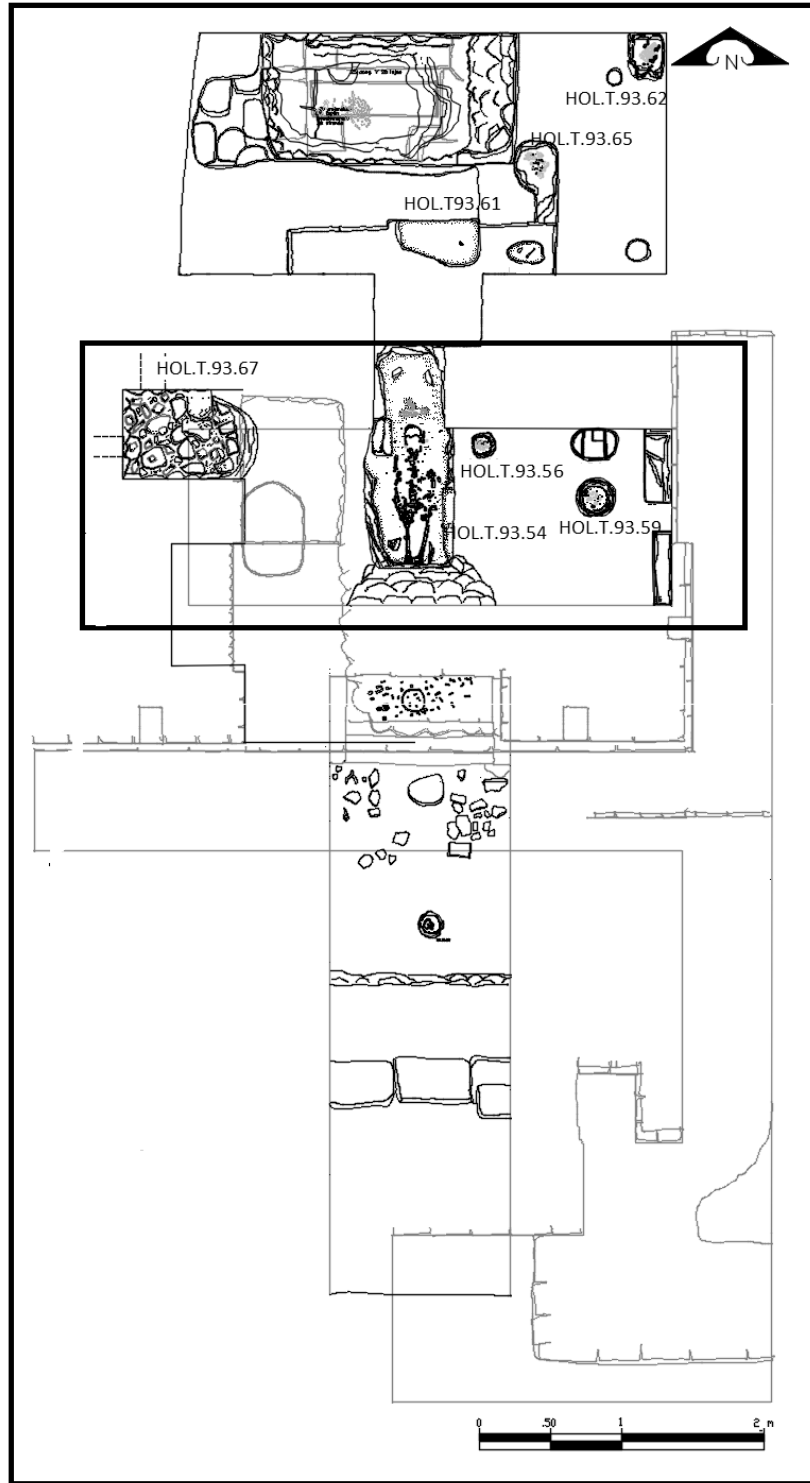


Figura 2.33. Esquema del contexto HOL.T.93.67 con respecto al conjunto de cuartos A y B, del Edificio D (Dibujo: Berenice García Vázquez).

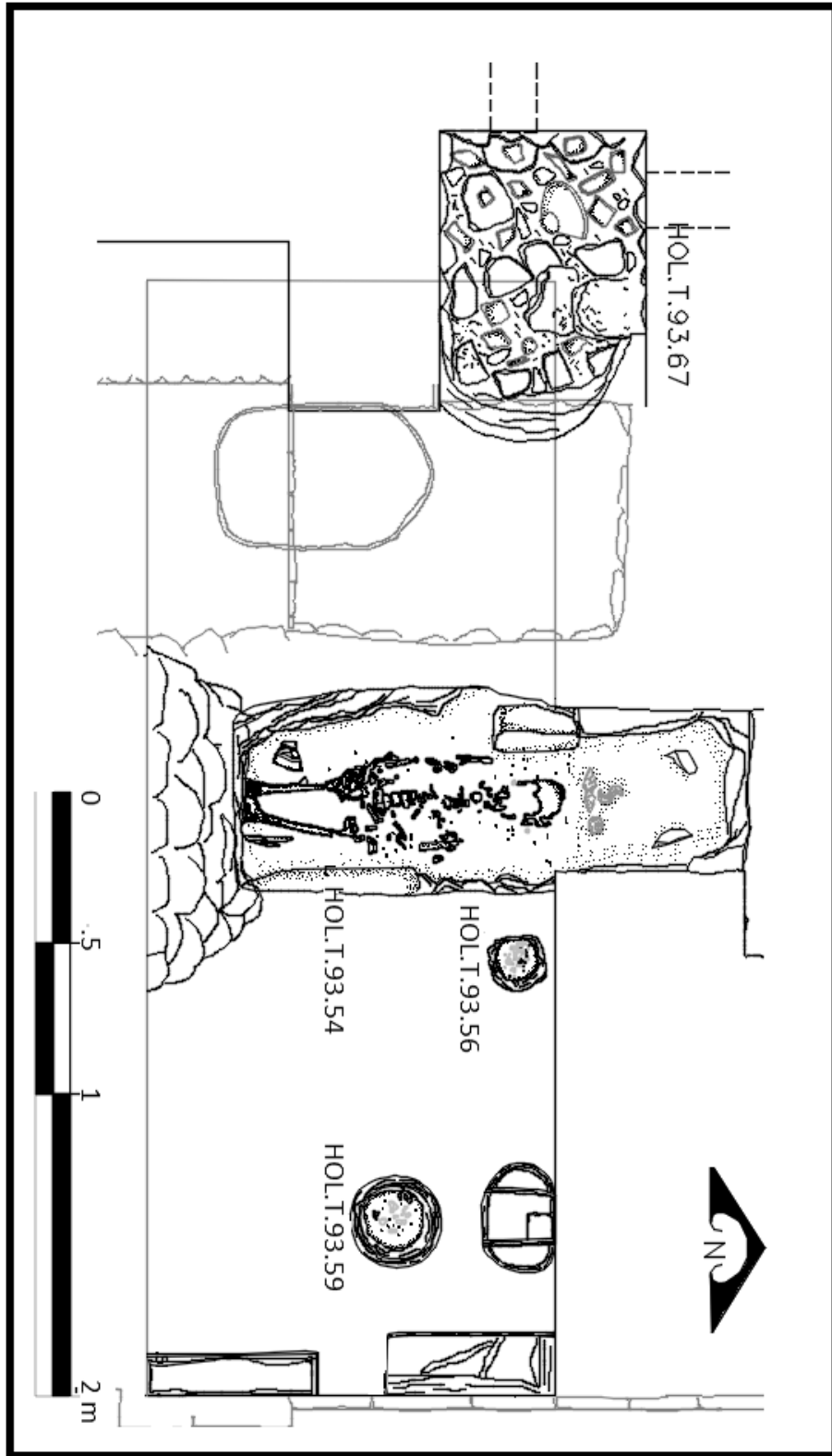


Figura 2.34. Esquema del contexto HOL.T.93.67 primera fase (Dibujo: Berenice García Vázquez).

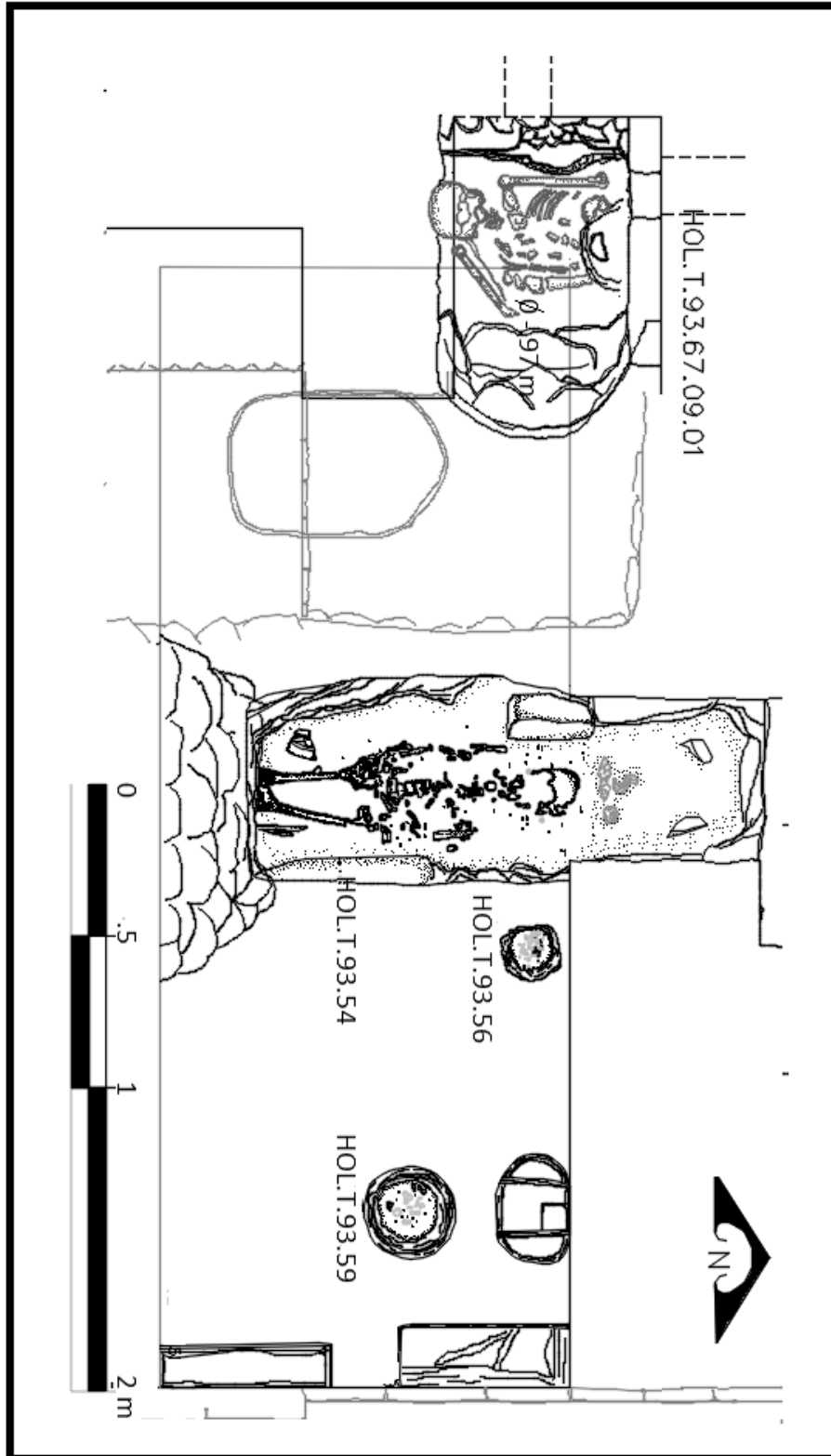


Figura 2.35. Esquema del contexto HOL.T.93.67 segunda fase exponiendo el entierro HOL.T.93.67.09.01 (Dibujo: Berenice García Vázquez).

La siguiente horadación que se encuentra al extremo este, sólo presentó ceniza, carbón, tiestos y una falange en su interior. Por esta razón es considerado un depósito ritual (HOL.T.93.68). Las dos intrusiones ya descritas tienen una profundidad de alrededor de 0.70 m, por debajo de ellas se encuentra una banqueta con piso de estuco (Figura 2.36).

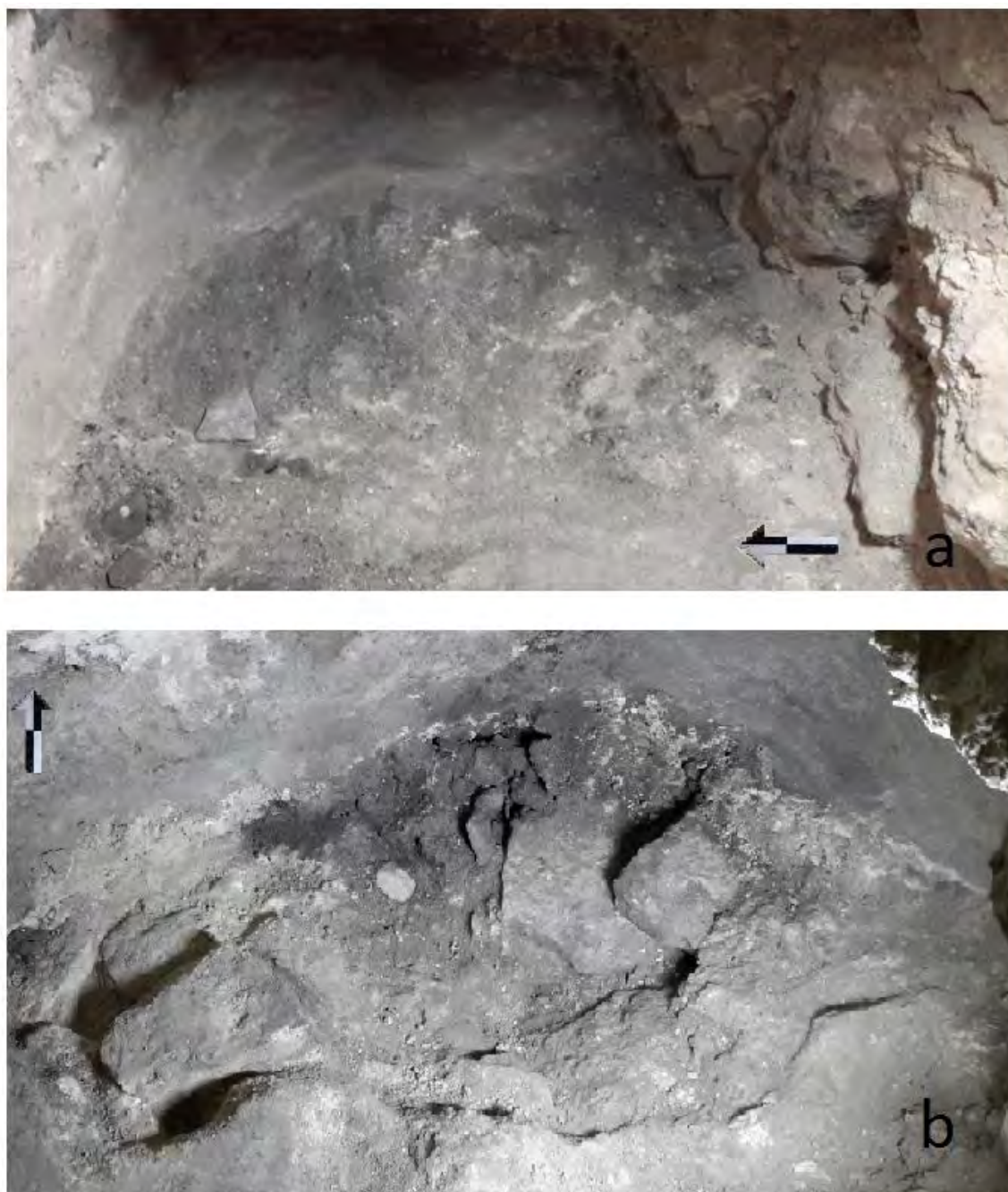


Figura 2.36. Depósito ritual HOL.T.93.68 de la Unidad 93. a) Identificación del corte b) Primera fase de excavación (Foto: Berenice García Vázquez).

El límite de la excavación de esta sección se trata de una banqueta estucada (HOL.T.93.79) de longitud 2.10 m de este a oeste y un ancho de 0.40 m, este contexto está relacionado con los contextos HOL.T.93.80 y HOL.T.93.81, que presenta una horadación al sur por debajo de lo que parece unas lajas, por esta razón se previó necesario explorar esta área (Figuras 2.37, 2.38 y 2.39).



Figura 2.37. a) Banqueta HOL.T.93.79; b) Horadación del contexto HOL.T.93.81 (Foto: Berenice García Vázquez).

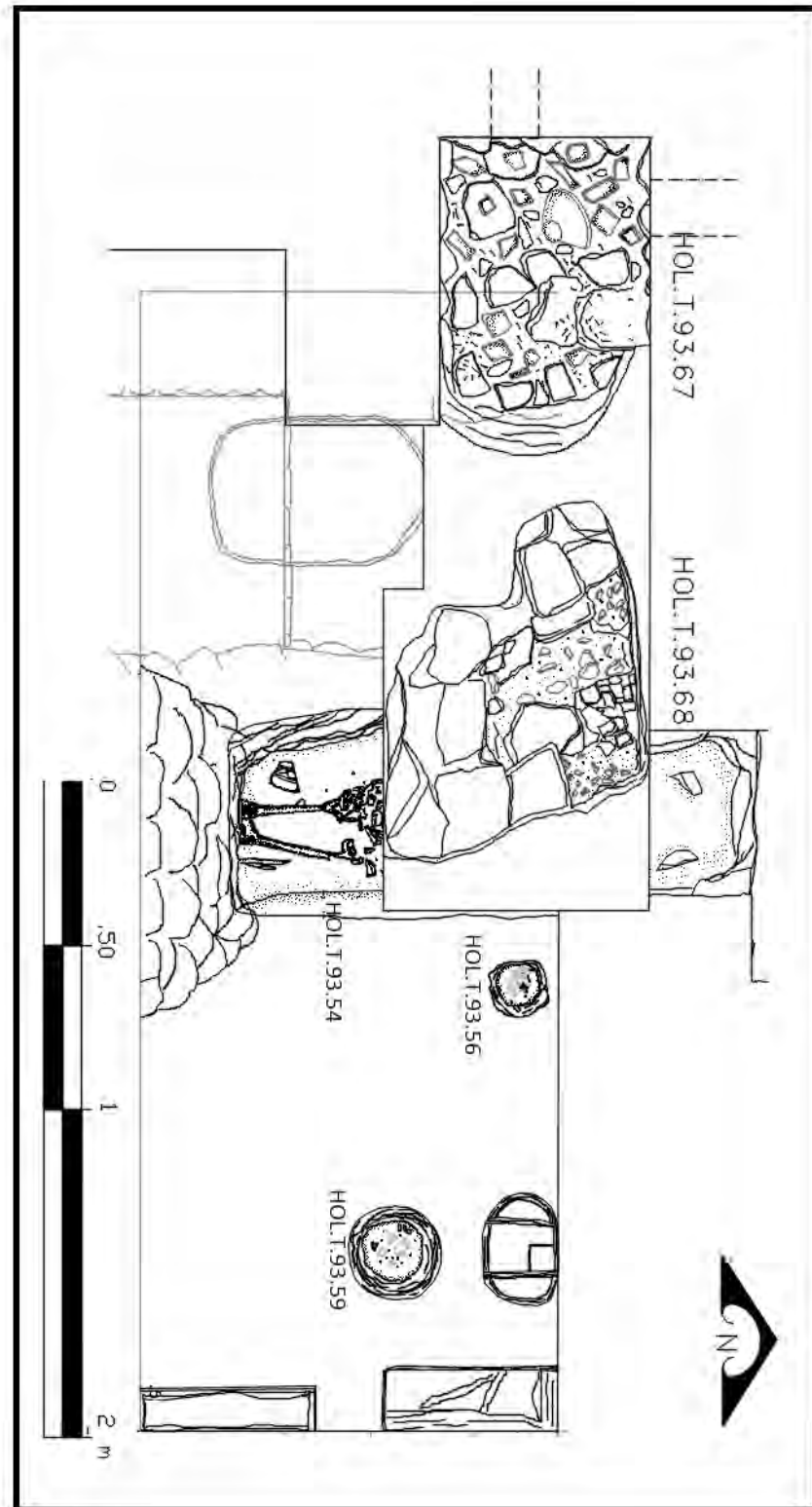


Figura 2.38. Esquema en planta de los contextos HOL.T.93.67 y HOL.T.93.68 (Dibujo: Berenice García Vázquez).

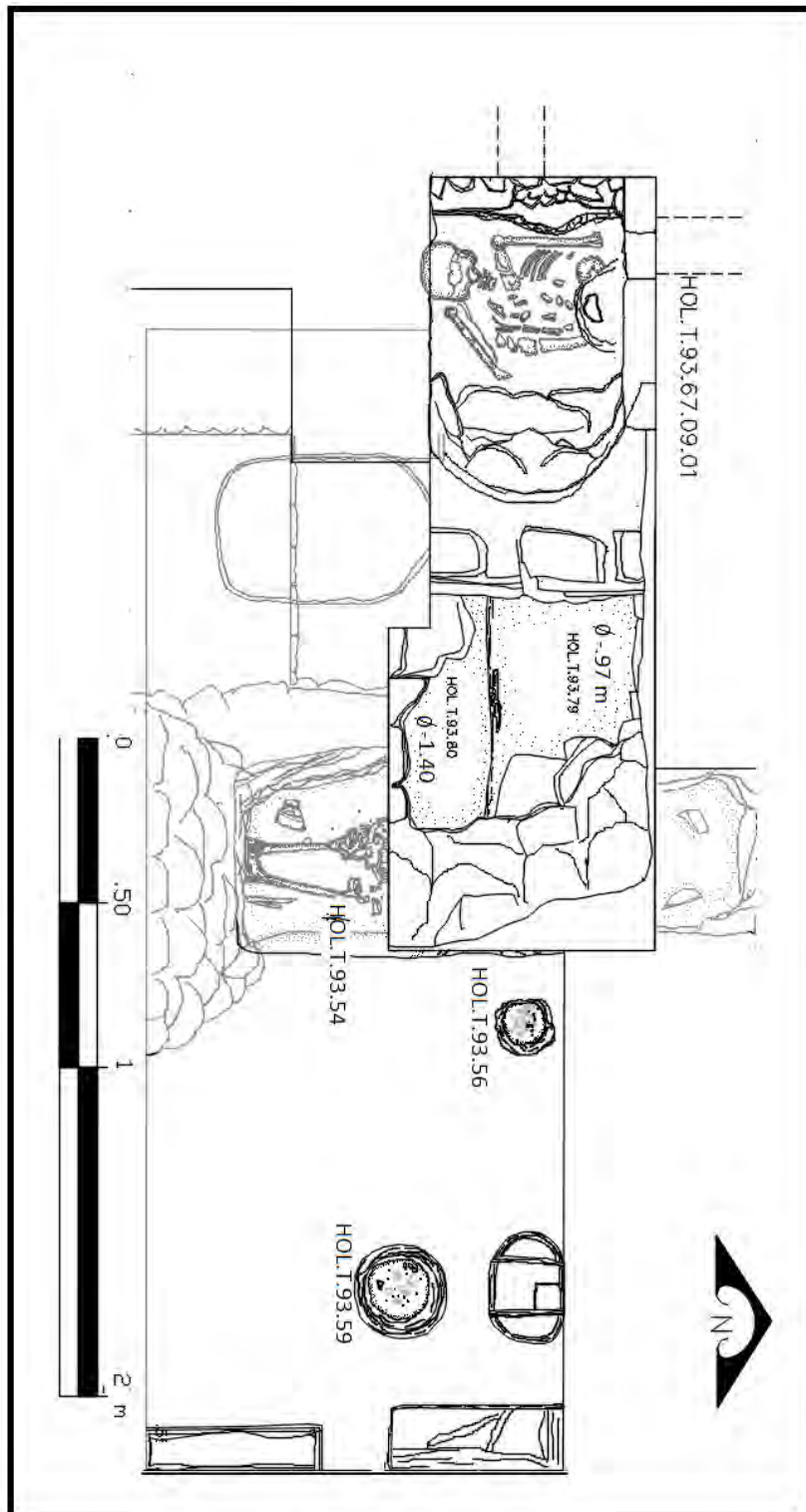


Figura 2.39. Esquema del contexto HOL.T.93.67 y Banqueta HOL.T.93.79 (Dibujo: Berenice García Vázquez).

El entierro HOL.T.93.76 se encontró dentro de una cista conformada con lajas de un largo aproximado de 0.80 m un ancho de 0.35 m y un grosor de 0.15 m en promedio, revestidas al interior por estuco que no logró conservarse en su totalidad. Se trata de un entierro primario indirecto, debido a que se encuentra sobre un apisonado de tierra caliza, la posición está orientada de sur a norte (el cráneo hacía el sur), en posición decúbito dorsal extendido, su degradación es muy avanzada, se estima que sólo se conservó menos del 30% de los restos óseos de los cuales sólo son diagnósticos algunos fragmentos de extremidades inferiores y fragmentos de la bóveda craneal.

A manera de ofrenda se encontraron tres artefactos cerámicos, el primero de ellos se trata de un vaso policromo con epigrafía y representaciones antropomorfas (HOL.T.93.76.02.01), el segundo es un plato fragmentado curvo convergente de engobe color negro y de buen bruñido en su superficie (HOL.T.93.76.02.02), el tercero es un plato policromo fragmentado curvo divergente sin decoración en la pared exterior y decoración con representaciones zoomorfas en su interior (HOL.T.93.76.02.03) y pequeños fragmentos de conchas (Figuras 2.40 y 2.41).



Figura 2.40. Entierro HOL.T.93.76 con degradación avanzada. a) Primera fase de excavación; b) Segunda fase de excavación (Foto: Berenice García Vázquez).



Figura 2.41. a) Plato curvo convergente negro HOL.T.93.76.02.03; b) Vaso policromo HOL.T.93.76.02.01; c) Plato policromo HOL.T.93.76.02.02 (Foto: Berenice García Vázquez).

El contexto HOL.T.93.77 se ubica al extremo norte del entierro número HOL.T.93.76, está delimitado por un conjunto de lajas que conforman las cista que resguarda el entierro y se trata de un deposito ritual que contiene 3 vasos alisados sin engobe con tapas y uno de ellos es un vaso efigie antropomorfa con decoración alusiva a un tocado en la cresta de la tapa. Este contexto contenía algunas falanges de las extremidades inferiores del individuo del entierro HOL.T.93.76 sobre el apisonado de tierra caliza; dos vasijas tienen en su interior a manera de ofrenda algunas conchas, fragmentos de jade, fragmentos de textil y restos óseos de fauna, de los cuales de forma preliminar se piensa que algunos corresponden a un pez raya.

Posteriormente se excavaron los apisonados de los contextos HOL.T.93.67 y HOL.T.93.76, pero sólo se encontraron piedras de relleno y a .30 m de profundidad se dio fin a la excavación (Figuras 2.42 y 2.43).

El análisis cerámico en laboratorio de la unidad HOL.T.93, identificó el siguiente material dentro de los varios contextos excavados clasificado en fases cerámicas de Holmul (y Uaxactún) como *terminus post quem* para la secuencia cronológica:

HOL.T.93.29, Clásico Terminal, fase Chak 3 (Tepeu 3); HOL.T.93.37, Clásico Temprano, fase K'ak ¿? (Tzakol ¿?); HOL.T.93.52, Clásico Tardío - Clásico Terminal, fase Chak 1-3 (Tepeu 1-3); HOL.T.93.53, Clásico Tardío, fase Chak 1-2 (Tepeu 1-2); HOL.T.93.68, Clásico Temprano, en la fase K'ak 2-3 (Tzakol 2-3).

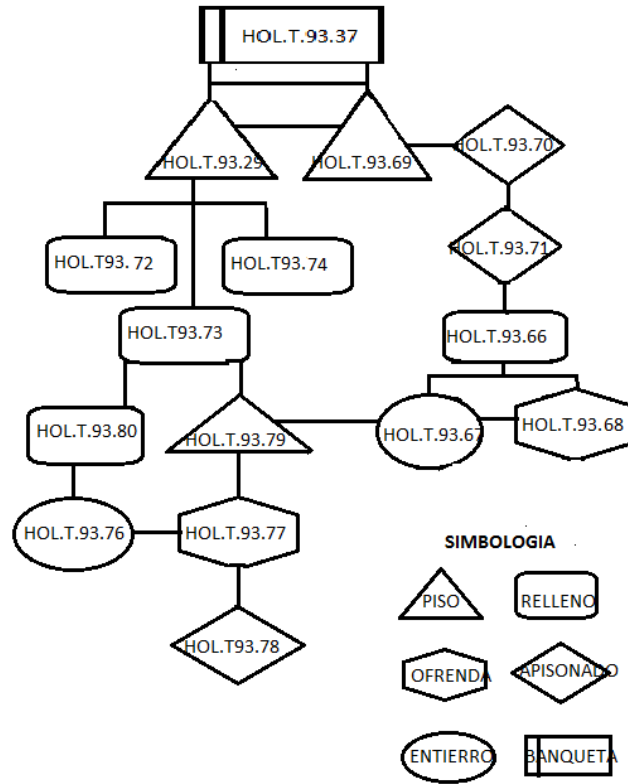


Figura 2.42. Matriz de Harris del contexto HOL.T.93 con elementos representados.



Figura 2.43. a) Vaso efigie y b) Vasos con tapadera del contexto HOL.T.93.77; c) Conjunto de artefactos ofrendados *in situ* HOL.T.93.77 (Foto: Berenice García Vázquez).

CONCLUSIONES

A manera de conclusiones, se puntualiza que en general la unidad de excavación HOL.T.93 es un conjunto de cuartos posiblemente de función ceremonial, que en su interior contiene los entierros de los personajes del sector dominante del Holmul, y que de acuerdo a la cronología relativa pertenecen a la sociedad que mantuvo una ocupación del periodo Clásico Temprano. El acto de ofrendar fragmentos de jade y fragmentos de coral, en los depósitos rituales, es un patrón que se encuentra presente durante todos los contextos a lo largo de este periodo (Figuras 2.44, 2.45, 2.46, 2.47 y 2.48). Aquí es donde se concluye el informe sobre las investigaciones arqueológicas en Holmul, agradeciendo del Dr. Francisco Estrada-Belli, todo el apoyo, confianza y enseñanzas brindadas durante el transcurso de la temporada 2018.

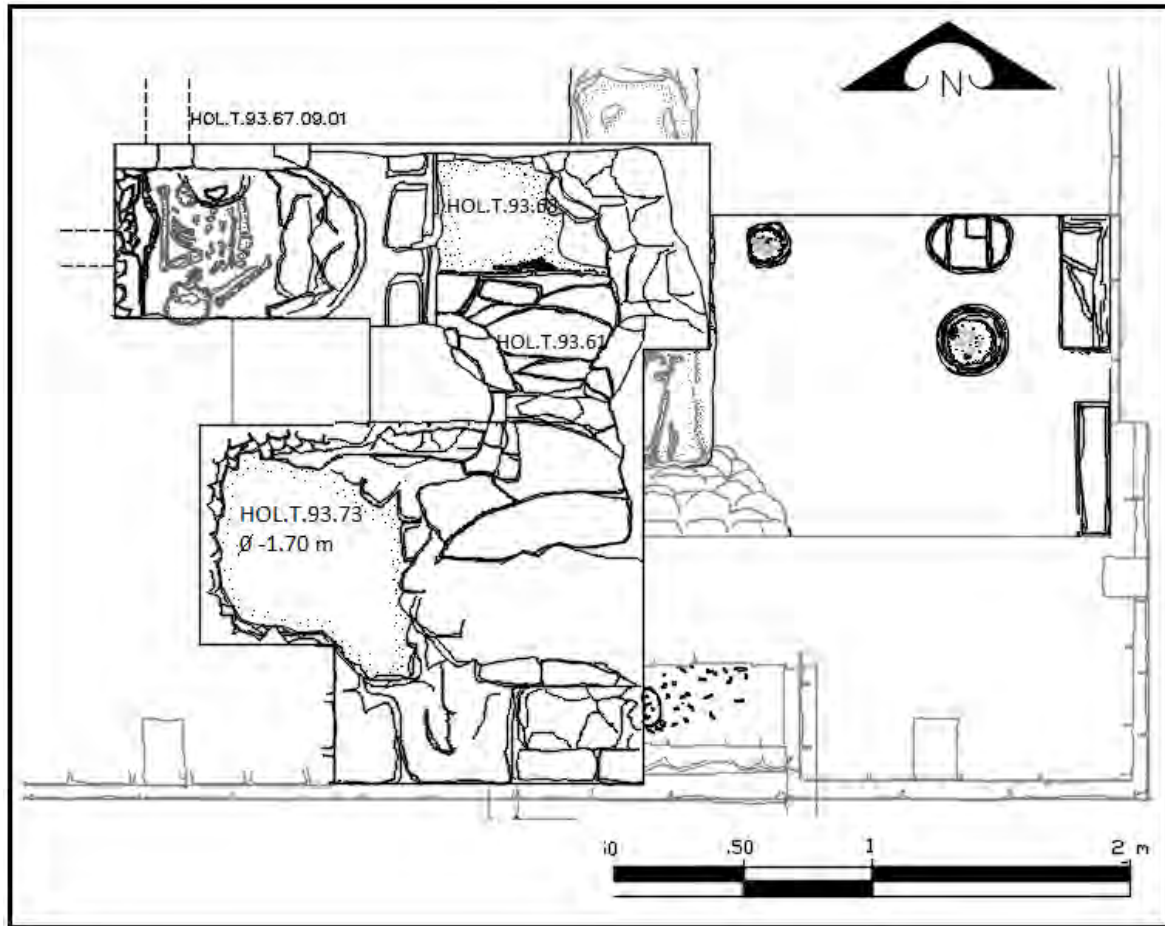


Figura 2.44. Representación del entierro HOL.T.93.67 y lasajas del contexto HOL.T.93.81 (Dibujo: Berenice García Vázquez).

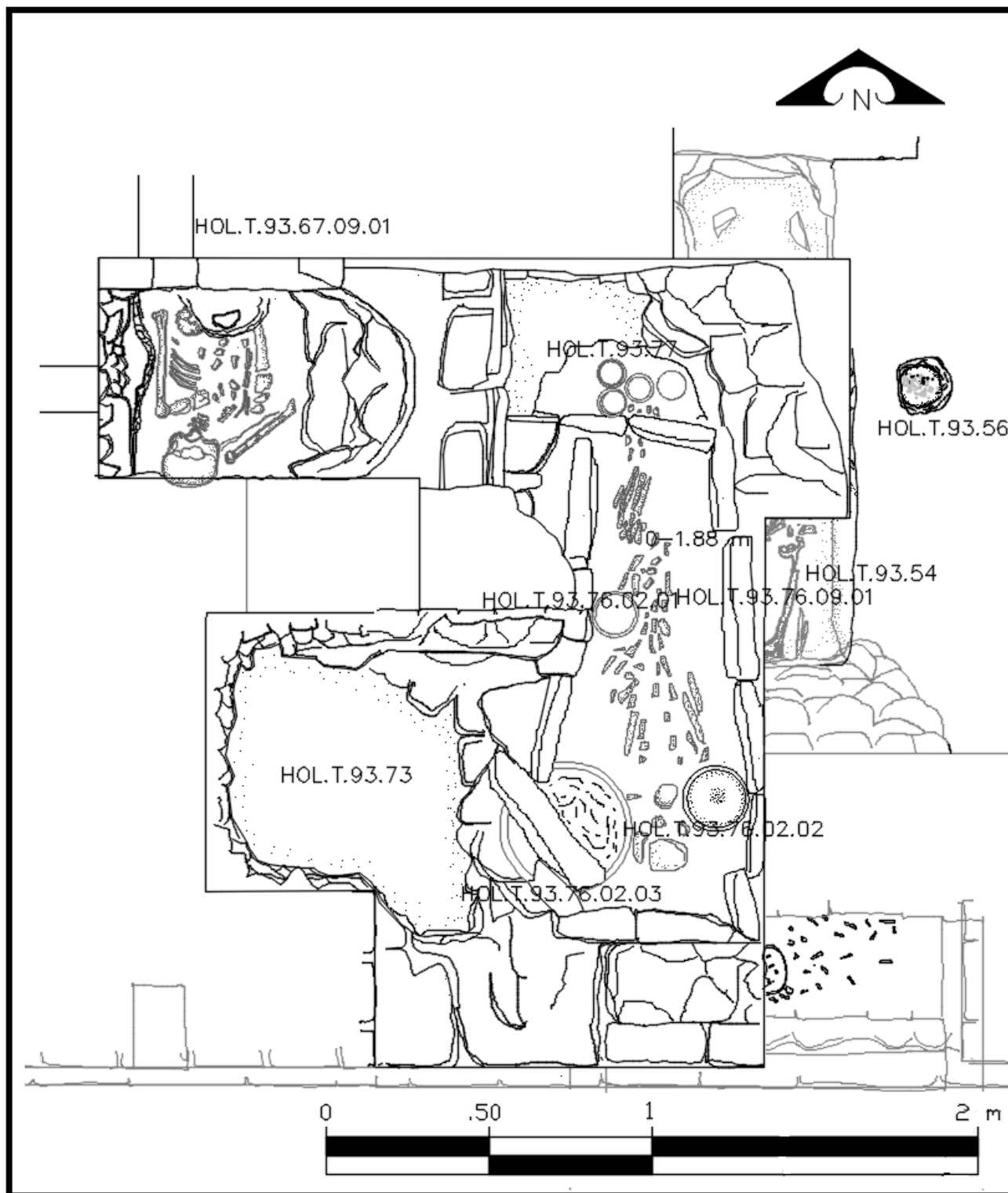


Figura 2.45. Representación del entierro HOL.T.93.76 con sus vasijas ofrendadas (Dibujo: Berenice García Vázquez).

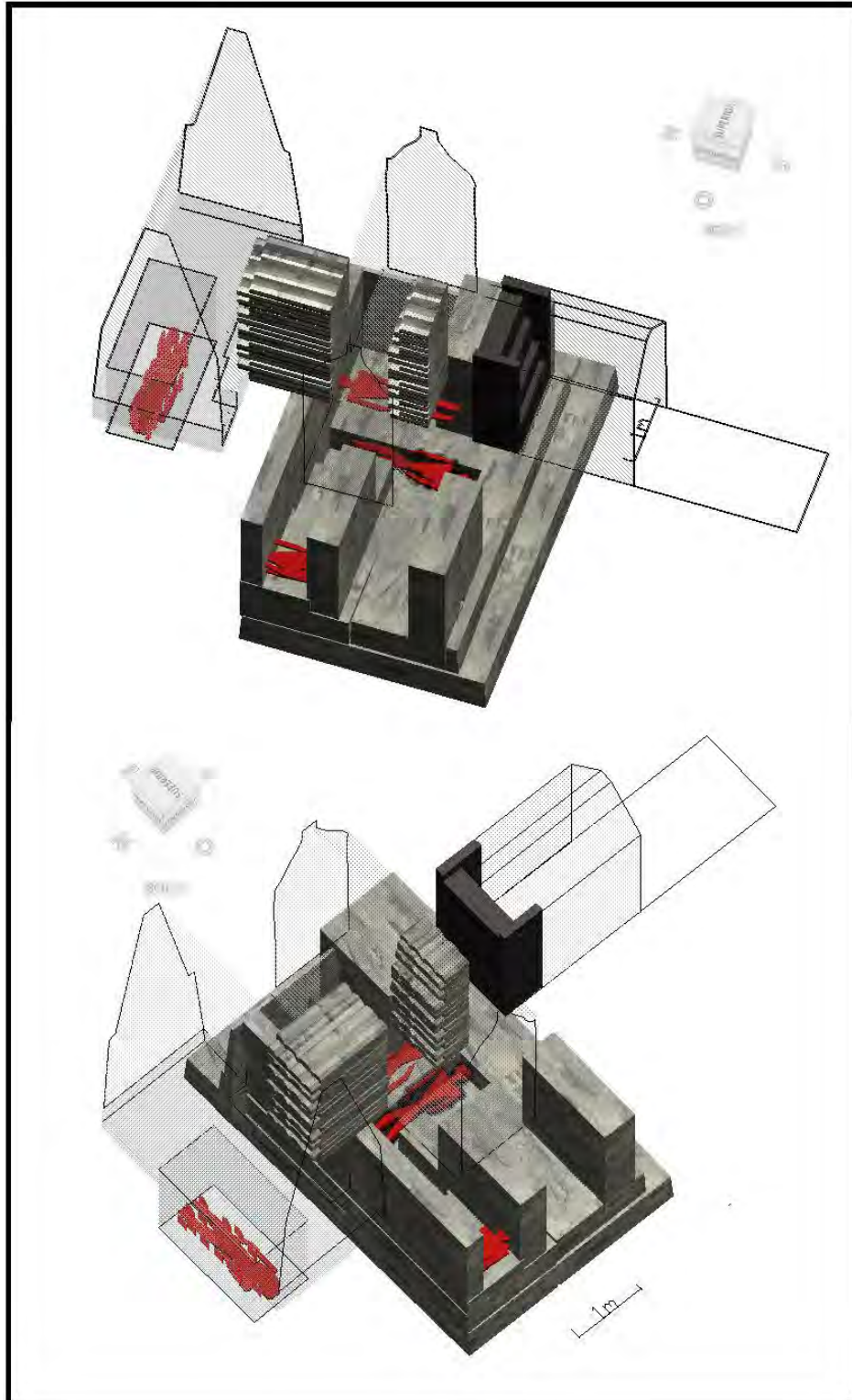
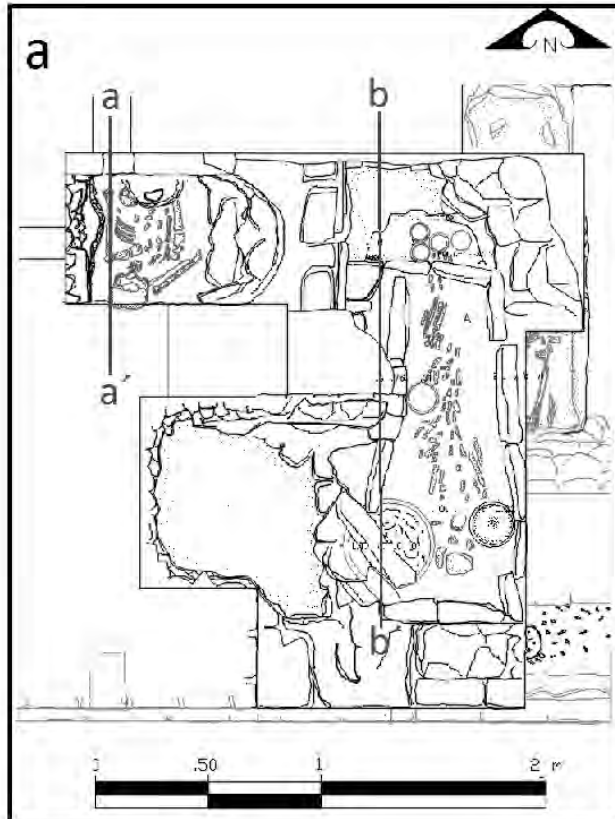


Figura 2.46. Representación esquemática de la ubicación de los entierros con respecto a los espacios arquitectónicos del recinto HOL.T.93 (Dibujo: Berenice García Vázquez).

Planta



Corte

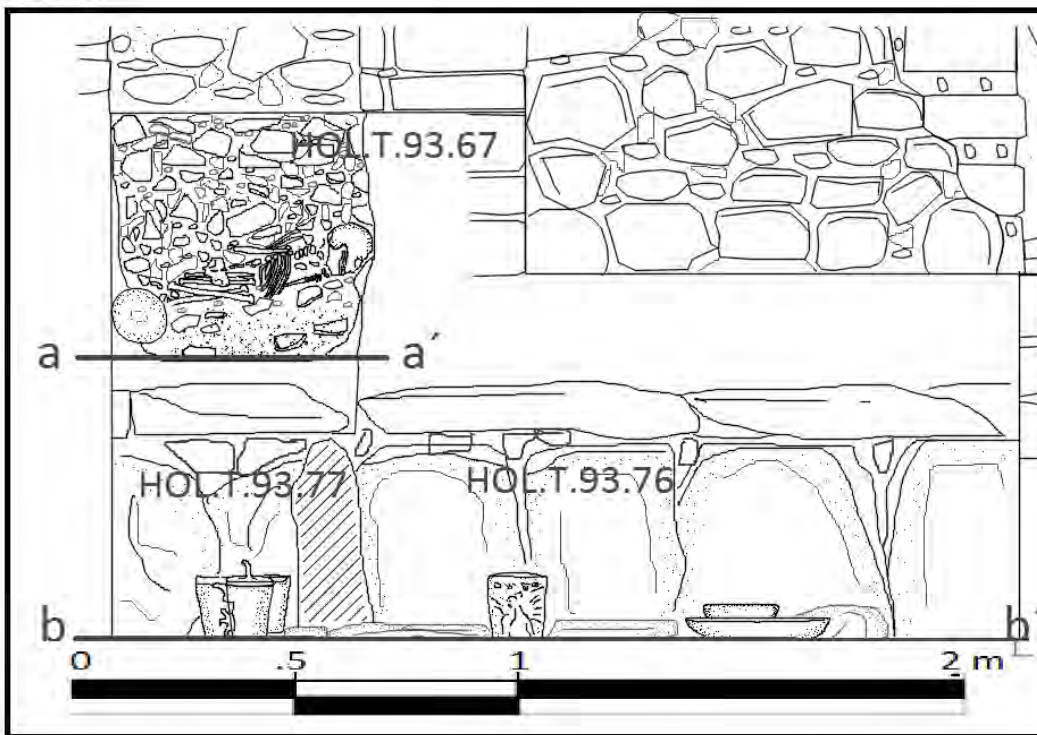


Figura 2.47. Esquema en planta de los entierros HOL.T.93.67.09.01 y HOL.T.93.76.09.01; b) Esquema de los cortes de los dos entierros (Dibujo: Berenice García Vázquez).

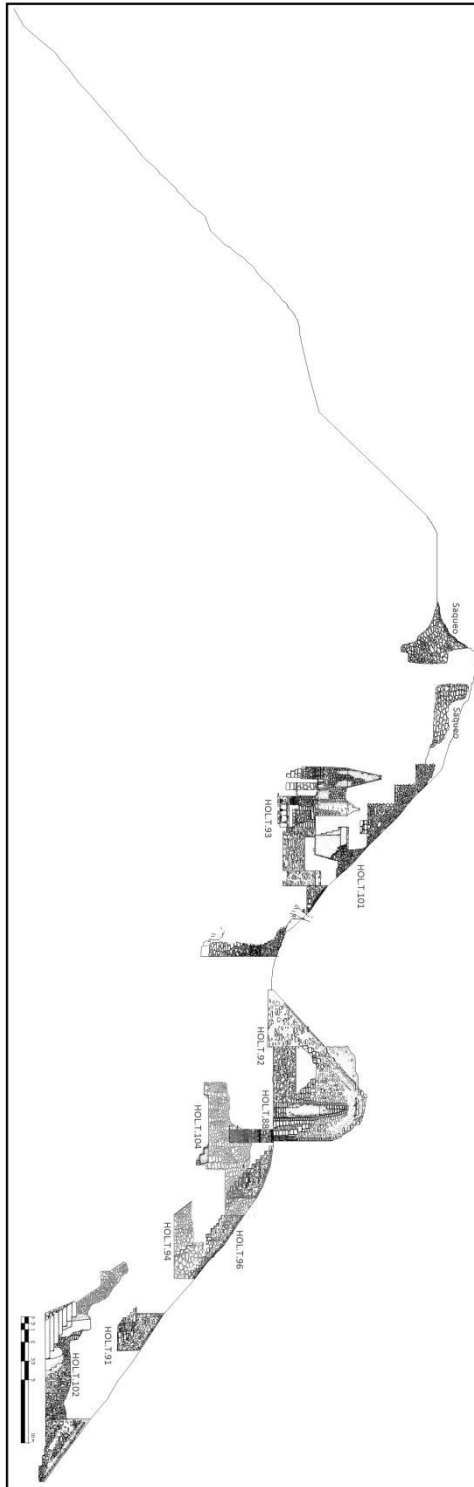


Figura 2.48. Representación esquemática del corte transversal del Basamento I y del Edificio D del Grupo I, perfil este (Dibujo: Berenice García Vázquez).

CAPÍTULO 3

CONSERVACIÓN DEL FRISO DEL EDIFICIO A, GRUPO II, HOLMUL. HOL.T.78.32.

Mariana Colín Gámez y Ma. Fernanda Escalante Hernández
Escuela Nacional de Conservación, Restauración y Museografía INAH-México

INTRODUCCIÓN

Del 16 al 30 de mayo, se desarrolló la quinta etapa de los trabajos de conservación y restauración del friso policromo de Holmul. Durante las temporadas previas se atendieron deterioros graves, con la finalidad de estabilizar las zonas más frágiles. Posteriormente, procesos de restauración para favorecer la apreciación de las cualidades estéticas, además de la comprensión iconográfica y epigráfica.

La temporada 2018 se enfocó en áreas estabilizadas, pero que requerían procesos de restauración, además de labores de mantenimiento y monitoreo. En este informe técnico, se resumen los tratamientos realizados, así como los resultados de la temporada y las recomendaciones de conservación.

OBJETIVOS

- Evaluar la condición general del friso.
- Identificar la formación de nuevos deterioros y dictaminar su estabilidad.
- Evaluar el funcionamiento de los tratamientos aplicados en temporadas anteriores.
- Monitorear las condiciones del contexto inmediato.
- Atender problemáticas del contexto y deterioros graves.
- Recuperar la unidad material y estética de la banda de glifos.
- Liberación y limpieza del muro Sur.
- Unificar la apariencia general y atenuar visualmente las intervenciones realizadas.
- Diagnosticar muro Norte.

ESTADO MATERIAL

En general estado material del friso al inicio de la temporada era bueno. Las grietas y desprendimientos tratados en temporadas anteriores permanecen estables. Sin embargo, sí detectamos pequeños desprendimientos y oquedades en el primer panel Noroeste como consecuencia del crecimiento de raíces y raicillas (Figura 3.1) que provienen de la superficie del inmueble (Figura 3.2). Desde la primera temporada de intervención hemos reportado que la abundante flora en la estructura es el principal factor de deterioro para el friso, incluso fue la causa de los daños más severos que tenía el estuco al inicio del proyecto (Colín 2014). Reiteramos nuevamente que este factor biológico es una amenaza constante para la estabilidad del friso, pues las raíces inminentemente provocarán el desprendimiento del aplanado, además de otros problemas estructurales en el núcleo de piedra.



Figura 3.1. Detalle de primer panel, muro Oeste. En la parte superior hay crecimiento de raicillas que desprendieron el aplanado de estuco. (Foto: M. Colín)



Figura 3.2. Superficie exterior del Edificio A. Se observa parte de la flora que afecta los muros Norte y Oeste. (Foto: M. Colín)

Otro deterioro que se identificó fue la permanencia de termitas o “comején” en la zona Noroeste del friso (Figuras 3.3-3.5) y también en el repello del túnel. Cabe recordar que esta plaga se extendió en 2017 dentro de la subestructura. Ese mismo año se atendió prioritariamente este problema (Colín 2017) que aunque no se erradicó por completo, sí disminuyó drásticamente. Se debe considerar entonces que por las condiciones ambientales del contexto, esta plaga es un riesgo permanente.



Figura 3.3. Esquina Noroeste con galerías de termitas sobre el estuco. (Foto: M. Colín).



Figura 3.4. Parte superior del primer panel, muro Noroeste con galerías de termitas sobre el estuco. (Foto: M. Colín)



Figura 3.5. Banda de glifos de muro Oeste con galerías de termitas en la piedra. (Foto: M. Colín)



Figura 3.6. Túnel de acceso hacia la subestructura, vista desde la entrada al friso. Se observa parte de la colonia de murciélagos en la bóveda. (Foto: M. Colín)

En el primer túnel de acceso, es decir, antes de ingresar al friso, incrementó considerablemente la población de murciélagos en comparación con los años anteriores (Figura 3.6). Aunque este tipo de fauna es muy característica de la selva Petenera, en el caso del Edificio A son un factor de deterioro para los aplanados de estuco que recubren dicho túnel, pueden causar graves enfermedades para los visitantes y trabajadores, pues su orina y heces son altamente tóxicas, además de transmitir otras enfermedades¹.

Este año se realizó una evaluación general del muro Norte a fin de identificar los deterioros presentes y realizar una propuesta de intervención a futuro. Este muro fue parcialmente excavado en la temporada 2013, es decir, fue de las primeras zonas en liberar después del hallazgo del friso. A simple vista, se identificó que el aplanado del muro Norte es bastante frágil y presenta abombamientos, grietas, desprendimientos y crecimiento de raicillas (Figuras 3.7-3.12). Incluso el mal estado de conservación puede ser la causa de que no se siguiera excavando. A la fecha, esta zona del friso es de difícil acceso y fuente de deterioros, pues además del material de relleno hay pozos de sondeo en el arquitrabe (Figura 3.7) por lo que el nivel del piso es mucho más profundo que los muros Oeste y Sur, lo cual lo convierte en una zona poco estable y de alto riesgo. El material de relleno (piedras y argamasa) genera peso extra para el estuco, además que la humedad en dicho sustrato favorece el crecimiento de raicillas (Figuras 3.9 y 3.12). Por todos los factores y su mala condición, el muro norte requiere intervención emergente para estabilizar los deterioros mencionados.



Figura 3.7. Muro Norte, sondeo de arquitrabe donde se observa la pérdida de aplanado y sillares expuestos. (Foto: M. Colín)



Figura 3.8. Muro Norte, vista desde esquina Oeste hacia Este. Hay múltiples grietas, desprendimientos, raíces y material de relleno. (Foto: M. Colín)



Figura 3.9. Rodilla derecha de personaje en esquina Noroeste. Se encuentra parcialmente excavado con muchas raíces. (Foto: M. Colín)



Figura 3.10. Esquina Noroeste, debajo de rodilla derecha del personaje. Se distinguen grietas, desprendimientos de estuco y raíces. (Foto: M. Colín)

¹ Los murciélagos pueden transportar a un amplio espectro de enfermedades para los seres humanos. La transmisión de virus es elevada y puede ser un motivo de grave preocupación. Además, se debe tener cuidado acerca de cómo se limpian las zonas donde vivieron murciélagos. De hecho, lo mejor es que un profesional limpie la orina y las heces que han quedado. Una limpieza inadecuada puede producir graves problemas de salud, pues el polvo de las heces contiene partículas nocivas, que al respirarse producen enfermedades infecciosas como la histoplasmosis, padecimiento que afecta a las vías respiratorias y puede ser fatal. Consultado en www.murcielagopedia.com/murcielagos-humanos



Figura 3.11. Personaje en esquina Noroeste. En la imagen se distingue parte del brazo y pectoral, mientras que el resto aún está cubierto con material de relleno. (Foto: M. Colín)



Figura 3.12. Detalle de relieve policromo en muro Norte con crecimiento de raíces y raicillas. (Foto: M. Colín)

PROCESOS REALIZADOS

En esta temporada los procedimientos hechos fueron en función del estado material de cada zona. De tal manera que se describen los procesos por frente de trabajo.

Primer panel Noroeste

Iniciamos con limpieza para la eliminación de raicillas de plantas menores y de los túneles de termitas (Figura 3.13). Mecánicamente se quitaron las galerías de termitas con bisturí y espátula, después con agua-alcohol 1:1 por hisopo rodado para remover algunos residuos que estaban más adheridos y que provocaban manchas negras. En las perforaciones hechas por termitas se inyectó *Kathon LX* al 0.02% a fin de erradicar la plaga desde el núcleo del friso.



Figura 3.13. Primer panel de muro Oeste (misma zona que la Figura 3.4) después de tratamientos. (Foto: M. Colín)

Se cortaron las raicillas al ras de la superficie con tijeras para jardinería y navaja de bisturí, algunas raicillas debajo del estuco se jalaron cuidadosamente con pinzas. Sin embargo, en varias secciones el estuco ya estaba desprendido, con oquedades, por lo que se retiraron los fragmentos para limpiar completamente las raicillas y tierra acumulada entre el estuco y el núcleo de piedra. Dichos fragmentos fueron adheridos nuevamente con pasta de cal y se reforzó la unión resanando con mortero de cal y arena fina en proporción 3:1.

Bloques de inscripciones en banda Noroeste

Se reubicaron los fragmentos de los bloques pH y pI², ya que resultaron dañados durante la excavación del friso, pero fueron resguardados (Figura 3.14). Con base en el análisis de Tokovinine (2013) se realizó una reconstrucción digital para establecer la ubicación correcta de los fragmentos dentro de la configuración de las inscripciones (Figuras 3.16 y 3.17), comprobando que hay coherencia entre el texto y los fragmentos desprendidos. Los segmentos de estuco fueron cuidadosamente colocados en su posición correspondiente, adhiriéndolos con pasta de cal (Figuras 3.18 y 3.19), después reforzando las uniones y bordes con mortero de cal y arena fina 3:1. Los faltantes y bordes se rellenaron con dos capas de mortero grueso y fino respectivamente, en proporción 3:1 (Figura 3.20) y por último, de acuerdo con los criterios definidos para la restauración del friso (Colín 2014), se reintegró el color únicamente en las zonas resanadas mediante puntos de pintura a la cal (Figura 3.21).



Figura 3.14. Detalle de la zona donde se desprendieron los glifos, imagen tomada en 2013. (Foto: A. Tokovinine)



Figura 3.15. Detalle de la misma sección después de estabilización en 2014. (Foto: M. Colín)



Figura 3.16. Fragmentos recuperados, colocados en cama de arena para determinar su posición correcta. (Foto: M. Colín)

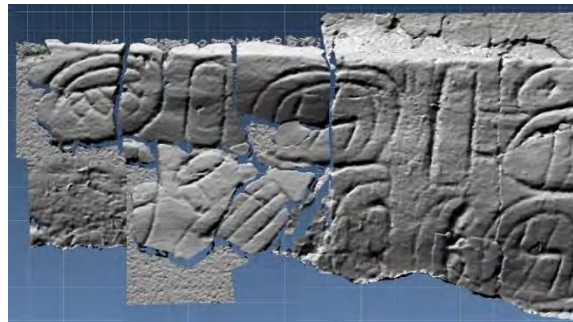


Figura 3.17. Digitalización y reconstrucción de bloques pH y pI. La mitad izquierda son los fragmentos desprendidos y la mitad derecha son las inscripciones que aún se conservan en el friso. (Foto: A. Tokovinine).

² Nomenclatura de bloques de acuerdo con el análisis de inscripciones de A. Tokovinine (2013).



Figura 3.18. Durante pegado de bloques.
(Foto: M. Escalante)



Figura 3.19. Fragmentos de glifos adheridos a la banda de inscripciones.
(Foto: M. Colín)



Figura 3.20. Glifos pegados y con reposición de volumen. (Foto: M. Colín)



Figura 3.21. Bloques después de reintegración de color, proceso final.
(Foto: M. Colín)

Panel central y paneles Suroeste de muro Oeste

Estos paneles que corresponden a la segunda mitad del muro principal, ya habían sido intervenidos en las sesiones previas de conservación, es decir que el estuco fue consolidado, resanado y también se reintegraron secciones de relieve perdido. De tal manera que, el proceso pendiente para concluir la intervención de esta zona era la reintegración cromática. La cual se realizó únicamente sobre los resanes de mortero, aplicando pintura a la cal mediante puntos (Figuras 3.22-3.27).



Figura 3.22. Detalle de panel central resanado. (Foto: M. Colín)



Figura 3.23. Detalle de panel central después de reintegración de color. (Foto: M. Colín)

Muro Sur

Este muro también se encontraba estable, pues se intervino en temporadas anteriores. Sin embargo, la parte superior se encontraba aún cubierta por material de relleno. Por lo tanto, en esta temporada se decidió delimitar el estuco, quitando cuidadosamente la argamasa gris mediante espátulas, bisturí y brochas (Figuras 3.30 y 3.31). Este proceso también permitió observar la estratigrafía de construcción del muro y la colocación del material de relleno, donde a simple vista se identificaron 5 estratos diferentes: el primero son los sillares de caliza, después un repello grueso blanco, seguido por otro de menor grosor y color crema que es el aplanado que se ve en superficie, por último el material de relleno que es primero una argamasa gris con cargas de gravilla y luego otra de doble espesor con cargas más grandes de gravilla, piedrín y piedra (Figura 3.28).

Si bien en algunas secciones del aplanado se habían colocado ribetes de protección como medida emergente, durante esta temporada se consolidaron zonas donde el aplanado se había perdido, dejando expuestos los sillares de piedra (Figuras 3.34 y 3.35). La consolidación se realizó aplicando lechadas de cal directamente en la piedra. Posteriormente se rellenaron las juntas entre sillares con mortero grueso de cal y piedrín en proporción 3:1, luego de mortero fino con arena en la misma proporción (Figura 3.29). Finalmente se aplicó una capa de lechada con arena fina (Figura 3.33). Sobre el material de relleno se encontraron algunos fragmentos de estuco, los cuales posiblemente se desprendieron durante la excavación o entrada de visitantes. Dichos fragmentos fueron adheridos en su lugar correspondiente con pasta de cal (Figura 3.32), luego se resanaron las uniones con mortero de arena fina 3:1 cargas de gravilla y luego otra de doble.



Figura 3.24. Rodilla derecha de personaje central con resanes. (Foto: M. Colín)



Figura 3.25. Rodilla después de reintegración de color. (Foto: M. Colín)



Figura 3.26. Nariz en panel central con resanes. (Foto: M. Colín)



Figura 3.27. Nariz después de reintegración de color. (Foto: M. Colín)

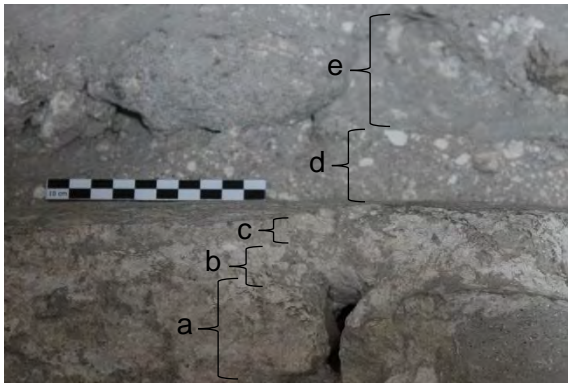


Figura 3.28. Estratigrafía en muro Sur. a) sillares, b) Capa gruesa de estuco blanco, c) capa delgada de estuco crema, d) Relleno con cargas de gravilla, e) Relleno con cargas de gravilla y piedrín. (Foto: M. Colín)



Figura 3.29. Resane de aplanado en muro Sur. (Foto: M. Colín)



Figura 3.30. Borde de muro Sur con material de relleno cubriendo la superficie. (Foto: M. Colín)



Figura 3.31. Borde de muro Sur después de quitar la argamasa gris. (Foto: M. Colín)



Figura 3.32. Colocación de fragmentos desprendidos en muro Sur. (Foto: M. Colín)



Figura 3.33. Aplicación de lechada con arena fina como acabado final en zonas con pérdida de aplanado. (Foto: M. Colín)

Figura 3.34.
Límite Este del
muro Sur solo
con ribetes para
estabilizar. Se
observan los
sillares por
pérdida de
aplanado (Foto:
M. Colín)



Figura 3.35.
Límite Este del
muro Sur después
de tratamientos.
(Foto: M. Colín)



Túnel de acceso

Debido al riesgo que significaba la presencia de los murciélagos dentro del túnel, decidimos desplazarlos del edificio. No obstante, se procuró que esta acción no resultara dañina para la fauna. La estrategia fue ahuyentarlos con humo controlado. Una vez que los murciélagos salieron, al inicio del pasillo se colocó un bastidor de madera con malla metálica similar a una puerta, pero sin bisagras; mientras que en la ventana que da hacia la superficie del edificio se puso la malla sujetada con piedras. La colocación de la malla no permite que los animales reingresen, pero sí permite la ventilación e iluminación hacia el túnel.

CONCLUSIONES

A pesar de que la temporada 2018 fue breve, conseguimos bastantes avances en cuanto a la restauración del muro Oeste y estabilización del muro Sur, un logro muy importante es la recuperación de los bloques de glifos, ya que su restauración facilitará la lectura e interpretación de las inscripciones aledañas.

Será importante continuar con la excavación controlada del muro Norte y al mismo tiempo iniciar la estabilización del estuco, pero antes es necesario habilitar la zona para facilitar el acceso y los procesos de intervención. Específicamente rellenar los pozos de sondeo y nivelar el piso.

Como se ha visto, los factores biológicos son la principal causa de deterioros irreversibles en el estuco del friso. Para las siguientes temporadas de conservación se debe tratar indiscutiblemente la superficie exterior del edificio, mediante un proyecto de conservación arquitectónica que erradique la flora, además de consolidar en su totalidad el túnel del friso para disminuir el desprendimiento del material de relleno.

Es difícil cuidar y controlar las condiciones climáticas, pero se debe considerar que sí se pueden tener algunos alcances con grandes resultados en pro de la conservación del friso.

REFERENCIAS

Colín, Mariana

2014 “Capítulo 2. Segunda Temporada de Conservación del Friso del Edificio A, Grupo II, Holmul”. En *Investigaciones Arqueológicas en la Región de Holmul, Petén: Holmul y Cival. Informe Anual de la Temporada 2015*, editado por Estrada-Belli, Francisco. Págs. 29-38. Informe entregado al Instituto de Antropología e Historia (IDAEH), Guatemala. Guatemala.

Colín, Mariana y José Morales

2014 “Capítulo 8. Conservación del Friso del Edificio A, Grupo II, Holmul. Hol.T.78.32”. En *Investigaciones Arqueológicas en la Región de Holmul, Petén: Holmul y Cival. Informe de la Temporada 2014*, editado por Estrada-Belli, Francisco. Págs. 82-90. Informe entregado al Instituto de Antropología e Historia (IDAEH), Guatemala. Guatemala.

Colín, Mariana y Ma. Fernanda Escalante

2016 “Capítulo 2. Conservación del friso del Edificio A, Grupo II de Holmul”. En *Investigaciones Arqueológicas y Conservación de Arquitectura Monumental en la Región de Holmul. Temporada 2016*, editado por Estrada-Belli, Francisco. Págs. 27-37. Informe entregado al Instituto de Antropología e Historia (IDAEH), Guatemala. Guatemala.

Colín, Mariana y Ma. Fernanda Escalante

2017 “Capítulo 3. Cuarta Temporada de Conservación del Friso del Edificio A, Grupo II, Holmul. Hol.T.78.32”. En *Investigaciones Arqueológicas y Conservación de Arquitectura Monumental en la Región de Holmul. Temporada 2017*, editado por Estrada-Belli, Francisco. Págs. 65-74. Informe entregado al Instituto de Antropología e Historia (IDAEH), Guatemala. Guatemala.

Tokovinine, Alexandre

2013 “Capítulo 9. Documentación y Análisis Preliminar de la Inscripción del Edificio A, Grupo II, Holmul, Guatemala”. En *Investigaciones Arqueológicas en la Región de Holmul, Petén: Holmul y Cival. Informe de la Temporada 2013*, editado por Estrada-Belli, Francisco. Págs. 11-119. Informe entregado al Instituto de Antropología e Historia (IDAEH), Guatemala. Guatemala.

CAPÍTULO 4

EXCAVACIONES Y RESCATE EN EL ÁREA DE LA SUFRICAYA, HOLMUL, PETÉN, GUATEMALA

Alexandre Tokovinine, Julian Adolfo Canan, César Enríquez

La Sufricaya se localiza 1km al suroeste del epicentro de Holmul en el noreste del departamento de Petén. Cuenta con más de 40 grupos residenciales, una pequeña acrópolis, un patio para el juego de pelota y varias estelas grabadas. Las investigaciones realizadas hasta el momento han aportado datos que permiten conocer aspectos importantes de la sociedad maya antigua, como ser la relación e interacción con ciudades vecinas y sociedades foráneas. En el presente informe se dan a conocer los resultados de la segunda temporada enfocada en los grupos periféricos del sitio. El objetivo fue de recuperar materiales culturales y encontrar rasgos arquitectónicos que permiten fechar la temporalidad de ocupación de estos espacios. Esto se realizó en los meses de junio y julio de 2018.

RECONOCIMIENTO Y VERIFICACIÓN DE LOS DATOS DE LIDAR

Las investigaciones de la temporada de 2018 se iniciaron con el reconocimiento del asentamiento aproximadamente dentro de un radio de 300m alrededor de las plazas principales y el conjunto palaciego (Figura 4.1). La primera razón para esta fase de la investigación fue el mapeo del sitio con un sistema de LiDAR aéreo que reveló grupos residenciales no detectados por los reconocimientos anteriores. La segunda razón fue la necesidad de revisar el estado de conservación de los edificios antiguos y confirmar la presencia de las trincheras de saqueo en los grupos ya mapeados y los recién detectados por el LiDAR. El tercer objetivo del reconocimiento fue elegir trincheras de saqueo para una investigación más detallada y sitios para excavar pozos de sondeo.

Se investigaron y confirmaron la ubicación y la configuración arquitectónica de los Grupos 25 a 32 (Figura 4.1). Haber realizado un registro fotográfico y su respectiva ubicación con GPS se procedió a demarcar las unidades a excavar. Siete trincheras de saqueo fueron elegidas para la investigación detallada. También se prepararon sitios para siete pozos de sondeo.

METODOLOGÍA

Los trabajos de investigación en La Sufricaya consistieron en la excavación de pozos de sondeo, así como en la limpieza, documentación, y relleno de trincheras de saqueo en diferentes grupos residenciales. El personal de excavación se dividió en grupos de dos o tres excavadores (Ramiro Polanco, Pablo Murillo, Benjamín Vargas, Miguel Ovalle, Miguel Martínez, Jeovani Murillo y Barry Krane) dirigidos por Alexandre Tokovinine, Julian Adolfo Canan y César Enríquez. Las excavaciones se controlaron por medio de lotes estratigráficos, llenando cada material en una bolsa especial y con la información debida. Los datos (lotes y artefactos) se registraron en una *Tablet Samsung Galaxy* equipada con una base de datos de *DroidDB*.

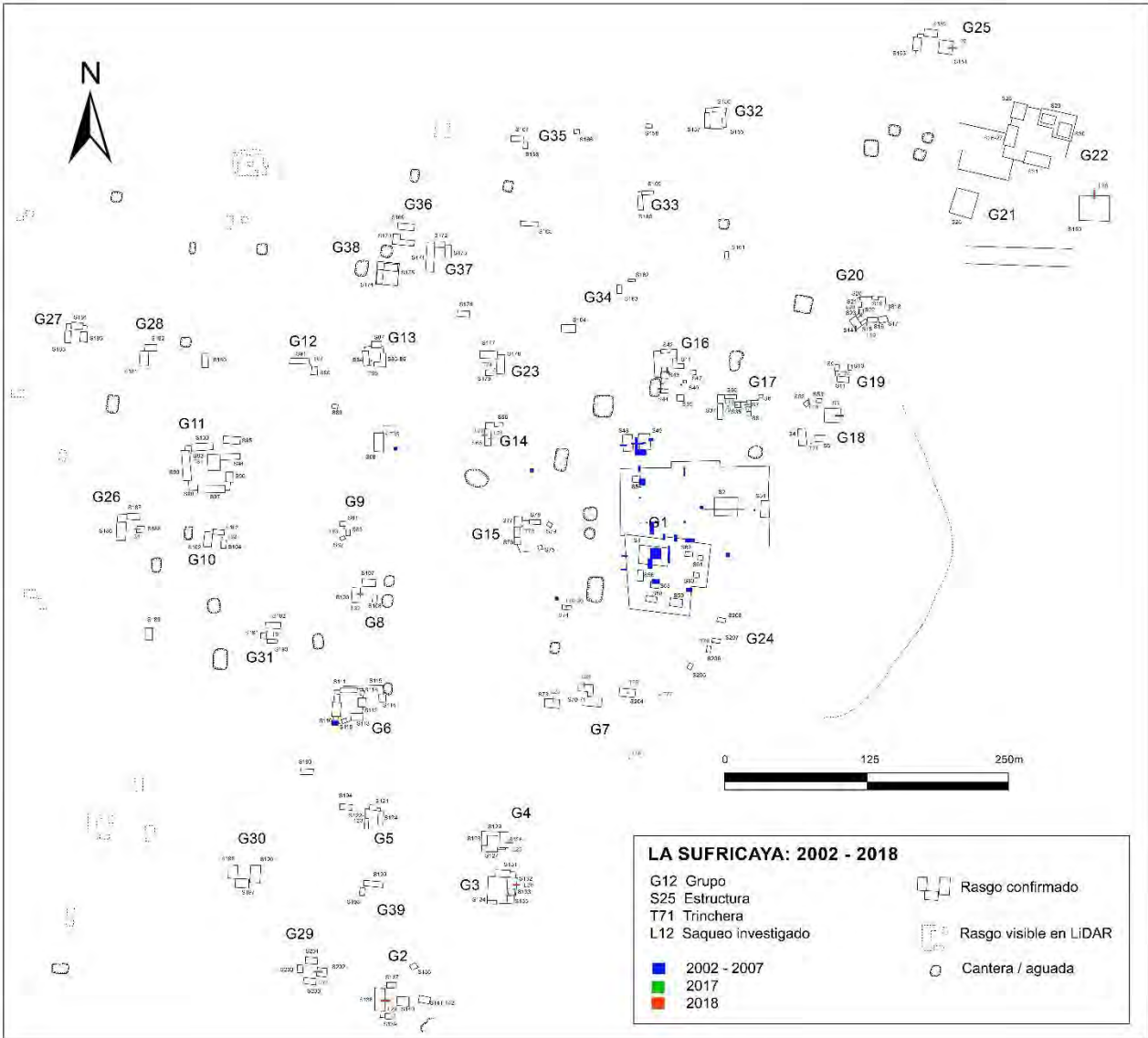


Figura 4.1. Mapa de La Sufricaya indicando las investigaciones en 2017 y 2018.

Cada edificio y cada lote se documentaron con fotogrametría que es una técnica de registro digital en tres dimensiones a base de fotografías individuales alineadas por un programa especial *Agisoft Photoscan Pro*. La digitalización también permite eliminar posteriormente elementos de la vegetación encima de los montículos para mejorar la percepción visual de los elementos arquitectónicos sin afectar el ambiente natural. Los modelos se pueden visualizar en cualquier computadora con el software requerido, permitiendo obtener datos importantes como imágenes y medidas. La tierra extraída de las unidades de excavación fue colada para recuperar los materiales culturales que se encontraban en cada contexto. Al final de la investigación, cada unidad (los sondeos y las trincheras de saqueo) fue rellenada debidamente por el personal encargado de esta excavación.

INVESTIGACIÓN Y RESCATE EN LOS GRUPOS 21 Y 22

Grupos 21 y 22 se encuentran al noreste del Grupo Principal (Figura 4.1). Cuentan con ocho estructuras de las cuales seis (S26-31) aparecen alrededor de un patio sobre una plataforma y dos (S25 y S150) se ubican en una plaza al sur de la plataforma. El reconocimiento inicial del sitio en 2002 y 2003 no detectó la plaza y el edificio S150. Los edificios S25-31 (Grupo 22) comparten la misma orientación que es distinta de la plaza y de la estructura S150 (Grupo 21). Con la excepción del conjunto palaciego, son los grupos más largos del sitio. La estructura S150 es el tercer templo descubierto en La Sufricaya (los otros dos son las Estructuras S2 y S3). Cuenta con un túnel de saqueo en su lado norte. La intervención en este grupo consistió en la limpieza e investigación del dicho túnel denominado SUF.pL.13/SUF.L.26.

El túnel atravesó tres fases constructivas y terminaba en un relleno de calizas medianas y pequeñas, el cual se presentaba inestable por la cantidad de material removido y escombros producidos en el momento del saqueo (<https://skfb.ly/6CCZA>). Como parte de la intervención se contempló la limpieza y remoción de escombros, identificación y registro gráfico de rasgos arquitectónicos, la recolección de muestras cerámicas y líticas.

El trabajo se inició con la limpieza del material acumulado producto del saqueo, tanto de la parte exterior como interior (SUF.pL.13.01), con la intención de recuperar material cerámico diagnóstico para conocer la cronología del edificio. El lote estaba compuesto por material de derrumbe provocado por la actividad de saqueo, abundante material calizo revuelto con piedras medianas del relleno de la estructura, se localizó abundante material cerámico, la trinchera de saqueo evidenció tres fases constructivas en la estructura compuestas por muros de piedra caliza. Los muros de las fases 2 y 3 se distinguían por los rasgos característicos del estilo talud-tablero.

El lado este del muro de la última fase constructiva se encontró en mal estado producto de derrumbe. En la segunda fase constructiva se logró identificar un muro con esquinas arremetidas que conectaba con el muro de la primera fase constructiva, lo que indicaba que el muro en la primera fase constructiva fue reutilizado en la construcción de la segunda fase. El muro de la primera fase fue cortado por los saqueadores que se encontraron con un relleno suelto y que parecía estar inestable, motivo por el cual no se continuó la limpieza de los escombros en esta parte de la trinchera. Al remover los escombros ocasionados por el saqueo, quedó expuesta una superficie de tierra café oscuro muy compacta, sobre la superficie se localizó un fragmento de navaja prismática. Allí también se encontraron fragmentos del incensario que fechan para el Clásico Temprano (Paixban sin engobe, K'ak 3, Figura 4.2a; casi idéntico a los fragmentos de SUF.T.52.03 que corresponde al relleno de una plataforma al oeste del Grupo Principal) y un fragmento del otro tipo local de los incensarios moldeados sin engobe de K'ak 3 (Figura 4.2c).



Figura 4.2. Fragmentos de los incensarios de SUF.pL.13: a) Paixban sin engobe, SUF.pL.13.01, SUF.pL.13.05/06; b) indeterminado, SUF.pL.13.03; c) indeterminado, SUF.pL.13.01

Se tomó la decisión de separar en dos unidades el proceso de limpieza de la trinchera de saqueo, esto para un mejor análisis de los materiales debido a que eran contextos diferentes. El lote SUF.pL.13.07 corresponde al material de derrumbe producto del saqueo ubicado dentro del relleno de la subestructura dos. El otro lote, SUF.pL.13.02, se asignó al derrumbe localizado afuera y dentro de la última fase de construcción.

Haber quitado el lote SUF.pL.13.02, apareció un depósito de nivelación o un piso erosionado asociado con la última fase de construcción del edificio. Se denominó SUF.pL.13.03. Su matriz era de la marga blanca de textura fina y compactada con piedras medianas y algunas grandes. Se encontraron 40 tiestos de cerámica del Clásico Temprano y un fragmento que posiblemente pertenecía a un incensario moldeado o una figurilla (Figura 4.2b). El depósito tuvo la profundidad de 0.56m y se apoyaba en un rasgo de arcilla negra compactada (SUF.pL.13.13) por el lado este, sur y oeste. Fue imposible determinar si se trataba de un corte rellenado o de una elevación de la plaza al norte del templo. Debajo del lote SUF.pL.13.03, apareció un relleno aún más duro de piedrín en una matriz blanca de marga y estuco (SUF.pL.13.04). Tuvo la profundidad de 0.40 m y se ubicaba directamente sobre la roca madre (SUF.pL.13.12). El rasgo adyacente SUF.pL.13.13 también se encontraba encima de la roca madre. Los 19 tiestos cerámicos en el lote SUF.pL.13.04 pertenecían al Clásico Temprano (K'ak 3).

Aunque se localizaron bloques pertenecientes al muro de la tercera subestructura los cuales se encontraban alineados en la parte superior del túnel, el muro solo se observaba en el perfil oeste del saqueo (Figura 4.2), posiblemente porque fue alterado por los distintos derrumbes que se dieron en la estructura. Cuanto al perfil este, se observaban varios bloques tallados con restos de estuco pintado y posiblemente frisos, que probablemente vinieron desde la superestructura colapsada. Se hicieron dos muestreos del depósito para aclarar la cronología del edificio. El lote SUF.pL.13.05 correspondía al área del perfil al norte de la fachada de la última fase de construcción, mientras que el lote SUF.pL.13.06 correspondía al área al sur de la fachada. De ambos lotes salieron fragmentos del mismo incensario tipo Paixban (Figura 4.2a) y otro incensario moldeado (Figura 4.2c) indicando que toda esta sección del perfil correspondía al mismo episodio del derrumbe de la terraza de la última versión del edificio, sobre cual se entraba el incensario.

Para aclarar la relación entre el depósito de la arcilla negra (SUF.pL.13.13) y las primeras dos fases de construcción, se hicieron un pequeño sondeo de 0.5x0.5m en la esquina de la primera y segunda fachadas del edificio (Figura 4.2). La investigación reveló que ambas paredes fueron puestas sobre un depósito de arcilla negra compactada y piedrín (SUF.pL.13.08) que parecía idéntico a SUF.pL.13.13. Sin embargo, a una profundidad de 0.4m apareció un depósito de arcilla gris aún más compactada con menos piedrín que se denominó SUF.pL.13.09. Tuvo el espesor de 0.30 m y se ubicaba encima del relleno de arcilla compactada de color café designado lote SUF.pL.13.10. Se encontraron unos tiestos de cerámica de Clásico Temprano en SUF.pL.13.08, pero nada en los lotes SUF.pL.13.09 y SUF.pL.13.10. Haber quitado el depósito de arcilla café, a una profundidad de 0.30 m apareció la superficie de la roca madre (SUF.pL.13.11).

Se puede concluir que la construcción en el área del túnel de saqueo SUF.pL.13 se inició con un rasgo de arcilla negra compactada (SUF.pL.13.08/13) que fue seguido por al menos tres fases de un edificio asociado con la cerámica de Clásico Temprano y el estilo arquitectónico talud-tablero. La primera fase era aparentemente la más extensa. La segunda fase modificó parte de la fachada. La tercera fase completamente encajó las subestructuras anteriores. La presencia de los incensarios confirma la función del edificio como un templo. Es importante notar que los otros dos templos en La Sufricaya, las Estructuras 1 y 3, son también del Clásico Temprano, pero no demuestran elementos del estilo talud-tablero, al menos en las secciones investigadas de sus fachadas.

INVESTIGACIÓN Y RESCATE EN EL GRUPO 25

Este grupo es uno de los detectados por LiDAR y explorados en 2018. Está compuesto de tres estructuras dispuestas una al norte, una al este y una al oeste (Figura 4.2). El lado sur permanece abierto. La estructura oriental (S151) es de mayor tamaño y posiblemente funcionaba como un templo ancestral del conjunto conformando al patrón de organización espacial conocido como Plaza Plan II de Becker. En el lado este (posterior) de la estructura se encuentra una trinchera de saqueo que fue designada inicialmente como SUF.pL.15 (designación final SUF.L.27).

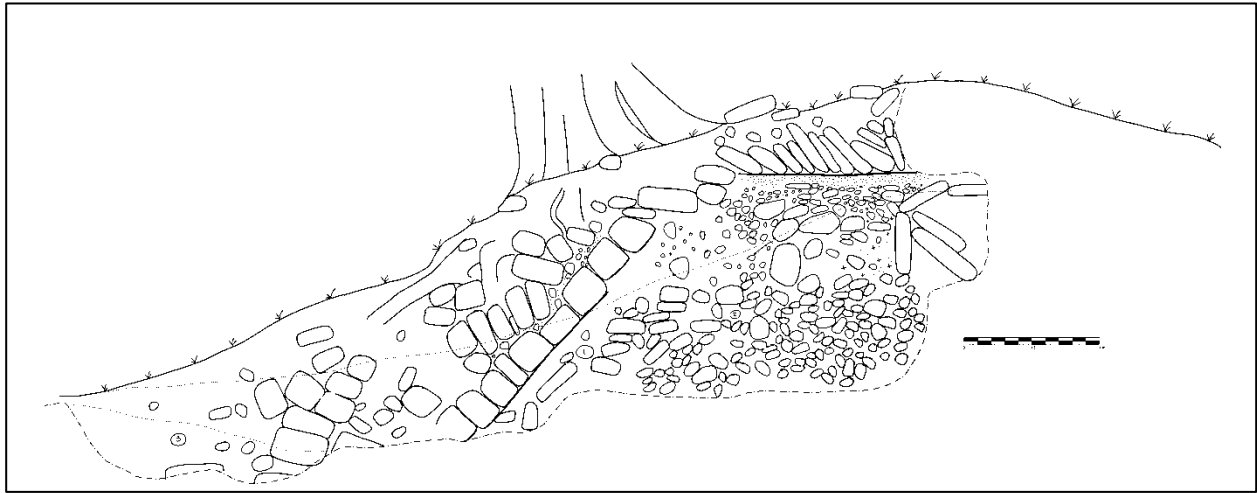


Figura 4.3. Perfil sur del saqueo SUF.pL.15/SUF.L.27.

La investigación en el grupo se enfocó en la limpieza, documentación y relleno de esta trinchera (Figura 4.3) con el objetivo de recuperar materiales culturales y/o identificar rasgos arquitectónicos asociados a la misma. Se inició quitando el derrumbe y el relleno producidos por el saqueo (lote SUF.pL.15.01). Fue un depósito de calizas grandes y medianas en una matriz de tierra floja de color café claro.

La limpieza de esta trinchera permitió identificar el muro este del edificio y dos pisos de estuco en el interior de la misma, aunque el primer piso fue aparentemente cortado y era visible solo en el perfil norte de la trinchera (<https://skfb.ly/6FWwY>). Se recuperaron 390 tiestos cerámicos de Clásico Temprano, 12 fragmentos de pedernal, 70 fragmentos pequeños de hueso incluyendo uno de cráneo humano y dos fragmentos pequeños de navaja prismática de obsidiana. Los restos humanos posiblemente se originaron de una pequeña cámara funeraria al extremo oeste del saqueo directamente debajo del último piso. El área posterior del edificio apareció hundido e inclinado hacia el interior sugiriendo que hubo al menos otro espacio abovedado debajo de los rellenos de los pisos que se colapsó y causó el hundimiento y desplazamiento lateral de la pared. Gracias a la inclinación de la pared derrumbada, se preservó la capa de estuco pintado a su lado oeste. No se investigó este rasgo potencial porque sería fuera de los objetivos de la temporada.

Se tomaron más muestras de los depósitos adentro y afuera de la pared colapsada. En el lote interno, SUF.pL.15.02, se recuperaron 53 tiestos cerámicos y dos fragmentos de pedernal del relleno de pedrín y tierra suelta de color gris claro. En el lote externo, al este de la pared posterior, se encontraron 60 tiestos y dos lascas de pedernal en una matriz de tierra suelta de color café claro y calizas medianas. Toda la cerámica pertenecía al Clásico Temprano (K'ak) aunque faltaban formas diagnosticas para distinguir inmediatamente entre las fases del complejo. La investigación se terminó con la estabilización de la estructura y el relleno del saqueo.

INVESTIGACIÓN Y RESCATE EN EL GRUPO 3

El Grupo 3 se encuentra ubicado al sur del Grupo Principal (Figura 4.1) y corresponde a un grupo de tipo residencial, conformado por cuatro estructuras de carácter habitacional y ceremonial. La intervención se realizó en un montículo de tipo L ubicada al este del grupo. El lado este del montículo está dividido en dos estructuras (SI32 y SI33) y cuenta con tres saqueos en su lado posterior que mira hacia la quebrada que se delimita el extremo sureste de La Sufricaya (<https://skfb.ly/6Czwi>). El saqueo central fue elegido para investigación y estabilización porque era el más pequeño de los tres. Se denominó inicialmente como SUF.pL.17 y la designación final fue SUF.L.28 (Figura 4.4). Como parte de la intervención se contempló la limpieza y remoción de escombros dejados por los saqueadores, identificación y registro gráfico de rasgos arquitectónicos, la recolección de muestras cerámicas y líticas.

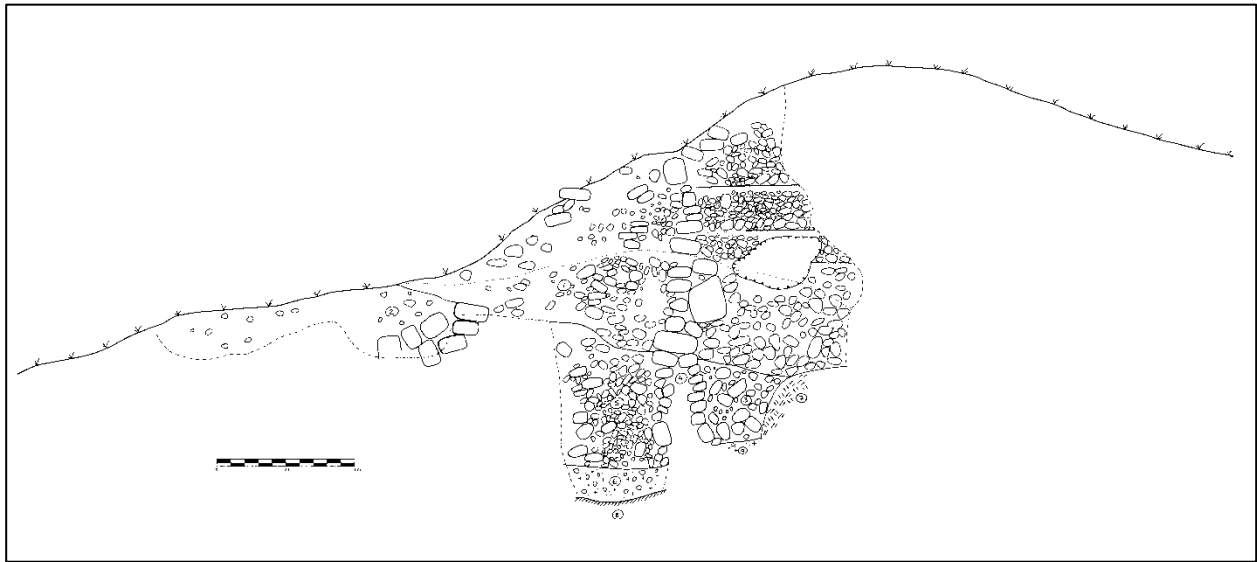


Figura 4.4. Perfil norte de la trinchera de saqueo SUF.pL.17.

La intervención se inició con la limpieza del material acumulado, producto del saqueo, en la parte interior y exterior de la trinchera (lote SUF.pL.17.01) con la finalidad de recolectar material cultural diagnóstico para conocer el rango de temporalidad del edificio. Se observaron al menos tres pisos con los rellenos asociados sin evidencia de la expansión lateral (Figura 4.4). Se localizó parte de la fachada exterior al extremo este del saqueo, aunque la investigación se complicó por la proximidad de la trinchera a un ramón grande, cuyas raíces desplazaron las piedras de la fachada (<https://skfb.ly/6GvEP>). Se recuperaron 212 tiestos de cerámica del Clásico Tardío (Chak 2) y algunos fragmentos óseos humanos indicando que los saqueadores encontraron un entierro aunque fue imposible localizar la cámara funeraria en las partes accesibles de la trinchera.

La limpieza de los escombros ocasionados por el saque se registró con dos lotes diferentes con la intención de separar los escombros sueltos de los compactos. La intención del lote SUF.pL.17.02 fue la de ubicar los rasgos arquitectónicos sobresalientes de la estructura, así como conocer las distintas etapas constructivas. Fue necesario excavar sobre los escombros compactos, con la excavación se logró identificar parte del muro correspondiente a la parte posterior de la estructura, este con señales de derrumbe y mal conservado.

Se realizó una extensión sobre los escombros hacia el este para identificar los rasgos arquitectónicos de la estructura, esta extensión no tuvo resultados positivos, no se rescató ningún dato claro debido a una raíz de grandes dimensiones que obstaculizó el proceso de excavación. Esta raíz destruyó gran parte del muro y del relleno de la estructura. El lote estaba compuesto principalmente por material de derrumbe, tierra café clara y abundantes piedras medianas y pequeñas pertenecientes al relleno de la estructura. Se encontraron 49 tiestos de cerámica de Chak 2.

La investigación del área central del saqueo reveló un posible muro de contención de calizas medianas y argamasa (SUF.pL.17.04), el cual tenía una alineación de piedras con orientación norte-sur. El área al este de esta pared tenía un relleno de calizas pequeñas y medianas en una matriz de tierra gris poco compactada. Una investigación de tal depósito denominado SUF.pL.17.05 reveló que tuvo la profundidad de 1 m y se ubicaba encima de un relleno más duro de piedrín y argamasa de 0.30 m de espesor (SUF.pL.17.06) puesto sobre la roca madre (SUF.pL.17.08). Se recuperaron 246 tiestos de cerámica del Clásico Tardío (Chak 2) del relleno SUF.pL.17.05 y 42 tiestos del SUF.pL.17.06. Estos tiestos también eran de Chak 2, aunque algunos tenían formas más típicas para la fase Chak 1. Se encontró un tiesto con glifos casi idéntico a los encontrados en los lotes HOL.STP.01.03 y HOL.T20E.21 en Holmul (Figura 4.5).

Al otro lado del muro de contención se investigó un depósito de tierra gris fina y suelta con piedrín pequeño y unas calizas medianas denominado SUF.pL.17.03. Se recuperaron solo 19 tiestos de cerámica del lote, todos perteneciendo a la misma fase Chak 2. A una profundidad de 0.60 m apareció un relleno más duro de piedrín y argamasa SUF.pL.17.09 que se miraba idéntico al lote SUF.pL.17.06. Ambos lotes aparentemente se extendían debajo de la pared de contención SUF.pL.17.04. En cuanto al lado oeste de los depósitos SUF.pL.03 y SUF.pL.09, se apoyaban en un rasgo de arcilla negra muy compacta a la que fue asignada un lote distinto, SUF.pL.17.07. No fue posible investigar este lote porque faltaba espacio dentro de la trinchera de saqueo.



Figura 4.5. Tiestos del mismo estilo en Holmul y La Sufricaya: a) SUF.pL.17.06; b) HOL.STP.01.03; c) HOL.T.20E.21 (<https://skfb.ly/6BzWT>)

INVESTIGACIÓN Y RESCATE EN EL GRUPO 2

Este grupo se compone de seis estructuras cerca de la orilla de la quebrada que forma el límite oriental del sitio (Figura 4.1). La Estructura 138 es el más grande del grupo y delimita el lado oeste del patio principal. Cuenta con tres trincheras de saqueo en su fachada principal (<https://skfb.ly/6Cypv>). La investigación y el rescate se concentraron en la trinchera y túnel central denominado SUF.pL.20/SUF.L.29 por la presencia del abundante material cerámico en el área del saqueo.

La operación se inició haciendo un muestreo en el relleno de saqueo y quitando el derrumbe reciente dentro de la trinchera y del túnel (<https://skfb.ly/6CLOp>). Este depósito de la tierra suelta de color café con calizas medianas fue denominado SUF.pL.20.01 (Figura 4.6). Se recuperaron 2,317 tiestos de cerámica, III lascas de pedernal, un percutor de pedernal, un fragmento de punta de pedernal, un fragmento de figurilla cerámica y un nódulo de pedernal.

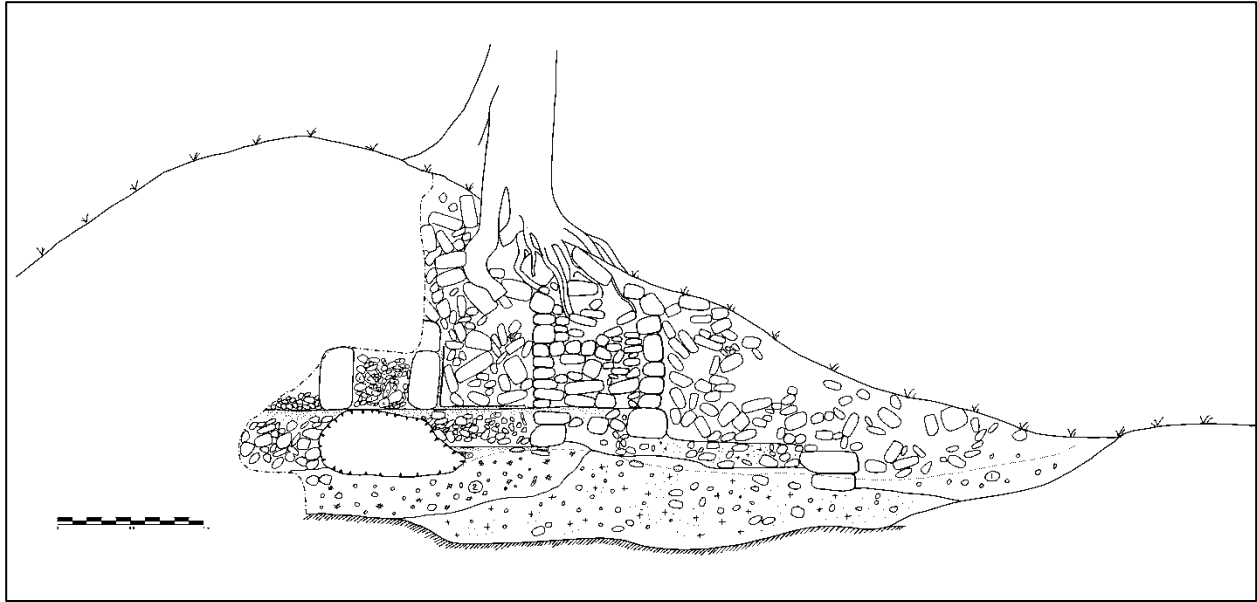


Figura 4.6. Perfil norte de SUF.pL.20/SUF.L.29.

La limpieza del saqueó reveló que se extendía hacia la superficie de la roca madre. En el parte más interno del túnel se observaba un piso asociado con el relleno de tierra fina y ceniza denominado SUF.pL.20.02. Posiblemente fue el piso de un rasgo funerario, pero no se encontraron restos humanos o algunas otras indicaciones que los saqueadores encontraron el entierro. Encima de este piso se observaba solo una fase de construcción de una plataforma con el cuarto abovedado y posteriormente relleno (Figura 4.6).

Un aspecto más interesante del cuarto fue la presencia de una banqueta de mampostería con una caja interna formada por bloques grandes de caliza. Aparentemente no funcionaba como un entierro, pero fue relleno por piedrín y tiestos de cerámica (Figura 4.6, <https://skfb.ly/6Cypv>). Casi todos los 2,317 tiestos de cerámica recuperados del lote SUF.pL.20.01 se originaron de este depósito especial. Se observaban aún más tiestos en los lados norte y sur de la caja cortados por el saqueo. El gran tamaño y buena preservación de los tiestos sugería que se trataba de un depósito primario posiblemente como uno de los rituales dedicatorios asociados con la construcción de la estructura.

La mayor parte de la muestra cerámica consistía de cerámica utilitaria, pero también contó con más de 200 tiestos de vasos y platos policromos (Zacatal Crema Policromo y Saxche/Palmar Naranja Policromo) y al menos un tambor fragmentado con engobe rojo. Casi todos los vasos pertenecían a la fase Chak 2, aunque se observaron algunos tiestos de Chak 1. Se encontraron varios con glifos, seudoglifos e iconografía compleja (Figura 4.7). Casi todos los grafemas leíbles pertenecían a los textos dedicatorios sobre los vasos y platos de Zacatal Crema (Figura 4.7a-e), mientras que los tiestos de Saxche/Palmar se caracterizaban por la presencia de las imitaciones de los textos (Figura 4.7f-j, l).



Figura 4.7. Tiestos con glifos e iconografía de la trinchera SUF.pL.20/SUF.L.29: a-j) SUF.pL.20.01; k) SUF.pL.20.02; l) SUF.pL.20.01.

Uno de los tiestos contenía el inicio (a-AL) y el fin (un glifo emblema) del texto dedicatorio incluyendo el título real del “señor de Yootz” escrito como YOOTZ-tzi-AJAW, *yootz ajaw* (Figura 4.7b). Eso indica que los habitantes del Grupo 2 mantenían contactos con otras familias reales y no solo con los gobernantes de Holmul. El estilo de los glifos corresponde al siglo ocho d.C.

Para aclarar la cronología del edificio se tomó un muestreo del depósito debajo del primer piso SUF.pL.20.02 ya mencionado. Se recuperaron 39 tiestos de cerámica utilitaria y unos policromos finos. Correspondían a los mismos tipos de Chak 2 pero el estilo parecía más temprano. Por ejemplo, apareció un fragmento casi idéntico a la decoración de la vasija HOL.T.93.06.02.02/ reg.17.07.55.101 (Figura 4.7k; <https://skfb.ly/6B6RQ>) y otro parecido a los cuencos HOL.T.98.04.02.01/ reg.17.07.55.107 (<https://skfb.ly/6B6HC>) y HOL.T.98.04.02.02/ reg.17.07.55.108 (<https://skfb.ly/6BoYZ>) de Holmul. El muestreo de la cerámica Chak 2 encima de la plataforma del palacio de La Sufricaya y de las trincheras de saqueo en el Grupo 6 también contienen policromos muy similares. Entonces, se puede concluir que la ocupación del Grupo 2 se inició en la segunda mitad del siglo siete d.C., aunque la mayor parte de la cerámica en el depósito especial es de 700-800 d.C.

La operación se terminó con la estabilización del área de la banqueta con una pared de mampostería y posteriormente el relleno del túnel y de la trinchera de saqueo. Es importante mencionar que el análisis posterior del muestreo de la cerámica de todas las tres trincheras de saqueo recuperado en 2001 reveló que hay más ejemplos de los tiestos tipo Saxche Naranja y Palmar que pertenecen a Chak 1. Entonces, es posible que existan subestructuras tempranas que no eran visibles en el perfil del saqueo central.

INVESTIGACIÓN Y RESCATE EN EL GRUPO 29

El Grupo 29 se ubica al oeste del Grupo 2. Es uno de los grupos nuevamente detectados por el LiDAR (Figura 4.1). En 2018 se confirmó la existencia del grupo y se mapearon cuatro estructuras alrededor de un patio central. La estructura oriental, S202, es una plataforma rectangular de carácter ritual. Se puede clasificar la organización espacial del grupo como el Plaza Plan II de Becker. Los saqueadores hicieron un túnel en el frente de la Estructura S202 que mira hacia el patio (<https://skfb.ly/6CAnA>). El objetivo de la intervención fue investigar y rellenar el saqueo (SUF.pL.22/SUF.L.30).



Figura 4.8. Perfil sur del saqueo SUF.pL.22/SUF.L.30.

La operación se inició quitando el derrumbé causado por el colapso parcial del túnel y tomando un muestreo de la tierra a los lados del saqueo. Se designó como el lote SUF.pL.22.01 (Figura 4.8). Desafortunadamente, no era posible vaciar todo el túnel porque su sección interna era muy inestable. Más allá del área investigada se observaron las lajas de la bóveda de la cámara funeraria que probablemente fue el objetivo de los saqueadores. Aparentemente, el saqueo se extendía hasta la superficie de la roca madre (SUF.pL.22.03).

El lote SUF.pL.22.01 tenía una matriz de tierra suelta de color café con piedrín y calizas medianas. Se recuperaron 602 tiestos de cerámica fina y utilitaria que pertenecía aproximadamente a la misma fase Chak 2 que los materiales del Grupo 2. Sin embargo, los estilos de los policromos Zacatal Crema Policromo y Saxche Naranja Policromo encontrados en el lote SUF.pL.22.01 parecían más tardíos que los de SUF.pL.20.01. Las representaciones figurativas eran más crudas (Figura 4.9i) aunque había un par de ejemplos de pintura más fina (Figura 4.9j, k). Los glifos mostraban rasgos idiosincráticos. Fue bastante difícil distinguir entre los grafemas potencialmente leíbles (Figura 4.9a, d, f, g) y puras imitaciones (Figura 4.9b, c, e, h). El único fragmento de la inscripción con títulos personales posiblemente contenía los logogramas K'AHK' y JOL (Figura 4.9d).



Figura 4.9. a-k. Tiestos cerámicos policromos con seudoglifos e iconografía recuperados del lote SUF.pL.22.01.

La limpieza de los perfiles del túnel reveló que el saqueo cortó las gradas frontales del edificio (Figura 4.8). También apareció un depósito de nivelación designado como el lote SUF.pL.23.02 que tenía una capa de estuco o argamasa compactada con una alta concentración de los tiestos de cerámica debajo de la capa (Figura 4.8; <https://skfb.ly/6CNnT>). Se recuperaron 121 tiestos de los mismos tipos que dentro del lote SUF.pL.23.01. El resto del relleno dentro de la plataforma era de piedrín y calizas medianas en una matriz de tierra gris floja con poco de argamasa. Sería demasiado peligroso ampliar el túnel quitando el resto del derrumbe causado por el saqueo. Por lo tanto, la bóveda del túnel de saqueo fue reforzada con una pared de mampostería y luego todas las secciones del túnel fueron rellenadas.

INVESTIGACIÓN Y RESCATE EN EL GRUPO 26

Este grupo nuevo fue detectado por el LiDAR. Se localiza a unos 50 m al oeste de los Grupos 10 y 11. La investigación se inició con el levantamiento para confirmar la presencia de los rasgos visibles en el modelo del terreno producido por el LiDAR. Se encontraron tres estructuras alrededor de un patio rectangular (Figura 4.1). Las Estructuras S186 (la estructura más grande al oeste del patio) y S187 (norte) eran de carácter residencial mientras que una plataforma casi cuadrada al este del patio denominada S188 posiblemente tenía una función ritual. Los saqueadores hicieron una trinchera en el lado oeste de S188 que miraba hacia el patio del grupo (Figura 4.1; <https://skfb.ly/6GCML>). La investigación se concentró en la documentación y el relleno de esta trinchera de saqueo denominada como SUF.pL.23/SUF.L.31.

El primer contexto explorado, SUF.pL.23.01, correspondía al material depositado por los saqueadores al oeste de la trinchera y al derrumbe que ocurrió después del saqueo (Figura 4.10; <https://skfb.ly/6COLt>). Tenía una matriz de tierra de color café claro y de textura suelta y con piedrín. Se recuperaron 92 tiestos cerámicos, 9 lascas de pedernal, dos fragmentos de punta de pedernal, un fragmento de navaja prismática de obsidiana, dos fragmentos de hueso y tres dientes de animal. Toda la cerámica fue muy erosionada y pertenecía al Clásico Tardío.

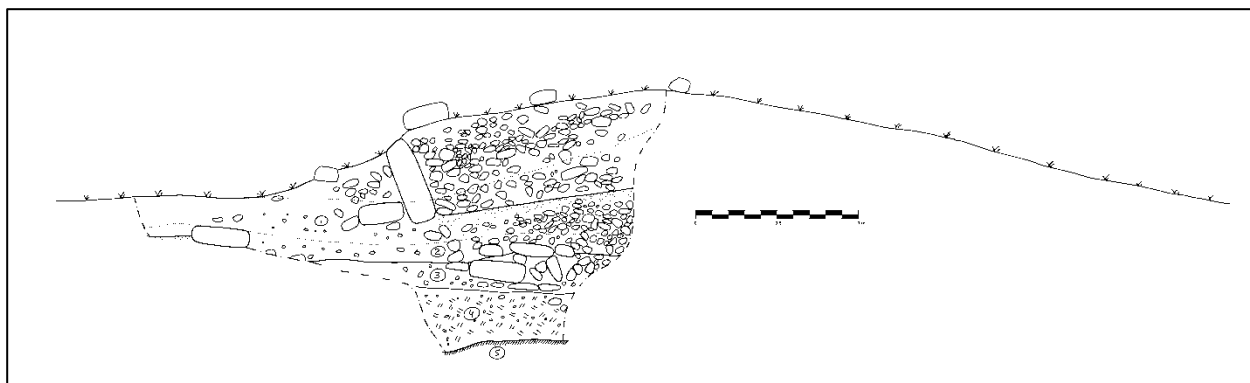


Figura 4.10. Perfil norte del saqueo SUF.pL.23/SUF.L.31.

La limpieza del saqueo reveló un piso cortado en los perfiles norte y sur de la trinchera delimitado por bloques grandes de caliza al oeste y una pared al este (Figura 4.10). El fondo de la trinchera de saqueo cortaba un relleno medio suelto y de color café con pedrín (SUF.pL.23.02) que pudiera corresponder al depósito asociado con el piso, pero también sea producto del saqueo. De este se recuperaron 39 tiestos cerámicos de Clásico Tardío, 13 lascas de pedernal, 15 fragmentos pequeños de hueso, 1 asa reutilizada y 1 fragmento de navaja prismática de obsidiana.

La investigación de este lote problemático reveló que tuvo la profundidad de 0.20 m y estaba encima de un depósito de tierra compactada de color gris oscuro y unas calizas medianas y lascas que posiblemente eran parte de un rasgo funerario que colapsó en la antigüedad, lo que explicaría el ángulo del piso encima (Figura 4.10). De este lote, SUF.pL.23.03, se recuperaron 37 tiestos de cerámica de Clásico Tardío y Clásico Temprano, aunque el mal estado de preservación de los tiestos no permitió la identificación más fina. Es posible que los fragmentos óseos vinieran de este lote. El lote SUF.pL.23.03 tuvo la profundidad de 0.25 m y se localizaba encima de un relleno de arcilla compactada de color negro y un poco de pedrín (SUF.pL.23.04). Se recuperó solo un fragmento grande de un cuenco Tinaja Rojo (Chak 2). El depósito tuvo el espesor de 0.40 m y se encontraba encima de la roca madre (SUF.pL.23.05).

Se puede concluir que la Estructura S188 tuvo solo una fase de construcción posiblemente asociada con un entierro que fue posteriormente perturbado por los saqueadores. Sin embargo, la presencia del depósito de arcilla y los materiales del Clásico Temprano mezclados con la cerámica más tardía sugiere que el grupo podría contener edificios tempranos que todavía no se han identificado.

INVESTIGACIÓN Y RESCATE EN EL GRUPO 8

El Grupo 8 es uno de los grupos previamente mapeados y se ubica 60 m al sur del Grupo 9 y 200 m al oeste del conjunto palaciego de La Sufricaya. Cuenta con tres edificios al oeste, norte, y este del patio rectangular y con dos aguadas o canteras aún más al este (Figura 4.1). El Edificio S106 al lado oeste del patio es el más grande del grupo. Los saqueadores hicieron un túnel en el centro del frente de la estructura (<https://skfb.ly/6CLuM>). Este saqueo, SUF.pL.24/SUF.L.32 fue el objetivo de la investigación y rescate.

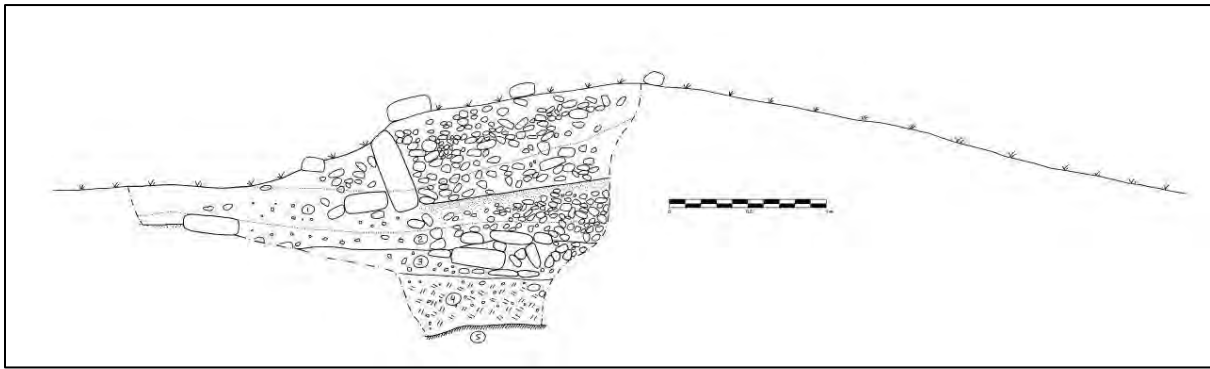


Figura 4.11. Perfil norte del saqueo SUF.pL.24/SUF.L.32.

La intervención se inició con la examinación de los depósitos al este del túnel producidos por los saqueadores y con la limpieza del área afectada del túnel. Estos materiales fueron designados como el lote SUF.pL.24.01. Su espesor variaba de 0.10 m al oeste a 0.50 m en el centro del túnel (Figura 4.11). La matriz era de tierra suelta de color café claro con calizas medianas y piedrín. Se recuperaron 430 tiestos cerámicos, de los cuales varios pertenecían a un cuenco completo de Tinaja Rojo que fue probablemente descartado por los saqueadores (SUF.pL.24.01.02.01, Figura 4.12a). La cerámica pertenecía a la fase Chak 2 (Figura 12c-e) con algunos tipos más característicos para la fase siguiente de Chak 3 incluyendo una variedad rara de vasos incisos pintados de negro y rojo sobre crema que aparecen en el muestreo de la trinchera de saqueo HOL.L.01 en el palacio real del Grupo III de Holmul (Figura 4.12b). También se encontraron 17 lascas de pedernal, 4 fragmentos de puntas de pedernal, 5 fragmentos de hachas de pedernal, un raspador de amate, un fragmento de piedra de moler y restos óseos de una persona, entre estos huesos de extremidades, partes de cráneo y dientes.

La limpieza del derrumbe en el extremo oeste del túnel reveló un corte en la roca madre con más restos humanos que probablemente pertenecían al mismo individuo que se recuperaron en los escombros producidos por el saqueo (Figura 4.11, <https://skfb.ly/6CP8G>). Aunque el saqueo confundió la estratigrafía del edificio, la explicación más probable del perfil sería que el entierro cortó una subestructura anterior que se manifestaba como un relleno y dos pisos sucesivos que eran delimitados al lado este por la grada de solo una fila de los bloques de caliza (Figura 4.11). Se observaba un piso aún más tardío en el lado oeste y noroeste del saqueo, pero las acciones de los saqueadores eliminaron el área de la fachada del rasgo asociado con este piso. Finalmente, se observaba la última fase de la construcción que consistía de una plataforma con una grada en el frente, una pared y un cuarto relleno.

Para examinar el área al este de la fachada de la plataforma del edificio, se profundizó el extremo este de la trinchera de saqueo. El depósito de tierra suelta de color café y calizas pequeñas y medianas fue inicialmente designado como el lote SUF.pL.24.02. Sin embargo, todavía correspondía a los materiales perturbados por los saqueadores. Por lo tanto, se juntaron los materiales cerámicos y líticos de este lote con SUF.pL.24.01. Adentró de la zona de la plataforma cortada por el saqueo, se concentraron sobre el relleno de color gris más compactado que inicialmente se designó como el lote SUF.pL.24.03 y luego como SUF.pL.24.02. Este lote se extendía hacia este desde la grada de la subestructura y tuvo el espesor de 0.10-0.15. Se recuperaron 105 tiestos de cerámica incluyendo al menos un fragmento del mismo vaso que apareció en SUF.pL.24.01. Entonces, es probable que el lote SUF.pL.24.03/02 todavía correspondiera a la perturbación causada por el saqueo.



Figura 4.12. Materiales cerámicos del lote SUF.pL.24.01: a) SUF.pL.24.01.02.01; b-e) tiosos policromos de SUF.pL.24.01.

La eliminación del depósito SUF.pL.24.03/02 reveló la superficie de un piso dañado por los saqueadores que correspondía al fondo del túnel de saqueo. Este piso y el relleno asociado con el fueron designados como el lote SUF.pL.24.04 (Figura 4.11). Se recuperaron 114 tiosos de cerámica del Clásico Tardío (Chak 2) y 10 lascas de pedernal. El piso se apoyaba en la grada de la subestructura (Figura 4.11, <https://skfb.ly/6CP8G>). El lote tenía el espesor de 0.20 m y se localizaba encima del relleno de tierra arcillosa de color gris oscuro de textura compacta, a partir de la piedra de la primera grada hacia el interior de la estructura. Se recuperaron 27 tiosos cerámicos y una lasca de pedernal de este lote designado como SUF.pL.24.05. Su espesor era 0.25 m.

El sondeo en el depósito reveló un estrato de arcilla y piedrín, SUF.pL.24.06, de lo cual se recuperaron solo dos tiosos de cerámica. Tenía el espesor de 0.15 m y se encontraba sobre un depósito estéril de tierra arcillosa de color gris y calizas pequeñas. El espesor de este lote denominado SUF.pL.24.07 era solo 0.10 m y se localizaba directamente sobre la roca madre (SUF.pL.24.08). Después de la documentación del último lote, la operación se terminó estabilizando la sección más vulnerable del túnel con una pared de mampostería y relleno el resto del saqueo. Se puede concluir que la ocupación del edificio se inició durante el Clásico Tardío, aunque la segunda y más grande versión de la estructura fue construida durante el Clásico Terminal. La presencia de la misma cerámica que en el palacio del Grupo III en Holmul y de los instrumentos para la producción del papel de amate indica que el ocupante del entierro afectado por los saqueadores tenía una posición importante en la corte real del sitio.

INVESTIGACIONES EN EL GRUPO II (POZO DE SONDEO SUF.T.81)

El Grupo II se encuentra ubicado 300 m al oeste del conjunto palaciego de La Sufricaya y corresponde a un grupo de tipo residencial, conformado por seis estructuras de carácter habitacional y ceremonial (Figura 4.1). No se encontraron trincheras de saqueo, aunque es probable que existiera algún intento de saqueo en las Estructuras S93-94 y S95 por la presencia de material alterado. Al norte en la esquina de la estructura S100 se localizó un chultun de dos cámaras y de tamaño considerable (<https://skfb.ly/6CYoW>). Fuera del chultun, se localizó material cerámico del tipo Tinaja Rojo, probablemente producto del saqueo.

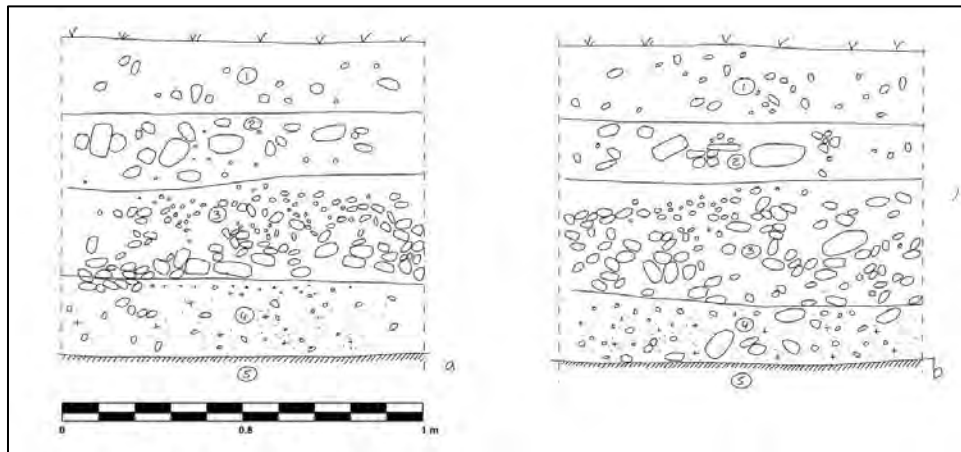


Figura 4.13. Perfil oeste (a) y norte (b) del sondeo SUF.T81.

Se realizó un pozo de sondeo de 1x1m en la esquina del patio formada por las estructuras S99 y S100 (<https://skfb.ly/6CLw6>) para recuperar material cultural con el objetivo de conocer la temporalidad del grupo residencial e identificar elementos arquitectónicos asociados al grupo. La operación se inició con la limpieza de material orgánico acumulado en la superficie. Posteriormente se excavó el humus compuesto por tierra orgánica de color café claro, con un espesor de 0.20 m y abundantes raíces denominado SUF.T.81.01 (Figura 4.13). Se recuperaron 81 tiestos de cerámica muy erosionada y un fragmento de proyectil de pedernal. Luego se continuó sobre un relleno de piedrín, SUF.T.81.02, de 0.30 m de espesor, que probablemente formaba parte del piso de la plaza posteriormente arruinado por las raíces de árboles.

El relleno estaba compuesto por una gruesa capa de piedra mediana y pequeña revuelto con tierra de color gris claro. Se recuperaron 108 tiestos de cerámica bastante erosionada que pertenecía a Chak 2. El siguiente estrato denominado SUF.T.81.03 (Figura 4.13) estaba compuesto por piedras medianas y pequeñas revueltas con tierra de color gris oscuro, en un momento se creyó que formaba parte del estrato anterior, pero en la superficie se localizaron fragmentos de material de construcción, que probablemente pertenecieron a un segundo piso de plaza, pero no fue posible definir si en realidad existió un piso en este lote. Se encontraron 183 tiestos de cerámica del Clásico Tardío. El lote tenía el espesor de 0.40 m. El penúltimo lote, SUF.T.81.04, tenía el espesor de 0.30 m y se distinguía por una matriz de tierra y marga muy compactada con piedrín y calizas pequeñas. Los 49 tiestos encontrados en el depósito pertenecían al Clásico Tardío. Finalmente, la excavación llegó a la superficie nivelada de la roca madre (SUFT.81.05).

Aunque faltaban tiestos en buen estado de preservación, los materiales fechables indican que el grupo fue ocupado durante el Clásico Tardío. El área del sondeo tuvo al menos episodio de nivelación (SUFT.81.04) y dos pisos (SUFT.81.03 y SUFT.81.02) aunque no se puede concluir si tenían una capa de estuco formal. La superficie de la roca madre parece nivelada y podría funcionar como el piso de la fase más temprana del grupo.

INVESTIGACIONES EN EL GRUPO 10 (POZO DE SONDEO SUF.T.82)

El Grupo 10 se localiza 30 m directamente al sur del Grupo 11 y cuenta con tres estructuras al oeste, norte y este del patio central (Figura 4.1). El lado sur del patio permanece abierto. La altura del montículo de la Estructura S102 al oeste del grupo indica que era un edificio abovedado, mientras que S103 y S104 son plataformas bajas con poca evidencia de superestructuras de mampostería. No hay evidencia de saqueo en el grupo.

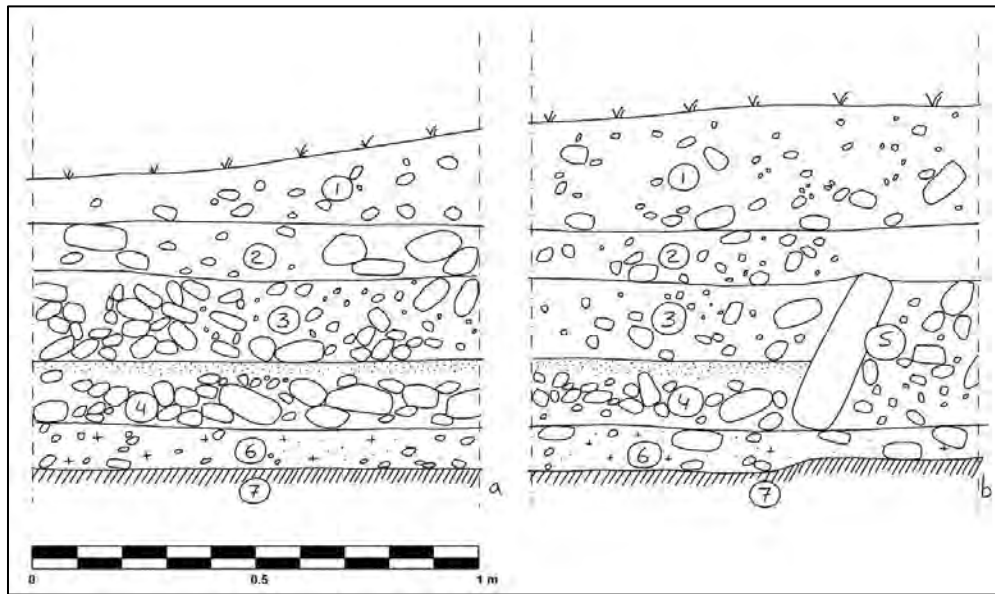


Figura 4.14. Perfil oeste (a) y norte (b) del sondeo SUF.T82.

El sondeo SUF.T.82 de 1 x 1 m fue ubicado en la esquina noreste del patio dentro de un pasillo entre los montículos S103 y S104 (<https://skfb.ly/6CInW>). El objetivo de la operación fue determinar la temporalidad de la ocupación del grupo y localizar depósitos de terminación en la esquina del patio. El primer estrato de la excavación, SUF.T.82.01 (Figura 4.14), tuvo una profundidad variable de 0.10 m a 0.30 m. Estaba compuesto de tierra suelta color café oscuro con algunas calizas medianas y pequeñas. De este primer contexto se recuperaron 18 tiestos de cerámica y una lasca de pedernal. El siguiente lote, SUF.T.82.02 de 0.10 m de profundidad, tenía la matriz de tierra color gris oscuro mezclada con pedrín y calizas pequeñas y medianas. Se encontraron 98 tiestos de cerámica muy erosionados y cinco lascas de pedernal.

La excavación del lote SUF.T.82.02 reveló un rasgo de lajas de caliza que se extendía del norte al sur y se miraba al oeste (Figura 4.14; <https://skfb.ly/6CRDI>). La orientación del rasgo y su proximidad al montículo S104 indicaban que se trataba de una grada de la estructura. Por lo tanto, el rasgo y el relleno asociado fueron designados como SUF.T.85.05. Un sondeo adentro del rasgo recuperó 45 tiestos de cerámica de Clásico Tardío-Terminal.

En cuanto al área fuera de la grada, se encontró un depósito de tierra gris y calizas medianas con 140 tiestos de cerámica, 11 lascas, un fragmento grande y un percutor de pedernal (SUF.T.82.03). Posiblemente se trataba de un basurero o un depósito de terminación cubierto por el derrumbe, aunque no se observaba ninguna estratificación de los tiestos. La cerámica pertenecía al Clásico Tardío-Terminal (Chak 2-3). Este depósito de 0.30 m de espesor se encontraba de un piso de estuco denominado SUF.T.84.04. Se preservó la capa de estuco que se apoyaba en las lajas de la grada (Figura 4.14). El sondeo del piso recuperó 12 tiestos sin elementos diagnósticos.

El espesor acumulado de la capa de estuco y el relleno asociado fue 0.15 m. Más abajo, apareció un relleno de nivelación que también se extendía debajo de la grada SUF.T.84.05. Se encontraron 45 tiestos de cerámica de Clásico Tardío de este lote denominado SUF.T.84.06. Su excavación reveló la superficie nivelada de la roca madre a una profundidad de 0.15 m.

Se puede concluir que la excavación indica un solo episodio de construcción de la Estructura S104 asociado con un piso de estuco en el patio. La cerámica sugiere que el grupo fue ocupado hacia el final del Clásico Tardío. Sin embargo, la nivelación de la roca madre implica unos episodios de construcción aún más tempranos que no dejaron rasgos visibles en el área del sondeo.

INVESTIGACIONES EN EL GRUPO 9 (POZO DE SONDEO SUF.T.83)

El Grupo 9 se ubica a 100 m al este de los Grupos 10 y 11 y cuenta con 3 estructuras dispuestas alrededor de un patio central (Figura 4.1). El tamaño pequeño y la baja altura de los montículos indican que pertenecían a los residentes de no-élites de La Sufricaya. Los montículos no se registraron bien con el LiDAR y el grupo fue identificado por la presencia de dos chultunes muy cercanos al sur de las estructuras.

El sondeo SUF.T.83 de 1 x 1 m se localizó en la esquina formada por las Estructuras S81 y S83 con el objetivo de aclarar la cronología de la ocupación del grupo (<https://skfb.ly/6CLvo>). La operación se inició retirando la capa de la tierra suelta de color café oscuro y calizas medianas y pequeñas (Figura 4.15). De este lote, denominado SUF.T.83.01, se recuperaron solo tres tiestos cerámicos muy erosionados y cuatro lascas de pedernal. A una profundidad de 0.30 m apareció un depósito de tierra gris y piedrín que se designó como SUF.T.83.02 (Figura 4.15). Tuvo el espesor de 0.10 m y contenía 12 tiestos cerámicos erosionados y una lasca de pedernal.

Quitando este depósito se reveló un rasgo de bloques irregulares de caliza, SUF.T.83.04, que probablemente constituía la fachada este de la plataforma de la Estructura S81 (Figura 4.15; <https://skfb.ly/6CSNE>). Se investigaron los contextos a ambos lados del rasgo. El relleno interior, SUF.T.83.05 de tierra gris y calizas medianas, contenía solo cinco tiestos sin atributos diagnósticos. El depósito afuera de la plataforma, SUF.T.83.03, correspondía a una nivelación o piso de tierra suelta y piedrín. Tuvo el espesor de 0.40 m. Se recuperaron ocho lascas de pedernal y 83 tiestos de cerámica, pero no fue posible fecharlos por su deterioro. La plataforma (SUF.T.83.04 y SUF.T.83.05) y el piso/relleno (SUF.T.83.03) se ubicaron encima de la superficie irregular de la roca madre (SUF.T.83.06).

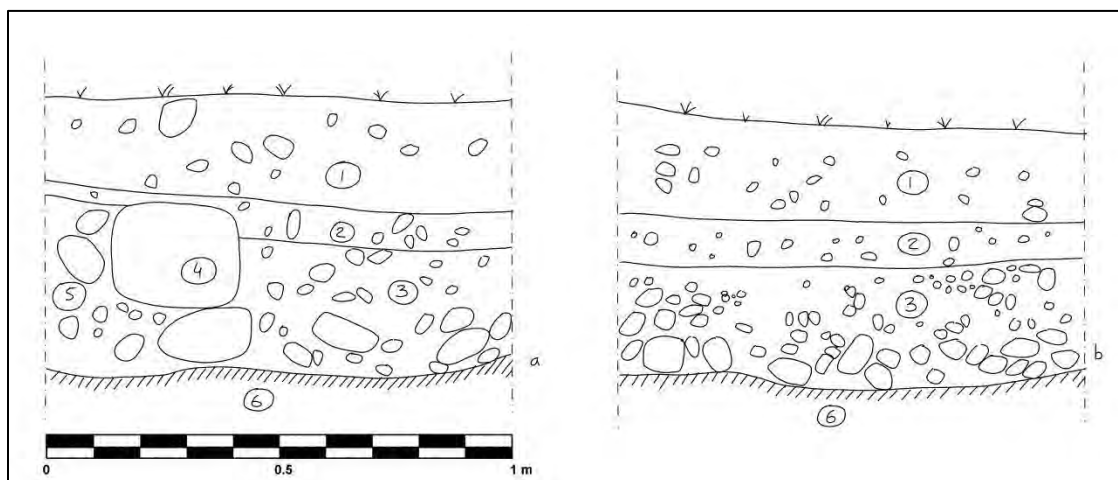


Figura 4.15. Perfil norte (a) y este (b) del sondeo SUF.T83.

INVESTIGACIONES EN EL GRUPO 31 (POZO DE SONDEO SUF.T.84)

El Grupo 31 se encuentra a 80m al sureste del Grupo 10 y a 70m al oeste de los grupos 6 y 8 (Figura 4.1). Es uno de los grupos nuevos detectados por el LiDAR. El reconocimiento físico en 2018 confirmó la presencia de tres estructuras alrededor de un patio abierto al lado este. Las Estructuras S190 y S191 son montículos bajos, pero el Edificio S192 al norte del patio es una plataforma alta con una superestructura abovedada. Parte de la pared posterior se colapsó revelando los cuartos rellenos y las paredes internas. No hay evidencia de saqueo en el grupo.

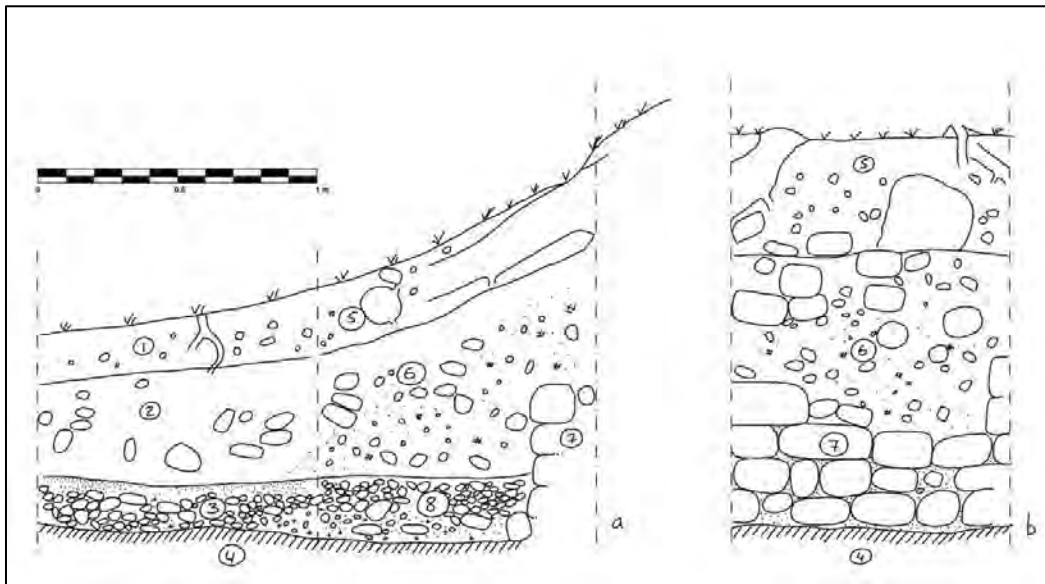


Figura 4.16. Perfil oeste (a) y norte (b) del sondeo SUF.T.84.

La esquina noroeste del patio entre las Estructuras S191 y S192 fue elegido para un sondeo (1 x 1 m, luego extendido hasta 2 x 1 m) para aclarar la cronología de la ocupación del grupo (<https://skfb.ly/6CLB8>). Después de una limpieza en la parte central del grupo se procedió a excavar, removiendo principalmente el humus, el cual estaba compuesto por tierra café oscura, con abundantes residuos orgánicos (hojas, raíces, etc.), la tierra suelta y de textura media, sin presencia de piedrín, se localizaron únicamente dos tiestos muy erosionados, de los cuales no se pueden reconocer características diagnósticas. Luego de remover el humus, se localizó la superficie de un relleno compuesto por tierra gris oscura, con abundante piedrín, producto de derrumbe.

Fue designado como el lote SUF.T.84.02 (Figura 4.16). El relleno era de aspecto suelto, se localizó muy poco material cultural, los 174 fragmentos cerámicos rescatados se encontraban muy erosionados. Al remover el material de derrumbe en su totalidad se localizó lo que parecía ser la superficie de un piso muy erosionado que fue tratado como un lote distinto, SUF.T.84.03. El relleno del piso contenía piedrín y calizas medianas en una matriz de tierra gris y marga. Tuvo el espesor de 0.20 m y se localizaba directamente sobre la roca madre, SUF.T.84.04. Se recuperaron solo 13 tiestos muy erosionados sobre el piso.

Ya que no se encontraron materiales diagnósticos en el sondeo, se realizó una extensión de 1 x 1 m de la trinchera al norte. Se continuó la nomenclatura del pozo anterior, pero los depósitos encontrados en la extensión fueron tratados como lotes distintos. Primero se removió la capa del humus designada SUF.T.84.05. No se encontraron materiales fechables. Al retirar el humus, apareció un depósito de derrumbe denominado SUF.T.84.06 de 0.50 m a 0.90 m de espesor.

Estaba compuesto de piedras grandes y medianas revueltas con tierra gris clara a oscura. Se recuperaron 106 tiestos de cerámica del Clásico Tardío (Chak 2). Luego de excavar el material de derrumbe, se localizó un rasgo arquitectónico de bloques regulares de caliza, que correspondía al muro frontal de la plataforma de la Estructura S192 (Figura 4.16; <https://skfb.ly/6CSNM>). Con el descubrimiento del muro se logró constatar que la superficie del relleno designada como SUF.T.84.08 correspondía al piso de la plaza.

Además, se localizaron fragmentos de lo que pudo ser una capa de estuco, al igual que el lote SUF.T.84.03 (Figura 4.16). Este estrato se componía de tierra gris oscura muy fina, con abundante piedrín y piedra caliza compacta, el estado de conservación del piso era muy malo, debido al alto grado de erosión que presentaba. Se encontraron 28 tiestos cerámicos del Clásico Tardío (Chak 2). El piso y la fachada de la Estructura S192 se encontraban encima de la roca madre (SUF.T.84.04). Se puede concluir que el área del sondeo tuvo solo un episodio de construcción. Los materiales encontrados en el piso SUF.T.84.03/08 y recuperados del derrumbe SUF.T.84.06 producidos por el colapso parcial de la estructura S192 indican que el grupo fue ocupado durante el Clásico Tardío (Chak 2)

INVESTIGACIONES EN EL GRUPO 9 NORTE (POZO DE SONDEO SUF.T.85)

El área norte del Grupo 9 está formada por una plataforma distinta orientada hacia el oriente. Su lado oeste se delimita por el montículo de la Estructura S68 (Figura 4.1). Su esquina noreste fue elegida para un pozo de sondeo SUF.T.85 con el objetivo de establecer la cronología de la plataforma (<https://skfb.ly/6CLxx>).

La investigación se inició quitando la capa de la tierra suelta de color café oscuro de 0.20 m a 0.40 m de espesor (lote SUF.T.85.01). El depósito contenía calizas medianas y pequeñas. Se recuperaron 5 lascas de pedernal y 10 tiestos muy erosionados. El siguiente lote, SUF.T.85.02, de solo 0.20 m de profundidad, tenía una matriz de tierra suelta de color gris oscuro con piedrín y algunas calizas medianas. Se encontraron cuatro tiestos erosionados y una lasca de pedernal. La excavación del lote reveló un relleno más nivelado que posiblemente correspondía a un piso muy erosionado ya sin su capa de estuco. Se designó como el lote SUF.T.85.03. Tenía un espesor de 0.40 m, la matriz de tierra gris compactada y marga con piedrín.

Se recuperaron 103 tiestos de la cerámica del periodo Protoclásico y Clásico Temprano inicial (Wayab y K'ak 1). Este piso y su relleno estaban puestos encima de un piso aún más temprano de 0.20 m de espesor con la matriz de tierra gris clara y marga con calizas pequeñas (SUF.T.85.04). Se encontraron 10 tiestos de Preclásico Tardío (Itzamkanak) y tres lascas de pedernal. Al notar el cambio del relleno, el lote siguiente fue designado como SUF.T.85.05. Se distinguía por el porcentaje más alto de calizas grandes y medianas. Su profundidad se varía ente 0.20 m y 0.40 m (<https://skfb.ly/6CTuN>). Se recuperaron cuatro lascas de pedernal. Los 25 tiestos encontrados en el lote también pertenecían al Preclásico Tardío. El siguiente lote de tierra con marga muy compactada y calizas grandes y piedrín fue designado como SUF.T.85.06.

Desafortunadamente, la examinación posterior de los perfiles del sondeo reveló que los excavadores no notaron el cambio de la matriz y cortaron la capa muy erosionada del piso designado SUF.T.85.08 (<https://skfb.ly/6CTuN>). Por lo tanto, los materiales asociados con SUF.T.85.06 y SUF.T.85.08 se mezclaron. Se recuperaron 63 tiestos de los dos depósitos que pertenecían al Preclásico Tardío (Itzamkanak). El relleno del piso SUF.T.85.08 tenía una profundidad de 0.20 m en el lado sur del sondeo y 0.50 m en el lado norte por la inclinación natural de la roca madre (SUF.T.85.07).

En resumen, el sondeo SUF.T.85 reveló que la plataforma de la Estructura S68 fue construida y modificada durante el Preclásico Tardío y recibió una modificación más durante el Protoclásico. Es la primera construcción conocida en La Sufricaya que es anterior al palacio real y a los edificios públicos y residenciales asociados.

INVESTIGACIONES EN EL GRUPO 13 (POZO DE SONDEO SUF.T.86)

El Grupo 13 se encuentra localizado al noroeste del Grupo 1 de La Sufricaya (Figura 4.1). Corresponde a un grupo residencial conformado por cuatro estructuras. Un atributo distinto de su organización espacial es que los edificios bloquean completamente el acceso al patio interior que cuenta con un chultun en su centro.

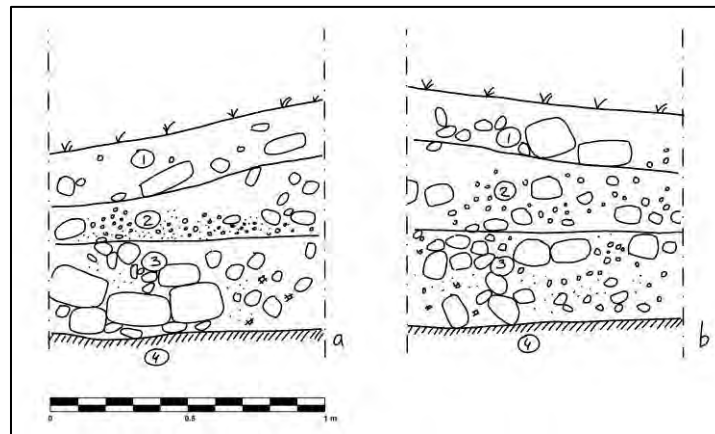


Figura 4.17. Perfil sur (a) y oeste (b) del sondeo SUF.T.86.

Se realizó un pozo de sondeo SUF.T.86 de 1 x 1 m en la esquina suroeste del patio formada por los montículos de las Estructuras S85 y S84, esta última es la estructura más grande del grupo (<https://skfb.ly/6CLzW>). Luego de limpiar el área de excavación se procedió a remover el humus, el cual se componía de tierra café oscura con abundante material orgánico, dentro del humus se localizaron pocos fragmentos cerámicos muy erosionados. Este lote, SUF.T.86.01, tenía el espesor de 0.30 m y se encontraba encima de un depósito de tierra gris clara con presencia de calizas pequeñas y piedrín que fue documentado como el lote SUF.T.86.02. Se recuperaron III tientos cerámicos de Clásico Tardío. La erosión de los materiales no permitió una cronología más precisa. El siguiente lote, SUF.T.86.03, se distinguía por la presencia de las calizas medianas y una matriz más compactada con ceniza (Figura 4.17). Se encontraron 147 tientos de cerámica de Clásico Tardío. El espesor de este relleno o piso fue de 0.40m. Su excavación reveló la superficie nivelada de la roca madre, SUF.T.86.04.

Se puede concluir que, aparte del uso de la roca madre modificada, el sondeo reveló solo una o dos modificaciones del patio. Aunque faltaban tientos diagnósticos bien preservados, la ocupación del grupo posiblemente ocurrió hacia el final del periodo Clásico.

INVESTIGACIONES EN EL GRUPO 12 (POZO DE SONDEO SUF.T.87)

Este grupo está conformado por dos estructuras, la más grande S91 al norte y la más pequeña S90 al este (Figura 4.1). El objetivo del sondeo de 1 x 1 m SUF.T.87 localizado en la esquina noreste del patio formado por las estructuras mencionadas (<https://skfb.ly/6CInP>) fue encontrar materiales culturales para establecer la cronología de la ocupación del grupo.

El primer lote de la excavación fue un depósito de tierra orgánica y suelta de color café oscuro con calizas pequeñas y medianas. Se recuperaron 8 lascas de pedernal y 86 tiestos cerámicos de Clásico Terminal (Chak 3) de este contexto designado SUF.T.87.01. A una profundidad de 0.30-0.50 m, se cambió el lote a SUF.T.87.02 porque la matriz era de color café claro con piedrín y marga. Se documentaron dos bloques irregulares de caliza en el centro del sondeo, pero no formaban un rasgo distinto (<https://skfb.ly/6CTuQ>). Se recuperaron 37 tiestos de la cerámica de Clásico Terminal (Chak 3). El lote SUF.T.87.02 tenía el espesor de 0.15 m y se encontraba encima de un piso con una capa de estuco color crema bien preservada, SUF.T.87.03. Estaba asociado al relleno de tierra compactada de color gris, piedrín y algunas calizas pequeñas y medianas. El lote contenía un fragmento de hacha de pedernal, un fragmento de navaja prismática de obsidiana, 18 lascas de pedernal y 130 tiestos de cerámica de Clásico Terminal (Chak 3). El piso y su relleno se encontraban sobre la superficie irregular de la roca madre, SUF.T.87.04 (<https://skfb.ly/6CTuQ>).

En resumen, se confirmó solo un episodio de construcción en el área del sondeo seguido por la deposición de la basura y el derrumbe. Todos los materiales fechables indican que la construcción y la ocupación del grupo ocurrieron durante el Clásico Terminal.

CONSIDERACIONES FINALES

Las investigaciones de los grupos residenciales en La Sufricaya 2018 proporcionaron información importante acerca del desarrollo urbano del sitio. Se localizó un nuevo templo de Clásico Temprano y el primer grupo residencial ocupado únicamente durante el mismo periodo. Las investigaciones también identificaron más grupos del Clásico Tardío y Terminal. Los materiales cerámicos recuperados durante la temporada aumentaron considerablemente el tamaño del muestreo de los vasos policromos para un análisis más fino de la evolución de los estilos artísticos en la región y para la investigación de los contactos entre varios grupos adentro y afuera de la corte real de los gobernantes de Holmul. Finalmente, se confirmó por primera vez la presencia de unas construcciones mayores en La Sufricaya antes del establecimiento del conjunto palaciego durante la segunda mitad del Clásico Temprano.

CAPÍTULO 5 LA ATALAYA, WITZNA ESTE.

*Kaitlin Ahern
Universidad de Buffalo*

EXCAVACIÓN WIT.T.13.

Durante la temporada 2018, se realizaron múltiples excavaciones en la pirámide conocida como “Atalaya” (*watchtower* en inglés). Anteriormente, la Atalaya fue identificada vía LIDAR y se colocó en la colina más grande de la región de Holmul. La Atalaya fue construida a lo largo de un eje norte-sur y tenía una altura de 18.45 m. La excavación WIT.T.13 estaba situada en el fondo de la Pirámide, donde había bloques que salían del suelo, lo que sugería que había arquitectura cerca de la superficie y que los bloques habían caído desde arriba de la pirámide. Inicialmente, abrimos 2.5 m de este a oeste y 3 m de norte a sur de la unidad de excavación, pero a lo largo de la temporada, la excavación se amplió tres veces. Esta excavación comenzó con dos objetivos, los cuales fueron encontrar las escaleras que conducían el centro de la Atalaya y determinar las fases arquitectónicas. Durante la excavación, otra estructura fue descubierta inmediatamente frente a la Pirámide.

DESCRIPCIÓN DE LA EXCAVACIÓN

El primer contexto encontrado para esta excavación (WIT.T.13.01) era humus y tenía un espesor de 0.10 a 0.15 m en toda la unidad. El espesor fue mayor a lo largo del lado sur de la excavación y se enrareció hacia la Plaza. El suelo era de color marrón oscuro y granulado. Tenía una inclusión de raíces (10%), hojas, piedras pequeñas (15%) y tierra (75%). Debajo del humus había una capa de bloques colapsados (WIT.T.13.02) que cubría la arquitectura y en algunos lugares fue tan profundo como 0,69 m. Esta capa consistía en bloques grandes y medianos de piedra caliza (50%), piedras pequeñas (20%), piedra caliza erosionada (20%), y tierra que había descendido de la capa de humus (10%).

Después de la capa de colapso, había una pequeña sección de piso rustico (WIT. T.13.03), que tenía un grosor de 0.10 m y una medida de 0.50 por 0.70 m. Este piso estaba situado directamente sobre una capa de relleno conocido como (WIT.T.13.04) y se componía de piedra caliza erosionada (60%) y pequeños trozos de piedra caliza (40%). La capa era de 0.30 m de espesor. Bajo el relleno había otro piso rustico (WIT.T.13.05) que estaba gravemente quebrado, posiblemente por la gruesa capa de colapso que lo cubría. El resto del piso se situaba a lo largo del este y tenía una longitud de 1.87 m y una anchura máxima de 1.11 m. Tenía un espesor de 0.03 m.

Otro contexto situado bajo la capa de colapso fue un muro (WIT.T.13.06), que se compone de dos paredes unidas por una esquina. El primer muro fue colocado a lo largo del eje este y el segundo a lo largo del eje sur y por lo tanto se unen en el sureste. El muro este se componía de once bloques apilados uno encima del otro y tenía al menos una altura de 1.96 m y una anchura de 0.97 m. A lo largo de la pared del este estaba una sección de la pared que sobresalía hacia fuera por un bloque y comenzaba a 0.40 m de la tapa de la pared. Las excavaciones posteriores revelaron que la pared meridional tenía por lo menos una altura de 1.65 m y una anchura de 0.96 m. Ambas paredes estaban compuestas por bloques de piedra caliza (65%), piedras pequeñas (20%) y cal mezcladas con suelo gris (15%).

Después de descubrir las paredes (WIT.T.13.06), se decidió ampliar la excavación por 1 m al este para investigar lo que había al otro lado de la pared. Debajo del colapso había una escalinata con cuatro gradas (WIT.T.13.07) y forman parte de la misma fase de la arquitectura con las paredes. La primera grada tuvo una anchura de 0.37 m y fue la grada más baja. La segunda tenía una altura de 0.33 m y una anchura de 0.39 m. La tercera tenía una altura de 0.33 m y una anchura de 0.39 m. La cuarta grada fue la más cercana a la superficie y tenía una altura de 0.39 m y una anchura de 0.37 m.



Figura 5.1. Vista del contexto WIT.T.13.06 (Foto K: Ahern).

La escalinata termina en un piso rústico (WIT.T.13.12) que tenía una longitud de 0.95 m y una anchura de 0.50 m. Este piso tenía una altura de 0.47 m desde el piso hasta la cima de la primera escalera. Al lado del piso había una pared (WIT.T.13.13) que fue construido paralelamente a la pared (WIT. T. 13.06) y se componía de una sola columna de bloques colocados sobre tres hileras de bloques. La pared tenía una altura de 0.70 m y una anchura de 0.26 m. El contexto de este fue compuesto en gran parte de bloques de piedra caliza (80%), piedras pequeñas (5%), y estuco (15%). El siguiente contexto fue otro piso rustico (WIT.T.13.14) situado entre dos paredes (WIT.T.13.06 y WIT.T.13.13) y parecía ser parte de la misma fase de la arquitectura como la pared (WIT.T.13.13). El piso tenía una anchura de 0.36 a 0.34 m y una longitud de 0.95 m.

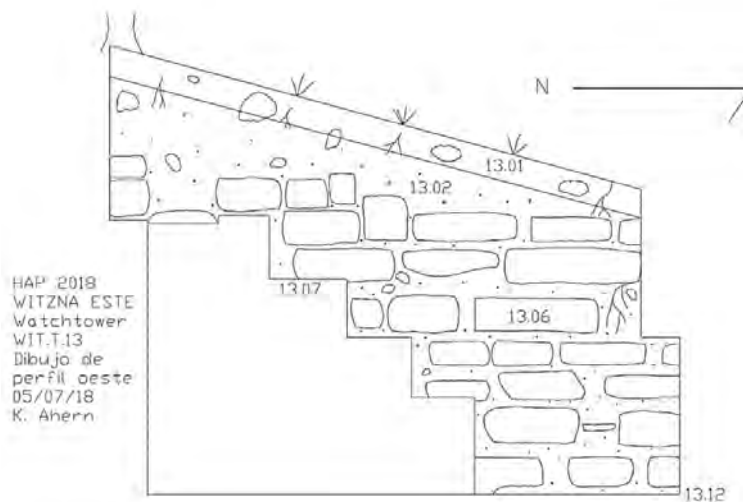


Figura 5.2. Vista de perfil oeste del corte B-B en la excavación WIT.T.13 (Dibujo K. Ahern).

Hubo dos extensiones adicionales a la excavación. Primero, WIT.T.13 fue ampliada hacia el oeste por 2 m con la meta de localizar el centro de la pared meridional (WIT.T.13.06). Esta extensión reveló que el muro (WIT.T.13.06) continuó a lo largo del eje sur. En segundo lugar, la excavación se amplió 2 m al sur por 1 m de este a oeste, lo que reveló un nuevo muro (WIT.T.13.15) que abarcó toda la longitud de la excavación. Más tarde se descubrió que la escalinata (WIT.T.13.07) fue conectada a esta pared. La parte superior de la pared consistía en una sola hilera de bloques con una anchura aproximada de 0.25 m. Al lado de la parte superior de la pared había una superficie de estuco áspero que era parte de una escalinata (WIT.T.13.16) y se encuentra en el centro de la pirámide. La longitud entre la pared (WIT.T.13.15) y la primera escalinata era 0.55 m.

El primer escalón (desde abajo) tiene una altura de 0.36 m y una anchura de 0.48 m. El segundo escalón tenía una altura de 0.34 m y una anchura de 0.50 m. El tercer escalón tenía una altura de 0.40 m. Después, la atención volvió a las secciones quebradas del piso (WIT. T. 13.05) con la esperanza de encontrar capas adicionales de este. Bajo el piso había una capa de relleno (WIT.T.13.08) y constaba de grandes y medianos bloques de piedra caliza (55%), piedras pequeñas y adoquines (30%), y un suelo gris suelto y liso (15%). La capa tenía una altura de 1.35 m y una anchura de 1.90 m.



Figura 5.3. Vista del pozo de la excavación WIT.T.13. Se muestra la ubicación de una de las vasijas descubiertas (Foto K: Ahern).

El relleno cubría una capa de roca madre (WIT.T.13.09) que se formó ligeramente para crear una superficie nivelada. Parecía que la roca madre era usada como piso. En el centro de la superficie de la roca madre estaba un pozo (WIT.T.13.10) que fue tallado y tenía una altura de 2.30 m, una anchura de 0.90 m, y una longitud de 0.80 m. Hubo una importante inclusión de artefactos descubiertos entre 0.74 m y 1.80 m de la entrada del pozo. A los 0.74 m, hubo un cambio en el color y la textura del suelo, ya que se desplazaba de un gris claro a un suelo amarillo y granuloso.

En esta capa se encontraban cuatro vasijas en miniatura completas, fragmentos de Jade, seis piezas de obsidiana, un conjunto completo de dientes, fragmentos óseos, conchas marinas, carbón y herramientas de piedra. A 1.60 m, descubrimos la parte superior de un cráneo, que se colocó con la cabeza hacia arriba. Se colocó dos cuencos Águila Naranja completo cerca del fragmento del cráneo. Por 1.80 m, el suelo se transformó en una roca madre blanda (WIT.T.13.11) que no contenía artefactos y continuó por lo menos 0.50 m.



Figura 5.4. Vista del fragmento del cráneo que se encuentra en el pozo (WIT.T.13.10) (Foto K. Ahern).

Después de excavar el pozo, se decidió abrir un pequeño túnel directamente sobre el pozo para investigar lo que había detrás de la parte sur de la pared (WIT.T.13.06). Curiosamente, reveló que el borde exterior de la pared terminó a 0.78 m y fue apoyado por un piso quemado (WIT.T.13.17) que se construyó en la pared. Tenía una longitud de 0.51 m y un grosor de 0.08 m. El piso terminó en la pared previamente descubierta (WIT.T.13.15) se encontró en la parte superior de la excavación y continuó todo el camino hasta el suelo. La pared tiene una altura de 2.74 m y la mitad de la pared tenía bloques de diferentes tamaños que la otra mitad, lo que dio la apariencia de una brecha en forma de puerta o cortado en la pared.

La pared terminó en la plataforma (WIT.T.13.20), que fue atado a la pared (WIT.T.13.06). La plataforma tenía una longitud de 0.74 m, una altura de 0.29 m, y atravesó la anchura entera del túnel. Una pequeña grada con una altura de 0.13 m y una longitud de 0.20 m fue cortada en la plataforma. El siguiente paso tuvo una altura de 0.15 m y una longitud de 0.54 m.



Figura 5.5. Vista de la entrada del túnel y de la pared WIT.T.13.15 (Foto K. Ahern).

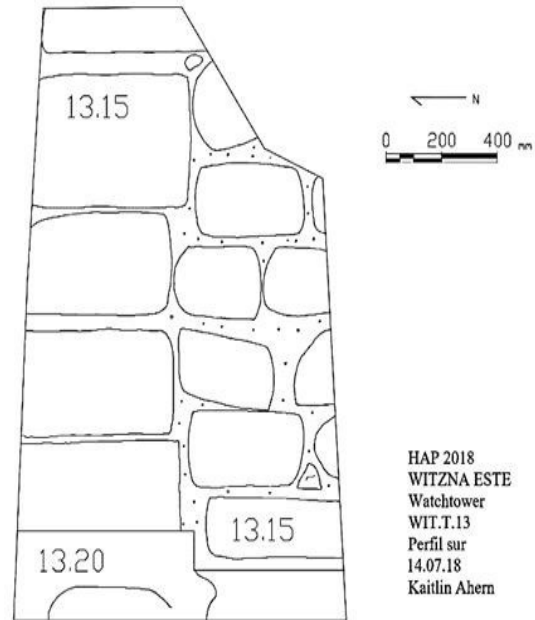


Figura 5.6. Dibujo de la entrada del túnel y de la pared WIT.T.13.15.

Se decidió hacer un túnel en esta posible puerta, ya que era el punto central de ambas paredes (WIT.T.13.06) y la Pirámide. El túnel siguió el lecho rocoso (WIT.T.13.09) para toda su longitud, que fue de 4.30 m. El piso de la roca madre inclinado hacia arriba por 2.57 m antes de que fuera cortado por 0.38 m. El corte continuó por 1.46 m antes de alcanzar una superficie nivelada del lecho rocoso. Por encima de la roca madre y detrás de la pared (WIT. T. 13.15) era una capa de relleno (WIT. T. 13.18) que abarcó toda la longitud del túnel (4.09 m). Esta capa se componía de rocas calizas de tamaño grande y mediano (55%), piedras pequeñas (15%) y tierra negra lisa (30%). También se encontró cerámica.

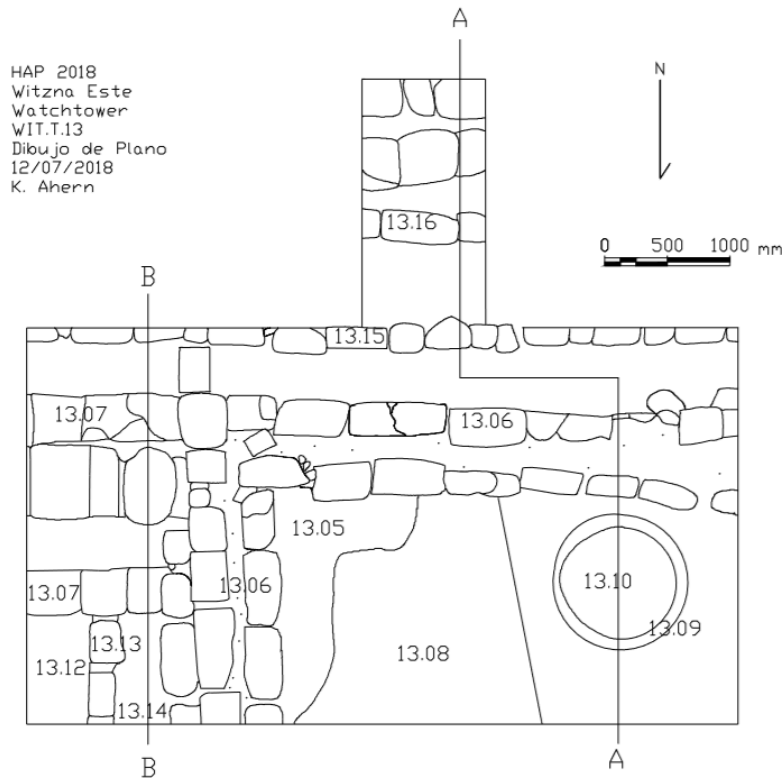


Figura 5.7. Dibujo en planta de la excavación WIT.T.13 y ubicación de los cortes A-A y B-B.

Debajo de este contexto había otra capa de relleno (WIT.T.13.19) que comenzó a 1.74 m de la pared (WIT.T.13.15) y continuó por 2.63 m. Este relleno (WIT.T.13.19) fue mezclado con la cal y pequeñas piezas de piedra caliza (el 20%) y tierra negra (80%), que dieron lugar a un suelo gris. Además, se encontró una herramienta de piedra quebrada, cerámica y carbón en esta capa. Su altura osciló entre 0.50 y 0.73 m. Desafortunadamente, la excavación del túnel no fue terminada por falta de tiempo por lo tanto el resto será excavado el próximo año.

CONCLUSIONES

Esta excavación proporcionó información valiosa sobre la Atalaya. Se determinó que había una estructura colocada inmediatamente delante de la Atalaya y que esta estructura fue construida después. Ambas estructuras fueron construidas directamente sobre la roca madre (WIT.T.13.09). Sorprendentemente, no había ninguna escalera que conectara la Pirámide al piso de la Plaza. En cambio la única escalera (WIT.T.13.16) termina en la pared piramidal (WIT.T.13.15). Además, había una estructura construida a 0.40 m de la pared piramidal (WIT.T.13.15), que sirvió para restringir el acceso a la pirámide. La estructura tenía un conjunto de escaleras (WIT.T.13.07) pero no se conectaron con la escalinata (WIT.T.13.16).

Esta excavación también determinó la historia constructiva tanto de la Atalaya como de la otra estructura. Por el momento, parece que la Atalaya consistía en una sola fase de construcción, pero se necesita evidencia adicional. La estructura fue construida después de la Atalaya como la pared sur (WIT.T.13.06) fue construido llenando el área sobre la plataforma de la pirámide (WIT.T.13.20) y sellada con un piso de construcción quemado (WIT.T.13.17).

La primera fase de construcción incluyó la pared (WIT.T.13.06), el piso rustico (WIT.T.13.14), y la escalinata (WIT.T.13.07). Después, otra pared (WIT.T.13.13) fue construido en el posible piso de la Plaza (WIT.T.13.14) y otro piso rustico (WIT.T.13.12) fue construido en la parte inferior de las escaleras.

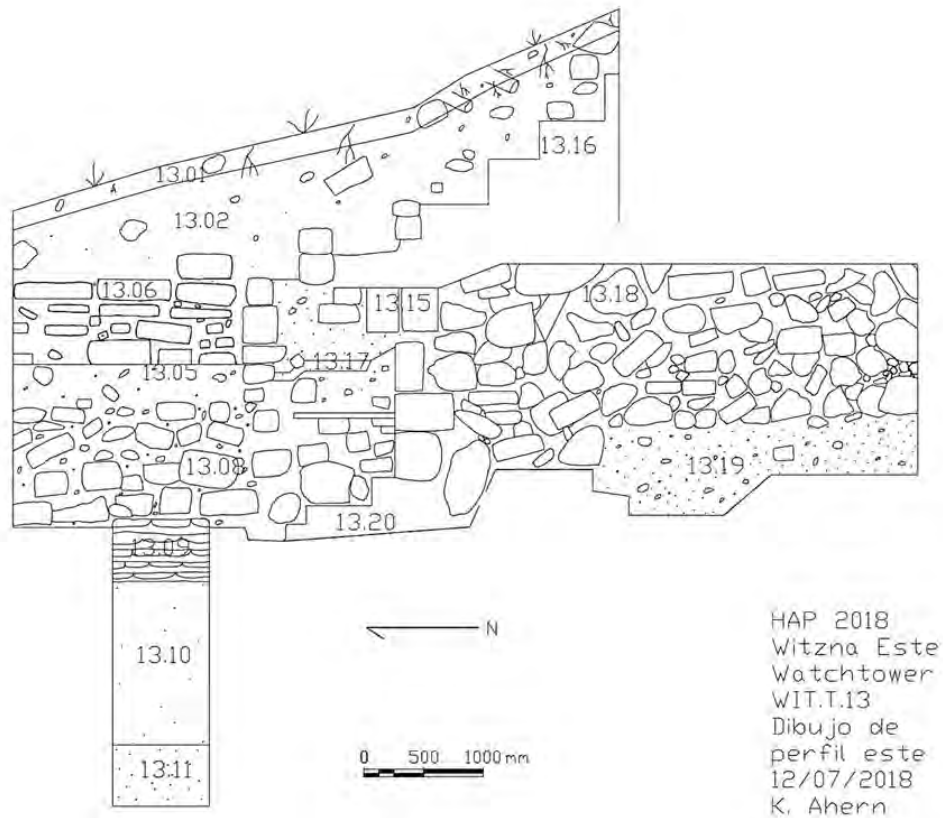


Figura 5.8. Vista de perfil este del corte A-A en la excavación WIT.T.13.

Finalmente, los pisos en el interior de la estructura fueron quebrados por los habitantes para llegar a la roca madre (WIT.T.13.09) donde tallan un pozo en su superficie. El pozo (WIT.T.13.10) sirvió como una ofrenda donde los antiguos mayas colocaron una cabeza humana, dientes, cuatro vasos en miniatura, un plato, fragmentos de cuentas de Jade, seis piezas de obsidiana, conchas marinas, y algunas herramientas de piedra quebrada. El fragmento del cráneo fue colocado mirando hacia arriba y por lo tanto los dientes del individuo fueron descubiertos antes de la parte superior del cráneo. Estos consistieron en dientes de niño y de adulto. Como no se encontraron otros huesos, es posible que el individuo fuera decapitado y luego colocado en el pozo. Después de terminar el ritual, el pozo fue llenado y cubierto por un metro de relleno (WIT.T.13.08) y eventualmente se colocó un piso nuevo dentro de la estructura.

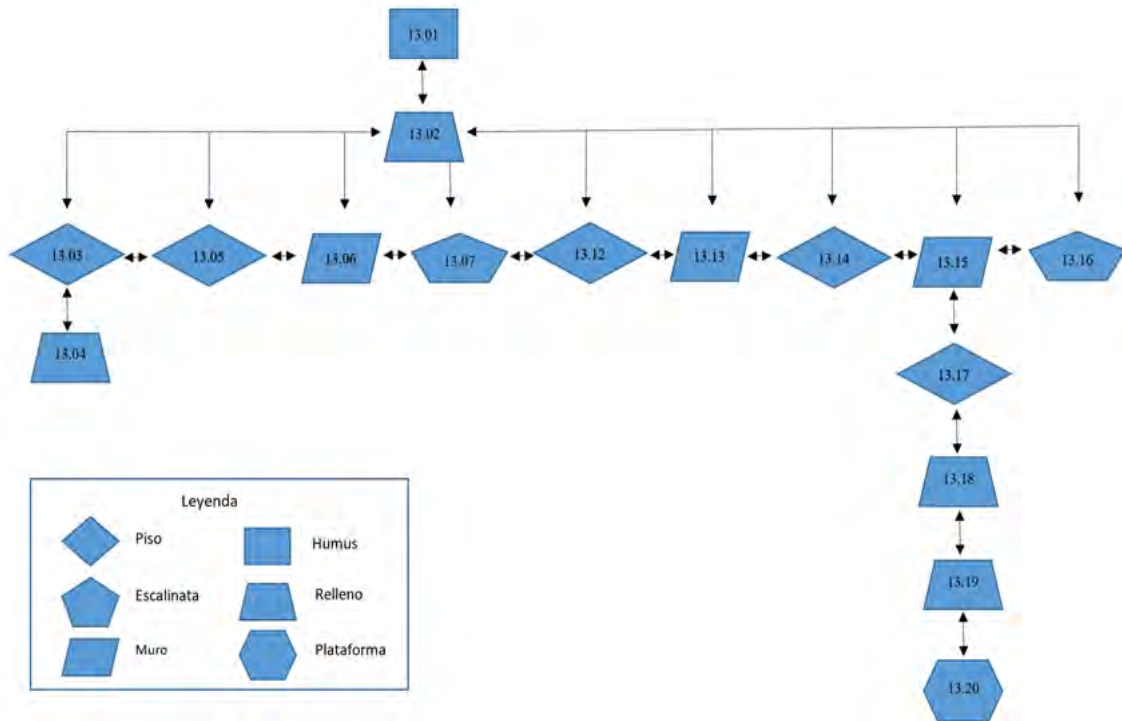


Figura 5.9. Matriz de Harris de la excavación WIT.T.13 (Elaborada por K. Ahern).

EXCAVACIÓN WIT.T.14. ATALAYA.

La excavación (WIT.T.14) fue colocada en la parte superior de la Atalaya y eventualmente incorporó dos túneles de saqueo que fueron hechos en el lado sur de la pirámide. El primer túnel de saqueo se ubicó en la parte superior de la Atalaya y sólo descubrió 0.50 m de piso. El segundo túnel era más sustancioso ya que tenía una longitud de 4 m y una altura media de 1.46 m. Ni el túnel descubrió nada más allá de la arquitectura. La excavación (WIT.T.14) comenzó como un túnel y fue colocado en el túnel del primer saqueo. Este túnel arqueológico mira al norte y tenía una anchura de 0.90 m. El objetivo de esta excavación fue descubrir la arquitectura adicional en la parte superior de la Atalaya.

DESCRIPCIÓN DE LA EXCAVACIÓN

El primer contexto fue una capa de humus (WIT.T.14.01) que tenía un espesor entre 0.18 y 0.20 m. Esta capa consistía en pequeñas raíces (25%), piedras pequeñas (15%) y un suelo de color marrón oscuro y granuloso (60%). También había un árbol de tamaño mediano situado en la esquina sureste de la excavación. Debajo del humus había una capa de bloques colapsados (WIT.T.14.02) que cubría la arquitectura y en algunos lugares esta capa fue tan profunda como 1.68 m. Esta capa consistía en bloques grandes y medianos de piedra caliza (45%), piedras pequeñas (20%), cal (25%) y tierra que había caído de la capa de humus (10%). Una porción de estos bloques de la piedra caliza eran arcos de la ménsula que habían apoyado originalmente un techo. El bloque más grande encontrado tenía una longitud de 0.72 m.

Debajo del colapso había un piso quemado (WIT.T.14.04) que tenía una longitud de 1.70 m y una anchura de 0.83 m. a lo largo del lado este del piso era una pared (WIT.T.14.06), que se orientó a lo largo del eje norte-sur. La pared consistió en nueve hileras de bloques de piedra caliza alineados cuidadosamente unos sobre otros con una anchura de 0.70 m y una altura de 1.60 m. El siguiente contexto (WIT.T.14.03) fue un nuevo muro que tenía una anchura de 0.95 m y una altura de 1.20 m. Este muro estaba ubicado a 0.10 m al norte del muro (WIT.T.14.06) y se alineó a lo largo del eje este-oeste del suelo (WIT.T.14.04). Se decidió hacer un túnel a través de esta pared y se descubrió que el muro estaba bloqueando el acceso a la arquitectura adicional.

Detrás de la pared había una plataforma (WIT.T.14.05) que se compone de una sola grada y un piso de superficie. El escalón comenzó 0.24 m por debajo del borde del suelo (WIT.T.14.04). La grada tenía una anchura de 0.65 m antes de descender 0.67 m hasta el suelo de la plataforma. La plataforma estaba revestida de un estuco grueso quemado de 0.02 m de espesor. La parte del piso de la plataforma tenía una anchura de 1.50 m y una longitud de 0.83 m. Toda la plataforma tenía una longitud de 2.23 m y se rompió en múltiples ubicaciones. Había una capa de relleno (WIT.T.14.07) ubicado bajo la plataforma. Este relleno era de 0.01 m de espesor y consistía en cal (90%) y piedras pequeñas (10%). Debajo de este relleno había un piso quemado (WIT.T.14.08) con una superficie de estuco muy delgada y frágil. El piso revelado tenía una anchura de 1.50 m y una longitud de 0.83 m.

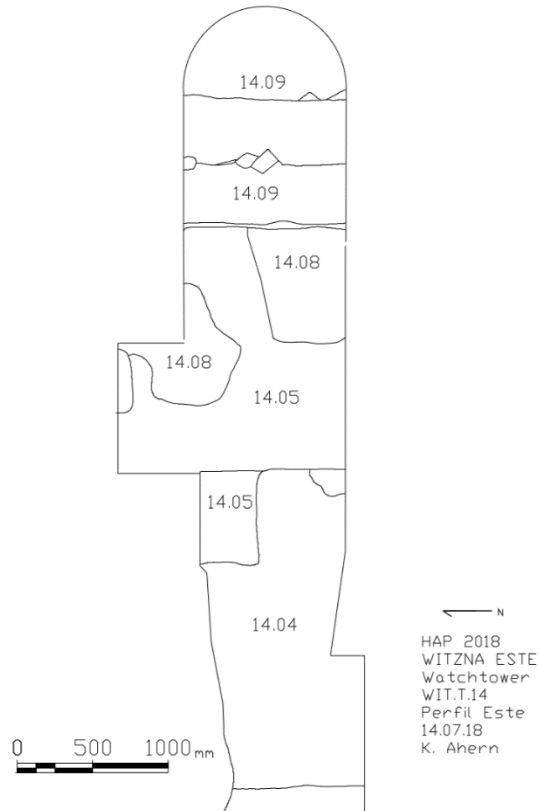


Figura 5.10. Dibujo en planta de la excavación WIT.T.14.

El contexto (WIT.T.14.09) era una escalinata con tres gradas excavadas. La primera grada (de la parte inferior) tenía una anchura de 0.39 m. El segundo tenía una altura de 0.56 m y un ancho de 0.38 m. La grada final tenía una altura de 0.50 m, pero el ancho era desconocido así como la tapa de la escalera mezclada adentro con los pisos (WIT.T.14.05 y WIT.T.14.08). Estas escaleras consistieron en bloques múltiples apilados encima uno de otro revestidos con estuco. Sin embargo, estas escalinatas se erosionaron faltando su recubrimiento de estuco.

Después de revelar la escalinata, se decidió abrir un túnel con una longitud de 3.19 m y una altura de 0.82 m. El túnel se abrió en la parte trasera del túnel del segundo saqueo. El primer contexto encontrado fue un relleno (WIT.T.14.10) situado bajo las escaleras (WIT.T.14.09), se compone de grandes y medianos bloques de piedra caliza (25%) y cal (75%). Este contexto se encontró tanto en el nuevo túnel como en la trinchera de saqueo y continuó por 3.61 m.



Figura 5.11. Vista de la escalinata (WIT.T.14.09) y la entrada del túnel (Foto K. Ahern).



Figura 5.12. Vista del túnel construido bajo la escalinata (WIT.T.14.09) (Foto K. Ahern).

El siguiente contexto fue un piso quemado (WIT.T.14.11) que fue descubierto bajo el relleno y fue localizado a 1.75 m de la abertura del túnel. El piso se rompió por el relleno y por lo tanto sólo tenía una longitud de 1.61 m y un espesor de 0.02 m. Por debajo del piso había una capa de relleno (WIT.T.14.12) que sirvió como base para el piso. Era de 0.02 m de espesor y consistía en cal y piedras pequeñas. Este relleno cubría el contexto (WIT.T.14.13), que era un piso quemado con el espesor de 0.01 m. Fue descubierto 1.50 m en el túnel y tenía una longitud de 2.03 m.

Después de completar la primera parte de esta excavación, se decidió investigar la trinchera del segundo saqueo con el objetivo de descubrir las fases anteriores de la construcción. El contexto (WIT.T.14.14) era otra capa de relleno que estaba ubicado bajo el piso (WIT.T.14.13) y tiene un espesor de 0.13 m. Sirvió como base para el piso y consistió en 0.08 m de pequeñas piedras de canto rodado firmemente embaladas. El siguiente contexto (WIT.T.14.15) fue un piso de construcción que fue utilizado para apoyar el contexto anterior y es de 0.01 m de espesor.

Debajo del piso había un contexto de relleno (WIT.T.14.16) que consistió en los bloques grandes de piedra caliza (40%), cal floja (el 30%), y piedras pequeñas (el 30%). Tenía una profundidad de 1.40 m y abarcó toda la longitud de la trinchera de saqueo. Este contexto continuó bajo el piso de la trinchera de saqueo y terminó cuando encontramos otra capa de relleno (WIT.T.14.17) eso consistió en piedras flojas de piedra caliza (60%) y suelo negro (40%). Después de excavar 3.32 m de este relleno y no encontrar ningún artefacto, se decidió dejar de excavar el suelo de la trinchera de saqueo.

En la entrada del segundo túnel de saqueo había tres contextos distintos. El primer contexto (WIT.T.14.18) era un piso situado en la parte superior del túnel. Este piso tenía 0.01 m de espesor y tenía una longitud de 1.19 m. por debajo del suelo era una delgada capa de relleno (WIT.T.14.19), que era 0.10 m densamente y consistió en cal (85%) y piedras pequeñas (15%). El siguiente contexto (WIT.T.14.20) era un piso de 0.01 m de espesor y medía 1.21 m de longitud.

CONCLUSIONES

Esta excavación estableció una secuencia de construcción para la estructura ubicada en la parte superior de la Atalaya. La primera fase de construcción comenzó con la colocación de múltiples capas de relleno (WIT.T.14.17 y WIT.T.14.16) que fueron selladas bajo un piso de construcción (WIT.T.14.15). Por encima de este piso había una delgada capa de relleno (WIT.T.14.14), que sirvió como base para el piso (WIT.T.14.13) y último piso (WIT.T.14.11). También hubo otra fase de construcción que resultó en el suelo (WIT.T.14.20) y eventualmente el piso (WIT.T.14.18).

La fase final de la arquitectura implicó la construcción de la plataforma (WIT.T.14.05), escalinata (WIT.T.14.05), pared (WIT.T.14.06), y pisos (WIT.T.14.04 y WIT.T.14.08). La pared (WIT.T.14.06) sirvió realmente como apoyo del acceso. Además, hubo un descubrimiento de bloques utilizados para los arcos falsos en la capa de colapso (WIT.T.14.02), lo que significa que hubo una vez un techo sobre el atasco de la puerta y la plataforma. En algún momento después, un muro (WIT.T.14.03) fue construido entre el piso (WIT.T.14.04) y plataforma (WIT.T.14.05). Esta pared fue construida a lo largo de un eje este-oeste para restringir el acceso a la entrada delantera o trasera de la estructura superior.

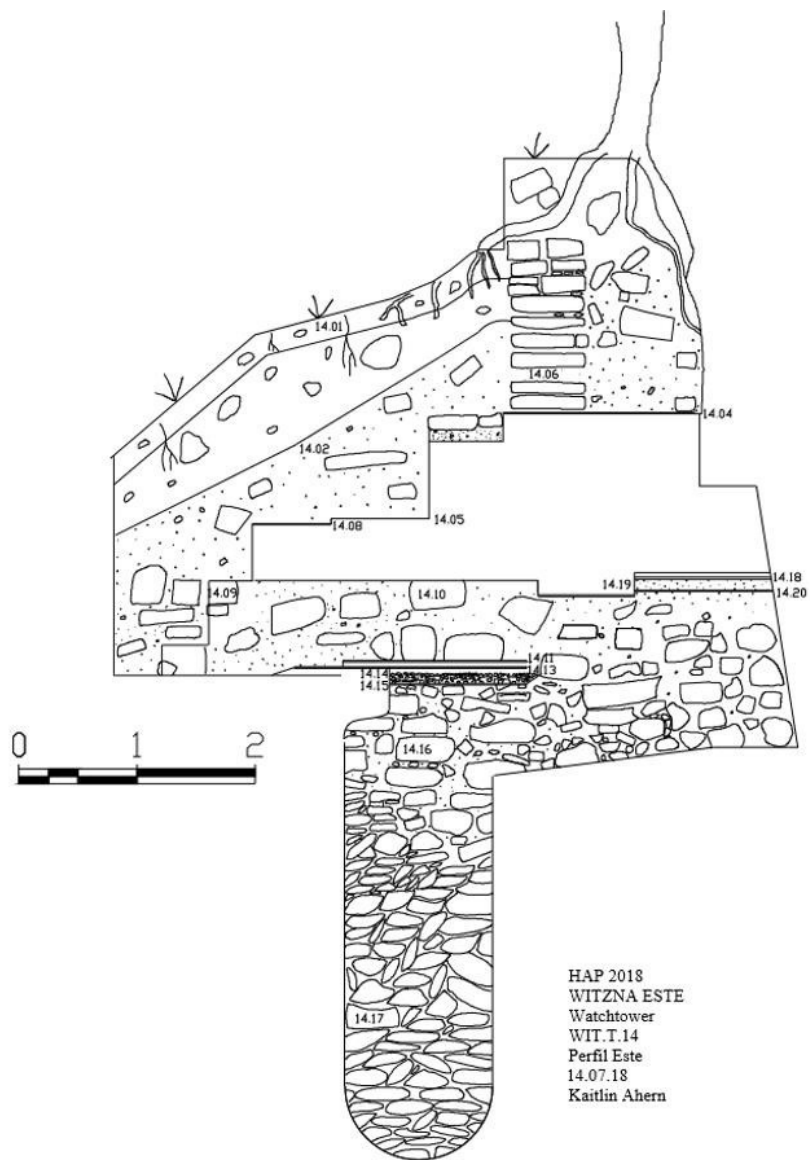


Figura 5.13. Vista de perfil este de la excavación WIT.T.14.

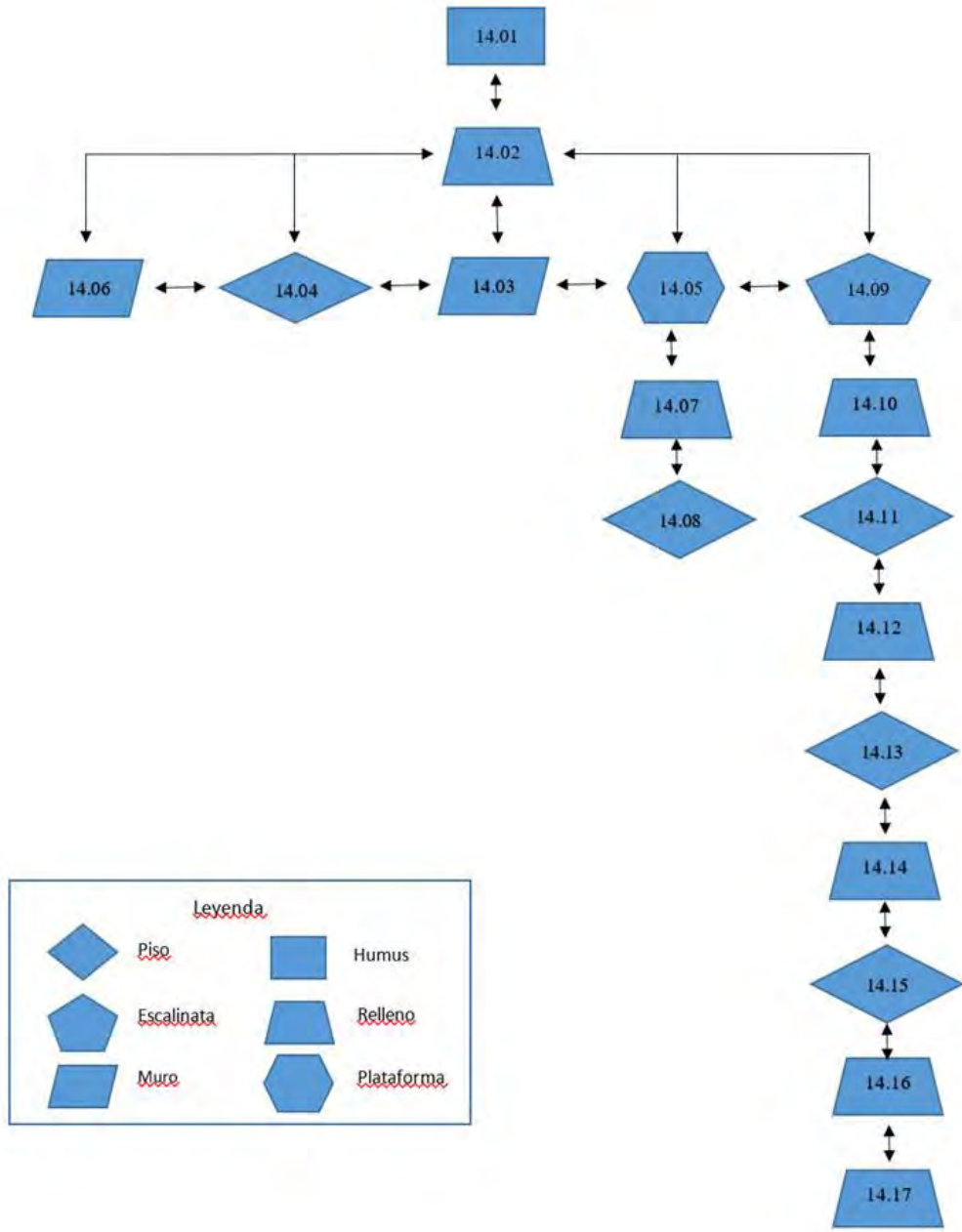


Figura 5.14. Matriz de Harris de la excavación WIT.T.14 (Elaborada por K.Ahern).

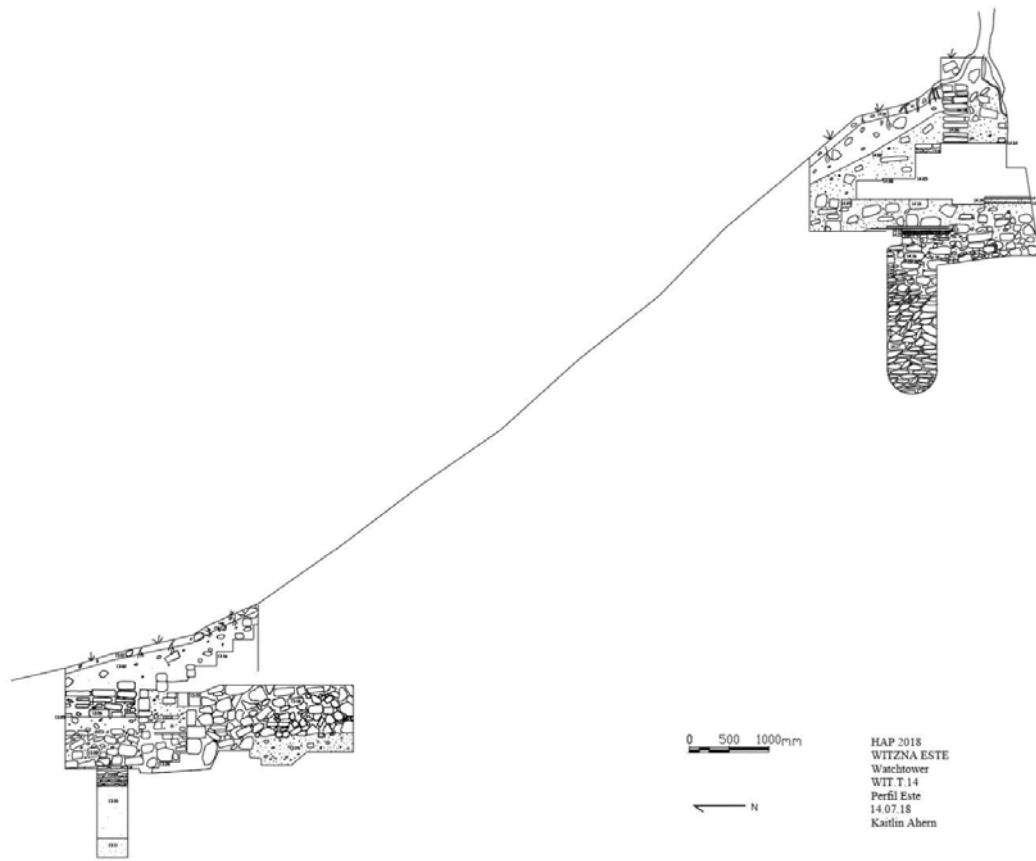


Figura 5.15. Perfil este de la Atalaya, incluyendo las excavaciones WIT.T.13 y WIT.T.14 (Dibujó K. Ahern).

EXCAVACIÓN WIT.T.15. ATALAYA

Después de destapar la pared (WIT.T.13.06) en la excavación (WIT.T.13), se decidió abrir una nueva unidad de excavación al oeste de WIT.T.13. Esta nueva excavación (WIT.T.15) se ubicó en el fondo de la Atalaya y fue de 3.10 m de WIT.T.13, medida de 2 m de este a oeste y 3 m de norte a sur. El objetivo de esta excavación fue descubrir la otra esquina del muro (WIT.T.13.06) y para buscar una escalinata que conduce a la pirámide. Esta localización fue escogida como la superficie que fue levantada levemente debido a una gran cantidad de bloques derrumbados, posiblemente de más arriba de la pirámide. También había un gran árbol que se había derrumbado en la frontera suroeste de la excavación.

DESCRIPCIÓN DE LA EXCAVACIÓN

El primer contexto (WIT.T.15.01) descubrió una capa de humus que varió de 0.15 a 0.20 m de espesor. El suelo era de color marrón oscuro y granuloso. Debido a la cercanía de un árbol caído, hubo una inclusión de raíces medianas y pequeñas (25%), junto con algunas pequeñas piedras (10%) y tierra (65%). Debajo del humus había una capa de colapso (WIT.T.15.02) que cubrió la arquitectura y varió en profundidad de 0.42 m a 1.71 m. Esta capa consistió en bloques de piedra caliza grandes y medianas (50%), piedras pequeñas (20%), cal (20%), y tierra que había caído de la capa de humus (10%).

Bajo el colapso había un piso rústico (WIT.T.15.03) con un ancho de 0.65 m y una longitud de 1.70 m. Se localizaba en la esquina noreste de la excavación y estaba encerrada por un muro (WIT.T.15.04). Este muro consistía en dos muros que se conectaban a través de una esquina. La pared sur tenía una anchura de 1.25 m pero tenía una altura desconocida. La pared oeste tenía un ancho de 0.86 m y la parte superior de esta pared estaba cubierta de fragmentos de piedra quebrada. A lo largo de la parte exterior de la pared oeste había una sección de la pared que sobresalía por un bloque antes de continuar por la pared, y esto era una característica que también se encuentra en la excavación WIT.T.13. La pared tenía una altura de 1.62 m.

Al lado de la muralla oeste había una escalinata (WIT.T.15.05) con cuatro gradas. El escalón inferior tenía una altura de 0.38 m y la huella de 0.39 m. La segunda grada tenía una altura de 0.36 m y una anchura de 0.38 m. La tercera grada tenía una altura de 0.39 m y la huella de 0.38 m. La cuarta y última grada tenía una altura de 0.30 m y el ancho de 0.44 m. En la parte inferior de la escalinata había un piso rústico (WIT.T.15.06), que midió 1.28 m en longitud por 0.53 m en anchura.

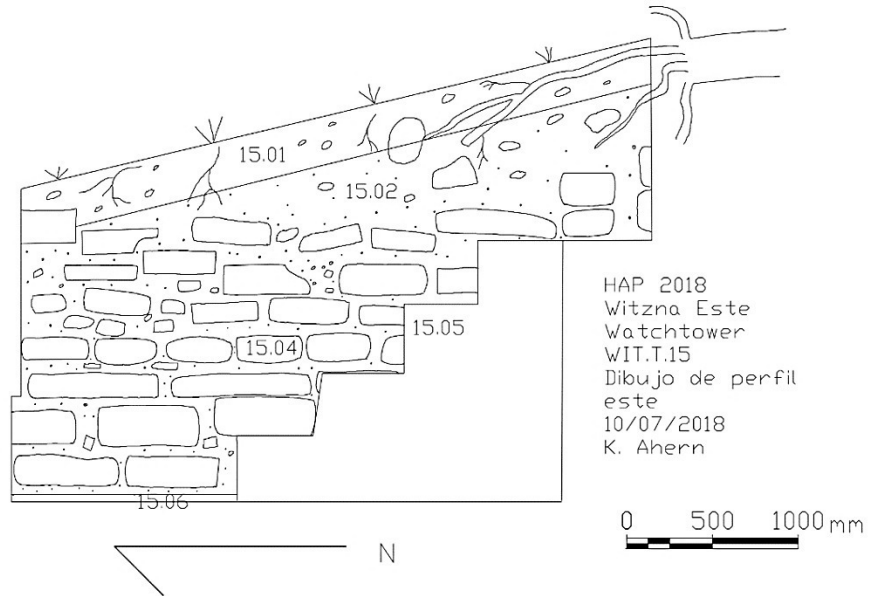


Figura 5.16. Vista de perfil este de la excavación WIT.T.15.

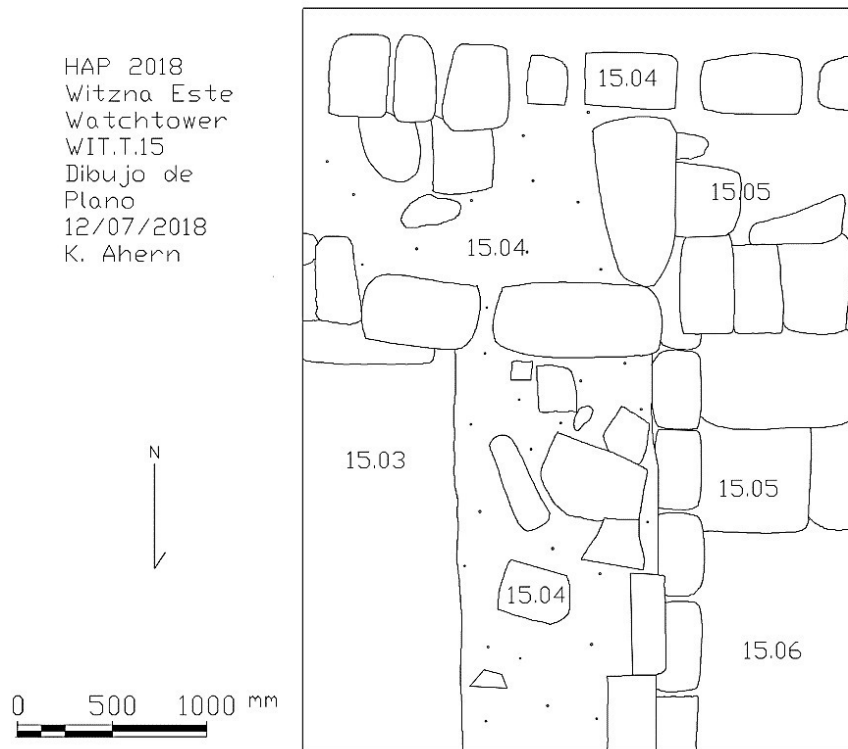


Figura 5.17. Dibujo de planta de la excavación WIT.T.15.

CONCLUSIONES

Esta excavación fue valiosa ya que se descubrió la complejidad del sector oeste de la estructura inmediatamente frente a la Atalaya descubriendo un conjunto de escalinatas en WIT.T.13.07. También se logró obtener las dimensiones adicionales de la estructura, como la altura de la pared.

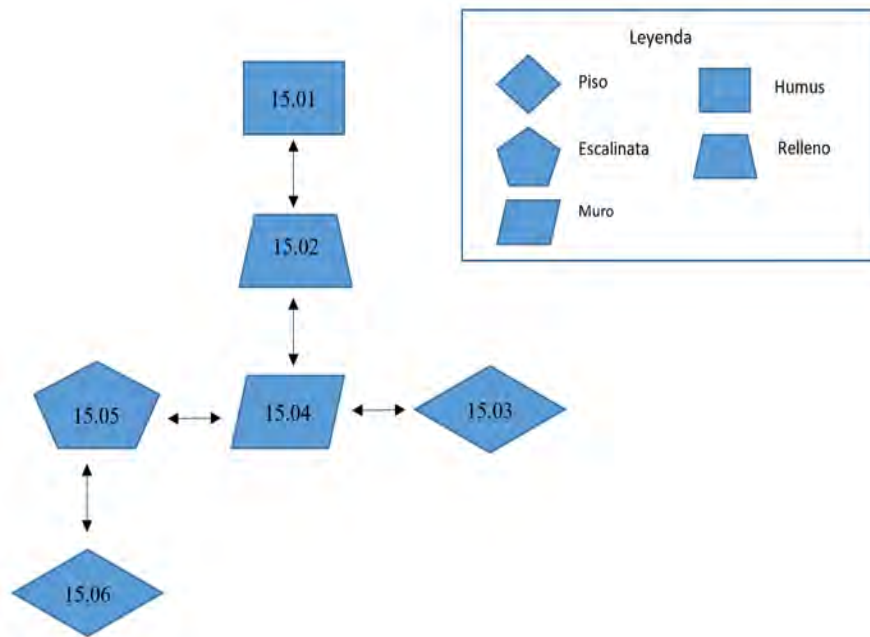


Figura 5.18. Matriz de Harris de la excavación WIT.T.15 (Elaboró K. Ahern).

EXCAVACIÓN WIT.T.19. LA ATALAYA.

WIT.T.19 fue una unidad de excavación abierta en el fondo de la Atalaya y se ubicó a 1.25 m al norte del WIT.T.13. La unidad midió 2 m de este a oeste y 2 m de norte a sur. Como la excavación anterior, WIT.T.19 fue colocado donde los bloques y las piedras estaban saliendo del suelo. También había un árbol de tamaño mediano situado en la esquina suroeste de la excavación. El objetivo de esta excavación fue determinar si las paredes que se encuentran en el WIT.T.13.07 y WIT.T.15.05 eran parte de una estructura más grande.

DESCRIPCIÓN DE LA EXCAVACIÓN

La excavación se comenzó quitando el humus (WIT.T.19.01), que tenía un grosor de 0.13 m. Puesto que había un árbol de tamaño mediano que crecía en la esquina suroeste de la excavación, la capa consistió en una inclusión de raíces medias y pequeñas (30%), junto con algunas piedras pequeñas (10%), y de tierra marrón oscuro con una textura granulada (60%). El siguiente contexto era una capa de bloques colapsados (WIT.T.19.02) que había caído en la parte superior de la arquitectura. El espesor de esta capa varió de 0.13 m a 0.86 m. Esta capa consistió en bloques de piedra caliza media y pequeña (30%), piedras pequeñas (10%), cal (10%), y tierra que había descendido de la capa de humus (50%).

Debajo de la capa de colapso había un piso rustico (WIT.T.19.03) que tenía una longitud de 1.30 m y una anchura de 1.10 m. El piso estaba ubicado en la esquina suroeste de la excavación y fue gravemente dañado por el árbol de tamaño mediano que había crecido encima. El suelo tenía un espesor de 0.05 cm. Se colocó sobre una capa de relleno (WIT.T.19.04), que consistió en piedras diminutas de piedra caliza (40%) y cal (60%). Este relleno tenía un espesor entre 0.12 m y 0.16 m.

Había un piso quemado (WIT.T.19.05) situado bajo el relleno que sólo tenía una capa delgada de estuco. El piso tenía una longitud de 1.30 m y un ancho de 1.10 m. Al lado de ambos pisos está el contexto (WIT.T.19.06) que consiste en dos paredes y una esquina que están conectadas. La altura de la pared este al piso quemado era de 0.52 m. El ancho de la pared este era de 1.13 m y el ancho a lo largo de la pared norte era de 0.78 m a lo largo de la pared norte había una sección de la pared que sobresalía hacia fuera 0.30 m abajo de la tapa. Esta pared que sobresalía, era una característica encontrada en ambas excavaciones WIT.T.13 y WIT.T.15. Sin embargo, esta característica era diferente ya que consistía en dos hileras de bloques que sobresalen de la pared.

CONCLUSIONES

Esta excavación demostró que las paredes que se encuentran en los contextos WIT.T.13.07 y WIT.T.15.05, formaban parte de una sola estructura. También reveló una pared y una esquina adicionales a lo largo de la parte norte de la excavación, proporcionando así la información requerida para estimar las dimensiones de la estructura. Esta excavación no reveló la puerta que conducía a la estructura. Las excavaciones WIT.T.13, WIT.T.15, y WIT.T.19 proporcionaron una gran visión de las dimensiones de la estructura situada en frente de la Atalaya. Se determinó que las paredes exteriores medían 6.04 m de este a oeste por 7.26 m de norte a sur. El piso de la estructura medía 4.25 m de este a oeste por 5.44 m de norte a sur.

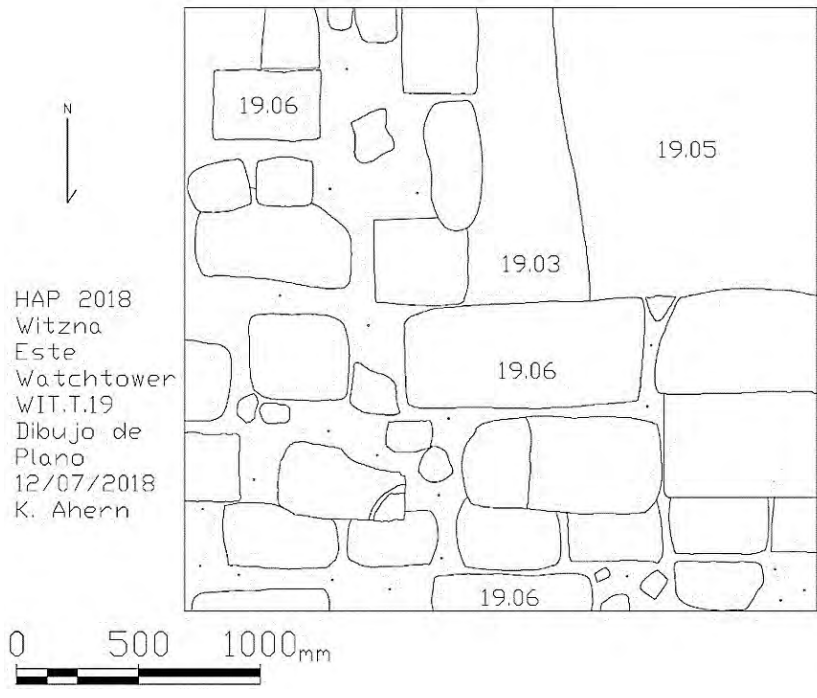


Figura 5.19. Dibujo de planta de la excavación WIT.T.19.

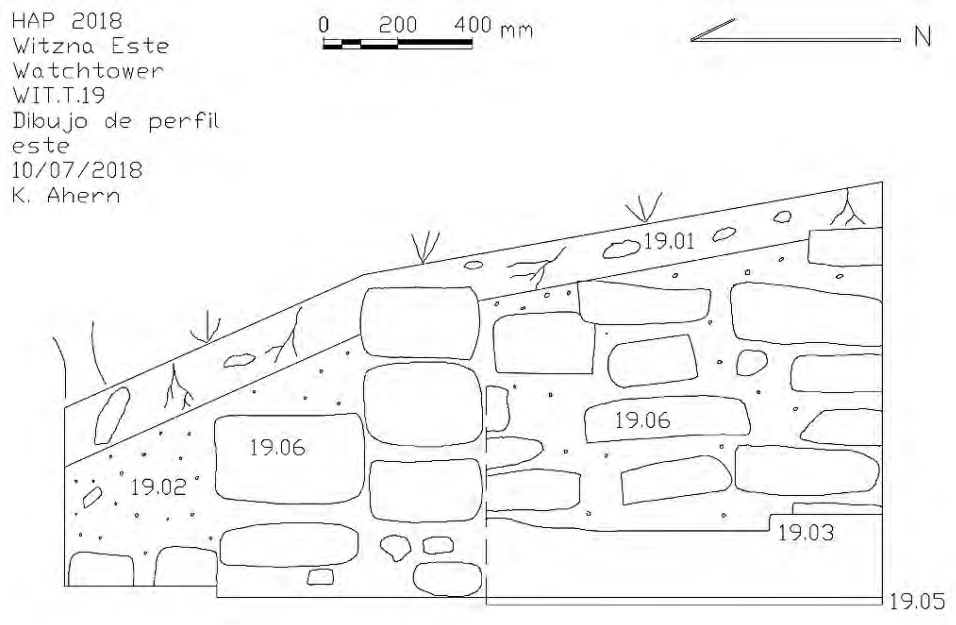


Figura 5.20. Vista de perfil este de la excavación WIT.T.19.

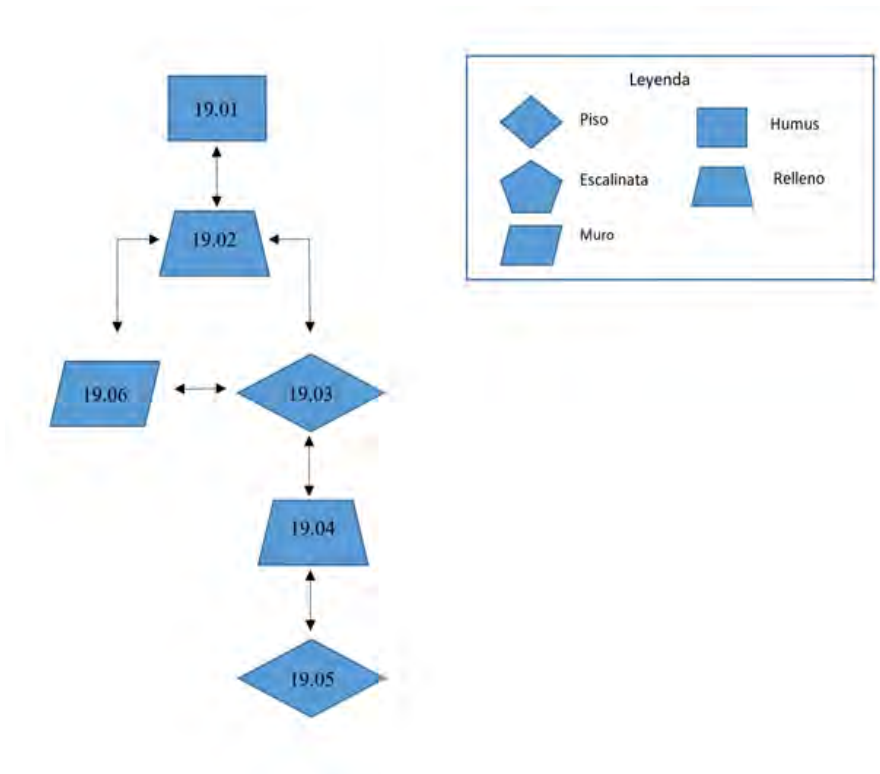


Figura 5.21. Matriz de Harris de la excavación WIT.T.19 (Elaboró K. Ahern).

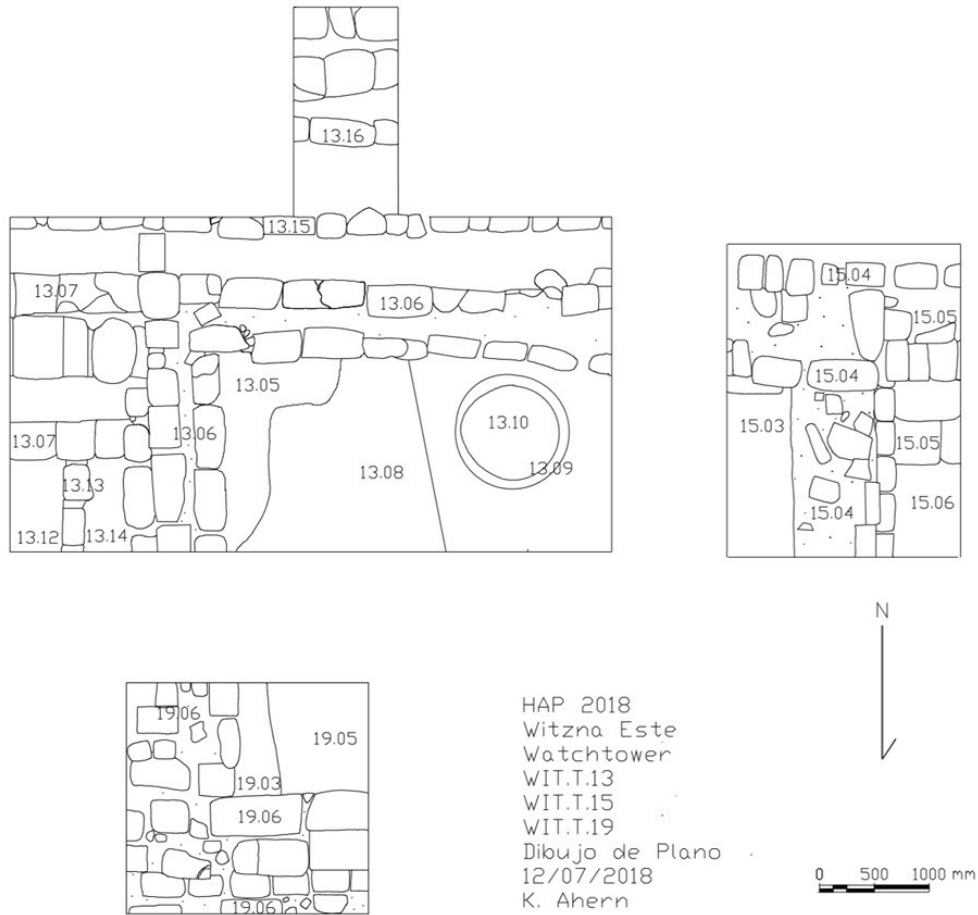


Figura 5.22. Dibujo de planta de las excavaciones WIT.T.13, WIT.T.15, y WIT.T.19.

EXCAVACIÓN WIT.T.22. LA ATALAYA

A finales de la temporada, se descubrió un fragmento de altar o estela en la plaza cerca de la Atalaya junto a un gran árbol de chicle. Se decidió abrir una excavación que midió 5.5 m de este a oeste y 4.5 m de norte a sur. Esta excavación tenía el único objetivo de buscar y descubrir más fragmentos del altar o estela.



Figura 5.23. Fragmento del altar (Foto K. Ahern).



Figura 5.24. Fragmento del altar (Foto K. Ahern).

DESCRIPCIÓN DE LA EXCAVACIÓN

El primer contexto excavado fue una capa de humus (WIT.T.22.01) con un espesor de 0.10 m. Esta capa se componía de raíces grandes y pequeñas (20%), piedras pequeñas (15%) y tierra de color oscuro granulada (65%). También contenía varias piezas del altar, una punta de lanza y dos bifaciales. El segundo contexto fue un piso rustico (WIT.T.22.02) con un espesor de 0.02 m. El piso estaba fuertemente dañado por las raíces del árbol de chicle y en la esquina noroeste el piso estaba quebrado, por ello se decidió continuar la excavación solamente en la esquina noroeste de la unidad.



Figura 5.25. Fragmento del altar (Foto K. Ahern).



Figura 5.26. Punta de lanza descubierta en el contexto WIT.T.22.02 (Foto K. Ahern).

Debajo del piso había un contexto de relleno (WIT.T.22.03) con 0.30 m de espesor. Esta capa consistía en piedras calizas grandes y medianas apiladas directamente una encima de la otra (90%) y tierra de color marrón oscuro (10%). El contexto final (WIT.T.22.04) era la roca madre desigual situada en la esquina del noroeste de la excavación.

CONCLUSIONES

Esta excavación reveló los fragmentos erosionados múltiples de un altar redondo. Aunque la mayoría de las piezas estaban demasiado erosionadas, había algunos fragmentos preservados. Curiosamente, todos los fragmentos del altar fueron descubiertos en la capa de humus (WIT.T.22.01). También se determinó que el piso rústico era parte del piso de la plaza. Con el último contexto, se comprobó que no existe una construcción más temprana.

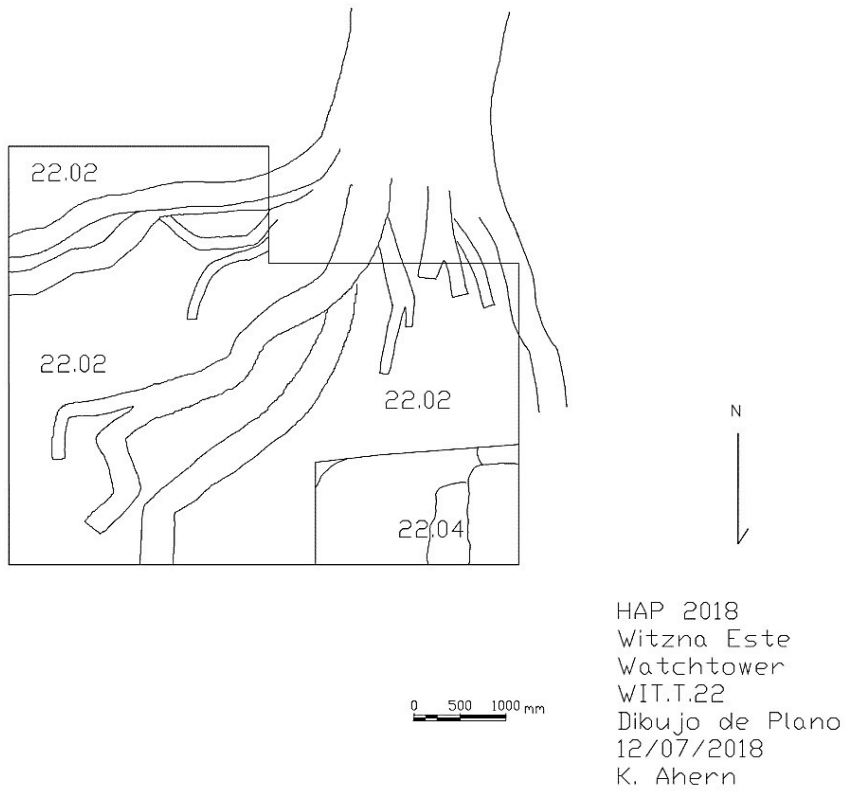


Figura 5.27. Dibujo de planta de la excavación WIT.T.22.

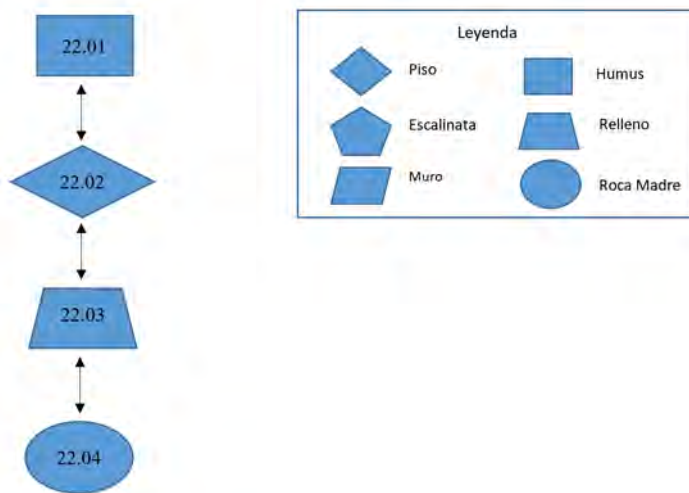


Figura 5.28. Matriz de Harris de la excavación WIT.T.22 (Elaboró K. Ahern).

CAPÍTULO 6 WITZNA ESTE, ESTRUCTURA 9.

Bhanny Girón

Universidad de San Carlos de Guatemala

EXCAVACIÓN WIT.T.18

La excavación WIT.T.18, se ubica sobre la Estela 4 de Witzna, cerca de la fachada oeste de la Estructura 9. Consistió en una excavación de 3 m x 2.30 m que posteriormente se fue ampliando, con orientación este-oeste. La estela se encontraba recostada y fragmentada, se retiró el humus para ver el tamaño, luego se excavo alrededor hasta llegar a la roca madre. El objetivo es ver que había debajo de la estela y como fue asentada; se realizó una extensión de 1.00 m x 1.50 m siempre dirección este-oeste, para encontrar más fragmentos de la estela.

DESCRIPCIÓN DE LA EXCAVACIÓN

La excavación se inició retirando y limpiando el humus, el cual se tomó como contexto WIT.T.18.01, que consistía en bastantes hojas caídas (90%), raíces delgadas (20%), ramas (10%), tierra de color gris oscuro, de consistencia poco compacta, textura suave, pequeños fragmentos erosionados de la estela. Debajo de este contexto se encuentra XMA.T.01.02, que es la Estela 3 que se encuentra recostada en su cara frontal y quebrada en varios fragmentos, en la parte posterior de la estela, se ha ido erosionando, se fue viendo al momento que se limpiaba que parte de la piedra se desprendía fácilmente, igualmente hacia los lados (Figura 6.1). En la cara frontal de la estela, uno de los fragmentos muestra ya erosión en ambos lados, el resto se puede observar detalles de un personaje. La parte donde fue asentada, aún conserva el estuco.



Figura 6.1. WIT.T.18.02, Estela 3 en su lado posterior, se observa la erosión que ha tenido la piedra y los fragmentos que se encuentra (Foto de B. Girón).

Debajo de este contexto se encuentra el contexto WIT.T.18.03, que consiste en raíces muy delgadas (25%), tierra blanca de consistencia suave y textura algo arenosa. Este contexto es una gran piedra grande de caliza que debido al tiempo se ha ido erosionando, al parecer fue puesta con el objetivo de dejar la estela recostada sobre ella (Figura 6.2).

Debajo se halla el contexto WIT.T.18.04, que consiste en tierra gris clara y oscura de consistencia suave, raíces delgadas (30%), raíces gruesas (10%), piedras de varios tamaños (75%), todo esto conforma un relleno, aquí se encontró bastante cerámica.



Figura 6.2. WIT.T.18.03, se observa la estela recostada sobre una gran piedra blanca de caliza y parte del relleno debajo de ella (Foto de B. Girón).

Debajo de este contexto se encuentra el contexto WIT.T.18.05, que consiste en raíces muy delgadas (20%), tierra blanca mezcla con tierra gris clara de consistencia suave y textura arenosa, piedras pequeñas (25%), piedras de caliza (90%), estas fueron colocadas formando un tipo plancha con la tierra bien apisonada y que funciona como nivelador con la roca madre y sostén donde fue asentada la estela.

El contexto WIT.T.18.06 corresponde a cinco piezas de excéntricos, estas se encontraban debajo de la estela donde fue asentada, no se encontraron más piezas (Figura 6.3). El contexto WIT.T.18.07 se encuentra debajo del contexto WIT.T.18.05, y corresponde a la roca madre, se pudo observar que la roca fue desgastada para colocar el asiento de la estela y el nivelador. Debido a que faltaba más partes de la estela, se hizo un pozo con dirección oeste con una medida de 1.00 m x 1.50 m, se le dio el contexto WIT.T.18.08, quitando primero el humus y tierra de saqueo, tierra gris oscura de consistencia suave, raíces delgadas (15%), raíces delgadas (10%), piedras de relleno (70%) se llegó hasta la roca madre sin encontrar más partes de la estela.



Figura 6.3. WIT.T.18.06, cinco piezas de excéntricos encontrados debajo del asiento de la Estela 4 (Foto de B.Girón, sin escala).

CONCLUSIONES

Cuando se hizo el levantamiento de la Estela 4, se comprobó que primero desgastaron parte de la roca madre para colocar una plancha de nivelación con piedras de caliza y tierra apisonado, para luego asentar la estela; debajo del asiento colocaron las ofrendas de excéntrico, cinco piezas que fueron encontradas, posteriormente pusieron un relleno para cubrir 1 metro de la estela para mejor sostenimiento. Como no se encontró piso arriba del relleno, es muy posible que hayan puesto tierra apisonada al nivel donde se cubrió.

Con fecha desconocida, probablemente para mediados del Clásico Tardío, la estela fue votada y quebrada por los mayas, no sin antes hacer primero un ritual de quema de incienso, esto se observa en los dos fragmentos que aún tienen detalles, especialmente en la parte del pie derecho (Figura 6.4), antes de botarla colocaron una gran piedra de caliza, dejando la estela tirada, la naturaleza y el tiempo se encargaron de cubrirla; se desconoce si durante el saqueo que sufrió la estructura los saqueadores se percataron de la estela o la ignoraron, ya que antes de hacer la excavación a simple vista parecía una acumulación de piedras de saqueo o de colapso cubiertas por hojas, tierra y raíces de árboles cercanos.

Uno de los fragmentos como se mencionó anteriormente, ya se ha borrado y presenta erosión, es la parte que correspondía a la cintura y parte del cuerpo, apenas si se puede distinguir donde posible hubieron glifos (Figura 6.5). La estela debió haber tenido una altura de 5 m aproximado, desde el nivel del asiento. Se determinó que solo el 60% de la estela se encontraba en el lugar, faltando parte del pecho, cuello, cabeza y el penacho que sería el 40% restante, hasta el momento se encuentra perdido. La fecha en que fue erigida se desconoce ya que no se encontró indicios de fecha o glifos que lo indiquen. Como se ha mencionado, la parte de atrás o posterior de la estela está erosionada, el tiempo y raíces muy delgadas que han crecido dentro de la piedra la han desgastado.



Figura 6.4. Fragmentos de la Estela 4, a la izquierda se observa parte del pie derecho y la sandalia del personaje, debajo restos de quemado, a la derecha parte del pie izquierdo y la rodilla (Foto de B. Girón).



Figura 6.5. Fragmento de la parte superior de la Estela 4, en su rostro frontal, los detalles han desaparecido y la piedra se ha ido erosionando (Foto de B. Girón).



Figura 6.6. La flecha indica la ubicación donde se encontraron las cinco piezas de excéntricos. Se puede observar el nivel hasta donde fue cubierta la parte inferior de la estela para su cimentación (Foto de B. Girón).

NOMENCLATURA



SIMBOLOGÍA

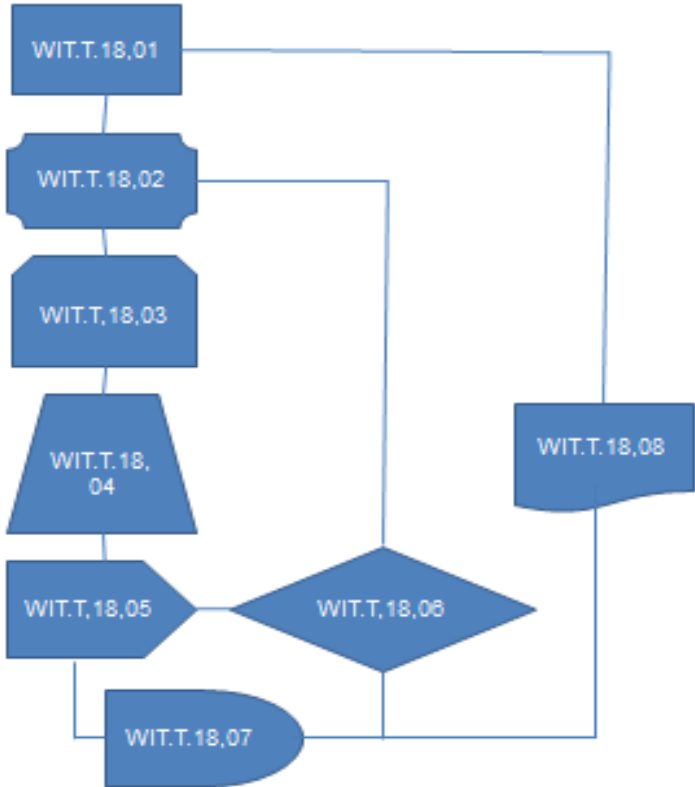


Figura 6.7. Matriz de Harris de la Excavación WIT.T.18 (Elaboró B. Girón).

EXCAVACIÓN WIT.L.20

Corresponde a una trinchera de saqueo, sobre la fachada oeste de la Estructura 9. El saqueo tendrá un aproximado de 13 metros de largo, de oeste a este, partiendo donde se encuentra la Estela 3. Como primer paso fue limpiar y retirar tierra y piedras de saqueo para poder ver bien el interior de la estructura y a donde habían llegado los saqueadores. El paso siguiente fue ver que había detrás del muro de contención que se observó al limpiar la trinchera. Terminado de investigar lo que había detrás del muro, se procedió a investigar detrás de la Estela 3 en dirección este, a lo cual se quitó humus, saqueo y parte del relleno original de la estructura, encontrándose ofrendas y una tumba con entierro funerario con su respectiva ofrenda.

DESCRIPCIÓN DE LA EXCAVACIÓN

El contexto WIT.L.20.01 corresponde a humus y saqueo, consiste en tierra gris oscura de consistencia suelta, también tierra blanca, bastantes hojas caídas (95%), piedras de colapso (20%), piedras de saqueo (60%), raíces de varios tamaños (45%), troncos de árboles podridos (7%), piedras de caliza (35%), piedras pedernal (26), relleno (60%), se levantó cerámica de superficie. Se limpió aproximadamente 13 metros, desde donde está la estela hasta el interior de la estructura (Figura 6.8).



Figura 6.8. Contexto WIT.L.20.01, limpieza de humus y saqueo, se observa la entrada de la trinchera (Foto de B. Girón).

El contexto WIT.L.20.02 contiene tierra gris oscura, de consistencia suave y textura arenosa, raíces de distintos tamaños (35%), piedras pedernal de varios tamaños (85%), piedras caliza pequeñas (25%), todo esto corresponde a un relleno de la última fase constructiva. Detrás de este contexto, se encuentra el contexto WIT.L.20.03 que corresponde a las gradas de escalinata de la penúltima fase constructiva, cada grada lo componen 2 bloques de piedra caliza talladas con una capa de estuco, el bloque pequeño mide aproximadamente 0.43 m de largo x 0.14 m de ancho y el bloque largo mide aproximadamente 0.73 m de largo x 0.19 m de ancho. Cada grada se divide por un pequeño relleno de piedritas con estuco.

Atrás de este contexto se halla el contexto WIT.L.20.04 que consiste en tierra blanca de consistencia suave con una mezcla de estuco, piedras pedernal pequeñas (75%) y grandes (45%), algunos bloques de piedra caliza (35%), todo esto conforma un relleno. Debajo de los contextos WIT.L.20.02,03 y 04, se encuentra el contexto WIT.L.20.05, que es un piso estucado y algo granulado en algunas secciones, de 0.08 m de grosor.

Debajo de este contexto se halla el contexto WIT.L.20.06, contiene tierra blanca de consistencia suave con una mezcla pequeña de estuco, piedras pedernal de pequeño y regular tamaño (95%), conformando un relleno. Detrás del contexto WIT.L.20.04 y arriba del contexto WIT.L.20.05, se encuentra el contexto WIT.L.20.07, que es un muro de contención compuesto por una mezcla de tierra gris oscura y piedras puestas, con un grosor de 0.25 m aproximado, una altura de 1.57 m; el muro corre de norte a sur y se desconoce cuánto tiene de largo.

En el momento que se limpió la trinchera, se pudo comprobar que los saqueadores fueron rompiendo y destruyendo la estructura, quitando los rellenos, parte de la escalinata y el piso, topándose con este muro y fue hasta este punto donde dejaron de continuar abriendo la trinchera (Figura 6.9). Después del registro de datos y fotografías, se abrió una sección del muro para investigar que hay detrás. Se encontró el contexto WIT.L.20.08, que corresponde a tierra gris oscura de consistencia suave, piedras pedernal de varios tamaños (75%) y de tipo piedrín (25%), que conforman un relleno largo. Debajo de este contexto se encuentra el contexto WIT.L.20.09, que es un piso estucado de 0.05 m de grosor, de aproximadamente 3.00 m de largo de oeste a este, en esta dirección se corta; el piso muestra marcas de quemado en varias partes (Figura 6.10), se encuentra al mismo nivel del contexto WIT.L.20.05.

Como se ha mencionado el piso corta en dirección este, a este punto se encuentra el contexto WIT.L.20.10, que es una pared semi-circular, tiene un grosor de 0.40 m; está compuesta de tierra gris oscura con una mezcla de estuco con piedras puestas, corre de sur a norte (Figura 6.11) y debajo de esta pared se encuentra el relleno del contexto WIT.L.20.06.



Figura 6.9. Muro de contención (WIT.L.20.07) marcado con color, se observa el relleno junto al muro, el piso destruido y el relleno debajo del piso (Foto de B. Girón).



Figura 6.10. Piso estucado (WIT.L.20.09) con restos de quemado (Foto de B. Girón).



Figura 6.11. Pared semi-circular (WIT.L.20.10), corriendo de sur a norte (Foto de B. Girón).

Detrás de este contexto, se halla el contexto WIT.L.20.11 que está compuesto de estuco mezclado con piedras calizas de varios tamaños (60%) de pedernal de distintos tamaños (28%) formando un tipo de muro de sostén. Debajo de este contexto se encuentra el contexto WIT.L.20.12 que es una pared estucada con mezcla de tierra gris oscura; dicha pared presenta mutilación, posiblemente hecho para colocar el muro de sostén, hacia vista sur se puede ver esta pared en su tamaño original, tiene un grosor de 0.40 m (Figura 6.12).

Atrás de los contextos WIT.L.20.11 y 12, se halla el contexto WIT.L.20.13 que consiste en tierra café oscura de consistencia suave y arenosa, bloques y piedras grandes de caliza (38%) piedras de pedernal grandes y muy pesadas (70%) que conforman un relleno y que se encuentra hacia el este, es posible que este relleno llegue hasta la parte más alta de la estructura y corre dirección sur-norte.

Fue en este contexto que no se siguió más adelante, por lo cual se determinó excavar debajo de los dos pisos (WIT.L.20.06 y WIT.L.20.09) ya que ambos se encuentran en el mismo nivel, para buscar el otro rostro de la pared semicircular (WIT.L.20.10), para ese momento se consideraba que era una pared circular y el objetivo era encontrar la otra cara. Se inició retirando el relleno (WIT.L.20.06) llevando la excavación a nivel de la roca madre (WIT.L.20.24). Se comprobó que seguía el mismo relleno al nivel de la roca y no había otro rostro de la pared, se dejó de excavar hasta este punto.



Figura 6.12. Pared estucada y mutilada (WIT.L.20.12) con vista hacia el oeste, al fondo se observa en la claridad la entrada de la trinchera de saqueo (Foto de B. Girón).

En el momento que se buscaba la otra cara de la pared semi-circular, se empezó a excavar cerca y detrás de la Estela 3 en dirección sur, para ver que se podía encontrar, llegando al nivel del saqueo. Se comenzó retirando el humus y parte del saqueo, aquí se encontró bastantes tiestos cerámicos al cual se le dio el número de contexto WIT.L.20.00, para registro de datos. Se quitó parte del relleno del contexto WIT.L.20.02, debajo de este relleno empezó aparecer fragmentos grandes de vasijas.

A estas vasijas se le dio el número de contexto WIT.L.20.14, consiste en dos vasijas de ofrenda, grandes y quebradas de color naranja, de boca ancha y labios delgados, sin borde, base redonda, grosor delgado, no presentan mucha erosión. A unos 0.80 m de distancia con vista al sur se encontró el contexto WIT.L.20.15, que corresponde a otra ofrenda, compuesta de 3 piezas, la primera es un plato quebrado de 0.40 m de ancho color naranja, grosor delgado y esta erosionado. La segunda es una vasija de tamaño mediano e incompleto, se encuentra sobre el plato en posición boca abajo, de color naranja y grosor delgado, presenta regular erosión. La tercera es otra vasija de menor tamaño e incompleta, también sobre el plato y al lado de otra vasija, en posición boca arriba, color naranja y grosor delgado, presenta algo de erosión (Figura 6.13).

En dirección hacia el este a unos 0.50 m de estos dos contextos, se encuentra el contexto WIT.L.20.16, que corresponde a una ofrenda, compuesta de dos platos quebrados e incompletos, el primero de color negro de unos 0.30 m de ancho, presenta erosión. El segundo plato es de color naranja, por encontrarse incompleto se desconoce su tamaño, y se encuentra muy erosionado. Al lado de este contexto se halla el contexto WIT.L.20.17, que es otra ofrenda y se compone de tres piezas. La primera es una olla grande de color rojo de unos 0.50 m de ancho, la pintura se ha caído, de labios delgados, grosor delgado, base redonda, su interior fue cubierta de tierra y no se encontró nada. El segundo es un cuenco grande que esta sobre la olla, de unos 0.50 m de diámetro, de labio delgado, base redonda y borde, su interior fue cubierta con tierra en el cual se halló dientes y huesos, el cuenco se encuentra quebrado y completo. El tercero es otro cuenco de regular tamaño que esta sobre el cuenco grande, de color rojo, incompleto y quebrado, de unos 25 cm de diámetro, labios y paredes delgadas, presenta erosión (Figura 6.14).



Figura 6.13. Ofrendas, contextos WIT.L.20.14 y WIT.L.20.15 (Foto de B. Girón).



Figura 6.14. Ofrendas, WIT.L.20.16 y WIT.L.20.17 (Foto de B. Girón).

A 0.40 m de distancia de este contexto hacia el este, se encuentra otra ofrenda con el número de contexto WIT.L.20.18, que corresponde a un cuenco de mediano tamaño, de color rojo oscuro y quemado, casi completo pero con erosión. Un poco más atrás de este contexto se halla el contexto WIT.L.20.19, que corresponde a otra ofrenda; consta de un plato de 0.25 m de ancho de color negro quemado, se encuentra quebrado en varios tientos y no presenta erosión. Debajo de este contexto se fue retirando tierra de color gris y unas piedras pedernal grande y pesado, donde se halló el contexto WIT.L.20.20.

Este contexto corresponde a tierra gris oscura de consistencia suave y textura arenosa, raíces delgadas (55%) bloques de piedra caliza puestos en pie de una medida aproximada de 0.60 m de largo x 0.20 de ancho, piedras de pedernal colocadas, que forman una tumba. Tiene 1.50 m de largo (sur-norte) x 0.90 m de ancho (oeste-este) y una altura de 1.00 m. Dentro de este contexto se encontró un entierro con restos óseos de un individuo de sexo desconocido y dos ofrendas funerarias, colocados sobre la roca madre (Figura 6.15).



Figura 6.15. Vista de planta de la tumba (WIT.L.20.20) con el material que se construyó, los restos óseos y la ofrenda funeraria, colocados sobre la roca madre (Foto de B. Girón).

A los restos óseos que están en el entierro se le dio el número de contexto WIT.L.20.21, los escasos huesos que se encontraron son partes del brazo izquierdo, la pelvis, la columna, algunas costillas del lado izquierdo quebrados, la mano derecha; parte del cráneo, la mano izquierda, las piernas, los pies, las costillas de lado derecho, el brazo derecho; se encontró espinas de mantarraya colocadas sobre las cervicales.

Asociado a este entierro se encuentran dos platos de ofrenda funeraria, el primero le corresponde número de contexto WIT.L.20.22; es un cuenco de 0.30 m de diámetro, de color negro quemado, casi completo, quebrado y erosionado, se halló pegado al brazo izquierdo, dirección este. Cerca de donde estuvo el cráneo se halla el contexto WIT.L.20.23, que es un cuenco de 0.28 m de diámetro de color negro quemado, incompleto, quebrado y erosionado. Debajo de estos tres contextos se halló el contexto WIT.L.20.24, que corresponde a la roca madre (Figura 6.16).



Figura 6.16. Vista de planta del entierro, los restos óseos, en círculo negro ubicación de las ofrendas funerarias y la roca madre (Foto de B. Girón).

CONCLUSIONES

En la trinchera de saqueo luego de su limpieza se pudo ver tres tipos de relleno, el piso que una parte fue destruida por los saqueadores y las gradas de la escalinata de la penúltima fase. Se comprobó que al encontrar los saqueadores el muro de contención se detuvieron, dejando una trinchera de aproximadamente 10 m, esto permitió ver el material utilizado para los rellenos así también el estado en que se encuentra el piso.

Dos de los rellenos que tiene la Estructura, el material utilizado fue estuco, piedra pedernal de diferente tamaños y piedra caliza, en algunas secciones se colocaron bloques de caliza con una mezcla de tierra blanca o tierra gris. El relleno (WIT.L.20.06) que es el primer relleno, se fue colocando conforme se encontraba la roca madre, lo nivelaron para poder poner el piso; como el piso tiene corte en dirección este, en forma de pared semi-circular y corre de sur a norte, se encuentra casi en el centro de la Estructura, tiene manchas de quemado y se encuentra liso; hacia el oeste fue puesto un muro de contención, dejando el piso dividido en dos, este muro se ubica de sur a norte. Al parecer se quiso conservar el corte del piso, tomando en cuenta que siguiendo al este hay otro tipo de muro, cuya función fue de sostén, y fue colocado sobre una pared mutilada, detrás se encuentra un relleno de piedras muy grandes y pesadas mezclado con tierra gris oscura; hace pensar que se construyó el muro de contención para preservar el muro semi-circular con el piso con muestras de quemado.

Se observa entonces que en este lado de la estructura hay cinco diferentes tipos de relleno, un piso dividido en dos, dando paso a cuatro fases constructivas. Se tuvo la suerte de que los saqueadores no notaran las ofrendas, aunque la mayoría se encuentran erosionadas, permite ver la importancia de la Estela 3 y la riqueza de sus ofrendas.

Así también, prácticamente debajo de los pies de los saqueadores se encontraba la tumba, al nivel donde se quedó el saqueo a unos 0.25 m. Aunque no es una tumba muy grande, ya que los restos óseos y las ofrendas funerarias fueron colocadas sobre la roca madre. La tumba presenta un entierro primario, los huesos encontrados hacen suponer dos ideas: 1) el esqueleto fue puesto en posición dorsal flexible siguiendo su anatomía y el resto de los huesos se desintegraron por completo a causa de la erosión y el tiempo o 2) fueron colocados por segmentos óseos siguiendo su anatomía.

Se desconoce si el individuo del entierro es el mismo con el personaje (lo que se puede distinguir en la estela); todo indica que en una fecha aún no determinada, se construyó la tumba antes de la penúltima fase de construcción de la estructura. Después de la penúltima fase, la tumba y las ofrendas que se hallaron afuera, fueron cubiertas por el relleno de la última fase; la Estela 3 pudo haber sido hecha en el periodo de la última fase constructiva.

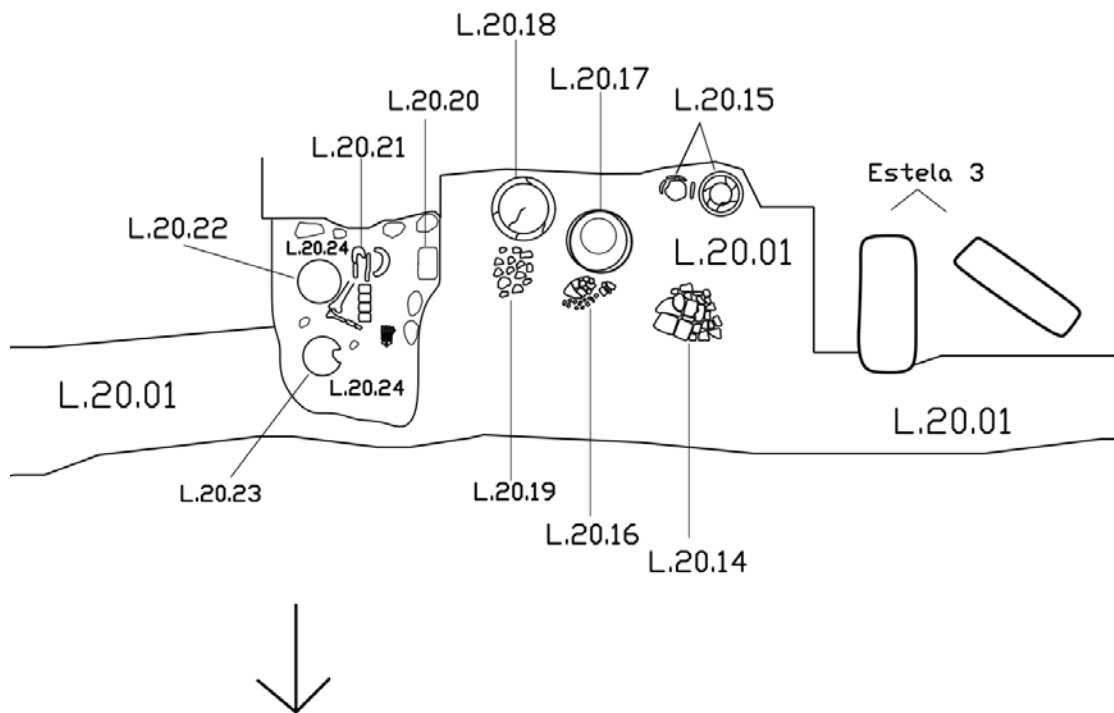
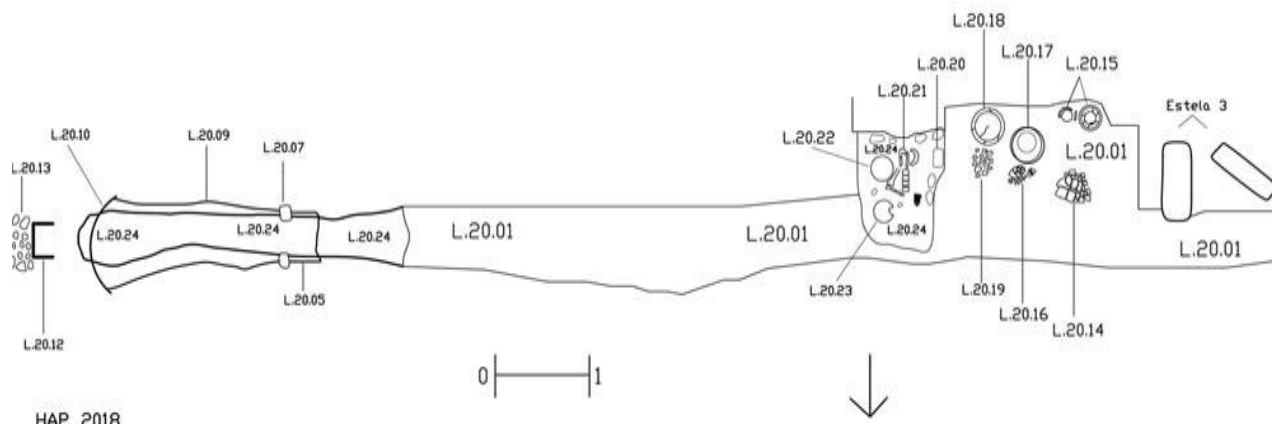


Figura 6.17. Vista de Planta de la Estela 3 con las ofrendas y entierro, WIT.L.20, Estructura 9 (Dibujó B. Girón).



HAP 2018
 WITZNA ESTE
 Estructura 9
 Planta
 Contextos: L.20.01,05,09-10,12-24
 Escala 1:1
 Dibujo: Bhanny Girón

Figura 6.18. Vista de Planta de la Excavación WIT.L.20, Estructura 9 (Dibujó B. Girón).

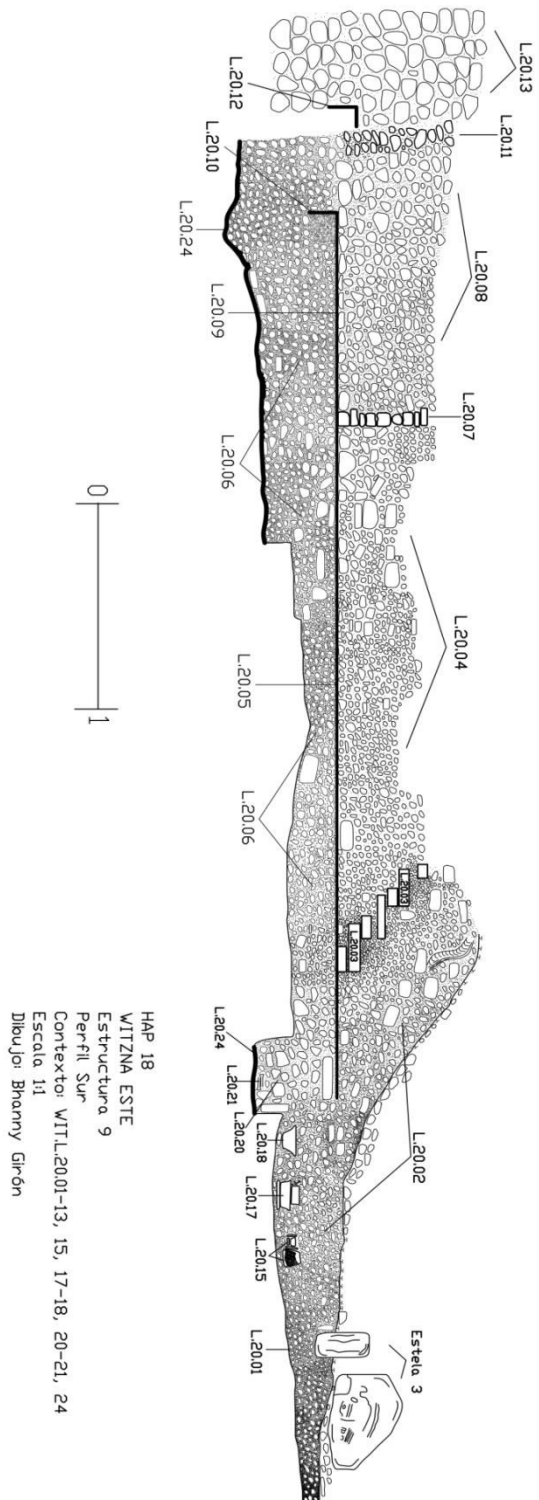
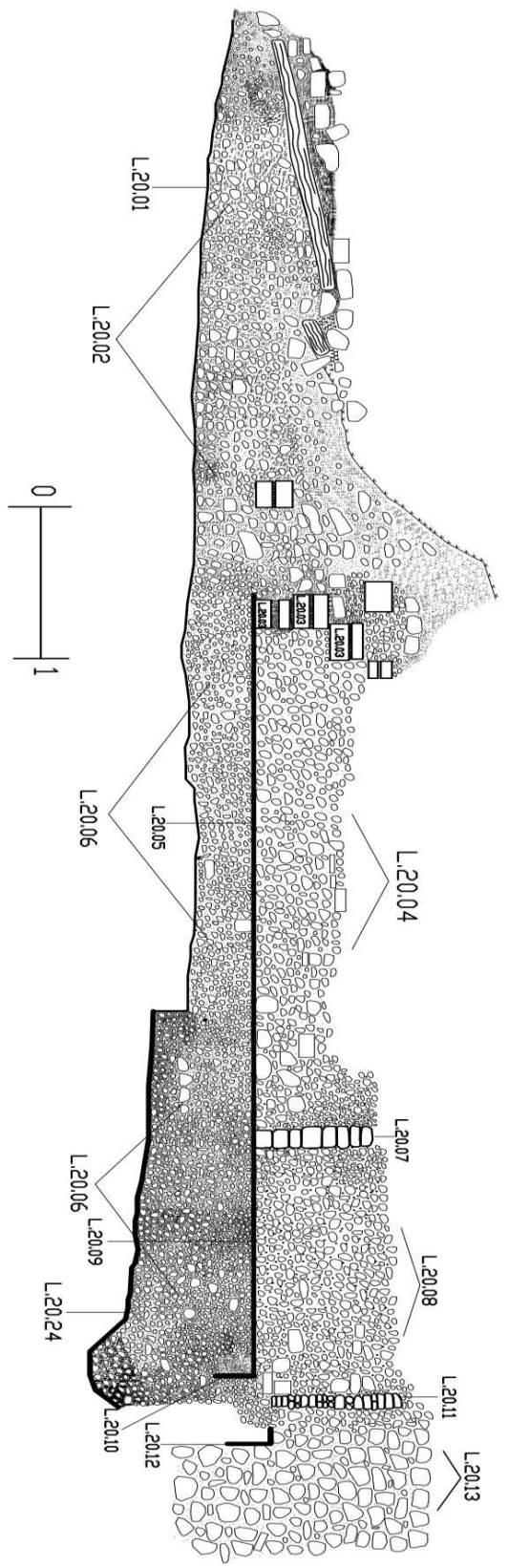


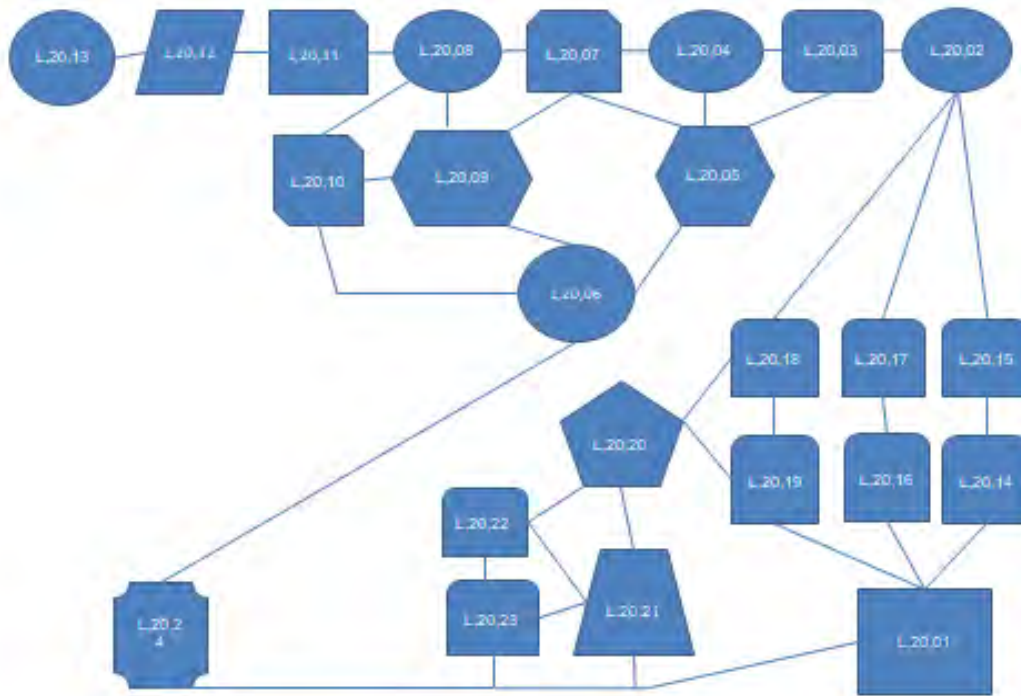
Figura 6.19. Perfil Sur de la Excavación WIT.L.20, Estructura 9 (Dibujó B. Girón).



HAP 2018
WITZNA ESTE
Estructura 9
Perfil Norte
Contexto WIT.L.20.01-13.24
Escala 1:1
Dibujos: Bharry Girón

Figura 6.20. Perfil Norte de la Excavación WIT.L.20, Estructura 9 (D. B. Girón).

Simbología



Nomenclatura



Figura 6.21. Matriz de Harris de la Excavación WIT.L.20 (Elaboró B. Girón).

EXCAVACIÓN WIT.L.21

Es una trinchera de saqueo, que se encuentra en la fachada este y parte superior de la Estructura 9, se excavo con el objetivo de descubrir que habían encontrado los saqueadores, ya que se habían encontrado varios tiestos cerámicos tipo ofrenda ritual. Los saqueadores habían destruido un doble piso dividido por un pequeño relleno quemado, debajo había bastantes tiestos cerámicos en conjunto y formando parte del relleno en dirección sur; debajo de este relleno se encuentra un cajón tipo tumba sin restos humanos salvo varios fragmentos cerámicos. Siguiendo hacia abajo se halla una losa de piedras puestas con una mezcla de estuco, continúa un relleno y más abajo hacia el este apareció una pequeña pared lisa y mutilada, a pocos centímetros se encontró un piso con marcas de quemado y partes del piso está quebrado.

DESCRIPCIÓN DE LA EXCAVACIÓN

Se inició con el contexto WIT.L.21.00, el cual corresponde a humus y saqueo, retirando tierra suelta de color gris clara con tierra blanca, raíces de distintos tamaños (55%), piedras de saqueo (25%), piedras de colapso (20%), hojas caídas (60%), fragmentos de piso y se levantó cerámica de superficie. El contexto WIT.L.21.01, corresponde a bastantes tiestos cerámicos de tipo ofrenda ritual, estos se encuentran formando parte de un relleno que está debajo de un doble piso. Dichos tiestos parecen ser del periodo Clásico Tardío, algunos fragmentos presentan quemado y se pudo observar carbón; se levantó buena cantidad (Figura 6.22) para un mejor análisis. Habiendo levantado los tiestos cerámicos, retirado el humus y saqueo, debajo se encontró el contexto WIT.L.21.02, que corresponde a tierra gris oscura mezclado con tierra blanca de consistencia suave y textura arenosa, raíces delgadas (35%), piedra caliza de diferentes tamaños (70%), piedra pedernal de distintos tamaños (45%).

Debajo de este contexto se encuentra el contexto WIT.L.21.03, que consiste en piedras colocadas con estuco y una mezcla de tierra blanca, lo que forma una losa de piedra con corte, pudo haber tenido una función de nivelación, ya que hacia el oeste, apareció un bloque de piedra caliza trabajado y colocado.

Retirando parte del relleno para ver que era esta piedra se encontró otros bloques, esto corresponde al contexto WIT.L.21.04, lo conforman tres bloques de caliza al este y tres bloques al oeste con vista hacia el sur colocados en línea, y otros bloques más pequeños arriba con una pequeña losa de piedra estucada haciendo la función de un pequeño piso y cerrando con piedras pedernal mezclado con tierra gris oscura, lo cual forma un cajón de tumba (Figura 6.23).



Figura 6.22. Contexto WIT.L.21.01, tientos cerámicos tipo ofrenda ritual (Foto de B. Girón).



Figura 6.23. Contexto WIT.L.21.04, piedras colocadas a los lados y arriba con una laja de piedra, mezcla con tierra gris oscura, forman un cajón de tumba (Foto de B. Girón).

Dentro de este contexto se halla el contexto WIT.L.21.05, que consiste en varios tiestos cerámicos tipo ofrenda, como no se hallaron restos óseos al parecer la tumba fue vaciada por los mayas, dejando los tiestos cerámicos. Debajo de este cajón se halló el contexto WIT.L.21.06, que contiene tierra blanca de consistencia suave y textura arenosa, raíces muy delgadas (30%), piedra caliza (60%) y piedra pedernal de varios tamaños (40%) formando un relleno.

Debajo de este contexto y de la losa de piedra (WIT.L.21.03) con dirección este, se encontró el contexto WIT.L.21.07, este es una pequeña pared pulida que se encuentra mutilada, corre de norte a sur y una altura de 0.20 m. debajo del último relleno y de esta pared pulida, se halla el contexto WIT.L.21.08, que es un piso estucado y con marcas de quemado, se encuentra quebrado en algunas secciones, corre de este a oeste y corta exactamente debajo de la pared (Figura 6.24).



Figura 6.24. Contextos WIT.L.21.07 y WIT.L.21.08, se observa la pared pulida y mutilada, detrás parte del relleno, debajo el piso estucado con marcas de quemado y donde corta, vista hacia el este (Foto de Bhanny Girón).

CONCLUSIONES

Después de haber retirado el humus a partir del saqueo y levantado abundantes tiestos cerámicos tipo ofrenda ritual, se descubrió que debajo de todo esto se encontraba un cajón de tumba sin restos óseos, se llegó a determinar que los huesos fueron removidos por los mismos mayas, posteriormente fueron dejados varios tiestos cerámicos como ofrenda y el cajón fue llenado con tierra gris oscura, luego hicieron un ritual ya que en la tierra se pudo observar restos de incienso y tierra quemada.

Luego de haber mutilado la pared lisa, quebraron el estuco del piso para poner el relleno, después hicieron una losa de piedra con estuco y corte mezclado con tierra blanca para nivelar, para luego construir el cajón de tumba. Después que fueron retirados los huesos de la tumba fue llenada en su interior con tierra gris y luego todo fue cubierto con el relleno. Los saqueadores abrieron la parte de arriba del cajón, esto se puede ver porque las piedras están movidas de su lugar original, al notar que solo había tiestos cerámicos lo dejaron allí, para después dirigirse más adentro hacia la estructura.



Figura 6.25. Vista de Planta con los contextos de WIT.L.21, perfiles sur, oeste y norte (Foto de B. Girón).

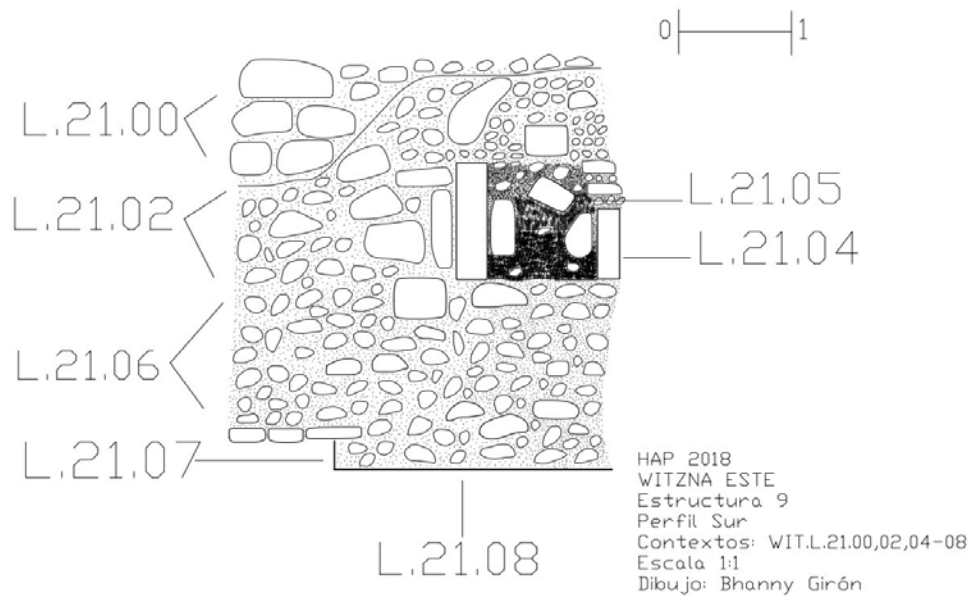


Figura 6.26. Perfil Sur de la Excavación WIT.L.21, Estructura 9 (Dibujó B. Girón).

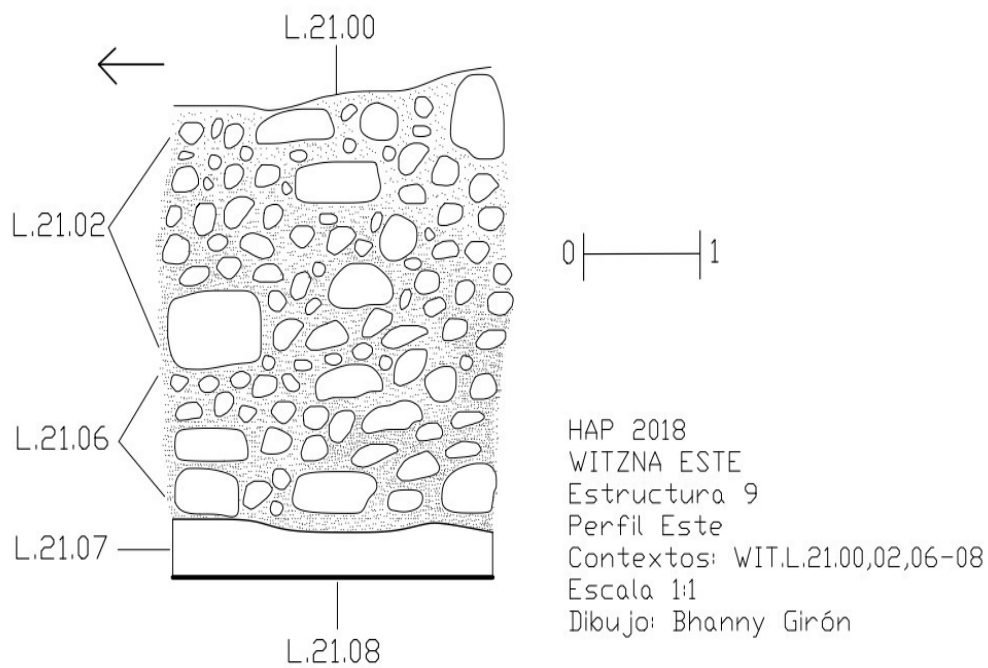


Figura 6.27. Perfil este de la Excavación WIT.L.21, Estructura 9 (Dibujó B. Girón).

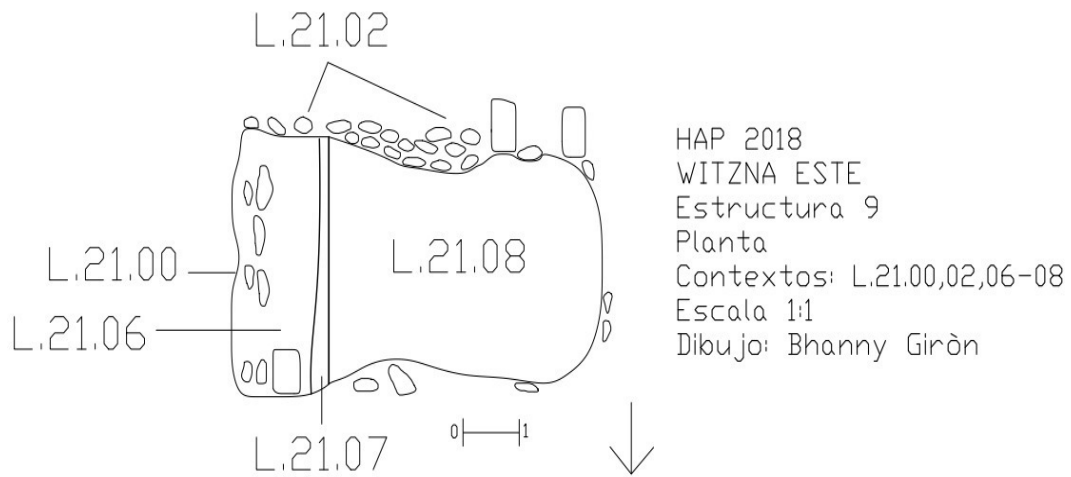


Figura 6.28. Vista de Planta de la Excavación WIT.L.21 (Dibujó B. Girón).

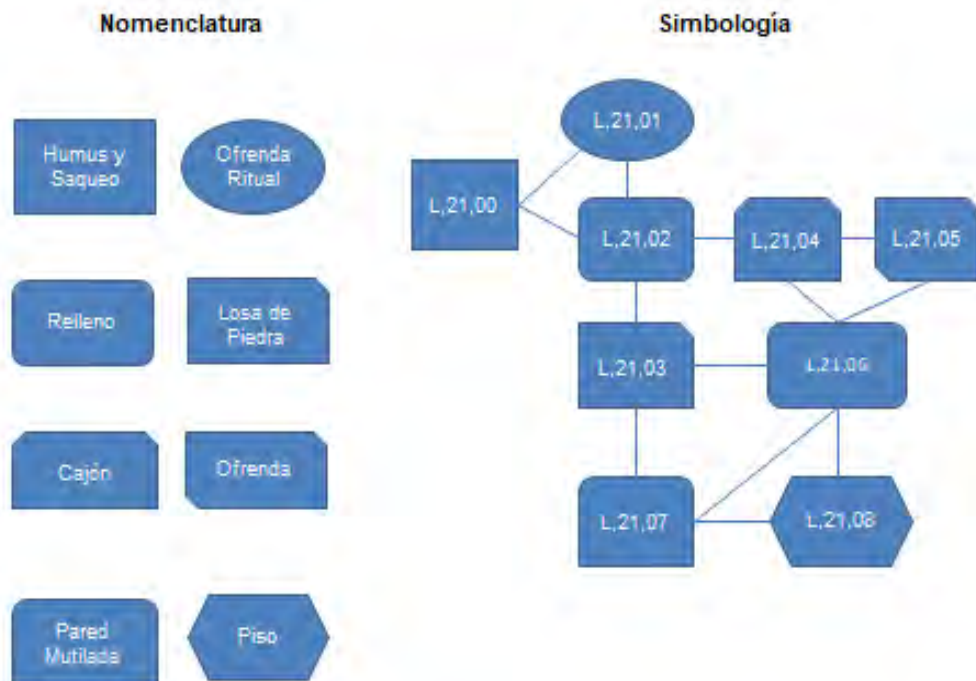


Figura 6.29. Matriz de Harris de la Excavación WIT.L.21 (Elaboró B. Girón).

CAPÍTULO 7 EXCAVACIÓN WIT.T.17, ESTRUCTURA 2, WITZNA.

Armando García

Universidad de San Carlos de Guatemala.

Para llegar al grupo Este de Witzna fue necesario abrir brecha sobre la selva, guiados por el Doctor Francisco Estrada Belli quien utilizó GPS. Al llegar al Grupo Este se observaron varios montículos y se verificó que si había trincheras de saqueo, se encontraron cuatro, en tres de estas trincheras se observó material de relleno y solo en una se observó un piso. Luego al observar detenidamente los montículos se formuló la hipótesis de que probablemente había cuatro estructuras, se enumeró cada uno de los montículos como estructuras dándoles numeración del 1 al 4. Seguidamente se procedió a limpiar la Estructura 2, ya que probablemente en este montículo se podría encontrar una estructura con una escalinata y una puerta al final de esta. En la Estructura 2 se hicieron cuatro excavaciones y a continuación se presentan los resultados de la excavación WIT.T.17.

WIT.T.17.01

El primer contexto de la excavación era humus, el cual estaba compuesto por hojas, raíces y piedras calizas.



Figura 7.1. Contexto WIT.T.17.01, humus (Foto de A. García).

WIT.T.17.02

Al retirar la capa de humus, aproximadamente a 0.30 m el color de la tierra cambió y se halló el segundo contexto, el cual estaba compuesto por tierra de color café claro, raíces y piedra caliza.

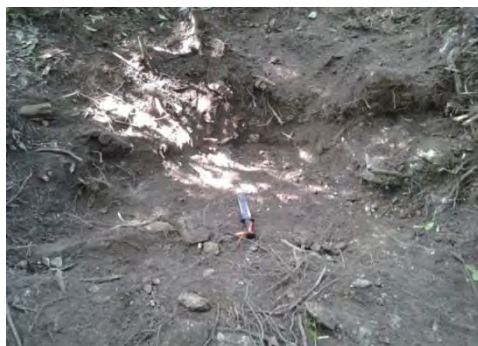


Figura 7.2. Contexto WIT.T.17.02 (Foto de A. García).

WIT.T.17.03

Al continuar con la excavación se observaron unos bloques de piedra caliza, los cuales al principio se pensó que eran gradas ya que estaban alineadas con las gradas que se encontraban en la parte inferior del montículo en la excavación WIT.T.18. Sin embargo, para estar seguros, se continuó excavando y se hizo una ampliación de 1 metro hacia el este al principio y luego de otros 50 centímetros en la misma dirección. El resultado fue el hallazgo de un muro, el cual estaba compuesto por bloques de piedra caliza alineados.



Figura 7.3. Contexto WIT.T.17.03, muro (Foto de A. García).

WIT.T.17.04

El muro se excavo dándole seguimiento hacia abajo hasta la parte inferior buscado evidencia de piso, el cual se halló en la parte norte del muro. El piso presentaba estuco de color rojo en la superficie y presentaba un corte hacia el sur similar al observado en el cuarto de la excavación WIT.T.II. El corte observado en el piso infiere que hubo una remodelación en la estructura.



Figura 7.4. Contexto WIT.T.17.04, piso con estuco de color rojo (Foto de A. García).

WIT.T.17.05

Superior al contexto WIT.T.17.04, se halló una capa delgada de piso de aproximadamente 0.02 m de grosor.



Figura 7.5. Contexto WIT.T.17.05, piso (Foto de A. García).

WIT.T.17.06

Debajo del contexto WIT.T.17.05 se halló otro piso de aproximadamente 0.10 m de grosor, el cual presentaba evidencia de exposición al fuego similar al observado en el cuarto de la excavación WIT.T.II. Si se analiza por qué el piso está quemado, se piensa que fue porque en el cuarto de la excavación WIT.T.II había un juego maya llamado *Patolli* y los mayas acostumbraban hacer rituales alrededor del juego, como por ejemplo quemar incienso.



Figura 7.6. Contexto WIT.T.17.06, piso estucado (Foto de A. García).

WIT.T.17.07

Superior al muro en la parte noreste se halló otro piso, el cual tenía aproximadamente 0.06 m de grosor.



Figura 7.7. Piso estucado mal preservado (Foto de A. García).

WIT.T.17.08

Inferior al contexto WIT.T.17.07 se halló un relleno de piedra caliza, el cual sirvió de base para construir el piso.



Figura 7.8. Contexto WIT.T.17.08, relleno (Foto de A. García).

WIT.T.17.09

Desde que se hizo el hallazgo del relleno del contexto WIT.T.17.08 hubo la necesidad de saber qué había debajo, ya que el relleno estaba bastante suelto y no se había encontrado relleno similar con las mismas características en esta excavación ni en las otras excavaciones del montículo. Se procedió a retirar el piso del contexto WIT.T.17.07, para poder comenzar a retirar el relleno del contexto WIT.T.17.08. Se retiró el relleno hasta encontrar el piso, el cual correspondía al contexto WIT.T.17.06 que se presentaba quemado.

Al darle seguimiento al piso el cual parecía ser de un cuarto, se halló un muro de piedra caliza en la parte oeste, el cual corresponde al contexto WIT.T.17.09.



Figura 7.9. Contexto WIT.T.17.09, muro Oeste
(Foto de A. García).

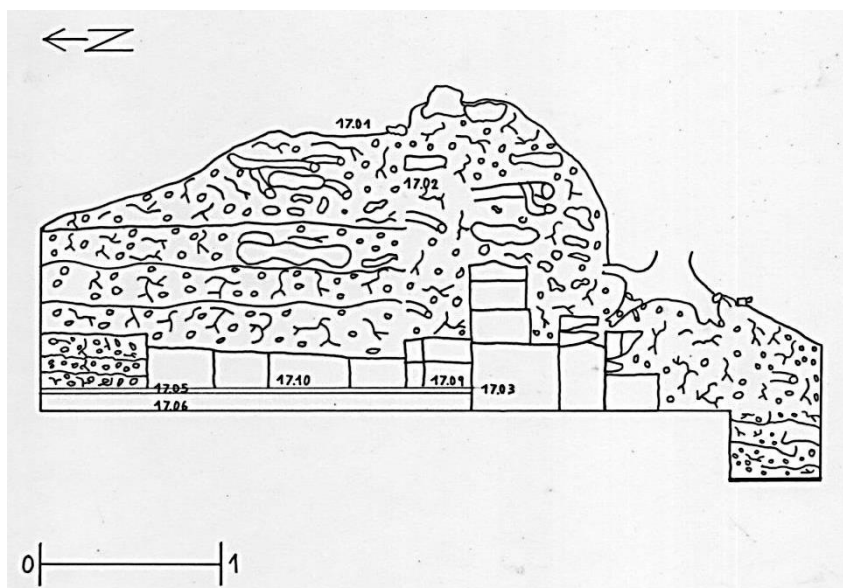


Figura 7.10. Perfil Este de la excavación WIT.T.17, con los contextos
WIT.T.17.01.02.03.05.06.09.10. Escala 1:25 (Dibujó A. García).

WIT.T.17.10

Al seguir retirando el relleno en dirección al norte y dándole seguimiento al piso, se encontró un muro de piedra caliza en la parte este.

WIT.T.17.11

Se procedió a trazar una ampliación en el límite sureste de la excavación, lo cual dio como resultado el hallazgo de un piso.

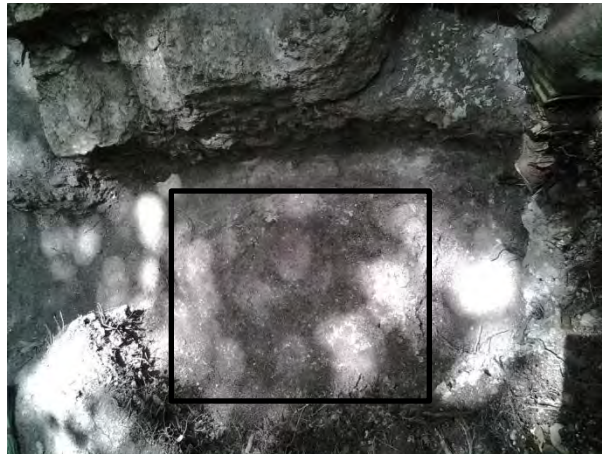


Figura 7.11. Contexto WIT.T.17.11, piso
(Foto de A. García).

WIT.T.17.12

El hallazgo de este contexto consistió en un piso, el cual se encontraba al sur del muro del contexto WIT.T.17.03 e inferior al piso del contexto WIT.T.17.11.



Figura 7.12. Contexto WIT.T.17.12, piso estucado (Foto de A. García).

WIT.T.17.13

Al continuar retirando el relleno del contexto WIT.T.17.08, siguiendo el piso y los muros hacia el norte, se hizo el hallazgo del muro norte el cual estaba compuesto por bloques de caliza de grandes.



Figura 7.13.
Contexto
WIT.T.17.1
3, muro
Norte.

WIT.T.17.14

En la parte inferior del muro norte del contexto WIT.T.17.13, se hallaron tres bloques de piedra caliza los cuales estaban unidos por estuco de color rojo. Se observó que estos bloques continuaban en dirección este-oeste. En el cuarto de la excavación WIT.T.17.11, también se observaron este tipo de bloques debajo del muro norte. Aproximadamente a 0.10 m abajo de estos bloques, se localizó un piso con estuco de color rojo el cual corresponde al piso del contexto WIT.T.17.04.



Figura 7.14.
Contexto
WIT.T.17.14,
bloques de piedra
caliza (Foto de A.
García).

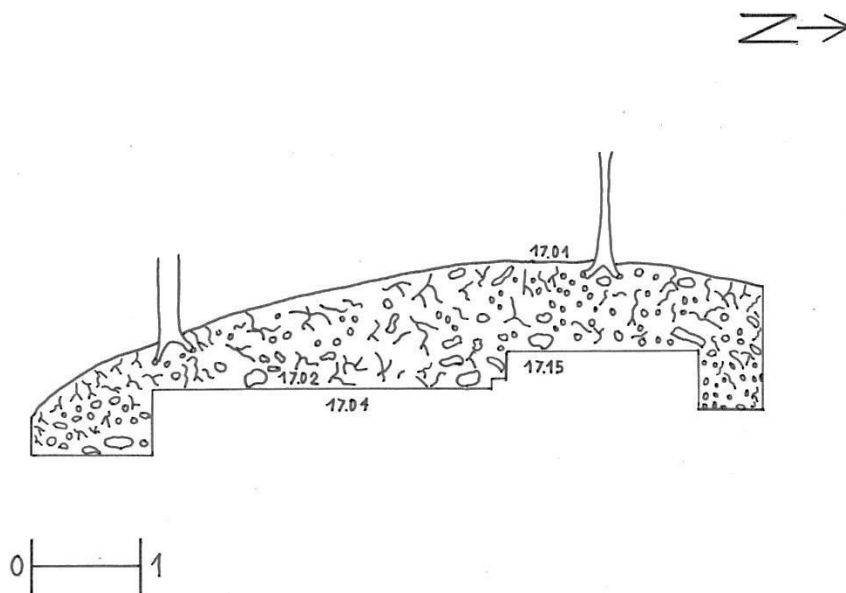


Figura 7.15. Perfil Oeste de la excavación WIT.T.17, con los contextos
WIT.T.17.01.04.15. Escala 1:50 (Dibujó A. García).

WIT.T.17.15

Se realizó una ampliación en el límite noroeste de la excavación siguiendo el piso, lo que dio como resultado el hallazgo de una banqueta.



Figura 7.16. Contexto
WIT.T.17.15,
banqueta
(Foto de A. García)

WIT.T.17.16

Se hizo una ampliación hacia el este siguiendo el piso de la banqueta del contexto WIT.T.17.15, lo que dio como resultado el hallazgo de unas gradas detrás del muro norte.



Figura 7.17.
Contexto
WIT.T.17.16,
gradas detrás del
muro Norte (Foto
de A.García).

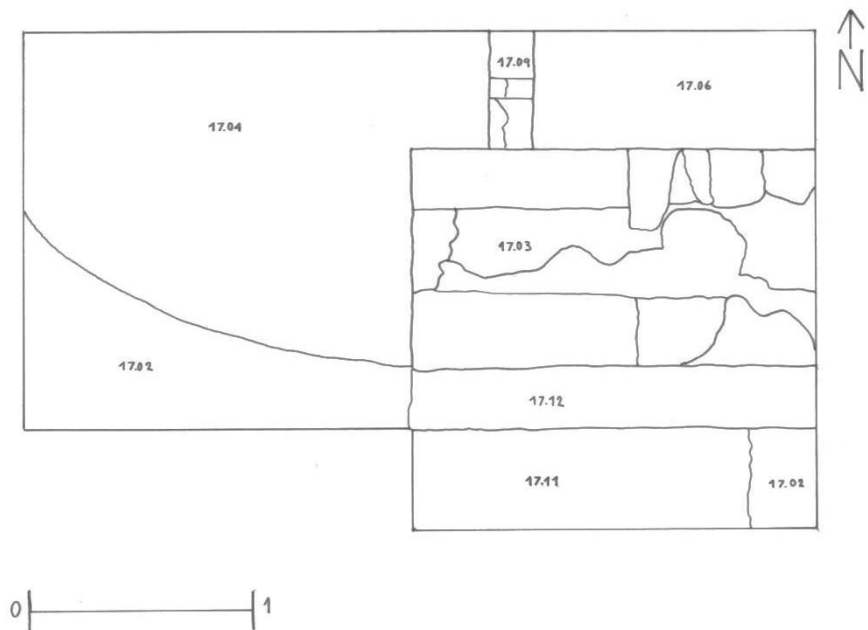


Figura 7.18. Planta de la excavación WIT.T.17, con los contextos WIT.T.17.02.03.04.06.09.11.12. Escala 1:20 (Dibujó A. García).

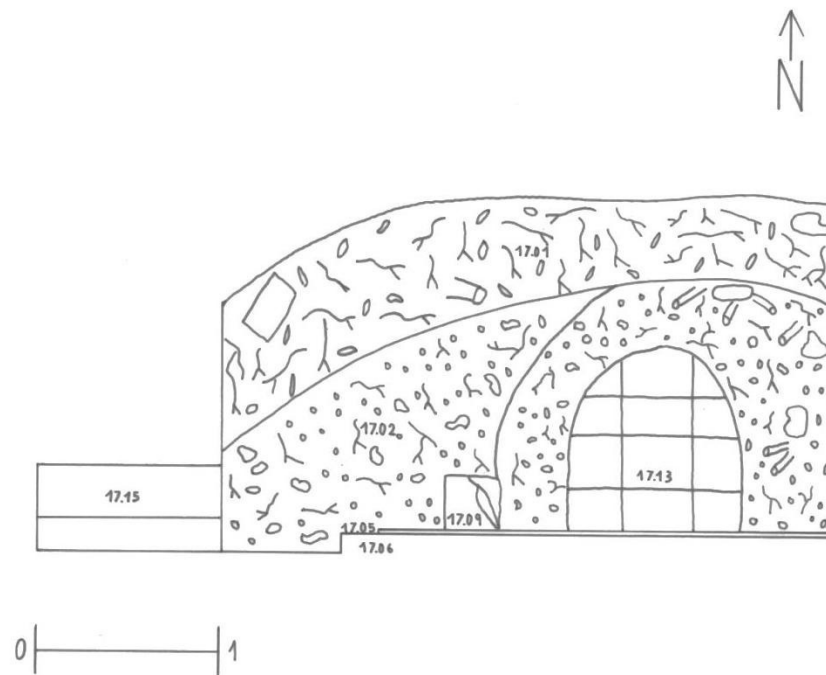


Figura 7.19. Perfil Norte de la excavación WIT.T.17, con los contextos WIT.T.17.01.02.05.06.09.13.15. Escala 1:25 (Dibujó A. García).

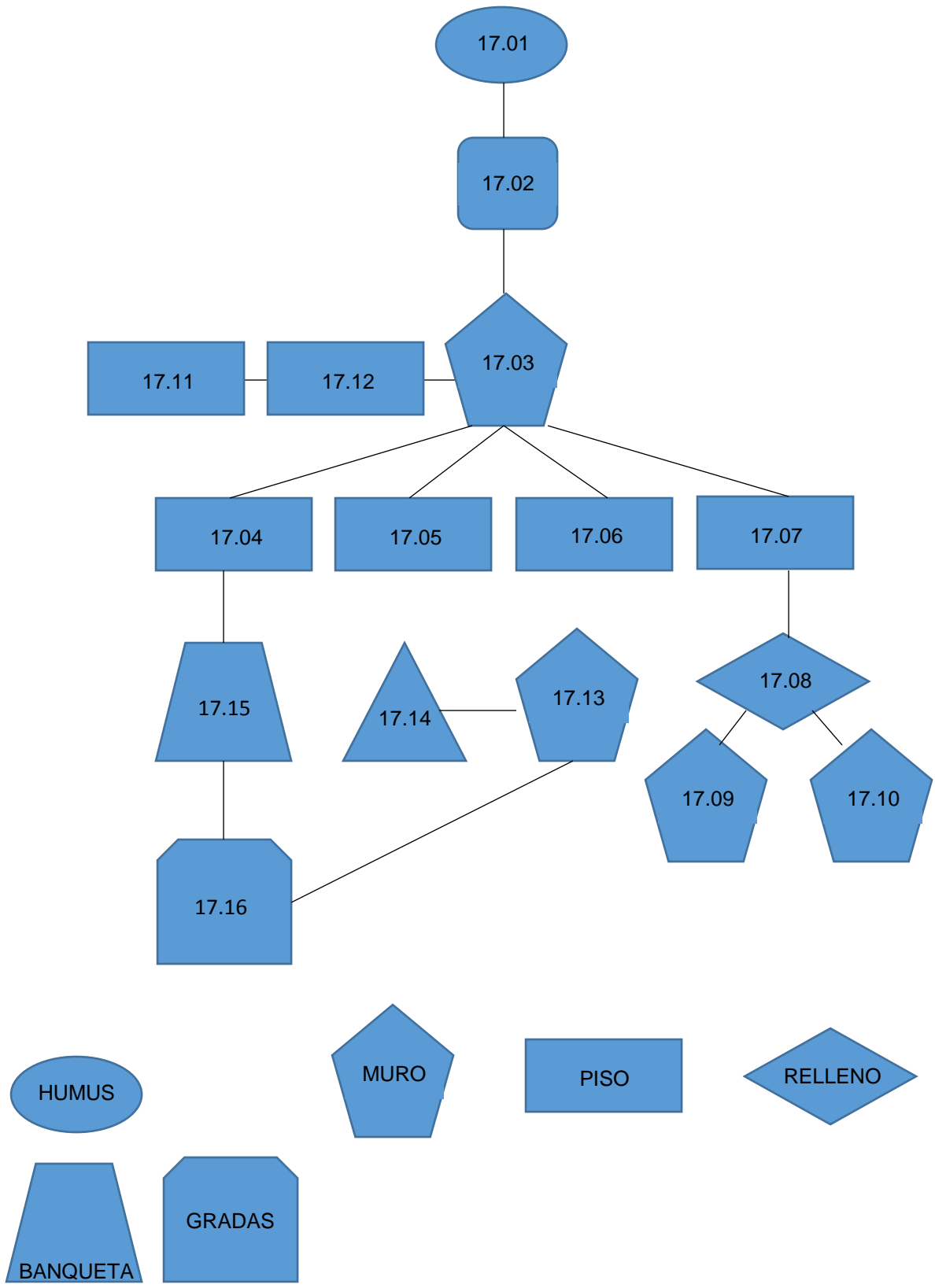


Figura 7.20. Matriz de Harris de la excavación WIT.T.17 (Elaborado por A. García).

CONCLUSIONES

En la Estructura 2, se localizó una escalinata y un vano de acceso en las excavaciones WIT.T.11, WIT.T.12 y WIT.T.18. La excavación WIT.T.17 es un cuarto, el cual es el anexo del cuarto de la excavación WIT.T.11, ya que presentan características similares en cuanto a pisos y muros.

Se hallaron siete fases constructivas asociadas a remodelaciones hechas en el cuarto identificadas a través de los pisos localizados.

El piso del contexto WIT.T.17.06 el cual presenta en la superficie evidencia de exposición al fuego, y que es el mismo de la excavación WIT.T.11 está adyacente al juego Maya *Patolli*, y lo quemado posiblemente se debió a actividades rituales que los mayas hicieron alrededor del juego.

Las gradas observadas detrás del muro norte, probablemente fueron de refuerzo y no como acceso hacia otro nivel o cuarto.

CAPÍTULO 8

EXCAVACIONES EN LA ESTRUCTURA 2, WITZNA ESTE

Edgar Quinac
Universidad de San Carlos de Guatemala

INTRODUCCIÓN

El sitio arqueológico Witzna ha sido objeto de investigaciones en 2016 a cargo del Proyecto Arqueológico Holmul; mismas que han dado como resultado la creación del mapa del área que ocupa la ciudad, así como la intervención arqueológica en el área central del sitio. En esta oportunidad las investigaciones se centran en el Grupo Este del sitio con las que se busca identificar la función que esta área del sitio tuvo durante su ocupación.

La ciudad de Witzna posee una serie de calzadas que conectan el área central del sitio con las áreas ubicadas en su periferia, tal es el caso de la calzada que conecta con el Grupo Este. El Grupo Este muestra arquitectura monumental formada de estructuras piramidales, plataformas y estructuras alargadas. Con las nuevas investigaciones en el Grupo Este será posible identificar el grado de complejidad que esta ciudad tuvo durante su apogeo.

Las excavaciones fueron ubicadas en distintos puntos de la estructura 2 del Grupo Este, mismas que ayudarán a identificar la función que esta estructura tuvo, así como su extensión, ya que debido a las capas de humos no es posible identificar su límite con la Estructura 1.

La Estructura 2 se encuentra ubicada sobre una plataforma de piedra caliza que conecta a la calzada que conduce al núcleo de la ciudad. Dicha estructura posee dos trincheras de saqueo en su perfil norte que inician en la base de la estructura hasta terminar a mediación de la construcción. La Estructura 1 no posee saqueos. La Estructura 3 del grupo está formada por un montículo pequeño que cuenta una trinchera de saqueo con las mismas descripciones las de la Estructura 2.

DESCRIPCIÓN DE LA EXCAVACIÓN

WIT.T.II

La unidad de excavación WIT.T.II se ubicó en la parte superior de la Estructura 2 del Grupo Este, misma que contaba con una extensión inicial de 3 metros en sus cuatro perfiles. Siendo los objetivos de la excavación identificar las etapas constructivas del edificio y la función que tuvo dicha estructura.

El primer contexto (WIT.T.II.01) correspondía a una capa de material orgánico compuesto por hojas y raíces de distintos tamaños producto de los árboles que se encuentran sobre la estructura, tierra café oscura de textura granulosa de consistencia suave y pequeños insectos (humus). Inmediatamente después se identificó el segundo contexto (WIT.T.II.02) conformado de tierra gris de consistencia suave granulosa, raíces de gran tamaño que provocaron el movimiento del material de relleno de la estructura, bloques de piedra caliza de distintos tamaños pertenecientes al relleno del edificio que formaron el 85% del material extraído y escaso material cerámico.

El proceso de extracción del material de relleno se realizó de forma periódica, extrayéndose de acuerdo a los hallazgos identificados durante la excavación. Se extrajo una punta de lanza de pedernal. Al continuar con la extracción del material de relleno se expuso una pared formada por bloques rectangulares de piedra caliza (WIT.T.II.03) en el perfil este de la excavación, al exponer la totalidad del muro se identificó estuco gris y parte del muro colapsado por efecto natural de las raíces.

Al mismo tiempo de la extracción del material de relleno (wit.t.11.02) y exposición del muro (WIT.T.11.03) compuesto de bloques rectangulares de piedra caliza en el perfil norte de la excavación (WIT.T.11.10) con lo que se identificó dos muros bien definidos de un cuarto con restos de su bóveda colapsada por efecto de las raíces.

La localización de un muro y una jamba (wit.t.11.04) en el perfil sur accedió a identificar la ruta de acceso hacia el interior del cuarto desde la fachada del edificio. La jamba se encuentra construida por bloques rectangulares de piedra caliza de distintas dimensiones, se identificaron raíces pequeñas entre sus bloques y tierra gris de consistencia granulosa compacta.

Posteriormente a la identificación de la jamba se continuó con la extracción del material de relleno (WIT.T.11.02) hasta identificar el nivel del piso del cuarto, un piso estucado de color rojo (WIT.T.11.06) con un corte en la esquina sureste de la excavación (WIT.T.11.14) relleno de piedras calizas pequeñas.



Figura 8.1. Piso estucado rojo con evidente corte superficial al inicio de las jambas del cuarto y un corte pequeño en su esquina noreste. Al fondo se identifican los bloques de piedra caliza del muro este, contextos wit.t.11.03, 04, 06 y 14 (Foto E. Quinac).

Siguiendo el nivel del piso en dirección oeste se identificó la segunda jamba y muro (WIT.T.11.13) que forma parte del acceso al interior del cuarto. Ésta se conforma de bloques rectangulares de piedra caliza pequeños. La acción de las raíces ha provocado que la jamba se encuentre colapsada.

Con la identificación de las jambas del cuarto se procedió a realizar una extensión de 1.50 metros en dirección sur tomando en su eje oeste-este la distancia que existe entre ambas. La excavación continuó siguiendo el nivel de piso del cuarto (WIT.T.11.06) hacia la extensión de la excavación en donde se identificó un corte en el piso, dicho corte mostró un piso estucado gris granuloso erosionado. Se continuó la excavación sobre el nivel de piso hasta llegar al inicio de las jambas en donde se procedió a realizar un pozo de 0.50 metros de extensión en su eje norte-sur y 1 metro de extensión en su perfil este-oeste.

Al iniciar con el pozo se identificó una capa de 0.20 metros de material de relleno constituida de tierra gris granulosa compacta con piedras calizas pequeñas. Al extraer los 0.20 metros de material de relleno se identificó un piso gris (WIT.T.11.07) granuloso de consistencia compacta erosionado, correspondiente a una etapa constructiva anterior a la expuesta dentro del cuarto. La excavación del pozo continuó y se dejó parte del piso (WIT.T.11.07) con lo que se redujo la extensión del pozo. Debajo del piso se identificó material de relleno (WIT.T.11.08) formado de piedras calizas de distintos tamaños que formaron el 65% del material extraído y tierra negra de consistencia granulosa suave que formó el 35% del material extraído del pozo que tuvo una profundidad de 2.49 metros desde el nivel de piso (WIT.T.11.07).

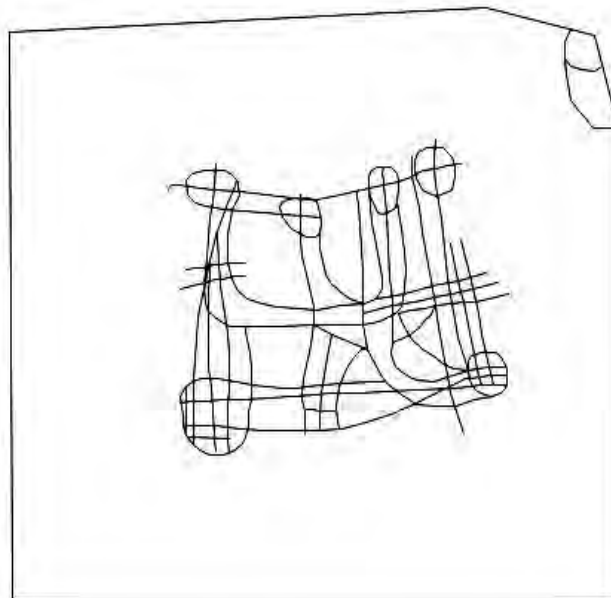


Figura 8.2. Jamba colapsa por efecto natural de las raíces y muro oeste. Contextos WIT.T.11.09 y 13 (Foto E. Quinac).

Al concluir la excavación del pozo se continuó con la extracción del material de relleno del cuarto (WIT.T.11.02) con lo que fue posible exponer el muro oeste del cuarto (WIT.T.11.09) formado de bloques rectangulares de piedra caliza. Con la exposición del muro oeste se procedió a extraer el material de relleno del cuarto para exponer un juego de *patolli* (WIT.T.11.05) adosado al muro oeste; dicho *patolli* se encuentra dibujado sobre una superficie rectangular estucada de color gris por medio de incisiones, representando figuras rectangulares y líneas en distintas direcciones. Al extraer el material de relleno contiguo al *patolli* se identificó un piso quemado (WIT.T.11.11) perteneciente a la misma etapa constructiva. El piso quemado se encuentra sobre el piso estucado de color rojo, con lo que se evidencia una remodelación y posible cambio de uso del cuarto.



Figura 8.3. Bloque de piedra caliza cubierto de estuco gris con incisiones que evidencian un *patolli* y piso de estuco gris quemado y fragmentado. Contextos wit.t.11.05 y 11 (Foto E. Quinac).



HAP 18
WIT.T.11.05
PLANTA PATOLLI
E. QUINAC
13/7/18

0 0.50m

Figura 8.4. Dibujo del *patolli* inciso sobre bloque de piedra caliza cubierto por estuco gris. Contexto wit.t.11.05., (Dibujó E. Quinac).

Con la exposición del *patolli* y piso quemado fue posible exponer en su totalidad la extensión de muro oeste y el muro norte del cuarto. En el muro oeste se identificó un acceso que conduce hacia el oeste de la excavación que comunicó hacia el exterior del cuarto. Dicho acceso se encuentra relleno de piedras calizas y raíces de distintos tamaños; por su parte, el muro norte muestra una ventana en su esquina noroeste rellena de piedras calizas y raíces de distintos tamaños. En el centro del muro se encuentra un acceso relleno de piedras calizas y raíces de distintos tamaños que da inicio a la altura del *patolli*.

El piso quemado (WIT.T.11.11) se retiró hasta llegar al nivel del piso estucado de color rojo, con lo que fue posible identificar una grada estucada de color rojo (WIT.T.11.12), perteneciente a la misma etapa constructiva correspondiente al contexto WIT.T.11.06, que da inicio en el *patolli* y termina en el muro este de la excavación.

La excavación de esta unidad llegó a su fin al retirar las rocas que sellaban el corte (WIT.T.11.14) que se identificó en la esquina sureste del cuarto; dicha unidad de excavación posee 0.50 metros de profundidad de la cual el 95% del material retirado fueron piedras calizas pequeñas y 5% de tierra gris suave de consistencia granulosa.



Figura 8.5. Muros expuestos del cuarto identificado durante la excavación. Unidad de excavación WIT.T.11 (Foto E. Quinac).

Como resultado de las excavaciones realizadas en la unidad WIT.T.11, se continuó con la investigación de los hallazgos identificados; siendo el objeto de estudio el acceso identificado en el muro norte de la unidad mencionada. Con lo que se establece el objetivo de identificar la extensión del acceso e identificar hacia dónde conduce. Registrando esta unidad de excavación como WIT.T.21.

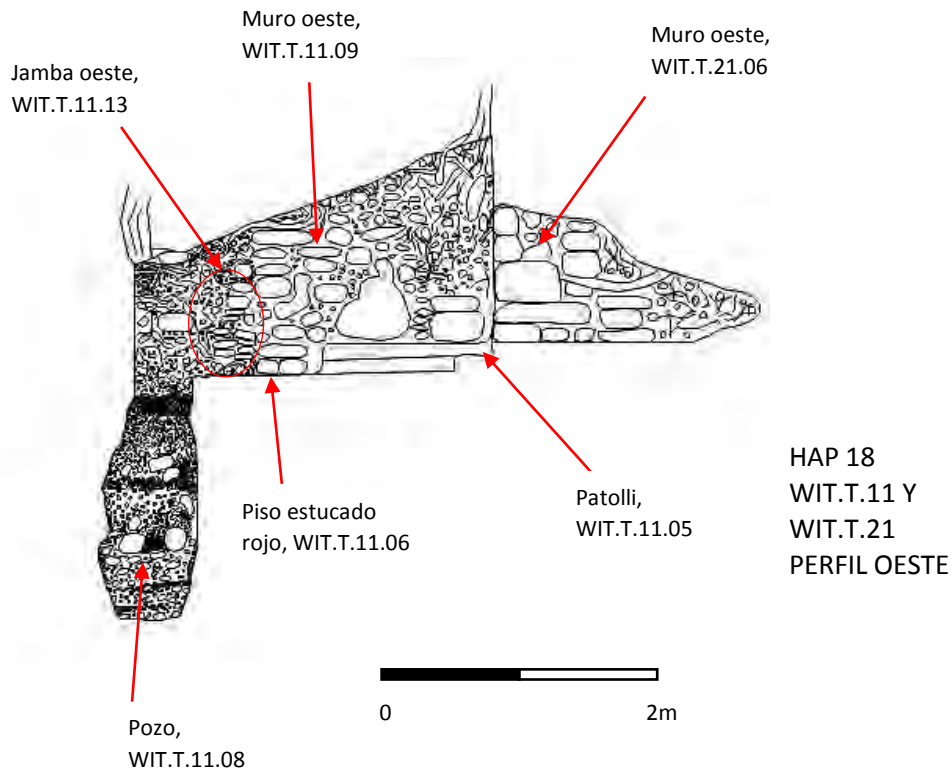


Figura 8.6. Perfil oeste del cuarto y acceso excavado en las unidades WIT.T.11 y WIT.T.21 (Dibujó E. Quinac).

WIT.T.21

Esta unidad corresponde a la excavación del acceso identificado en el muro norte del cuarto expuesto en la unidad WIT.T.11. Los trabajos de excavación en la unidad WIT.T.21 dan inicio con la extracción del material de relleno (WIT.T.21.01) formado por piedras calizas de distintos tamaños que formaron el 80% de material extraído, raíces de distintos tamaños que formaron el 9% del material y tierra gris de consistencia granulosa suave que formó el 10% del material retirado, el material cerámico formó el 1% del material extraído. La excavación de esta unidad se realizó sobre el nivel del piso identificado en el acceso.

Al retirar el material de relleno se identificó un piso estucado de color gris (WIT.T.21.04); así como los muros este (WIT.T.21.05) y oeste (WIT.T.21.06) del acceso, ambos muros están formados por bloques de piedra caliza rectangulares. La extracción del material de relleno terminó al identificar un tapón (WIT.T.21.02) construido con bloques de piedra caliza rectangulares que ocupaban toda la extensión de la excavación.



Figura 8.7. Tapón construido con bloques rectangulares de piedra caliza dentro del acceso que conduce al exterior de la estructura. Contexto WIT.T.21.02 (Foto E. Quinac).

Al retirar los bloques de piedra caliza del tapón se identificó material de relleno (WIT.T.21.03) compuesto en un 30% de piedras calizas de distintos tamaños; 60% de material orgánico compuesto de raíces, hojas e insectos y el 10% de tierra negra de consistencia granulosa suave. Al realizar la extracción del material de relleno fue posible identificar un corte en el piso y el fin de los muros del acceso, cabe mencionar que el piso del acceso se encontraba sobre una trinchera de saqueo, siendo los 0.10m del grosor del piso los que separaban la trinchera de saqueo de la unidad de excavación. La unidad de excavación finalizó al salir en la parte trasera de la estructura.



Figura 8.8. Acceso que conduce del cuarto al exterior de la estructura. Nótese el piso y muros del acceso. Unidad WIT.T.21 (Foto E. Quinac).

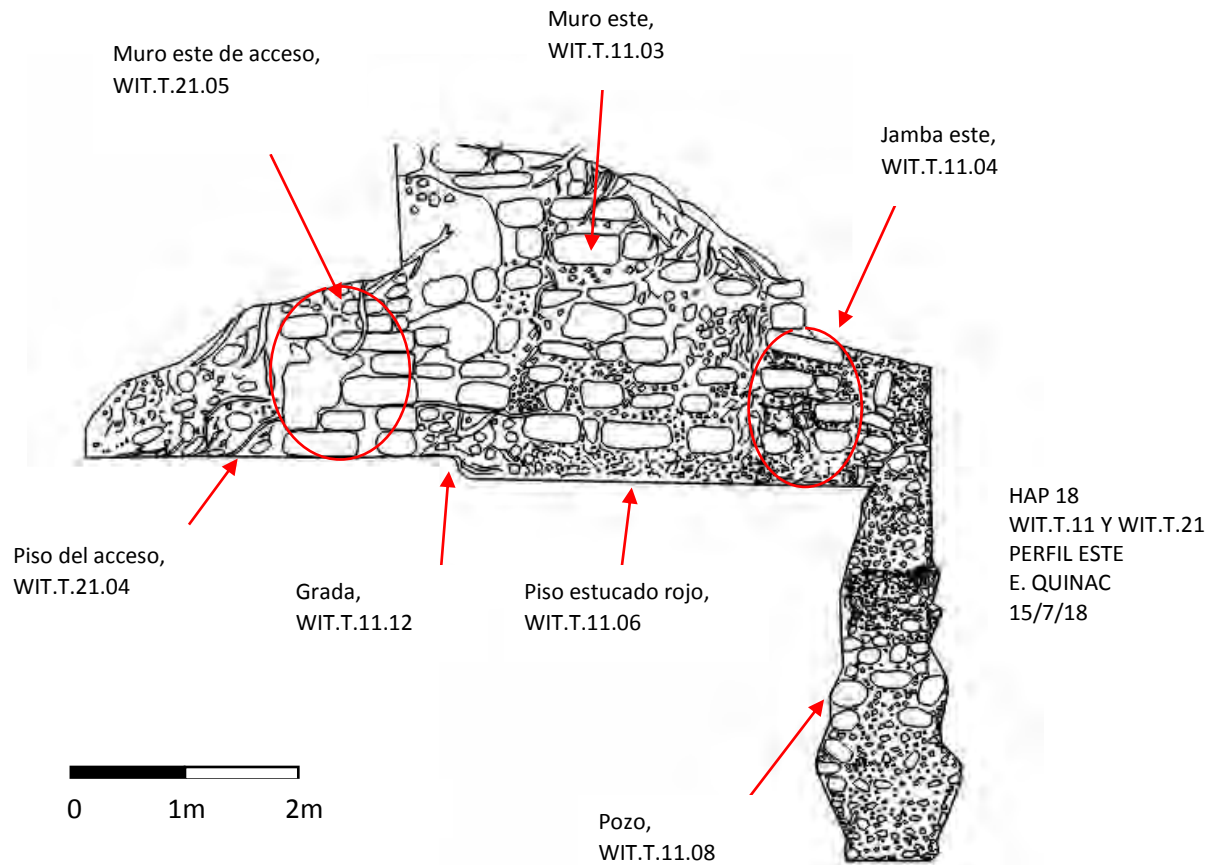


Figura 8.9. Dibujo del perfil este del cuarto y acceso que conduce a la parte posterior de la estructura excavados en las unidades WIT.T.11 y WIT.T.21 (Dibujó E. Quinac).

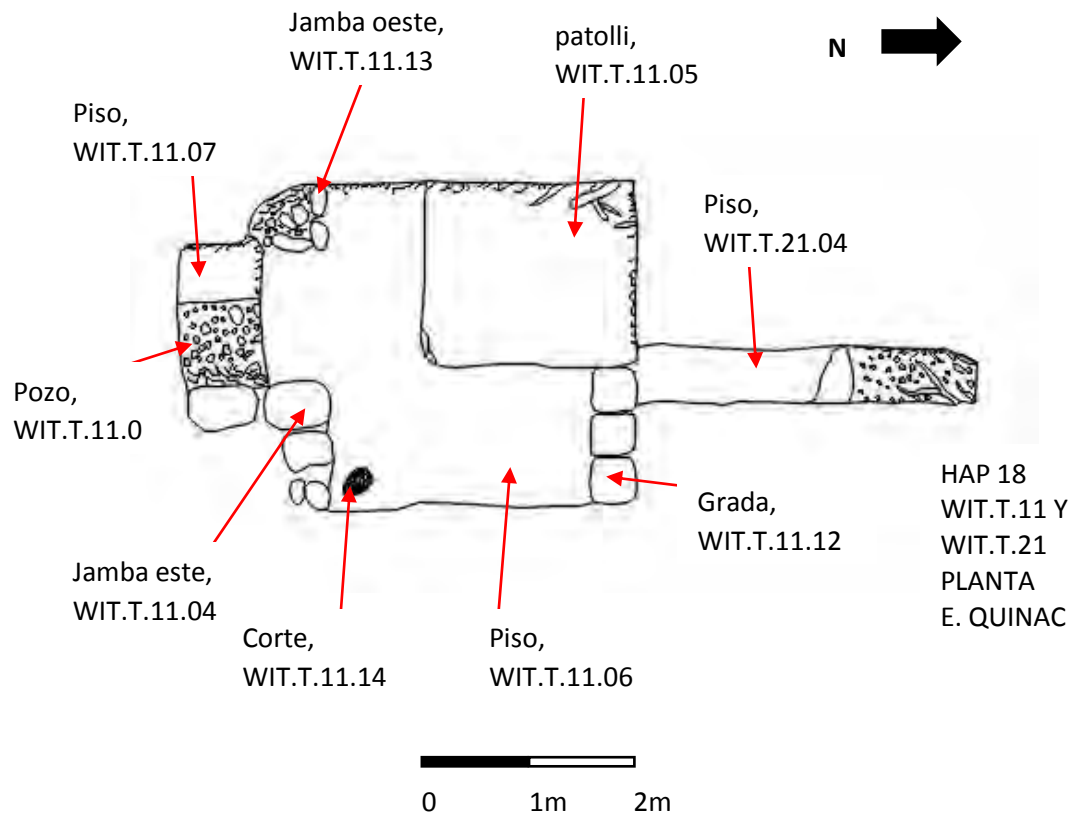


Figura 8.10. Planta de las unidades de excavación WIT.T.11 y WIT.T.21 con las que fue posible identificar los accesos que conducen al exterior del cuarto (Dibujó E. Quinac)

WIT.T.12

La unidad de excavación WIT.T.12 fue ubicada en la base del edificio de la Estructura 2 de Witzna Este. Posee una extensión de 3 metros sobre su eje norte-sur y 3 metros sobre su eje este-oeste. El objetivo de la excavación es identificar la escalinata de la estructura y el nivel de plaza.

Los trabajos de excavación dieron inicio con la extracción de la capa de humos (WIT.T.12.01) formada en un 40% por material de origen orgánico integrado de hojas, raíces e insectos; 30% de tierra negra de consistencia granulosa suave, 30% por piedras calizas de distintos tamaños, el material cerámico extraído ocupa el 1% del material extraído.

Al retirar el material orgánico se expusieron cuatro escalones de la escalinata (WIT.T.12.02), los escalones fueron construidos con bloques de piedra caliza rectangulares de distintos tamaños. Debido a la acción de las raíces de los árboles que se encuentran cerca de la excavación algunos de los bloques se encuentran fuera del lugar que fueron colocados. Cada uno de los escalones posee presencia de raíces de distintos tamaños.

Al continuar con la extracción del material de relleno (WIT.T.12.03) se expuso un escalón (WIT.T.12.04) adosado a la estructura del edificio que limita la extensión de la escalinata identificada. Dicho escalón se encuentra colapsado en la parte superior por causa de las raíces, dicho elemento presenta vestigios de estuco rojo sobre los bloques de piedra caliza rectangulares que lo conforman.



Figura 8.11. Gradas de escalinata que conduce hacia la parte superior del edificio, estructura escalonada, piso de plaza y muro norte expuestos durante los trabajos de excavación. Contextos wit.t.12.02, 04, 05 y 06 respectivamente (Foto E. Quinac).

Al identificar el escalón se continuó retirando el material de relleno hasta exponer el piso de plaza (WIT.T.12.05) estucado de consistencia granulosa, erosionado por factores naturales. Al exponer el piso de plaza se identificó el inicio de la escalinata y del escalón adosado a la estructura. Durante los trabajos de limpieza de la excavación fue posible identificar un muro (WIT.T.12.06) formado de bloques rectangulares de piedra caliza detrás del escalón identificado, lo que permite determinar la arquitectura del edificio como una estructura escalonada.

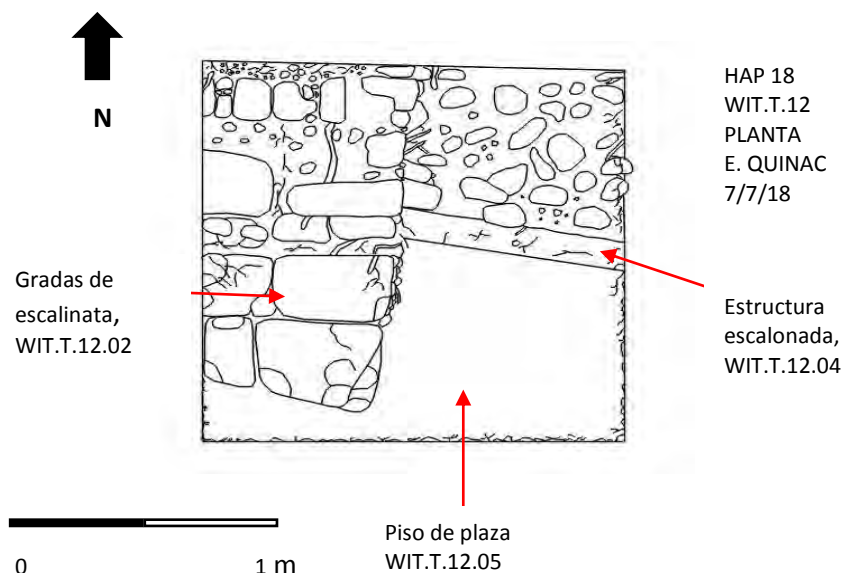


Figura 8.12. Planta de la unidad de excavación WIT.T.12. (Dibujó E. Quinac).

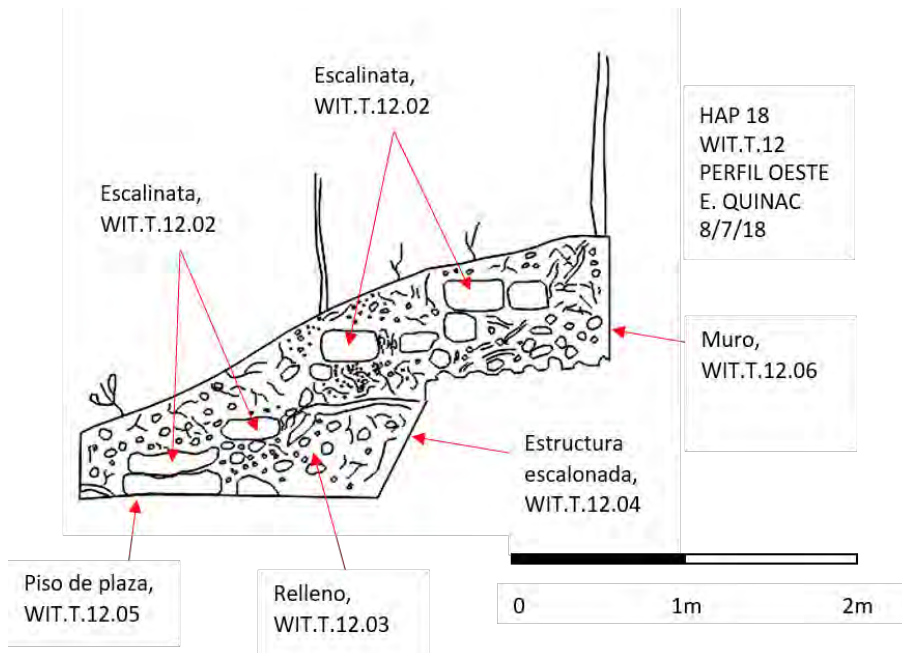


Figura 8.13. Perfil oeste de la unidad WIT.T.12 con la escalinata, estructura escalonada y piso de plaza.m(Dibujó E. Quinac).

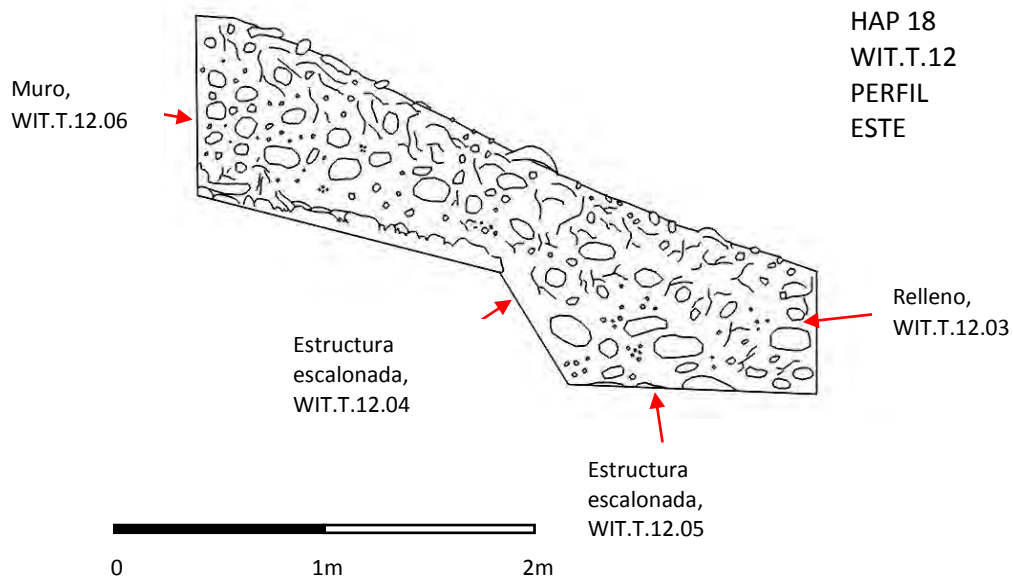


Figura 8.14. Perfil este de la unidad WIT.T.12 con la estructura escalonada. (Dibujó E.Quinac).

WIT.T.16

La unidad de excavación WIT.T.16 se ubicó en el límite oeste de la Estructura 2 Witzna Este en la base de la estructura, posee una extensión de 2 metros en su eje norte-sur y 2 metros en su eje este-oeste. Los objetivos de la excavación fueron identificar el nivel de plaza, exponer la escalinata de la estructura e identificar las etapas constructivas del edificio.

La excavación dio inicio con la extracción de la capa de humus (wit.t.16.01) formada por el 70% de material orgánico de origen vegetal, 20% de tierra negra de consistencia granulosa suave, 9% de piedras calizas de distintos tamaños y 1% de material cerámico. Al retirar la capa de humus se expusieron tres escalones de la escalinata (WIT.T.16.02) en toda la extensión de la excavación; los escalones fueron contruidos con bloques rectangulares de piedra caliza de distintas dimensiones, a pesar de ser bloques de un tamaño considerable las raíces provocaron que parte de ellos se colapsaran y desplazaran de su lugar.

Al retirar la capa de humos se extrajo material de relleno (WIT.T.16.03) constituido de piedra caliza en un 75%, tierra gris 10% y raíces de distintos tamaños 15%. Dentro de cada bloque se retiraron raíces de distintos tamaños. Posterior a la exposición y limpieza de los escalones se procedió a buscar el nivel de plaza (WIT.T.16.04). El material del piso de plaza se encuentra erosionado por causa de las raíces de los árboles que se encuentran cerca de la excavación. El piso es estucado de consistencia granulosa.

Al identificar el piso de plaza se retiraron los bloques de la escalinata y se procedió con la excavación de un túnel de 1 metro de ancho en el centro de la excavación en su perfil norte. El material extraído debajo de los bloques de la escalinata está formado por material de relleno (wit.t.16.05), dentro de la cerámica recuperada se encuentra tiosos policromos. La excavación del túnel terminó con una extensión de 11.65 metros, dicha excavación se realizó sobre el nivel de piso de la plaza.

El piso de plaza mostró un corte a una distancia de 8.70 metros hasta el final de la excavación. Posteriormente se realizó un pozo de 2 metros de largo (WIT.T.16.06) por el ancho del túnel desde el inicio del corte para identificar la roca madre del cual se extrajo material de relleno compuesto de piedras calizas, tierra gris y tierra negra, dicho pozo tiene una profundidad de 0.97 metros hasta llegar a la roca madre (WIT.T.16.07).



Figura 8. 15. Bloques de la escalinata durante su extracción para iniciar la excavación de un túnel en la estructura. Contexto wit.t.16.02 (Foto de E. Quinac).

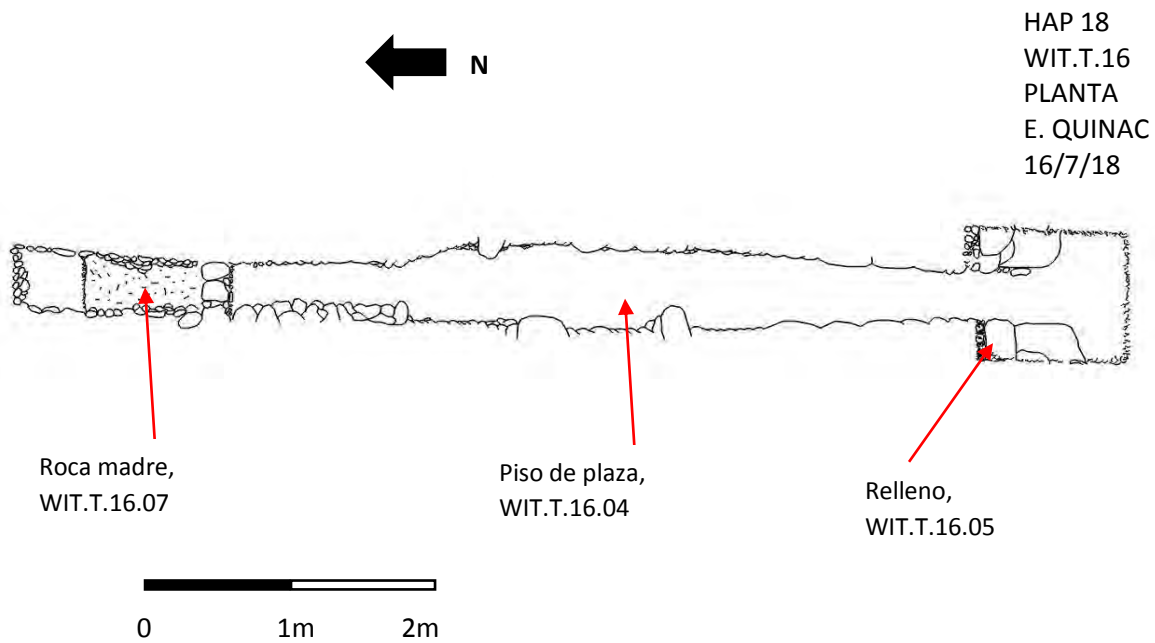


Figura 8.16. Dibujo de la extensión final de los trabajos de excavación dentro del túnel realizado en la Estructura 2. (Dibujó E. Quinac).

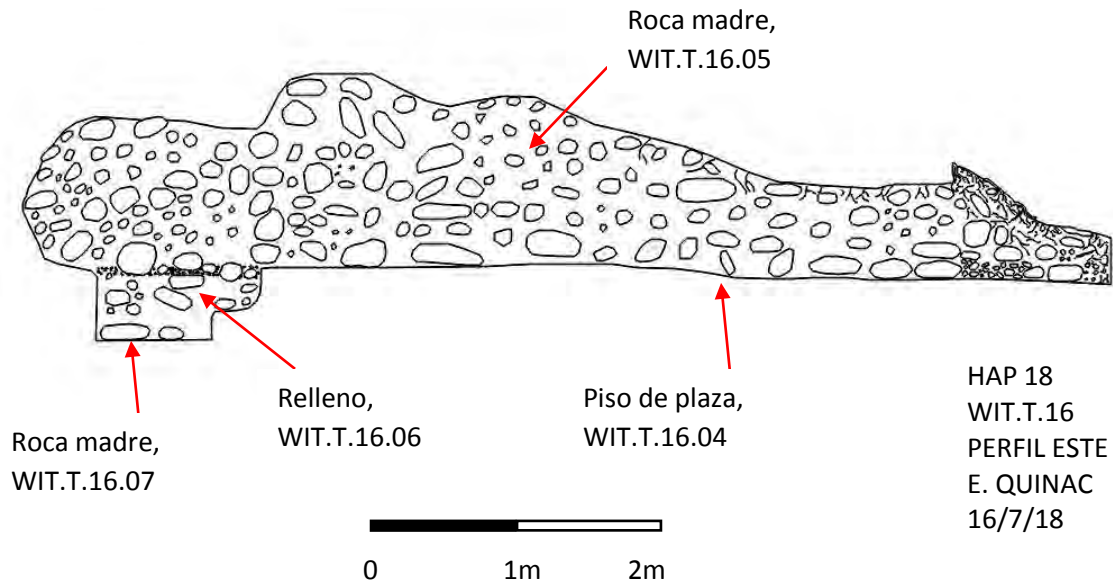


Figura 8.17. Perfil este que muestra la extensión final del túnel y la excavación del pozo que expuso la roca madre. (Dibujó E. Quinac).

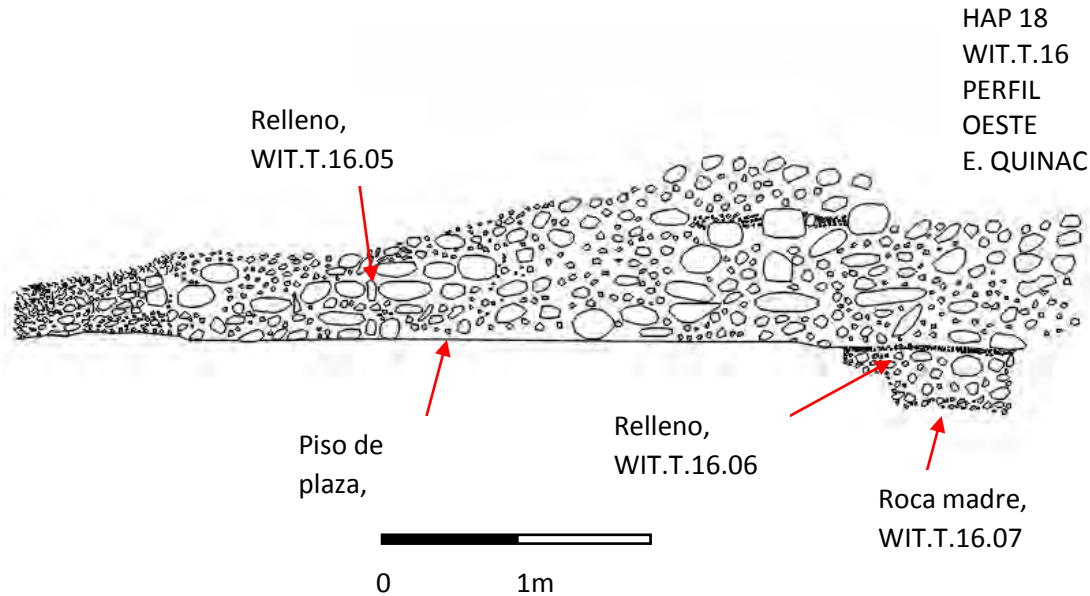


Figura 8.18. Perfil oeste de la unidad de excavación WIT.T.16 con la que se identificó la extensión y corte del piso de plaza.

CONCLUSIONES

Las excavaciones realizadas en la Estructura 2 evidencian tres etapas constructivas y una serie de modificaciones identificadas a través de mutilaciones en su arquitectura. La identificación de la roca madre supone el inicio de la construcción, seguido del piso de plaza expuesto en las unidades WIT.T.12 y WIT.T.16. Es importante hacer notar que el piso de plaza posee un corte y cambio en la calidad del material; el corte en el piso de plaza solo se pudo identificar con la excavación de la unidad WIT.T.16.

La exposición de los escalones indica la presencia de una escalinata ubicada en el centro de la plataforma, lo que sugiere que la Estructura 1 y Estructura 2 forman parte de un mismo edificio. El estilo arquitectónico de la estructura se identifica como una estructura escalonada, debido a un escalón adosado a la escalinata de la estructura.

Al no encontrar evidencia de etapas constructivas dentro de la unidad WIT.T.16 es posible determinar que la segunda etapa constructiva del grupo corresponde a las edificaciones recubiertas por estuco rojo. La exposición de un cuarto cubierto por estuco rojo en la parte superior de la estructura (WIT.T.11) ubica su construcción en la misma temporalidad de los hallazgos de las unidades WIT.T.12 Y WIT.T.16.

La exposición del *patolli* y un piso quemado supone una nueva etapa constructiva del edificio, ya que estos fueron construidos sobre el piso cubierto de estuco rojo dentro del cuarto. La modificación no afectó solo al piso sino a las paredes del cuarto; ya que en estas se identificó estuco de color gris que corresponde a la misma temporalidad de la construcción de *patolli* y piso quemado. Es importante hacer notar que la presencia de un piso quemado contiguo al *patolli* corresponde a las prácticas ceremoniales que se realizaban previo a iniciar con el juego. La dificultad para identificar las formas y líneas que forman al *patolli* es un indicador de que el espacio fue reutilizado, ya que muchas de ellas no coinciden.

Durante las excavaciones expusieron que los cortes en los pisos, con evidente cambio en el uso de materiales constructivos, no muestran inclusión de arquitectura a la estructura del edificio.

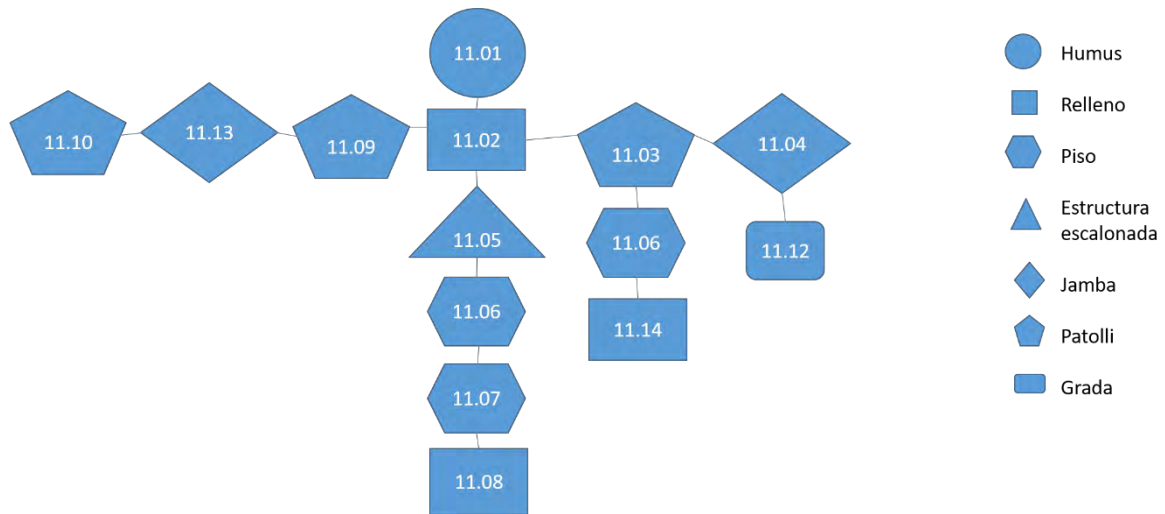


Figura 8.19. Matriz Harris para la excavación WIT.T.11.

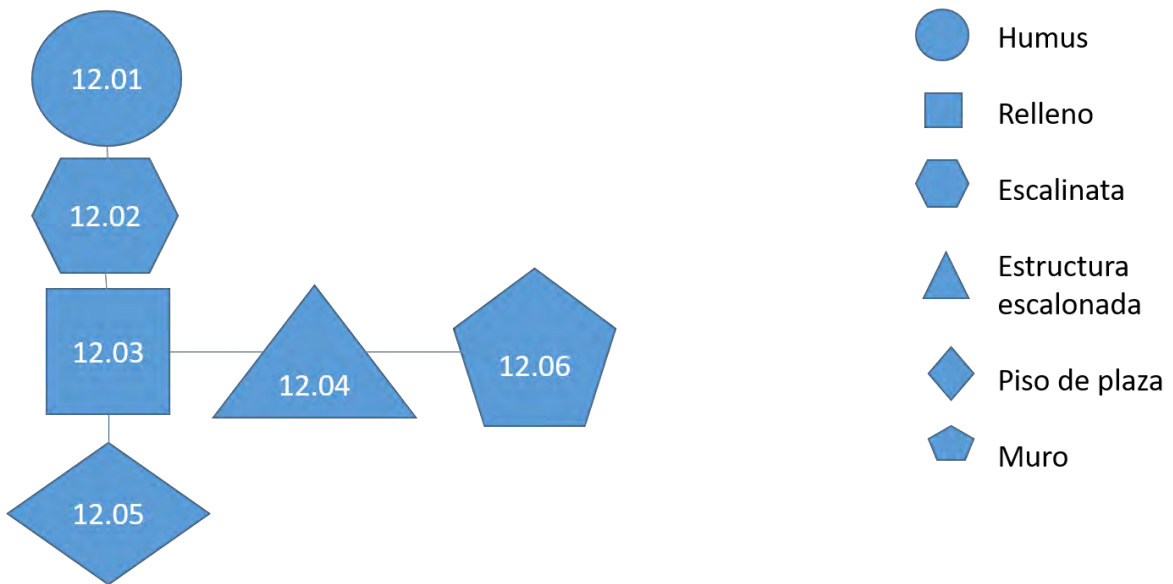


Figura 8.20. Matriz Harris para la unidad de excavación WIT.T.12.

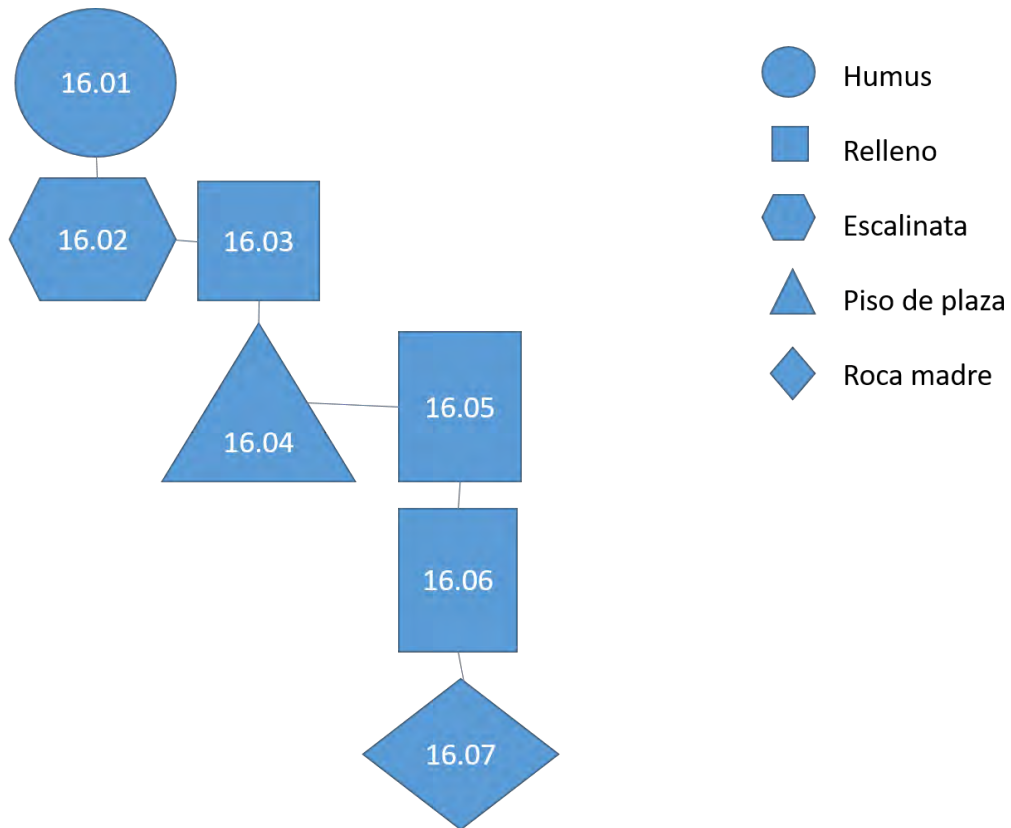


Figura 8.21. Matriz Harris para la unidad de excavación WIT.T.16.

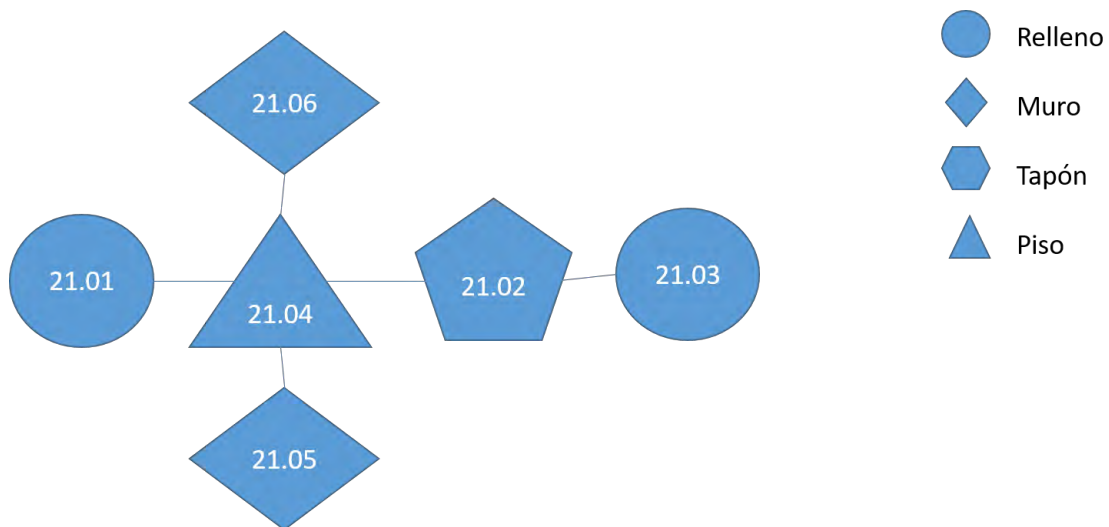


Figura 8.22. Matriz Harris para la excavación WIT.T.21.

CAPÍTULO 9

ANÁLISIS DE CERÁMICA Y LÍTICA, TEMPORADAS 2016-2018

PROYECTO ARQUEOLÓGICO HOLMUL

Ana Lucía Arroyave, César Enríquez, Adolfo Canan y Bhanny Girón
Universidad de San Carlos de Guatemala

A partir de agosto a noviembre del año 2018 se llevó a cabo el análisis cerámico y lítico del Proyecto Arqueológico Holmul, el cual como proyecto regional durante las temporadas 2016 a 2018 realizó investigaciones en sitios asociados a la cuenca del río Holmul y en áreas relacionadas a la misma en donde existen varios centros ceremoniales mayores y menores cuya historia fue ligada a la de este sitio como centro primario de la región. La cerámica analizada corresponde a los sitios Holmul, Sufricaya, Witzna e Xmakabatun.

CERÁMICA

Fueron cuatro meses para analizar los materiales de cuatro sitios explorados en tres temporadas, razón por la cual se realizó un análisis rápido pero sustancioso en la recopilación de datos, aunque no fue posible hacerlo a nivel de todos los atributos visibles por cada fragmento si se hizo a nivel de categorías. De la cerámica de Holmul ya existe una tipología ampliamente divulgada a través de los informes del proyecto que incluyen fotografías y dibujos de perfiles, (2016, 2017) y más recientemente en la tesis presentada por la arqueóloga Diana Méndez (2016). La secuencia cerámica de la región fue trabajada inicialmente por Laura Kosakowski (2000) quien hizo los estudios preliminares, seguidamente fue elaborada con más detalle por Michael Callaghan (2005), Callaghan y Nievens de Estrada (2016) quienes establecieron la tipología cerámica del sitio y su cronología con una extensa ocupación de principios del Preclásico Medio hasta el Clásico Terminal.

El método de clasificación utilizado fue el Tipo-Variedad que consiste en examinar sus componentes básicos como acabado de superficie, pasta, decoración y forma (Gifford 1976 y Sabloff 1975). Continuando con la secuencia hecha por Callaghan y Neves (2016). En cada temporada se ha recuperado bastante material cerámico de los diferentes periodos los cuales continúan aportando datos importantes para la comprensión de la ocupación en la región de Holmul. Por lo anterior, en este capítulo no se ahondará en la descripción de cada tipo cerámico identificado sino más bien se hará un conteo por sitio, para hacer comparaciones cronológicas y a través de los capítulos anteriores hacer la relación cronológica de la cerámica y los distintos momentos constructivos identificados a través de la excavación.

A continuación de manera general se presentan los resultados del análisis cerámico de las temporadas 2016-2018.

METODOLOGÍA

Luego de recolectado el material a través de las excavaciones en campo en esta temporada de laboratorio hubo material que lavar y marcar con el código del contexto correspondiente, se separó el material por sitio y contexto ordenándolo por su numeración suponiendo que el nivel más profundo es el número mayor, de allí se analizó individualmente cada bolsa, separando los fragmentos a ser analizados y fragmentos de descarte consistente en tiestos pequeños o no tan pequeños pero sin ningún atributo visible, el descarte en cantidad supera el 50 % de la muestra ya que mucho del material estaba completamente erosionado y sin ningún atributo para poder determinar siquiera el grupo cerámico.

Se analizaron todos aquellos tiestos con características físicas o forma específicas que sí podían reconocerse o identificarse, aquí se incluyeron solamente cuerpos aunque no todos, ya que algunos fueron identificados por sus tipos y variedades, esta clasificación se hizo primeramente por grupo cerámico de acuerdo a su superficie y de allí hasta donde fue posible por tipo específico, aunque cuando se trataba de contextos mezclados era un poco difícil diferenciar un fragmento rojo del Preclásico Terminal de uno del Clásico Temprano, se llenó una ficha diseñada para recabar la información, y posteriormente los tipos fueron etiquetados separados en bolsas de plástico más pequeñas volviéndolas a guardar en su bolsa original.

Los datos anotados en la ficha fueron ingresados a una base sencilla Excel para poder hacer algunas sumatorias, gráficas y estadísticas en general, de esto se extrajeron los siguientes datos:

INFORMACIÓN GENERAL (Por bolsa):

Procedencia:

Total de fragmentos recuperados:

Total de fragmentos descartados:

Total de fragmentos analizados:

Cronología:

Fase Holmul:

Fecha de excavación:

PARTE DE LA VASIJA (cantidades de):

Bordes	Asas	No determinado
Cuerpos	Hombros	
Cuerpos con decoración	Soportes	
Bases	Figurillas	
Cuellos	Pestaña	

VAJILLA O TIPO

(Forma genérica) Cantidades de:

Ollas	Platos	Tecomate
Cántaros	Platos/Cuencos	Incensarios
Ollas/Cántaros	Cuencos grandes	No determinado
Cuencos	Cilindros/Vasos	

Con estos datos lo que se pretende es tener una visión a manera de gráficas o tablas de la cantidad de tiestos por tipo y las formas más frecuentes que ocurren por cada uno de ellos, con esto es posible determinar si la cerámica era más de tipo ritual o de uso doméstico o de qué actividades se desarrollaron en los sitios y sus contextos vistos a través de los artefactos.

AÑO	PERIODO	HOLMUL	UAXACTUN	BARTON RAMIE	TIKAL	ALTAR DE SACRIFICIOS	CEIBAL	EL MIRADOR		
1000	POSTCLASICO			NEW TOWN	CABAN			POST LAC NA		
900	CLÁSICO TERMINAL	CHAK3	TEPEU 3	SPANISH LOOKOUT	EZNAB	JIMBA	BAYAL	LAC NA		
800										
700	CLÁSICO TARDÍO	CHAK 2	TEPEU 2	TIGER RUN	IMIX	BOCA	TEPEJILOTE	LAC NA		
600			TEPEU 1			PASION				
500	CLASICO TEMPRANO	CHAK1	TZAKOL 3	HERMITAGE	IK	CHIXOY	JUNCO	ACROPOLIS		
400		K'AK 3	TZAKOL 2		MANIK 3	VEREMOS				
300		K'AK 2	TZAKOL 1		MANIK 2	AYN				
200		K'AK 1	MATZANEL		FLORAL PARK	MANIK 1			SALINAS	
100	PRECLÁSICO TERMINAL II	WAYAAB	CHICANEL	MOUNT HOPE	CIMI	CANTUTSE	CASCABEL	FAIXBANCITO		
0	PRECLÁSICO TERMINAL								CAUAC	
100	PRECLÁSICO TARDÍO	ITZAMKANAK	MAMON	LATE JENNY CREEK	CHUEN	PLANCHA	ESCوبا	MONOS		
200										
300	PRECLÁSICO MEDIO TARDÍO	YAX TE			TZEC	SAN FELIX	REAL	MONOS		
400										
500	PRECLÁSICO MEDIO TEMPRANO			EARLY JENNY CREEK	EB	XE	REAL	MONOS		
600										
700										
800										
900		PRE-MAMOM (K'AWIL)								
1000										

Figura 9.I. Cronología para Holmul y sitios del área Maya (Elaborado por M. Callaghan y N. Nievens 2016:26).

UBICACIÓN GEOGRÁFICA DE LOS SITIOS

El sitio arqueológico Holmul se localiza a 35 km al este de Tikal y a 50 km al noreste del municipio de Melchor de Mencos. Dentro de la cuenca del río Holmul y en áreas relacionadas a la misma existen varios sitios menores y mayores cuya historia fue ligada a la de Holmul como centro primario de la región. Entre ellos se cuenta con sitios menores como Dos Aguadas, Sufricaya, T'ot, Chanchich, Riverona, K'o, Hamontun, Hahakab y otros no tan explorados, así como sitios mayores Cival, Witzna' e Xmakabatun con auge de ocupación en épocas distintas en la época prehispánica.

El sitio Witzna' se sitúa sobre un área de colinas que forman parte de una escarpa cárstica a unos 15 km en línea directa al norte de Holmul, desde donde pueden verse ambos sitios uno del otro. El sitio de Xmakabatun se encuentra a 10 km al norte de Witzna en un área de terrenos kársticos elevados y de humedales. La Sufricaya es uno de los sitios que pertenecen a La Región de Holmul en el noreste del departamento de Petén (Estrada-Belli 2018:1). Cuenta con más de 24 grupos residenciales, una pequeña acrópolis, un patio para el juego de pelota y varias estelas grabadas. Las investigaciones realizadas hasta el momento han aportado datos que permiten conocer aspectos importantes de la sociedad maya antigua, como son la relación e interacción con ciudades vecinas y sociedades foráneas (Tokovinine 2018:115).

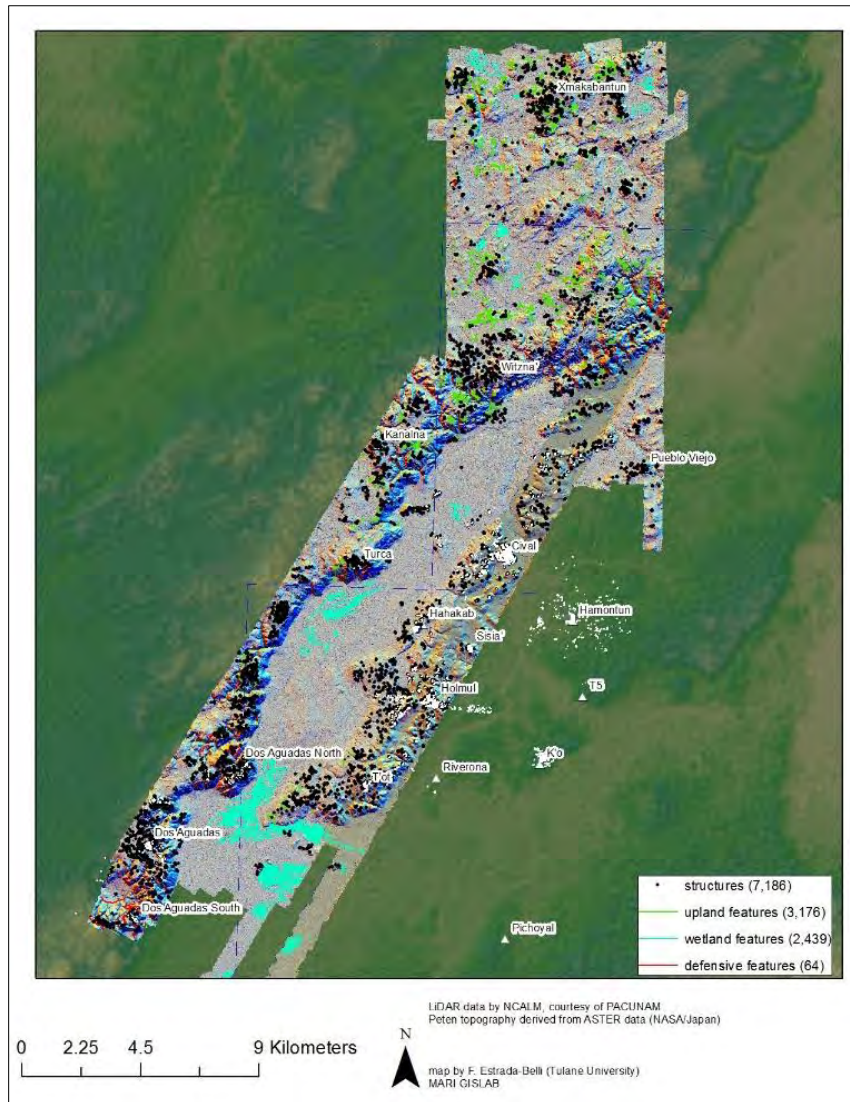


Figura 9.2. Cobertura LiDAR de la región de Holmul mostrando la ubicación de Holmul, Witzna', Xmakabatun, otros sitios menores y rasgos de interés arqueológico (Estrada-Belli 2018:2).

COMPLEJOS CERÁMICOS DE HOLMUL

Citando a Michael Callaghan de la Universidad Central de Florida conjuntamente con Nina Nievens de la Universidad de Tulane 2016, fue afinada la ya propuesta cronología para el área de Holmul (Kosakowsky 2000) estableciendo seis complejos cerámicos dentro de las grandes esferas definidas para Uaxactun que han servido como referente para comprender cronológicamente la cerámica de las Tierras Bajas Mayas. Las fechas propuestas para Holmul son una combinación de resultados de muestras de radiocarbono extraídas de contextos sellados, epigrafía y comparaciones con otros sitios. Los nombres de los complejos cerámicos fueron establecidos por Nievens y Estrada-Belli de la combinación de nombre de dioses y conceptos Mayas (Callaghan y Nievens 2016:26-162).

Complejo Kawil: Material tentativamente fechado a partir del año 1000 al 840 a.C. Definida como cerámica Pre-Mamom, de las más antiguas del área Maya se definió a partir de comparaciones con otros sitios con esa antigüedad y con unas muestras que arrojaron fechas para el siguiente complejo.

Se diferencia de los complejos posteriores por las formas, acabado de superficie y pasta, a nivel de análisis es complicado reconocer los tipos ya que éstos son de muy alta calidad y con decoraciones muy distintas a lo habitual por lo que incluso si no se conocen los contextos, puede llegar a fecharse como tipos del Clásico Terminal. Las formas predominantes incluyen tecomates, ollas, cántaros y platos con decoración incisa fina y bordes levemente engrosados, con muy buena calidad en el acabado de superficie, el engobe es menos ceroso que los complejos siguientes.

Complejo Yax Te: Data del 840 al 400 d.C., coincidiendo con la esfera Mamom durante el Preclásico Medio Tardío, la mayoría de material de este complejo se obtuvo del sitio Cival, Holmul y Sufricaya. La mayoría de tipos y variedades coinciden con los mismos para la mayoría de sitios de las Tierras Bajas Mayas.

Complejo Itzamkanak: Se fecha entre el 400 a.C al 230 d.C., tipológicamente la cerámica de este complejo recuerda a la esfera Chicanel durante el periodo Preclásico Tardío, se recuperaron materiales de este periodo en todos los sitios de la región de Holmul, se diferencia del complejo anterior por todo, formas, decoraciones, acabados de superficie y pasta por lo que su identificación es definitiva.

Sub-complejo Wayab: Data del 120 al 230 d.C. es un sub-complejo transicional entre el Preclásico Tardío y el Clásico Temprano, el material se limita a contextos rituales mayormente de Holmul, aunque en esta temporada de laboratorio se identificaron algunos fragmentos en todos los sitios analizados, este sub-complejo coincide con la sub-fase Matzanel de Uaxactun o Chicanel Periférico del sureste de Petén. A nivel de análisis fue difícil identificar estos tipos, ya que las formas parecían preclásicas pero el acabado de superficie ya no era tan ceroso sino más bien lustroso además de algunas formas de paredes más delgadas en comparación al material del preclásico lo que denota pues que si hubo una transición marcada entre ambos periodos Preclásico y Clásico Temprano, quizás esto también ocurre a nivel arquitectónico por lo que sería interesante revisar los contextos en donde se recuperó este material.

Complejo Kak: Data del 230 al 550 d.C. Los tipos y variedades preceden al periodo Preclásico Medio y Tardío, correspondientes a la Esfera Tzakol durante el Clásico Temprano, al igual que en Uaxactun también se definieron tres facetas Kak 1 (temprano), 2 (medio) y 3 (tardío), los tipos y variedades son los mismos para todo el complejo, estas se diferencian por las variedades o modos de los tipos mayores, por ejemplo en Kak 1 aparece Águila Naranja, Balanza, Dos Hermanos y Quintal, pero para Kak 2 aparece un nuevo modo de Águila con un naranja menos brillante Águila Buff y para Kak 3 un Águila con mica en la superficie, y así con otros tipos.

Complejo Chak: Data del 550 al 950 d.C. La clasificación de esta cerámica está asociada a inscripciones jeroglíficas y cerámica policroma, corresponde a la Esfera Tepeu del Clásico Tardío y Terminal. Este complejo al igual que Kak se divide en tres facetas Chak 1 (temprano), Chak 2 (medio) y Chak 3 (tardío/terminal). Al igual que el complejo anterior las facetas se dividen por la aparición de tipos y variedades específicas, que ha sido más fácil de determinar por la presencia de glifos, por ejemplo Chak 2 se determinó a partir de la presencia del tipo Cabrito Crema Policromo del Grupo Zacatal Crema Policromo, y ya para Chak 3, los fragmentos con glifos van disminuyendo considerablemente surgiendo tipos monocromos utilitarios como Máquina Café, o Chaquiste Impreso entre otros y pastas finas que en el presente estudio tuvieron una presencia casi nula.

CANTIDADES

Como se hace mención en párrafos anteriores el análisis cerámico abarcó los materiales que hacían falta por analizar de las temporadas 2016, 2017 y 2018 de los sitios Xmakabatun, Witzna, Holmul y La Sufricaya. Del 2016 faltaba por analizar Witzna, del 2017 Holmul, Sufricaya e Xmakabatun y del 2018 Holmul, Sufricaya y Witzna. Se analizaron únicamente bolsas de cerámica y no así piezas completas, solamente fragmentos.

SITIO	CANTIDAD DE BOLSAS POR CONTEXTO	TOTAL DE FRAGMENTOS RECUPERADOS	FRAGMENTOS ANALIZADOS	FRAGMENTOS DESCARTADOS
Holmul	58	2,258	943	1,289
Sufricaya	152	12,549	4,500	7,650
Witzna	135	11,074	5,693	5,364
Xmakabatun	36	3,420	1,929	1,488
TOTALES	381	29,301	13,065	15,791

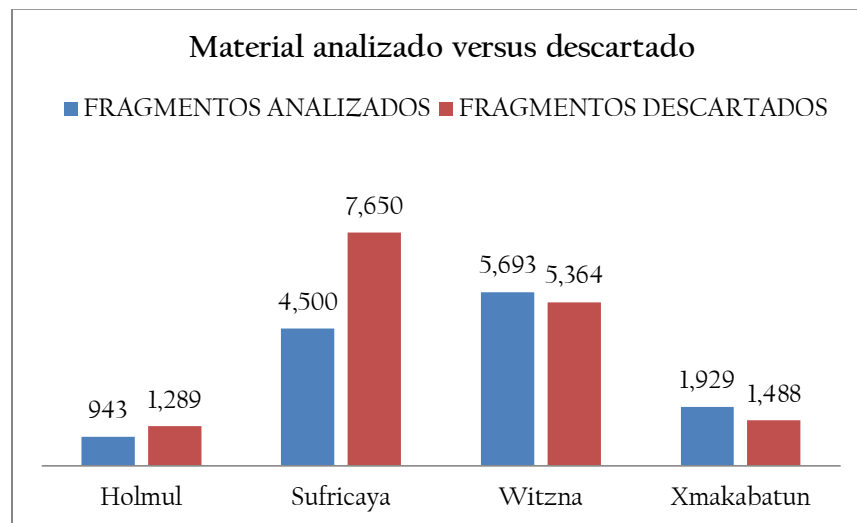


Figura 9.3. Gráfica que muestra la cantidad de material analizado versus descartado, nótese que Sufricaya y Witzna son los sitios con más cerámica recuperada por la cantidad de excavaciones al contrario que en Holmul y Witzna ya que las investigaciones son más centralizadas y focalizadas en el interior de los edificios de allí que salga menor cantidad de cerámica.

PARTES	HOLMUL	SUFRICAYA	WITZNA	XMAKABATUN	TOTALES
Bordes	259	1,380	2,230	575	4,444
Cuerpos	1,603	5,627	5,943	2,115	15,288
Bases	76	290	655	217	1,238
Cuellos	26	171	34	27	258
Hombros	20	138	198	26	382
Pestañas	7	48	143	3	201
Soportes	5	17	19	4	45
Otros	7	36	37	4	84

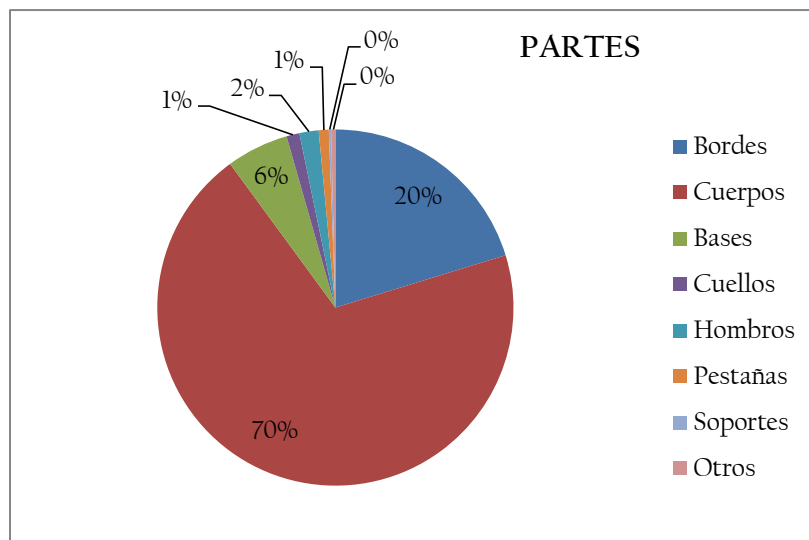


Figura 9.4. Gráfica que muestra el porcentaje total de la muestra respecto a las partes recuperadas de fragmentos cerámicos, nótese que la frecuencia de cuerpos supera el 50% de la muestra.

El conteo de partes sirve para tratar de hacer una aproximación de cuántas piezas completas o semi-completas pudieron haberse recuperado, sobre todo con los bordes, para así también entender si los depósitos de materiales tuvieron características rituales o para relleno o bien como parte de la basura cotidiana. Los cuerpos siempre superarán en cantidad a los bordes pues es el resto de la pieza que se fragmenta y es mucho más común encontrarlos, para el análisis únicamente fueron útiles aquellos policromos o monocromos cuya conservación del engobe fue muy buena, de lo contrario se descartaron para el análisis pero no así de su contexto original. A través de los bordes se logró identificar tipos y las formas específicas de las piezas.

FORMA	HOLMUL	SUFRICAYA	WITZNA	XMAKABATUN	TOTALES
Olla/cántaro	431	2,247	2,738	791	6,207
Cuenco	257	1,395	1,142	997	3,791
Plato	174	536	767	129	1,606
Cuenco/Plato	30	27	808	16	881
Vasos/cilindro	20	71	40	5	136
Tecomate	2	2	11	0	15
Incensario	6	18	8	0	32
Otros	3	91	36	4	134

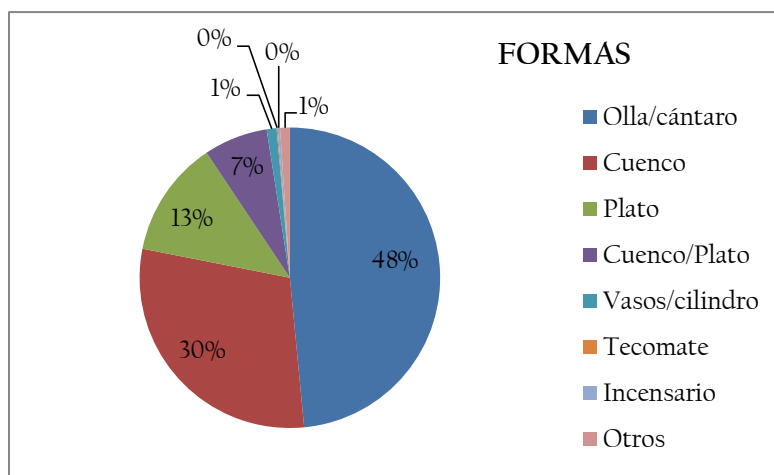


Figura 9.5. Gráfica que muestra el porcentaje total de toda la muestra respecto a las formas genéricas identificadas.

Nótese que en frecuencia la forma de olla y cántaro supera al resto, le sigue el cuenco y luego el plato, el cántaro fue definido a partir de los cuellos largos y el interior de los cuerpos cuando este no tenía engobe y era rugoso al tacto, esto denota que hubo mucho material de tipo doméstico, al igual que con los cuencos a pesar de que los hay policromos también los hay como contenedores, que son grandes cuencos algunos si de tipo ritual pero otros eran para servir o contener alimentos, los platos también son frecuentes aunque no tanto, la mayoría fueron policromos con motivos más rituales u ornamentales. Los incensarios no fueron tan comunes como se pensaría ya que se tiene la idea de que los Mayas practicaban ceremonias y quizás si pero no a través de estos artefactos. Dentro de la categoría de otros se identificaron fragmentos de piezas miniaturas, tambores, tiestos reutilizados, discos de cerámica, tapaderas, cántaros u ollas con vertedera y una base de pedestal.

CRONOLOGÍA

La cronología se definió a partir de los tiestos diagnósticos de cada complejo cerámico, sin embargo, algunos contextos presentaron una cronología mezclada por diferentes razones al momento de excavar y recoger los materiales, el análisis se hizo por bolsa y fue así como se hizo el recuento de la frecuencia de los distintos complejos, a nivel de ficha si se colocaron las facetas pero para el conteo se tomaron en consideración los complejos mayores ya que como se explicó en párrafos anteriores estas facetas se definen por ciertos tipos y sus variedades las cuales no son tan frecuentes.

SITIO	KAWIL Pre Mamom	YAX TE Mamom	ITZAMKANAK Chicanel	WAYAB Matzanel	KAK Tzakol	CHAK Tepeu	NO DIAGNÓSTICO
Holmul	1	3	5	15	6	25	3
Sufricaya	0	0	3	8	25	78	38
Witzna	0	4	5	9	54	47	16
Xmakabatun	0	2	13	7	5	5	4
TOTALES	1	9	26	39	90	155	61

No es necesario ilustrar esta tabla con una gráfica, como puede notarse la frecuencia va aumentando según el orden cronológico de los complejos, esto es lógico cuando revisamos la cantidad de excavaciones que se han hecho por sitio, cuán profundas fueron y en dónde se hicieron, de allí que siempre el Clásico Tardío represente la mayor cantidad de bolsas analizadas pues siempre se inicia de la superficie hacia lo más profundo.

Sin embargo, es interesante notar que para el caso de Xmakabatun es más frecuente el material cerámico para el Complejo Itzamkanak o Preclásico Tardío y Terminal disminuyendo considerablemente para los siguientes periodos. En Holmul se observa también un auge para el sub-complejo transicional Wayab que ocurre entre el Preclásico Terminal y Clásico Temprano, disminuye para este último periodo y vuelve a aumentar considerablemente para el Clásico Tardío, algo similar ocurre en Witzna, en tanto, que en Sufricaya el aumento de los materiales va en el orden cronológico de los complejos, es decir, que pareciera que el sitio tuvo su auge paulatinamente sin ningún evento que interrumpiera abruptamente sus acontecimientos históricos, aunque esto debiese corroborarse con los datos epigráficos y arquitectónicos.

TIPOS Y VARIEDADES

En este capítulo no se ahondará en la descripción por cada tipo y variedad cerámica que fue identificada para este análisis ni se pretenden hacer listados engorrosos para leer o dibujos de perfiles por cada tipo o variedad, ya que la documentación al respecto está disponible pues ha sido previamente publicada en estos informes de temporada, lo que se pretende dar a conocer es frecuencias y confirmar que no hay mucha diferencia de aparición de tipos y variedades con otros sitios de las Tierras Bajas Mayas, incluso de aquellos más occidentales.

A modo de tabla se presentarán las frecuencias de los tipos y algunas variedades identificadas por sitio para visualizar de mejor manera si esto corresponde más a cerámica local o de tipo utilitario o de aquella que era exportada o importada por su fineza.

SITIO HOLMUL	Tipo/Variedad	Holmul	Sufricaya	Witzna	Xmakabatun	Total
KAWIL Preclásico Medio	Katun Rojo	1	--	--	--	1
	Ochkin Naranja	1	--	--	--	1
	Guitarra Inciso	--	--	2	--	2
YAX TE/ITZAMKANAK Preclásico	Achiotes sin engobe/V. Aplicado	20	1	65	5	91
	Acordeón Inciso	--	1	--	--	1
	Altamira Acanalado	4	--	3	9	16
	Boxcay Café	21	4	8	139	172
	Chunhintá Negro	--	--	7	--	7
	Color Diferenciado	16	18	10	84	128
	Lagartos Punzonado	--	--	--	4	4
	Laguna Verde Inciso	10	1	8	2	21
	Juventud Rojo	6	--	17	3	26
	Jocote Naranja-Café	1	--	--	--	1
	Polvero Negro	19	16	10	75	120
	Repasto Negro sobre Rojo	--	--	16	86	102
	Savana Naranja	--	2	8	12	22
	Sierra Rojo	109	89	133	803	1,134
Tierra Mojada Resistente	--	--	3	33	36	
Zapote Estriado	13	--	6	175	194	
WAYAB Transicional PRC/CTP	Baclam Naranja	10	5	15	32	62
	Flor Crema	2	--	1	--	3
	Iberia Naranja	--	--	--	30	30
	Ixcancrío Naranja Policromo	4	1	1	--	6
	Lechugal Inciso	--	--	--	7	7
	Pital Crema	--	--	6	--	6
	Quintal sin Engobe	83	173	247	24	527
	Sacluc Negro sobre Naranja	--	--	2	--	2
Yaloche Crema Policromo	--	--	10	--	10	
KAK Clásico Temprano	Actuncan/Dos Arroyos Policromo	13	23	236	2	274
	Águila Naranja	74	166	349	26	615
	Balanza Negro	10	47	77	2	136
	Boleto Negro sobre Naranja	2	2	6	--	10
	Caramba Rojo sobre Naranja	--	--	2	--	2
	Dos Hermanos Rojo	45	56	263	8	372

	Lucha Inciso	3	8	8	--	19
	Nitan Compuesto	--	--	8	--	8
	Paradero Acanalado	--	--	5	--	5
	Pita Inciso	--	--	6	--	6
	Pucte Café	50	34	75	4	163
	San Blas Rojo sobre Crema	--	--	7	--	7
	Triunfo Estriado	1	133	274	2	410
CHAK Clásico Tardío	Azote Naranja/V. Inciso	57	507	242	31	837
	Cambio sin Engobe	54	941	544	51	1,590
	Cabrito Crema Policromo	--	--	12	--	12
	Carmelita Inciso	--	--	3	--	3
	Encanto Estriado	3	111	595	59	768
	Infierno Negro	13	38	45	13	109
	Palmar Naranja Policromo	8	208	4	--	220
	Saxche/Palmar Naranja Policromo	39	85	185	7	316
	Saxche Naranja Policromo	46	123	3	--	172
	Tinaja Rojo	66	621	660	19	1,366
	Tolla Acanalado	--	--	12	--	12
Zacatal Crema Policromo	5	110	76	2	193	
CHAK 3 Clásico Terminal	Achote Negro	1	17	67	--	85
	Altar Naranja	--	2	1	--	3
	Camarón Inciso	3	6	72	1	82
	Chaquiste Impreso	5	15	66	2	88
	Chilar Acanalado	--	--	2	--	2
	Chinja Impreso	8	39	4	--	51
	Chinos Negro sobre Crema	--	--	3	--	3
	Harina Crema	--	--	59	--	59
	Leona Rojo sobre Naranja	--	--	23	--	23
	Manteca Impreso	3	48	29	1	81
	Máquina Café/V. Impreso	67	270	205	18	560
	Miseria Aplicado	1	16	5	--	22
	Pántano Impreso	--	--	4	--	4
Subín Rojo	--	--	9	3	12	
Tres Naciones Gris	--	--	2	--	2	
	No determinados					1,635

De la tabla anterior se observa que en los cuatro sitios la frecuencia de aparición de tipos y variedades específicos se repite en todos y con cantidades muy similares en cuanto a frecuencia, es de notar también que los tipos conocidos como de uso doméstico que incluye todos aquellos tipos monocromos o sin engobe, en formas como ollas, cántaros y cuencos son los más numerosos, sin embargo, cuando inicia la producción de policromos en el Clásico Temprano la frecuencia de su aparición en los cuatro sitios también se hace notorio, sobre todo para el Clásico Tardío, esto puede deberse a que ya estaban mejor definidas los linajes y estratos lo que hace suponer que estos bienes de prestigio estaban más presentes en áreas residenciales de élite.

Había un intercambio entre sitios de estos objetos, la tecnología para su manufactura se había perfeccionado, quizás habían más artesanos y artistas lo que denota una especialización en la población y por supuesto una estratificación según las capacidades y los bienes que pudiese albergar un gobernante y de quienes estaban al servicio de éste. De todos los cuatro sitios Witzna presentó en sus ejemplares policromos una calidad extraordinaria, además de que estéticamente los diseños estaban mejor elaborados pues eran estilizados.

Para el periodo Preclásico en general la mayoría de tuestos identificados corresponden a Achiotes sin Engobe y Zapote Estriado, tipos monocromos con su engobe característico ceroso como Boxcay Café, Polvero Negro y sobrepasando a todos en cantidad el Sierra Rojo, dentro del periodo transicional hacia el Clásico Temprano fue el Quintal sin Engobe, en este periodo las paredes de las piezas tienden a adelgazarse, y los engobes aunque cerosos ya no son tan gruesos y las superficies son más lustrosas,

entrado el Clásico Temprano inicia el aumento en la elaboración de tipos policromos como Actuncan y Dos Arroyos Naranja Policromo, tipos sin engobe como Triunfo Estriado y monocromos característicamente lustrosos como Águila Naranja en sus variedades inciso, rojo-naranja y águila ópaco (*buff*), Balanza Negro, Dos Hermanos Rojo y Pucte Café.

Para el Clásico Tardío, los engobes bajan de lustrosidad y tal vez de calidad, aunque esto puede deberse a que se encuentran más que todo en los niveles superficiales, dentro de los tipos más frecuentes están Cambio sin Engobe y Encanto Estriado y los monocromos Azote Naranja y Tinaja Rojo, hay un incremento en los policromos crema cuyo diagnóstico principal es el Zacatal Crema Policromo y en naranja los tipos Saxche y Palmar Naranja Policromo. Para el Clásico Terminal el cual está caracterizado por tipos monocromos impresos como Máquina Café Impreso, Chaquiste Impreso, Chinja Impreso, Pántano Impreso y sin engobe el Mantequilla Impreso con su forma principal de cántaro cuyo labio está impreso, esta modalidad es bastante local de la región. El engobe del Clásico Terminal recuerda al engobe ceroso del Preclásico, pero se diferencia de éste en que se craquela por ser las pastas más porosas y delgadas. En Witzna y Sufricaya se observaron escasos ejemplares de pasta fina como Tres Naciones Gris y Altar Naranja.

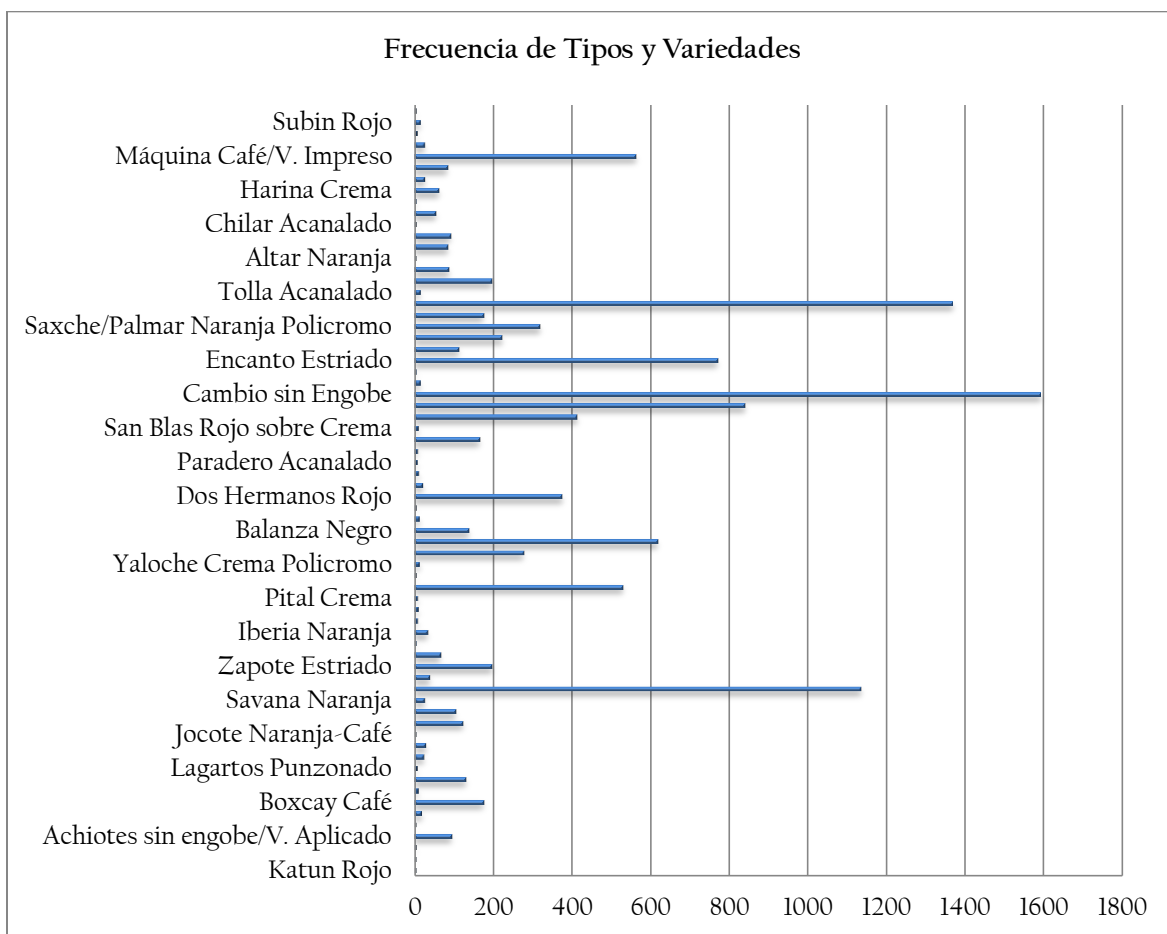


Figura 9.6. Gráfica con los tipos y variedades más frecuentes en los sitios Holmul, Sufricaya, Witzna y Xmakabatun.

CONCLUSIONES

El uso más tradicional y útil atribuido a la cerámica, ha sido el de diagnóstico para establecer una cronología de ocupación a las zonas arqueológicas, esto debido a que la cerámica es manipulada directamente por los alfareros lo que la hace susceptible a cambios que se pueden percibir a través del tiempo porque connotan tradición en la forma y decoración, sin embargo, estos cambios no son tan sencillos de verse a simple vista por el tiempo tan largo en que los tipos y variedades coexistieron, por lo que se reconoce el esfuerzo de los investigadores ceramistas anteriores por haber iniciado con esta clasificación que es posible seguir actualizando a través de la investigación.

La forma en cómo se encuentra organizado el material cultural constituye evidencia tangible que permite inferir acerca de actividades específicas, complejidad social, producción e intercambio, tecnología, identidad y en un sentido metodológico cronología de allí la importancia de recuperar esta cerámica y completar aún más la historia del área Holmul y a su sitio como centro rector, pues seguramente sus linajes, la economía, tradiciones culturales y religiosas dependían de éste.

La mayoría de tiestos parecen más de uso doméstico que ritual o de adorno, los tipos fueron identificados a partir de los ya existentes para el área Maya, sin embargo, algunos tiestos no encajaron en esta tipología por tanto, se decidió colocarles de nombre su engobe base pero por sus características son más bien piezas de tradición local. Los fragmentos pertenecientes a las vasijas de tipo ritual hacen énfasis en lo estético, así como también en la función, por lo que generalmente tienen engobe y decoración. Los tipos utilitarios son los que se usan para cocinar, cargar, almacenar, etc. En su manufactura el énfasis está en su función y hay menos interés en lo estético aunque pueden tener decoración. Las piezas utilitarias son de manufactura local y no se difunden a gran distancia, por el contrario los tipos finos como objetos preciados, pueden ser exportados a regiones distantes y se encuentran en ocasiones asociadas a la élite, son útiles para trazar contactos entre sitios y rutas de comercio y pueden establecerse con estos tipos específicos fechamiento comparativo entre sitios, en cambio los tipos utilitarios pueden proveer información con respecto a la subsistencia y tienden a durar largos periodos de tiempo (Hatch 1997:111).

No hubo una diferencia sustancial en los tipos y variedades identificados para estos cuatro sitios, sin embargo, si la hubo en la calidad de su conservación pero esto dependió del contexto en donde se hallaron los tiestos, por ejemplo todos aquellos recuperados en el interior de los edificios estaban mucho mejor conservados que aquellos que se recuperaron en los exteriores de las estructuras, el único sitio que mostró tipos y variedades quizás locales fue Xmakabatun, aún no se ha podido establecer bien su afiliación con Holmul o con algún otro sitio de Belice, o sitios al norte frontera con Campeche por lo que su análisis de darse temporadas en un futuro debe hacerse más detenidamente para afinar su cronología.

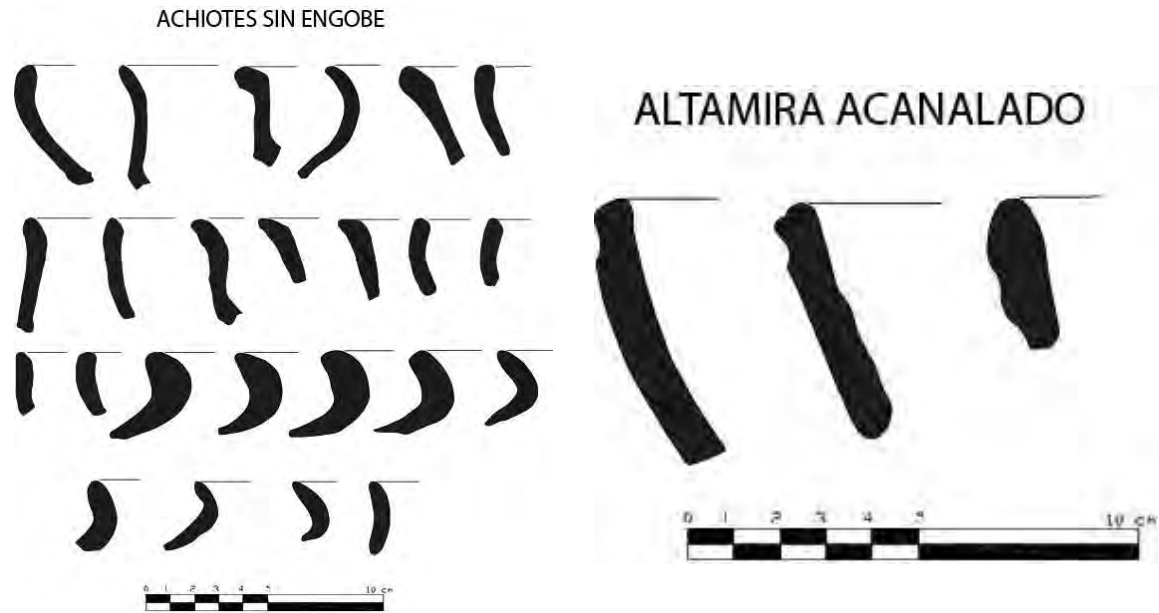


Figura 9.7. Ejemplares de Achiotes sin Engobe y Altamira Acanalado, periodo Preclásico Medio, Esfera Mamom, Complejo Yax Te e Itzamkanak de Holmul (Dibujo B. Girón y C. Enríquez).

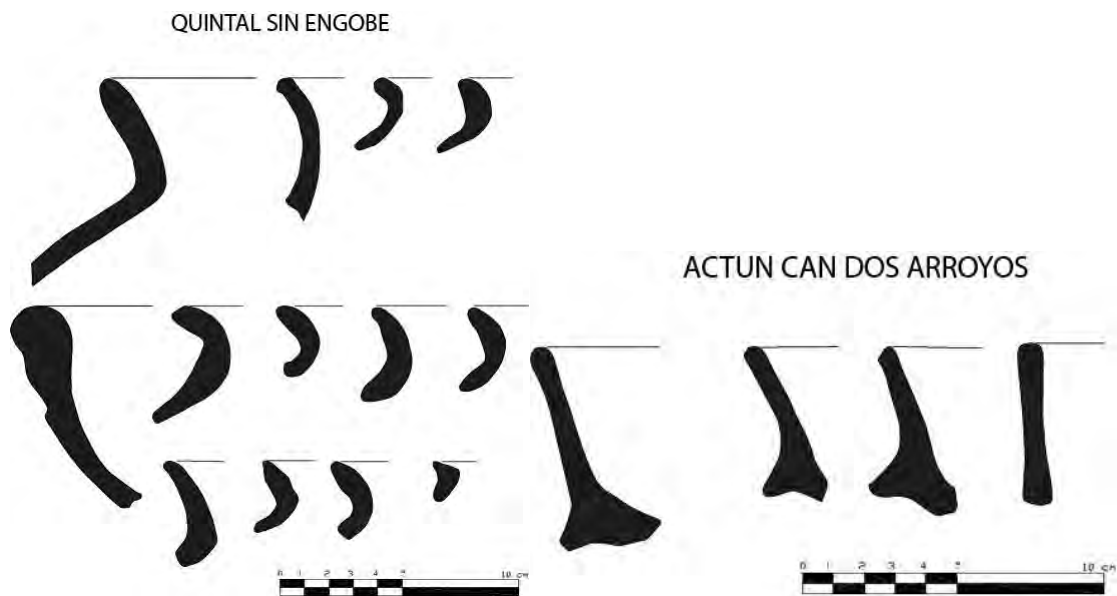


Figura 9.8. Ejemplares de Quintal sin Engobe y Actuncan/Dos Arroyos Naranja Policromo, periodo Preclásico Terminal y Clásico Temprano, Esfera Matzanel y Tzakol I, Complejo Wayab y Kak de Holmul (Dibujo B. Girón y C. Enríquez).

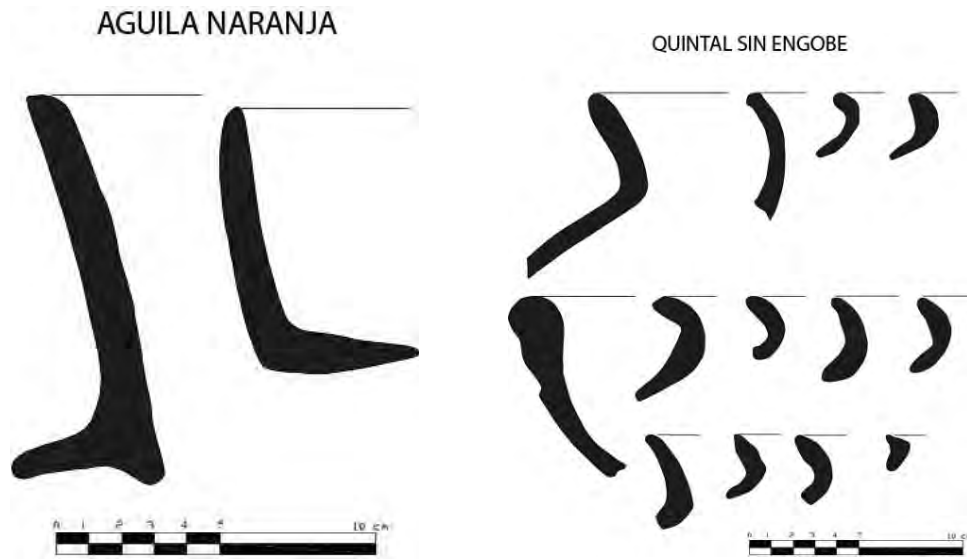


Figura 9.9. Ejemplares de Águila Naranja y Quintal sin Engobe, periodo Clásico Temprano, Esfera Tzakol, Complejo Kak (1-3) de Holmul (Dibujo B. Girón y C. Enríquez).

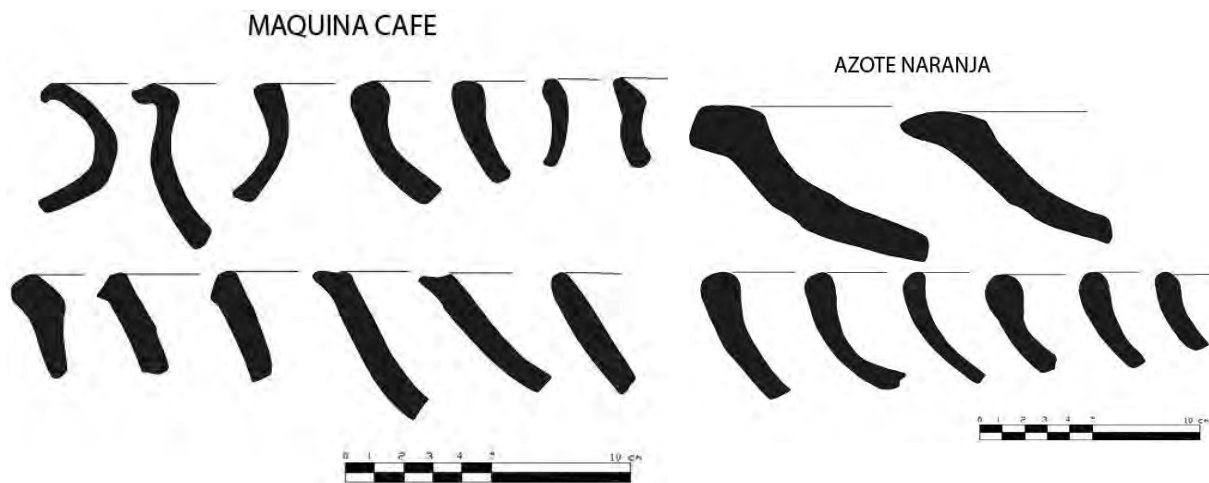


Figura 9.10. Ejemplares de monocromos Máquina Café y Azote Naranja, periodo Clásico Tardío y Terminal, Esfera Tepeu, Complejo Chak (1-3) de Holmul (Dibujo B. Girón y C. Enríquez).

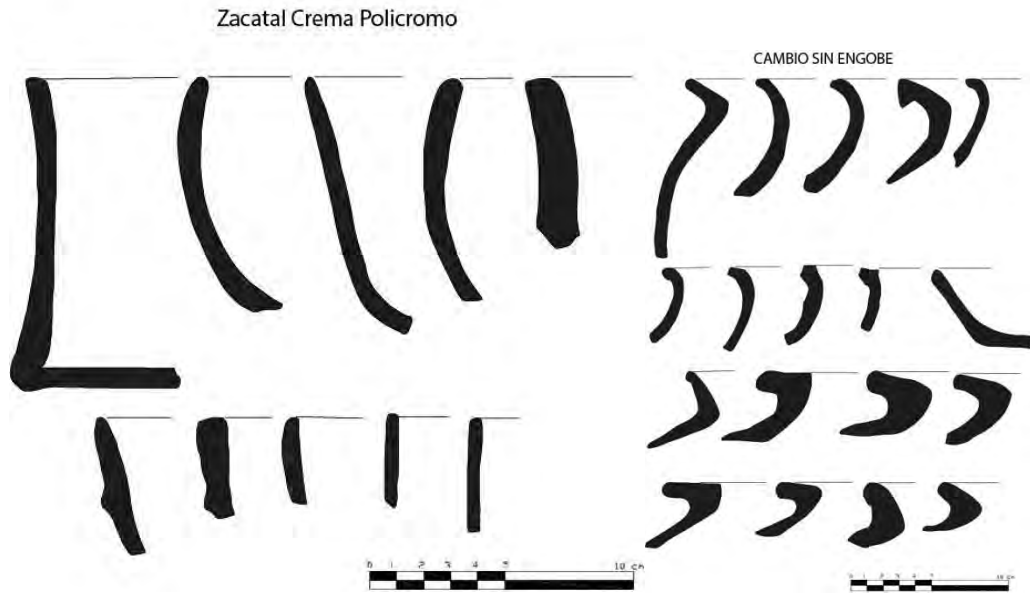


Figura 9.11. Ejemplares de policromos crema tipo Zacatal Crema Policromo diagnóstico para el Clásico Tardío, Complejo Chak 2 de Holmul y Cambio sin Engobe tipo diagnóstico de Chak 1-3 de Holmul (Dibujo B. Girón y C. Enríquez).

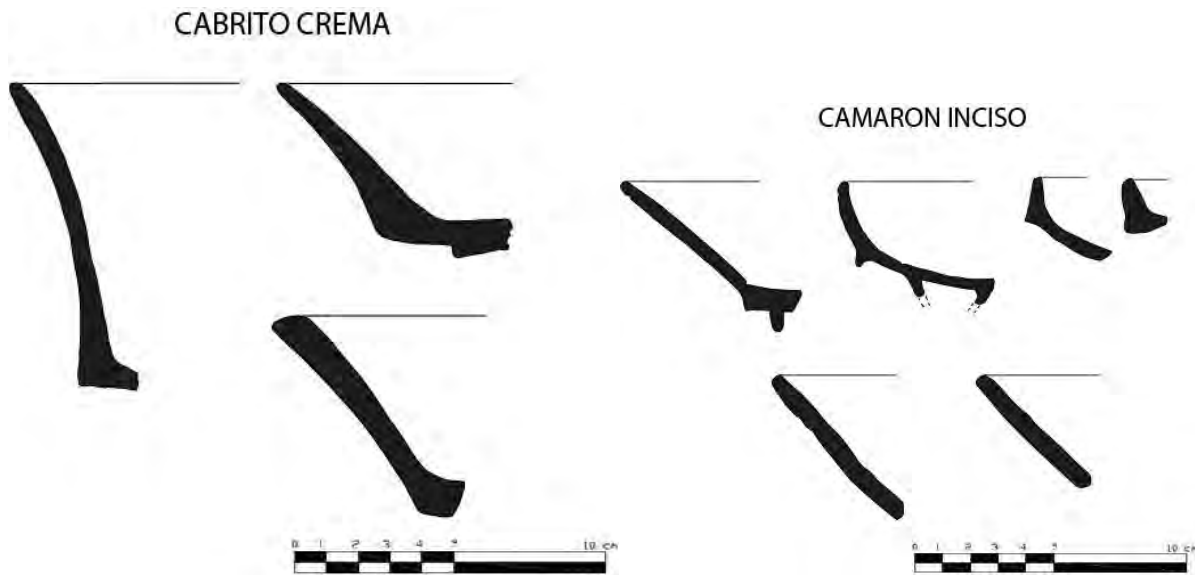


Figura 9.12 Ejemplares de policromos crema tipo Cabrito Crema Policromo diagnóstico para el Clásico Tardío, Complejo Chak 2 de Holmul y Camarón Inciso tipo diagnóstico del Clásico Terminal Chak 3 de Holmul (Dibujo B. Girón y C. Enríquez).



Figura 9.13. Ejemplares de Achiotos sin Engobe y monocromo Baclam Naranja del periodo Preclásico Medio (Foto B. Girón y A. Arroyave).



Figura 9.14. Ejemplares de platos Águila Naranja como parte de una ofrenda en el sitio Witzna, periodo Clásico Temprano (Foto B. Girón y A. Arroyave).



Figura 9.15. Ejemplares de Cabrito Crema Policromo, Complejo Chak 2 Clásico Tardío (Foto B. Girón y A. Arroyave).



Figura 9.16. Ejemplares de Zacatal Crema Policromo y un fragmento de Saxche Naranja Policromo del Clásico Tardío (Foto B. Girón y A. Arroyave).



Figura 9.17. Ejemplares del Tipo Subin Rojo y Manteca Impreso sin engobe, diagnósticos del Clásico Terminal, Complejo Chak 3 (Foto B. Girón y A. Arroyave).



Figura 9.18. Ejemplares de Altar Naranja, Tipo Pabellón Moldeado-Tallado, diagnóstico del Clásico Terminal (Foto B. Girón y A. Arroyave).

LÍTICA

Con el desarrollo de la organización social se inició una etapa de modificación de algunos elementos naturales. La técnica se manifestó como un conjunto secuencial de transformaciones que sufrió la materia prima por medio de la percusión, presión, corte y desgaste. Los Mayas conocieron y trabajaron una rica variedad de rocas aflorantes. De acuerdo con su orden geológico estas se clasifican como magmáticas (obsidiana, basalto, granito), sedimentarias (pedernal, caliza, travertino, alabastro y areniscas) y por último, las metamórficas (cuarcita, serpentina, jade y pizarra). Por su acabado se dividen en:

- a. Artefactos tallados: morteros, raspadores, cinceles, lascas, raederas, excéntricos, navajas, hachas, puntas bifaciales y piedras de moler.
- b. Artefactos pulidos: correspondientes al arte de lapidaria menor como narigueras, pendientes, cuentas, orejeras, bezotes, pectorales, adornos suntuarios y rituales como placas y tablillas con grabados que evocan escenas dinásticas y ceremoniales (Ruiz 1996:34).

Dentro de este análisis se consideró a todos aquellos instrumentos de uso cotidiano clasificados como artefactos tallados que se recuperaron en las distintas excavaciones que debe indicarse fue muy poco en comparación con la cerámica.

Dentro de la categoría de piedra tallada se incluye a núcleos, nódulos, trozos, lascas, desecho y navajas. Los núcleos son todas aquellas materias líticas que quedan del desprendimiento en el proceso de lasqueo. El trozo se define como un canto o piedra sin modificación en donde la corteza aún está presente, el tamaño del trozo puede variar. La lasca es el resultado de la fuerza intencionalmente aplicada a un pedazo de materia lítica. El desecho son fragmentos sin orientación determinada, no tienen talla evidente. La navaja se identifica por la huella de talla y márgenes paralelos, su tamaño debe ser dos veces más largo que ancho (Laporte, et al. 1996:591-593).

En la piedra pulida se catalogan todos aquellos instrumentos líticos producto del pulimento y aquellos que sirven para ello. Los implementos bifaciales se definen por aquellos que tienen dos caras o doble hoja como las preformas, chuchillos, hachas, cinceles, percutores, raspadores y otros. En esta categoría también se incluyen las puntas de proyectil.

La evolución y desarrollo de los artefactos líticos reflejan el grado de adelanto de una sociedad, informan sobre las labores que realizaban en su vida diaria y evolución tecnológica alcanzada en otras actividades. Por medio del estudio de microhuellas de uso en la lítica (Aoyama 2001) se han determinado algunas actividades realizadas con la lítica como cortar, que es la más frecuente, le siguen raspar, picar y taladrar. Depende además del tipo de material, por ejemplo, la acción de cortar fue dominante en la obsidiana pues consiste en navajas prismáticas, la acción más frecuente con el pedernal también fue cortar no obstante la acción realizada con los artefactos de pedernal fue más variada que los de obsidiana: raspar, raspar y tallar, picar, tallar, cortar a golpe, taladrar, excavar y grabar.

Para el análisis el cual fue muy general, inició con el ordenamiento del mismo por sitio y temporada, se contabilizó uno por uno cada fragmento, que en principio debe anotarse que en su mayoría se compone de lascas de desecho o bien como herramienta pues en ningún momento de la historia prehispánica esta materia prima aunque evolucionó, dejó de usarse como instrumento secundario para el procesamiento de alimentos y otros bienes de consumo, la materia prima más utilizada fue el pedernal o sílex.

CANTIDADES

SITIO	CANTIDAD DE FRAGMENTOS	TEMPORADAS
Holmul	163	2017, 2018
Sufricaya	677	2017, 2018
Witzna	62	2018
Xmakabatun	14	2017, 2018
TOTALES	916	

Posteriormente se procedió a apartar de todo el material de reducción y desecho (lascas) aquellos instrumentos de piedra pulida, tallada y obsidiana, siendo el pedernal la principal materia prima. En una ficha general que incluyó los siguientes datos:

Procedencia

Categoría

- | | | | | | |
|------------------------|-----------------------------------|--------------------|----------|-----------|-------------|
| 1. Piedra Pulida | 2. Nódulo | 3. Núcleo | 4. Lasca | 5. Navaja | 6. Bifacial |
| 7. Punta de proyectil. | 8. Productos de reducción/desecho | 9. Piedra de cueva | 10. ND | | |

Tipo de Instrumento (Obsidiana y Pedernal)

- | | |
|----------------------|-------------------------|
| 1. Navaja Prismática | 7. Hacha |
| 2. Navaja Irregular | 8. Cuchillo |
| 3. Lasca | 9. Preforma |
| 4. Macronavaja | 10. No determinado (ND) |
| 5. Núcleo | 11. Residuos |
| 6. Trozo | 12. Malacate |

Parte

Fuente (Obsidiana)

Uso

- | | | | | |
|-------------|--------------|----------------|---------------------|-----------------|
| 1. Proximal | 1. El Chayal | 1. Sin uso | 5. Desgaste dorsal | 9. ND |
| 2. Medial | | 2. Uso leve | 6. Desgaste lateral | 10. Relasqueado |
| 3. Distal | | 3. Uso medio | 7. Desgaste ventral | |
| 4. ND | | 4. Uso extremo | 8. Horadación | |

Ancho

Corteza

Largo

Condición

Grosor

A manera de tabla a continuación se presenta el resumen de los datos recabados por categoría y tipo de instrumento:

PROCEDENCIA	CATEGORÍA	TIPO DE INSTRUMENTO	MATERIAL
WIT.T.13.02	BIFACIAL	PREFORMA	PEDERNAL
WIT.T.22.01	BIFACIAL	PREFORMA	PEDERNAL
WIT.T.22.01	BIFACIAL	CUCHILLO	PEDERNAL
WIT.T.11.02	BIFACIAL	HACHA	PEDERNAL
WIT.T.20.00	BIFACIAL	PREFORMA	PEDERNAL
WIT.T.10.03	BIFACIAL	PREFORMA	PEDERNAL
WIT.L.21.05	BIFACIAL	PREFORMA	PEDERNAL

WIT.T.10.40	BIFACIAL	PREFORMA	PEDERNAL
WIT.T.18.06	BIFACIAL	EXCÉNTRICO	PEDERNAL
WIT.T.18.06	BIFACIAL	EXCÉNTRICO	PEDERNAL
WIT.T.18.06	BIFACIAL	EXCÉNTRICO	PEDERNAL
WIT.T.18.06	BIFACIAL	EXCÉNTRICO	PEDERNAL
SUF.T.81.01.04.01	BIFACIAL	PUNTA DE PROYECTIL	PEDERNAL
HOL.T.101.12	LASCAS	RESIDUOS	PEDERNAL
WIT.T.18.06	LASCAS	LASCA	PEDERNAL
XMA.T.01.09	NAVAJA	NAVAJA PRISMÁTICA	OBSIDIANA
XMA.T.05.02	NAVAJA	NAVAJA PRISMÁTICA	OBSIDIANA
SUF.PL.24.04	NAVAJA	NAVAJA IRREGULAR	PEDERNAL
WIT.T.05.03	NAVAJA	NAVAJA PRISMÁTICA	OBSIDIANA
WIT.L.20.04	ND	ND	CALIZA
SUF.PL.24.01.07.01	ND	ND	CALCITA (CONGLOMERADO)
HOL.T.101.11	NÓDULO	ND	PEDERNAL
HOL.T.100.22	NÓDULO	ND	PEDERNAL
HOL.T.101.12	NÓDULO	ND	CUARCITA
HOL.T.101.12	NÓDULO	ND	PEDERNAL
HOL.T.100.12	NÓDULO	ND	PEDERNAL
SUF.PL.08.03	NÓDULO	ND	PEDERNAL
SUF.PL.08.03	NÓDULO	RESIDUOS	PEDERNAL
WIT.L.20.01	PIEDRA DE CUEVA	ND	CALIZA
WIT.L.20.21	PIEDRA PULIDA	PULIDOR/ALISADOR	CALIZA
WIT.T.21.00	PIEDRA PULIDA	MALACATE	CALIZA
WIT.T.18.01	PIEDRA PULIDA	ESFÉRICO PLANO PERFORADO	CALIZA
WIT.T.18.06	PIEDRA PULIDA	ESFÉRICO NO PERFORADO	CALIZA
WIT.T.18.06	PIEDRA PULIDA	HACHA	PEDERNAL
XMA.T.07.02	PIEDRA PULIDA	PREFORMA	PEDERNAL
XMA.T.01.09	PIEDRA PULIDA	PREFORMA	PEDERNAL
XMA.T.01.02	PIEDRA PULIDA	PREFORMA	PEDERNAL
HOL.T.101.11	PIEDRA PULIDA	MANO A MACHACADOR	CUARCITA
XMA.T.02.01	PIEDRA PULIDA	CINCEL	PEDERNAL
SUF.PL.11.01	PIEDRA PULIDA	PREFORMA	PEDERNAL
SUF.PL.24.01	PIEDRA PULIDA	PULIDOR/ALISADOR	CALIZA
SUF.T.84.02.04.01	PIEDRA PULIDA	PREFORMA	PEDERNAL
SUF.PL.17.01.07.01	PIEDRA PULIDA	MACHACADOR	GRANITO (CONGLOMERADO)
SUF.PL.23.01.04.01	PIEDRA PULIDA	HACHA	PEDERNAL
WIT.T.17.0	PRODUCTOS DE REDUCCIÓN/DESECHO	LASCA	PEDERNAL
WIT.T.18.06	PRODUCTOS DE REDUCCIÓN/DESECHO	LASCA	PEDERNAL
WIT.T.22.01	PRODUCTOS DE REDUCCIÓN/DESECHO	LASCA	PEDERNAL

HOL.T.101.11	PRODUCTOS DE REDUCCIÓN/DESECHO	LASCA	PEDERNAL
HOL.T.101.12	PRODUCTOS DE REDUCCIÓN/DESECHO	RESIDUOS	PEDERNAL
HOL.T.100.12	PRODUCTOS DE REDUCCIÓN/DESECHO	RESIDUOS	ALABASTRO
SUF.T.84.02	PRODUCTOS DE REDUCCIÓN/DESECHO	LASCA	PEDERNAL
SUF.T.84.02	PRODUCTOS DE REDUCCIÓN/DESECHO	TROZOS	PEDERNAL
SUF.PL.24.04	PRODUCTOS DE REDUCCIÓN/DESECHO	TROZOS	PEDERNAL
SUF.PL.08.03	PUNTA	PREFORMA	PEDERNAL

La mayoría de instrumentos de piedra ya acabados se recuperaron en Witzna, incluyendo una ofrenda de excéntricos, fechados según la cerámica para el Clásico Temprano, navajas prismáticas de obsidiana solamente se recuperaron cuatro en los tres sitios a excepción de Holmul, con fechas bastante tempranas desde el Preclásico Terminal. Por la presencia de tanto desecho y lascas de pedernal o fragmentos que si fueron utilizados al máximo incluso hasta con corteza, se nota que los habitantes de la región de Holmul no eran productores especializados, esto también se puede notar por la presencia de errores en la talla de varios fragmentos y la poca frecuencia de navajas prismáticas u otros instrumentos acabados lo confirman, definitivamente no fueron productores ni distribuidores de productos acabados, seguramente importaban o intercambiaban estos bienes por cerámica por ejemplo en la que si denotan una destreza artística impresionante.



Figura 9.19. Navajas prismáticas de obsidiana fechadas para el Preclásico Terminal (Foto A. Arroyave).



Figura 9.20. Piedras de caliza horadadas, el último ejemplar a la derecha es una esfera también de caliza (Foto A. Arroyave).



Figura 9.21. Ofrenda de Excéntricos de pedernal encontrada en Witzna (Foto A. Arroyave).



Figura 9.22. Bifaciales, puntas de flecha, preformas y nódulo de pedernal. (Foto A. L. Arroyave).



Figura 9.23. Productos de desecho y lascas de pedernal, este fue el tipo de lítica mayormente recuperada en las excavaciones, piedras pulida que funcionó como machacador (conglomerado de granito) y el último ejemplar es un pulidor/alisador de caliza probablemente para trabajar papel, plantas o pieles.

REFERENCIAS

Aoyama, Kazuo

2001 Ritos de plebeyos mayas en la Cueva Gordon No.3 de Copán (Honduras) durante el periodo Clásico: Análisis de microhuellas de uso sobre la lítica menor de obsidiana. *Mayab* (14):5-16. Madrid.

Callaghan, Michael G. y Nina Nievens

2016 *The Ceramic Sequence of the Holmul Region, Guatemala*. The University of Arizona Press, Tucson, USA.

Hatch, Marion

1997 *Kaminaljuyú/San Jorge. Evidencia Arqueológica de la Actividad Económica en el Valle de Guatemala, 300 a.C. a 300 d.C.* Universidad del Valle de Guatemala. Guatemala.

Estrada-Belli, Francisco

2018 Capítulo 1. Investigaciones Arqueológicas y Conservación de Arquitectura Monumental en la Región de Holmul, Resumen de la Temporada 2017. En *Investigaciones arqueológicas y conservación monumental en la región de Holmul. Temporada 2017*. Informe presentado a la Dirección General del Patrimonio Cultural y Natural, Guatemala.

Laporte, Juan Pedro, Heidy Quezada, Jennifer Braswell y María Elena Ruíz Aguilar

1996 Una propuesta para el análisis de los artefactos de piedra tallada del Atlas Arqueológico de Guatemala. En *Atlas Arqueológico de Guatemala. Reporte No.10* (editado por J.P. Laporte), pp.589-610. Atlas Arqueológico de Guatemala y Área de Arqueología, USAC, Guatemala.

Méndez Lee, Diana

2018 Capítulo 8. Análisis cerámico del Proyecto Arqueológico Holmul temporadas 2012-2016. En *Investigaciones arqueológicas y conservación monumental en la región de Holmul. Temporada 2017*. Informe presentado a la Dirección General del Patrimonio Cultural y Natural, Guatemala.

Méndez Lee, Diana

2017 Capítulo 14. Análisis de materiales de Holmul. . En *Investigaciones arqueológicas y conservación monumental en la región de Holmul. Temporada 2016*. Informe presentado a la Dirección General del Patrimonio Cultural y Natural, Guatemala.

Méndez Lee, Diana

2016 El Edificio N de Holmul, un ejemplo del desarrollo de la arquitectura ceremonial Maya en el período Preclásico. Tesis de Licenciatura, Escuela de Historia, USAC, Guatemala.

Ruiz Aguilar, María Elena

1996 Tecnología prehispánica: Los artefactos de piedra y el manejo de la obsidiana, el pedernal y el jade. En *Piezas Maestras Mayas*, pp.34-43. Fundación G&T, Guatemala.

Tokovinine, Alexandre y Julián Adolfo Canan

2018 Capítulo 7. Reconocimiento, excavaciones y rescate en el área de La Sufricaya, Holmul, Petén, Guatemala. En *Investigaciones arqueológicas y conservación monumental en la región de Holmul. Temporada 2017*. Informe presentado a la Dirección General del Patrimonio Cultural y Natural, Guatemala.

ANEXO 1		DATOS DE LÍTICA												
PROCEDENCIA	CATEGORÍA	MATERIAL	COLOR	PARTE	LARG cm	ANCH cm	GROSOR cm/mm	HORADACIÓN cm/mm	FUENTE (OBSIDIANA)	CORTEZA	CONDICIÓN	USO	FORMA	
WIT.T.13.02	BIFACIAL	PEDERNAL	BLANCO	MEDIAL						No	QUEBRADO	ND		
WIT.T.22.01	BIFACIAL	PEDERNAL	BLANCO	ND			8.3	2.5			QUEBRADO	MARGEN RELASQUEADO		
WIT.T.22.01	BIFACIAL	PEDERNAL	GRIS Y BLANCO		10.7		3.8	0.6			COMPLETO	SIN USO	MÁRGENES SIMÉTRICOS	
WIT.T.11.02	BIFACIAL	PEDERNAL	CREMA/BLANCO	MEDIAL Y DISTAL			9	8		EN SUPERFICIE DORSAL	QUEBRADO	USO LEVE		
WIT.T.20.00	BIFACIAL	PEDERNAL	BEIGE	MEDIAL Y DISTAL			11.9	5.5		EN SUPERFICIE DORSAL	QUEBRADO	SIN USO		
WIT.T.10.03	BIFACIAL	PEDERNAL	BEIGE	MEDIAL Y DISTAL			6.9	7.3		NO	COMPLETO	MARGEN RELASQUEADO		
WIT.L.21.05	BIFACIAL	PEDERNAL	CAFÉ	PROXIMAL Y MEDIAL			9.8	8.8		EN SUPERFICIE DORSAL	QUEBRADO	SIN USO		
WIT.T.10.40	BIFACIAL	PEDERNAL	CAFÉ				8.4	4.6		NO	COMPLETO	MARGEN RELASQUEADO		
WIT.T.18.06	BIFACIAL	PEDERNAL	CAFÉ				11.2	6.5		No	COMPLETO	SIN USO		
WIT.T.18.06	BIFACIAL	PEDERNAL	CAFÉ				8.1	3.6		No	COMPLETO	SIN USO		
WIT.T.18.06	BIFACIAL	PEDERNAL	AMARILLO				6.4	5.8		SI	COMPLETO	SIN USO		
WIT.T.18.06	BIFACIAL	PEDERNAL	CAFÉ				5.4	5	1.2	UN POCO	COMPLETO	SIN USO		
SUF.T.81.01.04.01	BIFACIAL	PEDERNAL	BEIGE	COMPLETO			6	3		No	COMPLETO	ND		
HOL.T.101.12	LASCAS	PEDERNAL	BLANCO Y CAFÉ							SI	FRAGMENTO			
WIT.T.18.06	LASCAS	PEDERNAL	CAFÉ				6.5	4		UN POCO	COMPLETO	USO LEVE		
XMA.T.01.09	NAVAJA	OBSIDIANA	GRIS TRASLÚCIDO	MEDIAL			1.1	1.1		El Chayal	NO	QUEBRADO	USO LEVE	
XMA.T.05.02	NAVAJA	OBSIDIANA	GRIS TRASLÚCIDO	PROXIMAL			1.5	0.9		El Chayal	NO	QUEBRADO	USO LEVE	
SUF.PL.24.04	NAVAJA	PEDERNAL	CAFÉ	DISTAL			4	2.5			No	QUEBRADO	DESGASTE LATERAL	
WIT.T.05.03	NAVAJA	OBSIDIANA	GRIS TRASLÚCIDO	MEDIAL Y PROXIMAL			6.3	1.1		El Chayal	No	QUEBRADO	SIN USO	
WIT.L.20.04	ND	ND	BLANCO	ND			17.3	9		0.7	No	COMPLETO	ND	
SUF.PL.24.01.07.01	ND	CALCITA (CONGLOMERADO)					12	12			No	QUEBRADO	SIN FORMA	
HOL.T.101.11	NÓDULO	PEDERNAL	NEGRO							SI	COMPLETO	SIN USO	BLOQUE	
HOL.T.100.22	NÓDULO	PEDERNAL	GRIS				8.4	9.2		SI	COMPLETO	SIN USO	SIN FORMA	
HOL.T.101.12	NÓDULO	PEDERNAL	CREMA							SI	COMPLETO	PARA GOLPEAR	SIN FORMA	
HOL.T.101.12	NÓDULO	PEDERNAL	BLANCO				9.2	9		SI	COMPLETO	PARA GOLPEAR		
HOL.T.100.12	NÓDULO	PEDERNAL	CREMA							SI	FRAGMENTO	SIN USO		
SUF.PL.08.03	NÓDULO	PEDERNAL	ROSADO CLARO	ND			9.5	9		SI	COMPLETO	PARA GOLPEAR		
SUF.PL.08.03	NÓDULO	PEDERNAL	BEIGE				7.5	5.8		UN POCO	COMPLETO	SIN USO		
WIT.L.20.01	PIEDRA DE CUEVA	CALIZA	BLANCO	ND			10.5	7.5		1.8	No	COMPLETO	ND	
WIT.L.20.21	PIEDRA PULIDA	CALIZA	ROSADO CLARO	DISTAL			6	6			No	QUEBRADO	DESGASTE VENTRAL	
WIT.T.21.00	PIEDRA PULIDA	CALIZA	BEIGE				3	3.2			No	COMPLETO	DESGASTE VENTRAL	
WIT.T.18.01	PIEDRA PULIDA	CALIZA	BLANCO				14	12.2		3	No	COMPLETO	HORADACIÓN	
WIT.T.18.06	PIEDRA PULIDA	CALIZA	ROSADO CLARO				2.3	2.2			No	COMPLETO	DESGASTE VENTRAL	
WIT.T.18.06	PIEDRA PULIDA	PEDERNAL	GRIS	PROXIMAL			4.8	4.6			EN EXTREMO PROXIMAL	QUEBRADO	ND	
XMA.T.07.02	PIEDRA PULIDA	PEDERNAL	CAFÉ				10	6			POCO EN SECCIÓN PROXIMAL	QUEBRADO	SIN USO	
XMA.T.01.09	PIEDRA PULIDA	PEDERNAL	BLANCO Y GRIS				9	6.8			EN SUPERFICIE DORSAL	QUEBRADO	SIN USO	
XMA.T.01.02	PIEDRA PULIDA	PEDERNAL	CREMA/BLANCO				9	6.5			NO	COMPLETO	SIN USO	
HOL.T.101.11	PIEDRA PULIDA	CUARCITA	GRIS	EXTREMO			5	5.3			NO	FRAGMENTO	ND	
XMA.T.02.01	PIEDRA PULIDA	PEDERNAL	BLANCO	ND			12.9	7			UN POCO	COMPLETO	LEVE	
SUF.PL.11.01	PIEDRA PULIDA	PEDERNAL	BLANCO Y CREMA				9.5	6.3			No	COMPLETO	PARA GOLPEAR	
SUF.PL.24.01	PIEDRA PULIDA	CALIZA	BEIGE				7.2	6			No	COMPLETO	LEVE	
SUF.T.84.02.04.01	PIEDRA PULIDA	PEDERNAL	CAFÉ	DISTAL			9.3	7			No	QUEBRADO	SIN USO	
SUF.PL.17.01.07.01	PIEDRA PULIDA	GRANITO (CONGLOMERADO)					9.2	5			No	COMPLETO	LEVE	
SUF.PL.23.01.04.01	PIEDRA PULIDA	PEDERNAL	BLANCO	PROXIMAL			4.6	4.3			SI	QUEBRADO	ND	
WIT.T.17.0	PRODUCTOS DE REDUCCIÓN/DESECHO	PEDERNAL	BEIGE								No			
WIT.T.18.06	PRODUCTOS DE REDUCCIÓN/DESECHO	PEDERNAL	AMARILLO											
WIT.T.22.01	PRODUCTOS DE REDUCCIÓN/DESECHO	PEDERNAL												
HOL.T.101.11	PRODUCTOS DE REDUCCIÓN/DESECHO	PEDERNAL	BLANCO Y ROJO							SI		USO LEVE		
HOL.T.101.12	PRODUCTOS DE REDUCCIÓN/DESECHO	PEDERNAL	AMARILLO/ROJO/CREMA/GRIS/BLANCO/CAFÉ Y NEGRO							SI	FRAGMENTO	LEVE, SIN USO, MEDIO		
HOL.T.100.12	PRODUCTOS DE REDUCCIÓN/DESECHO	ALABASTRO	BLANCO				3	3.7		SI	FRAGMENTO	USO LEVE		
SUF.T.84.02	PRODUCTOS DE REDUCCIÓN/DESECHO	PEDERNAL	ROJO/BLANCO				4.5	3.5		SI		LEVE		
SUF.T.84.02	PRODUCTOS DE REDUCCIÓN/DESECHO	PEDERNAL	GRIS, BLANCO, JASPEADO							SI		SIN USO		
SUF.PL.24.04	PRODUCTOS DE REDUCCIÓN/DESECHO	PEDERNAL	ROJIZO, BLANCO, CAFÉ				6.8	3.5		SI		ND		
SUF.PL.08.03	PUNTA	PEDERNAL	BEIGE				7.7	4		SI	QUEBRADO	SIN USO		

ANEXO 2
CATÁLOGO DE PIEZAS COMPLETAS Y SEMICOMPLETAS DEL PROYECTO
ARQUEOLÓGICO HOLMUL

Elaborado por MA. Ana Lucía Arroyave

No. 001

PROCEDENCIA: WIT.T.13.10 SITIO: Witzna TEMPORADA: 2018

CONTEXTO: Ofrenda, Witzna Este en la Atalaya (en inglés *Watchtower*)

COMPLEJO CRÁMICO REGIÓN DE HOLMUL: Kak'3 ESFERA: Tzakol 3

PERIODO: Clásico Temprano CRONOLOGÍA: 450-550 d.C.

GRUPO CERÁMICO: Águila

TIPO CERÁMICO: Águila Naranja

VARIEDAD: Pasta Micácea

DIMENSIONES:

Alto: 5.1 cm

Diámetro Boca: 22 cm

Diámetro Base: 12.5 cm

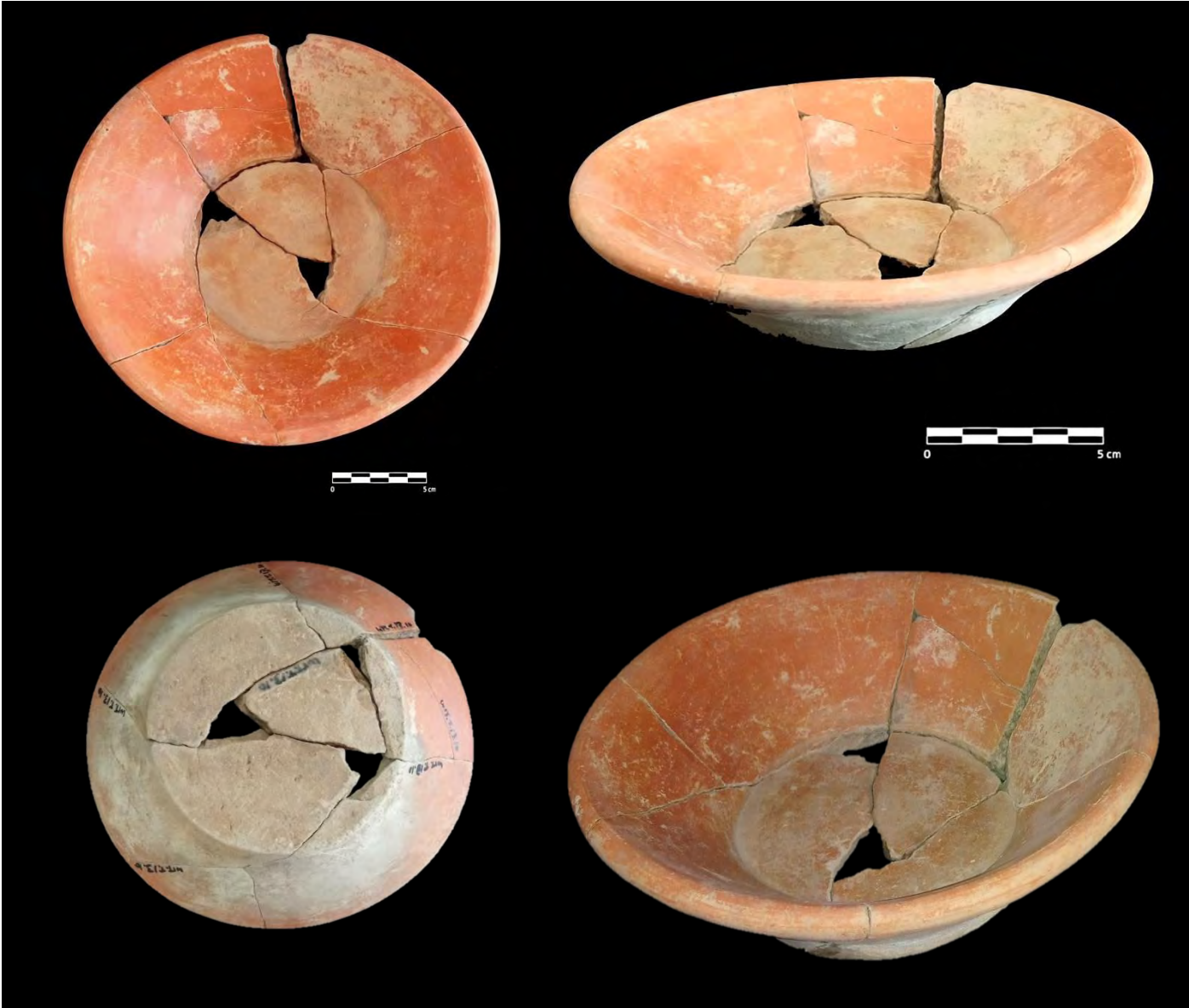
Grosor de pared: 9 mm

FORMA: Plato de paredes altas recto-divergentes, de base plana, borde directo labio redondeado.

SUPERFICIE: Plato monocromo, con engobe color naranja (Munsell 5YR6/8), cubierto totalmente en el interior y parcialmente el exterior llegando solamente hasta la mitad del cuerpo, por tanto el resto hasta la base solamente está pulido mostrando el color de la pasta (Munsell 2.5YR7/3) amarillo opaco, la pasta tiene inclusiones de mica las cuales también se observan a través del engobe.

ESTADO DE CONSERVACIÓN: Para evitar aún más su erosión se unieron los fragmentos de este plato con B-72, un polímero a base de acetona que puede ser removido sin dañar la pieza. Se encontraba fragmentada en 8 pedazos, se reconstruyó en un 98% pues faltan dos fragmentos de su base, por efectos de la erosión la pieza no caza en uno de sus lados, ya que la cerámica tiende a expandirse o torcerse por el paso del tiempo.

FOTOGRAFÍA



No. 002

PROCEDENCIA: WIT.T.13.10

SITIO: Witzna

TEMPORADA: 2018

CONTEXTO: Witzna Este, Atalaya (en inglés *Watchtower*)

COMPLEJO CRÁMICO REGIÓN DE HOLMUL: Kak'3

ESFERA: Tzakol 3

PERIODO: Clásico Temprano CRONOLOGÍA: 450-550 d.C.

GRUPO CERÁMICO: Águila

TIPO CERÁMICO: Águila Naranja

VARIEDAD: Pasta Micácea

DIMENSIONES:

Alto: 6.1 cm

Diámetro Boca: 22.9 cm

Diámetro Base: 12.5 cm

Grosor de pared: 9 mm

FORMA: Plato de paredes altas recto-divergentes, de base plana, borde directo labio redondeado.

SUPERFICIE: Plato monocromo, con engobe color naranja (Munsell 5YR6/8), cubierto totalmente en el interior y parcialmente el exterior llegando solamente hasta la mitad del cuerpo, por tanto el resto hasta la base solamente está pulido mostrando el color de la pasta (Munsell 2.5YR7/3) amarillo opaco, la pasta tiene inclusiones de mica las cuales también se observan a través del engobe.

ESTADO DE CONSERVACIÓN: Plato fragmentado en 11 pedazos, reconstruible en un 99% ya que falta un fragmento de la base, este plato a diferencia del Plato 001 está más erosionado, aunque fueron parte de la misma ofrenda sobrepasa a la primera por un centímetro de altura y contiene más mica en su pasta.

FOTOGRAFÍA



No. 003

PROCEDENCIA: WIT.T.17.12

SITIO: Witzna

TEMPORADA: 2018

CONTEXTO: Witzna Este, Estructura 2

COMPLEJO CRÁMICO REGIÓN DE HOLMUL: Chak 1-2

ESFERA: Tepeu 1-2

PERIODO: Clásico Tardío

CRONOLOGÍA: 600-800 d.C.

GRUPO CERÁMICO: Saxche/Palmar Naranja Policromo

TIPO CERÁMICO: Leona rojo sobre naranja

VARIEDAD: Leona

DIMENSIONES:

Alto: 7.1 cm

Diámetro Boca: 15.7 cm

Diámetro Base: 12.7 cm

Grosor de pared: 1 cm

FORMA: Cuenco de paredes rectas y altas levemente divergentes de base plana, el interior tiene una leve curvatura en su junta, borde directo de labio redondeado.

SUPERFICIE: Engobe naranja (Munsell 7.5YR7/8) como color base en el exterior a excepción de la base, el interior tiene engobe hasta la mitad de la pared, la base tampoco tiene engobe aunque si lo tuvo pero por la erosión ya no se ve, la base está pulida y alisada del color de la pasta gris claro (Munsell 7.5YR8/1). El exterior está decorado, primero con una banda roja horizontal alrededor de todo el cuenco cubriendo el labio y parte del borde, luego delimitada hay una línea más roja, espacio naranja y luego otra línea delgada color negro, presenta tres bandas gruesas de 2 a 3 cm de ancho pintadas en rojo en posición vertical, seguramente por simetría las tuvo del otro lado de la pieza.

ESTADO DE CONSERVACIÓN: Cuenco fragmentado en 3 pedazos los cuales se unieron con B72 para evitar más su erosión, reconstruible en un 50%, falta casi la mitad de la pieza, el borde también se encuentra erosionado y fragmentado.

FOTOGRAFÍA



No. 004

PROCEDENCIA: Xmakabatun

SITIO: Xmakabatun

TEMPORADA: 2017

CONTEXTO: Superficie, Pirámide Sur

COMPLEJO CRÁMICO REGIÓN DE HOLMUL: Kak 1-3

ESFERA: Tzakol 1-3

PERIODO: Clásico Temprano

CRONOLOGÍA: 300-600 d.C.

GRUPO CERÁMICO: Águila

TIPO CERÁMICO: Águila Naranja

VARIEDAD: Águila

DIMENSIONES:

Alto: 4.8 cm

Diámetro Boca: 21.5 cm

Diámetro Base: 13 cm

Grosor de pared: 7 mm

FORMA: Plato de paredes altas divergentes levemente curvadas hacia afuera, con base plana, borde directo labio redondeado.

SUPERFICIE: Engobe de tonalidad rojo-naranja (Munsell 2.5YR6/8) en el interior bien pulido, el exterior tiene una nube negra de cocción que cubre poco más de la mitad hacia la base, la base está pulida y alisada del color de la pasta (Munsell 2.5YR7/4) amarillo claro.

ESTADO DE CONSERVACIÓN: Reconstruible en un 97%, fragmentada en 5 pedazos unidos con B72, faltan algunos fragmentos de la base, por las fracturas se calcula que faltan 4, además de un fragmento de la pared y borde.

FOTOGRAFÍA



No. 005

PROCEDENCIA: HOL.T.93.76.02.03 SITIO: Holmul TEMPORADA: 2018

CONTEXTO: Ofrenda, Vasija 3

COMPLEJO CERÁMICO REGIÓN DE HOLMUL: Kak 1-3 ESFERA: Tzakol 1-3

PERIODO: Clásico Temprano CRONOLOGÍA: 300-600 d.C.

GRUPO CERÁMICO: Balanza

TIPO CERÁMICO: Balanza Negro

VARIEDAD: Balanza

DIMENSIONES:

Alto: 9 cm

Díámetro Boca: 21 cm

Díámetro Base: 7 cm

Grosor de pared: 5 mm

FORMA: Cuenco de paredes altas curvadas, base levemente convexa y borde directo labio agudo.

SUPERFICIE: Cubierta en el interior y exterior con un engobe negro bien pulido y lustroso, color la pasta es negro rojizo (Munsell 7.5YR2/1).

ESTADO DE CONSERVACIÓN: Reconstruible en un 95%, fragmentada en 14 pedazos.

FOTOGRAFÍA



No. 006

PROCEDENCIA: HOL.T.54.02.02

SITIO: Holmul

TEMPORADA: 2017

CONTEXTO: Edificio D, Grupo 1, Cuarto 1, Vasija 2.

COMPLEJO CRÁMICO REGIÓN DE HOLMUL: Chak 2

ESFERA: Tepeu 2

PERIODO: Clásico Tardío

CRONOLOGÍA: 700-800 d.C.

GRUPO CERÁMICO: Zacatal

TIPO CERÁMICO: Zacatal Crema Policromo

VARIEDAD: Zacatal

DIMENSIONES:

Alto: 7.8 cm

Diámetro Boca: 21.4 cm

Diámetro Base: 13.5 cm

Grosor de pared: 5 mm

FORMA: Cuenco de paredes altas recto divergentes, base plana con borde directo labio redondeado.

SUPERFICIE: Interior, engobe naranja pálido como base, banda horizontal negra cubriendo labio y borde alrededor de todo el cuenco, espacio naranja, luego 3 bandas rojas de 1 cm de ancho separadas otro centímetro, horizontales alrededor de la pieza. Exterior, engobe crema como base, decoración en rojo y negro, diseños abstractos en bandas horizontales alrededor de todo el cuenco.

ESTADO DE CONSERVACIÓN: Reconstruible en un 100%, fragmentada en 12 pedazos.

FOTOGRAFÍA



No. 007

PROCEDENCIA: HOL.T.54.02.01

SITIO: Holmul

TEMPORADA: 2017

CONTEXTO: Edificio D, Grupo 1, Cuarto 1, Ofrenda.

COMPLEJO CRÁMICO REGIÓN DE HOLMUL: Chak 1

ESFERA: Tepeu 1

PERIODO: Clásico Tardío

CRONOLOGÍA: 600-700 d.C.

GRUPO CERÁMICO: Saxche

TIPO CERÁMICO: Saxche Naranja Policromo

VARIEDAD: Saxche

DIMENSIONES:

Alto: 6.8 cm

Diámetro Boca: 31 cm

Diámetro Base: 8.5 cm

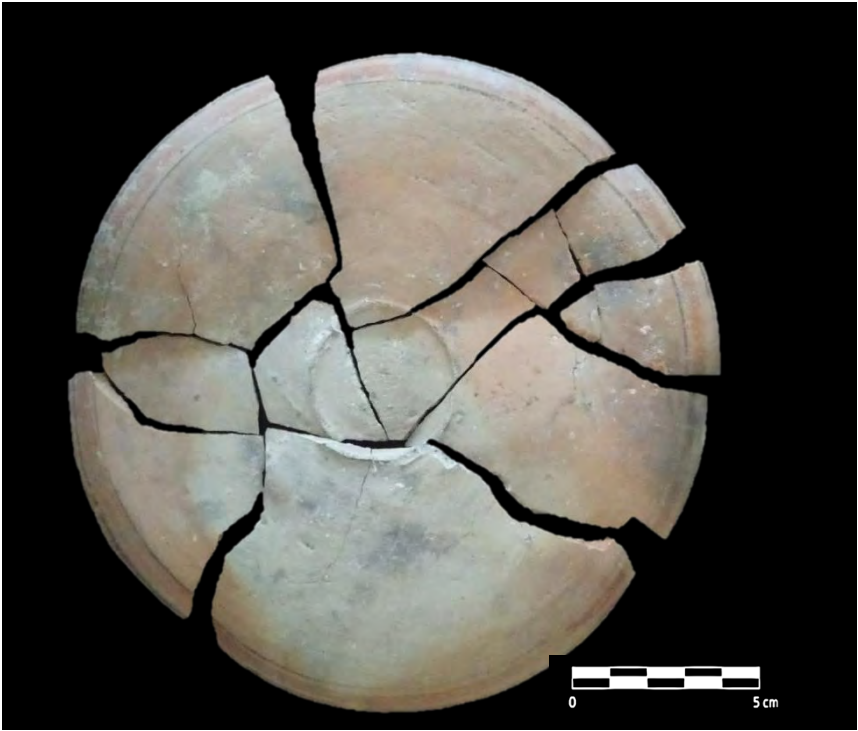
Grosor de pared: 7 mm

FORMA: Plato de paredes cortas levemente curvo divergentes, abierto con una pequeña pestaña medial y base anular al exterior, borde directo labio redondeado.

SUPERFICIE: El exterior es pulido y alisado del color de la pasta (Munsell 2.5YR7/1 Gris Claro), en el interior se encuentra la decoración consistente en engobe crema como base, luego engobe naranja como engobe principal, decorado con bandas alrededor de todo el plato, comenzando desde el labio hacia el centro, banda roja en el labio y borde, línea negra, banda crema, línea negra, banda de naranja decorada con 12 glifos distribuidos 3 por lado, delineados en negro, luego una línea negra, línea crema, línea negra, banda roja, línea negra, línea crema, banda negra, línea negra, al centro un dios o gobernante barbado en rojo, delineado con negro y en engobe naranja sus accesorios.

ESTADO DE CONSERVACIÓN: Reconstruible en un 100%, pieza fragmentada en 12 pedazos.

FOTOGRAFÍA



No. 008

PROCEDENCIA: HOL.T.93.76.02.02 SITIO: Holmul TEMPORADA: 2018

CONTEXTO: Vasija 2.

COMPLEJO CRÁMICO REGIÓN DE HOLMUL: Chak 1 ESFERA: Tepeu 1

PERIODO: Clásico Tardío CRONOLOGÍA: 600-700 d.C.

GRUPO CERÁMICO: Saxche

TIPO CERÁMICO: Saxche Naranja Policromo

VARIEDAD: Saxche

DIMENSIONES:

Alto: 6.9 cm

Diámetro Boca: 27.5 cm

Diámetro Base: 7.3 cm

Grosor de pared: 7 mm

FORMA: Plato de paredes cortas levemente curvo divergentes, abierto con una pequeña pestaña medial y base anular al exterior, borde directo labio redondeado.

SUPERFICIE: El exterior presenta decoración únicamente en el labio y borde a través de dos bandas en negro y rojo bordeando la pieza, el resto no tiene engobe, la superficie es pulida y alisada. El interior tiene engobe naranja como base, con decoración en rojo y negro, banda negra y roja alrededor de toda la pieza, luego otra banda de motivos iconográficos, al centro un personaje dios o gobernante ataviado y sentado rodeado por un venado en color rojo y un ave en color negro.

ESTADO DE CONSERVACIÓN: Reconstruible en un 100%, pieza fragmentada en 12 pedazos.

FOTOGRAFÍA



No. 009

PROCEDENCIA: HOL.T.13.10 SITIO: Witzna Este

TEMPORADA: 2018

CONTEXTO: Atalaya (*Watchtower*) Lote de cuatro piezas miniaturas.

COMPLEJO CRÁMICO REGIÓN DE HOLMUL: Kak 3

ESFERA: Tzakol 3

PERIODO: Clásico Temprano

CRONOLOGÍA: 500-600 d.C.

GRUPO CERÁMICO: Quintal

TIPO CERÁMICO: Quintal sin Engobe

VARIEDAD: Quintal

DIMENSIONES:

Vasija	Alto	Diámetro boca	Diámetro base	Grosor	Circunferencia
a.	8 cm	5.3 cm	4.4 cm	3 mm	10.6 cm
b.	6.7 cm	2.6 cm	3.5 cm	4 mm	5.2 cm
c.	6.8 cm	5 cm	4.5 cm	5 mm	25 cm
d.	4.7-5 cm	4 cm	3.5 cm	3 mm	16 cm

FORMA:

- Cilindro miniatura de base plana, paredes curvo convergentes, labio directo redondeado, interior hueco y de superficie burda.
- Cilindro miniatura sin engobe, superficie sin pulir, forma troncocónica, base plana, interior hueco, labio directo.
- Cilindro miniatura, manufacturado sin destreza, con irregularidades en su forma globular, base más o menos plana.
- Ollita de forma irregular, sin engobe, superficie sin pulir.

SUPERFICIE: Todo el lote de miniaturas no presenta engobe, la superficie es burda, parecen haber sido hechas por alguien no tan experto, si están cocidas pero mal moldeadas.

ESTADO DE CONSERVACIÓN: Piezas completas.

FOTOGRAFÍA



No. 010

PROCEDENCIA: HOL.T.93.67.02.02 SITIO: Holmul TEMPORADA: 2018

CONTEXTO: Ofrenda. Lote de dos platos.

COMPLEJO CERÁMICO REGIÓN DE HOLMUL: Kak 3 ESFERA: Tzakol 3

PERIODO: Clásico Temprano CRONOLOGÍA: 535-596 d.C.

GRUPO CERÁMICO: Quintal

TIPO CERÁMICO: Quintal sin Engobe

VARIEDAD: Quintal

DIMENSIONES:

Vasija	Alto	Diámetro	Diámetro base	Grosor
a.	3.7 cm	17.2 cm	7.5 cm	6 mm
b.	4 cm	16.7 cm	6 cm	6 mm

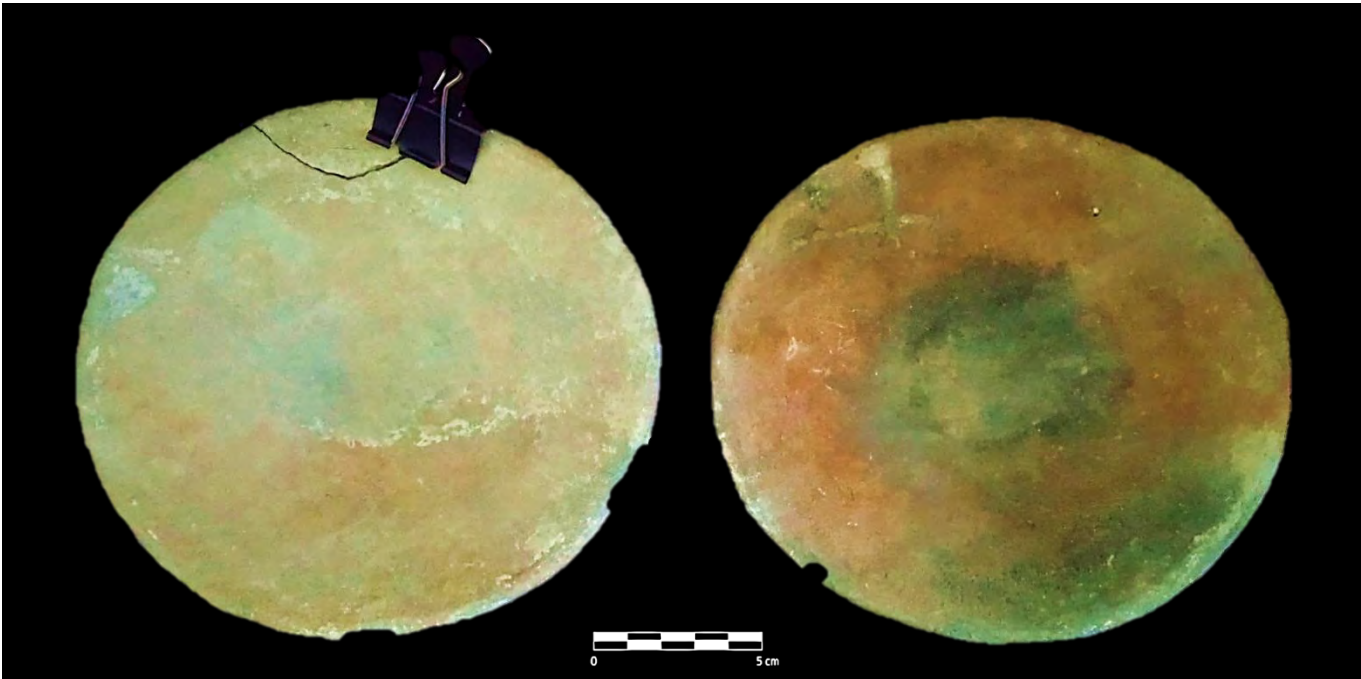
FORMA:

- a. Plato abierto de paredes cortas recto divergentes con base plana.
- b. Plato abierto de paredes cortas recto divergentes con base plana.

SUPERFICIE: Platos sin engobe interior y exterior, superficie pulida y alisada.

ESTADO DE CONSERVACIÓN: El plato a. es reconstruible 100% solamente está fragmentado en un lado, el plato b. está completo.

FOTOGRAFÍA



No. 011

PROCEDENCIA: HOL.T.93.77.02.02 SITIO: Holmul TEMPORADA: 2018

CONTEXTO: Ofrenda.

COMPLEJO CERÁMICO REGIÓN DE HOLMUL: Chak 1 ESFERA: Tepeu 1

PERIODO: Clásico Tardío CRONOLOGÍA: 598 d.C.

GRUPO CERÁMICO: Cambio

TIPO CERÁMICO: Pedregal Modelado

VARIEDAD: Aplicado-Pintado

DIMENSIONES:

Vasija		Tapadera	
Alto	16 cm	Alto	2.7 cm
Díámetro boca	9 cm	Alto con espiga	10 cm
Díámetro base	11.5 cm		
Grosor	4 mm		

FORMA: Vasija tipo incensario-efigie con tapadera, tiene decoración aplicada en pastillaje y moldeado, el personaje principal se encuentra en solo la mitad de la pieza, es la representación de Tlaloc, tiene vestigios de pintura amarilla, es una vasija cuya forma genérica es la del cilindro, de base plana con tapadera decorada con una espiga.

SUPERFICIE: El acabado de superficie es algo burdo, no es tan alisada, no presenta ningún engobe como base, solamente pintura amarilla y quizás negro en los ojos de espiral directamente sobre la superficie, el color de la pasta es Munsell 10Y7/1 gris claro.

ESTADO DE CONSERVACIÓN: La vasija está completa, a la tapadera le falta un fragmento pero está completa en un 98%, sin embargo, en el caso del cilindro este se encuentra muy vulnerable, el pastillaje podría desprenderse y parte de su superficie. Tiene una fractura en la parte de atrás del cilindro que casi lo atraviesa, por lo que debe ser manipulada cuidadosamente.

FOTOGRAFÍA



No. 012

PROCEDENCIA: HOL.T.93.77.02.02 SITIO: Holmul TEMPORADA: 2018

CONTEXTO: Ofrenda.

COMPLEJO CERÁMICO REGIÓN DE HOLMUL: Chak 1 ESFERA: Tepeu 1

PERIODO: Clásico Tardío CRONOLOGÍA: 554 d.C.

GRUPO CERÁMICO: Saxche

TIPO CERÁMICO: Saxche Naranja Policromo

VARIEDAD: Saxche

DIMENSIONES:

Alto: 17.1 cm

Díámetro boca: 12.8 cm

Díámetro base: 11.8 cm

Grosor: 3 mm

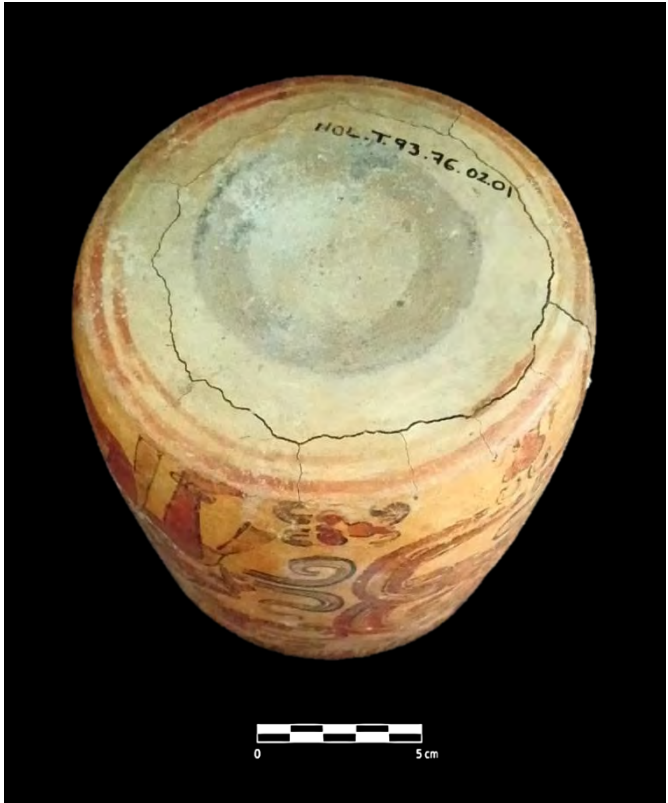
Circunferencia: 25.6 cm

FORMA: Cilindro o vaso, de base plana con paredes rectas levemente divergentes, borde directo, labio redondeado.

SUPERFICIE: Engobe naranja como base en el interior y exterior a excepción de la base en la parte externa, el interior del vaso presenta una banda negra en el labio y luego una roja horizontal alrededor de todo el borde, en el exterior la decoración es policroma en rojo, negro y naranja, presenta una banda de glifos delineados en negro justo abajo del borde, luego la escena principal protagonizada por el Dios Colibrí, según las inscripciones descritas este fue un vaso para tomar el chocolate (Ver Capítulo 1).

ESTADO DE CONSERVACIÓN: Está completa aunque presenta una fractura exterior alrededor de toda la base extendiéndose un poco hacia uno de sus lados, partes de la superficie se han desprendido en lascas y otras más están por desprenderse por lo que su condición es delicada, debe manipularse con mucho cuidado ya que se estructura está por reventar.

FOTOGRAFÍA



No. 013

PROCEDENCIA: HOL.T.93.77.02.04 SITIO: Holmul TEMPORADA: 2018

CONTEXTO: Ofrenda.

COMPLEJO CRÁMICO REGIÓN DE HOLMUL: Chak 1 ESFERA: Tepeu 1

PERIODO: Clásico Tardío CRONOLOGÍA: 554-598 d.C.

GRUPO CERÁMICO: Cambio

TIPO CERÁMICO: Cambio sin Engobe

VARIEDAD: Cambio

DIMENSIONES:

Vasija		Tapadera	
Alto	13.5 cm	Alto	2 cm
Diámetro boca	8 cm	Alto con espiga	8.5 cm
Diámetro base	10.5 cm	Diámetro	9.5 cm
Grosor	3 mm		
Circunferencia	16 cm		

FORMA: Cilindro o vaso con tapadera, de base plana con paredes rectas levemente redondeadas, de borde directo, labio agudo, tapadera circular con una espiga.

SUPERFICIE: Sin engobe, alisada aunque algo burdo, sin pulir, la manufactura no es tan fina, de hecho está un poco irregular su forma.

ESTADO DE CONSERVACIÓN: El cilindro está completo, la tapadera también aunque fragmentada en dos y la espiga, el cilindro o vaso presenta una pequeña fisura del labio hacia abajo extendiéndose un poco hacia uno de sus lados.

FOTOGRAFÍA



No. 014

PROCEDENCIA: HOL.T.93.77.02.03 SITIO: Holmul TEMPORADA: 2018

CONTEXTO: Ofrenda.

COMPLEJO CRÁMICO REGIÓN DE HOLMUL: Chak 1 ESFERA: Tepeu 1

PERIODO: Clásico Tardío CRONOLOGÍA: 554-598 d.C.

GRUPO CERÁMICO: Cambio

TIPO CERÁMICO: Cambio sin Engobe

VARIEDAD: Cambio

DIMENSIONES:

Vasija		Tapadera	
Alto	13.5 cm	Alto	2.5 cm
Diámetro boca	8.9 cm	Alto con espiga	6.3 cm
Diámetro base	11 cm	Diámetro	10 cm
Grosor	4 mm	Grosor	5 mm
Circunferencia	17.8 cm		

FORMA: Cilindro o vaso con tapadera, de base plana con paredes rectas levemente redondeadas, de borde directo, labio agudo, tapadera circular con una espiga.

SUPERFICIE: Sin engobe, alisada y pulida.

ESTADO DE CONSERVACIÓN: El cilindro está completo, la tapadera tiene dos faltantes, el cilindro o vaso presenta una pequeña fisura en la base que podría extenderse hasta reventarla.

FOTOGRAFÍA



No. 015

PROCEDENCIA: HOL.T.93.77.02.01 SITIO: Holmul TEMPORADA: 2018

CONTEXTO: Ofrenda.

COMPLEJO CRÁMICO REGIÓN DE HOLMUL: Chak 1 ESFERA: Tepeu 1

PERIODO: Clásico Tardío CRONOLOGÍA: 554-598 d.C.

GRUPO CERÁMICO: Cambio

TIPO CERÁMICO: Cambio sin Engobe

VARIEDAD: Cambio

DIMENSIONES:

Vasija		Tapadera	
Alto	14.5 cm	Alto	2.3 cm
Diámetro boca	8.2 cm	Alto con espiga	6.2 cm
Diámetro base	10.7 cm	Diámetro	9 cm
Grosor	6 mm	Grosor	6 mm
Circunferencia	16.4 cm		

FORMA: Cilindro o vaso con tapadera, de base plana con paredes rectas levemente redondeadas, de borde directo, labio agudo, tapadera circular con una espiga.

SUPERFICIE: Sin engobe, alisada y pulida.

ESTADO DE CONSERVACIÓN: El cilindro está completo, la tapadera tiene un faltante casi la mitad de su borde y la espiga se desprendió de su base, el cilindro o vaso tiene la base desprendida por una fractura sin embargo, es posible reconstruirla.

FOTOGRAFÍA

